

**UNIVERSITATEA POLITEHNICA BUCUREȘTI**  
**Facultatea de AUTOMATICĂ ȘI CALCULATOARE**

**SISTEME INTELIGENTE HIBRIDE**  
**ÎN DIAGNOZA MEDICALĂ**

Teză de doctorat

**Conducător științific:**  
**Prof. Dr. Ing. Ioan DUMITRACHE**

**Doctorand:**  
**Asist.mat.inf. Sabina MUNTEANU**

**2006**

*Mamei mele*

## ***Mulțumiri***

*Aș dori să mulțumesc în primul rând Lui Dumnezeu, fără de Care nimic nu este posibil, și familiei mele pentru sprijinul neprețuit pe care mi l-a acordat.*

*Adresez cele mai sincere mulțumiri domnului profesor Ioan Dumitrache, pentru susținerea, înaltul profesionalism și răbdarea de care a dat dovadă în îndrumarea acestei lucrări, și medicilor Lidia Drăgan și Cristina Morar care mi-au fost de mare ajutor în realizarea aplicației medicale.*

*Le mulțumesc tuturor prietenilor și celor care au avut încredere în mine.*

*Autoarea*

## Glosar

**ALP** Abductive Logic Programming: Programare Logică Abductivă;

**ANFIS** Adaptive Neural Fuzzy Inference System: Sistem de inferență fuzzy neural adaptiv;

**(A)TMS** (Assumption-based) Truth Maintenance System: Sistem de menținere a consistenței (bazat pe ipoteze);

**BCP** (Boolean Constraint Propagation) Propagarea Booleană a Constrângerilor;

**(D)CSP** (Dynamic) Constraint Satisfaction Problem: Problemă de Satisfacere a Constrângerilor;

**KBANN** Knowledge-Based Artificial Neural Network: Rețele neurale bazate pe cunoștințe;

**NFC** Neuro-Fuzzy Classifier: Clasificator neuro-fuzzy;

**RBF** (network) Radial Basis Function: Rețea cu funcții bază radiale;

**SLD (NF)** Single Linear Derivation (with Negation as Failure): Derivare singulară lineară.

## Cuprins

|   |           |
|---|-----------|
| <b>I.Introducere .....</b>  | <b>6</b>  |
| 1.1.Obiectivele și conținutul lucrării.....                                 | 7         |
| <b>II.Specificul problemelor de diagnoză medicală.....</b>                  | <b>10</b> |
| 2.1.Introducere.....  | 10        |
| 2.2.Tipuri și surse de erori în diagnoza medicală.....                      | 11        |
| 2.3.Etape ale procesului de diagnoză.....                                   | 13        |
| 2.4.Concluzii și contribuții.....   | 14        |
| <b>III.Starea în domeniul diagnozei asistate de calculator.....</b>         | <b>15</b> |
| 3.1.Introducere.....  | 15        |
| 3.2. Diagnoza prin metode statistice.....                                   | 16        |
| 3.2.1. Probabilități și clasificare bayesiană.....                          | 16        |
| 3.2.2.Diagnoza folosind cunoștințe asociative.....                          | 18        |
| 3.2.2.1.Introducere.....  | 18        |
| 3.2.2.2.Rețelele neurale și clasificarea.....                               | 19        |
| 3.2.2.3.Algoritmii genetici și diagnoza medicală.....                       | 24        |
| 3.3. Modele intermediare de diagnoză.....                                   | 25        |
| 3.3.1.Modele probabiliste structurate. Rețele bayesiene.....                | 25        |
| 3.3.1.1.Inferență probabilistă în rețele bayesiene.....                     | 25        |
| 3.3.1.2.Rețelele noisy-OR.....  | 32        |
| 3.3.1.3.Bayesianism și cauzalitate.....                                     | 34        |
| 3.3.1.4.Sistemul de diagnoză medicală CASNET.....                           | 35        |
| 3.3.2. Sisteme de inferență fuzzy.....                                      | 36        |
| 3.3.3. Măsuri de posibilitate.....  | 40        |
| 3.3.3.1 Proprietăți ale măsurilor de posibilitate.....                      | 41        |
| 3.3.3.2 Raționament incert și imprecis folosind măsuri de posibilitate..... | 41        |
| 3.3.4.Modele simbolice.....   | 44        |
| 3.4. Diagnoza pe bază de model.....   | 46        |
| 3.4.1.Abducția și tehnicile bazate pe consistență .....                     | 47        |
| 3.4.2.Metode de diagnoză specifice sistemelor dinamice .....                | 55        |
| 3.4.2.1.Introducere.....  | 55        |
| 3.4.2.2.Diagnoza sistemelor pe bază de stare.....                           | 57        |
| 3.4.2.3.Diagnoza pe bază de simulare.....                                   | 58        |
| 3.5.Concluzii și contribuții.....   | 59        |

---

|  |           |
|--|-----------|
| <b>IV.Sisteme inteligente hibride de diagnoză medicală.....</b>  | <b>60</b> |
| 4.1.Introducere.....   | 60        |
| 4.2.Tehnici inteligente hibride.....   | 60        |
| 4.3.Tehnici inteligente hibride în diagnoza medicală.....  | 63        |
| 4.3.1.Hibridizare neuro-simbolică .....  | 63        |
| 4.3.1.1.Rețele neurale bazate pe cunoștințe.....   | 63        |
| 4.3.1.2.Rețele neurale comitet.....  | 64        |
| 4.3.2.Hibridizare neuro-fuzzy .....  | 70        |
| 4.3.2.1.ANFIS (Adaptive Neural Fuzzy Inference Systems).....   | 70        |
| 4.3.2.2.Clasificatorul neuro-fuzzy NFC.....  | 73        |
| 4.3.2.3.Perceptronul Fuzzy Multistrat .....  | 74        |
| 4.3.2.4.Neuroni fuzzy logici .....   | 76        |
| 4.4.Un exemplu de hibridizare combinativă în diagnoza medicală.....  | 78        |
| 4.4.1.Sistemul CHECK.....  | 78        |
| 4.4.2.Comparație între sistemele CHECK și CASNET.....  | 83        |
| 4.5.Sistemul hibrid DiaMed.....  | 83        |
| 4.6.Concluzii și contribuții.....  | 84        |
| <br>   |           |
| <b>V.Selectarea ipotezelor de diagnostic prin decizie fuzzy în DiaMed.....</b>   | <b>85</b> |
| 5.1.Introducere.....   | 85        |
| 5.2.Sisteme de inferență fuzzy în diagnoza medicală.....   | 85        |
| 5.3.Decizie fuzzy în diagnoza medicală.....  | 86        |
| 5.4.Evaluarea capacității de discriminare a unui test de diagnoză.....   | 93        |
| 5.5.Clasificare prin decizie fuzzy.....  | 96        |
| 5.6.Concluzii și contribuții.....  | 97        |
| <br>   |           |
| <b>VI.Sisteme de argumentare directă și algoritmi de satisfacere a<br/>constrângerilor în modelarea raționamentului nemonoton.....</b> | <b>99</b> |
| 6.1.Introducere.....   | 99        |
| 6.2.Sisteme de argumentare directă.....  | 99        |
| 6.2.1.Introducere.....   | 99        |
| 6.2.2.Abordarea de punct fix.....  | 102       |
| 6.2.3.Abordarea recursivă.....   | 104       |
| 6.2.4.Rafinarea semanticii preferate folosind apărări minimale.....  | 107       |

---

|  |     |
|--|-----|
| 6.3.Algoritmi DCSP.....  | 108 |
| 6.3.1.Introducere.....   | 108 |
| 6.3.2.Backtracking dinamic pentru CSP.....   | 109 |
| 6.3.3.CSP pentru sisteme de argumentare.....   | 110 |
| 6.3.4.Algoritmi de satisfacere a constrângerilor dinamici.....                                       | 111 |
| 6.3.5.Algoritmul Backtracking Dinamic pentru Probleme Dinamice de Satisfacere a Constrângerilor..... | 112 |
| 6.4.Concluzii și contribuții.....  | 114 |

**VII.Relăția abducției cu sistemele de argumentare, tehnicile de satisfacere a constrângerilor (CSP) și sistemele de menținere a consistenței (TMS).....115**

|   |     |
|---|-----|
| 7.1.Introducere.....  | 115 |
| 7.2.Abducția în Programarea Logică.....                                   | 115 |
| 7.3.Sistemele de argumentare directă și abducția.....                     | 119 |
| 7.4. Calculul abducției folosind TMS. Legătura între CSP și abducție..... | 120 |
| 7.5.CSP în calculul semanticii admisibile din argumentație.....           | 129 |
| 7.6.Alte avantaje ale argumentelor asupra TMS.....                        | 130 |
| 7.7.Concluzii și contribuții.....   | 130 |

**VIII.Argumentarea deciziei de diagnostic în DiaMed.....132**

|   |     |
|---|-----|
| 8.1.Reprezentarea cunoștințelor.....        | 132 |
| 8.2.Modelarea problemei în cadrul DCSP..... | 136 |
| 8.3.Algoritm.....                           | 138 |
| 8.4.Exemplu.....                            | 141 |
| 8.5.Concluzii.....                          | 144 |

**IX.Aplicații ale algoritmului DiaMed în diagnoza sistemelor dinamice .....146**

|  |     |
|--|-----|
| 9.1.Introducere.....   | 146 |
| 9.2.Decizie fuzzy sau sisteme de inferență fuzzy.....                | 146 |
| 9.3.Studiu comparativ a două abordări pentru sistemele complexe..... | 148 |
| 9.4.Concluzii și contribuții.....                                    | 150 |

**X.Concluzii și direcții de dezvoltare.....151**

**Bibliografie.....154**

|                                |     |
|--------------------------------|-----|
| Anexa 1. Modelul medical ..... | 164 |
|--------------------------------|-----|

---

|  |     |
|--|-----|
| Anexa 2. Lista completă de noduri și codificările lor în program.....  | 180 |
| Anexa 3. Ponderile simptomelor în cadrul bolilor.....                  | 185 |
| Anexa 4. Constrângerile de tip atac.....                               | 193 |
| Anexa 5. Lista nodurilor și calitatea lor față de fiecare context..... | 195 |
| Anexa 6. Codul sursă.....  | 201 |

---



## I. Introducere

Diagnoza este unul dintre aspectele cele mai importante ale problemelor complexe ale lumii reale. Începând cu diagnoza tehnică, ce trebuie să asigure productivitatea și siguranța oamenilor în mediile în care omul interacționează cu mașina, și continuând cu diagnoza medicală pentru identificarea și tratarea bolilor, avem o multitudine de situații ce relevă utilitatea problemei pe care dorim să o abordăm în cadrul acestei lucrări. Siguranța centralelor nucleare, pilotarea de avioane în medii dificile, sistemele de producție (și lista poate continua pe câteva pagini) sunt de neconceput fără un sistem de monitorizare care să depisteze rapid și precis dacă sistemul sub observație începe să se îndepărteze de comportamentul normal.

Ca subdomeniu al Inteligenței Artificiale, diagnoza se ocupă cu dezvoltarea de tehnici și algoritmi care să determine corectitudinea comportamentului unui sistem. Dacă funcționarea este incorectă, algoritmul trebuie să identifice ce subcomponentă anume a sistemului este defectă, și de ce tip de defect este afectată. Identificarea se bazează pe *observații* asupra comportamentului.

Există două abordări principale ale diagnozei: *diagnoza expertă* (sau pe baza unui sistem expert) și *diagnoza pe bază de model*. Diagnoza expertă se bazează pe experiența cu sistemul în cauză (furnizată de exemple gata clasificate sau direct de către un expert uman), de la care se construiește o funcție ce asociază defecte cu simptome. Abordarea suferă de mai multe dezavantaje: complexitatea și dificultatea procesului de învățare și obținere a cunoștințelor, dimensiunea sistemului final, lipsa robusteții. În diagnoza pe bază de model, se simulează sistemul pornind de la observațiile curente, folosind o abstractizare (posibil incompletă) a sistemului (i.e. modelul sistemului), și se compară observațiile cu rezultatul simulării, pentru ca pe baza comparației să se identifice cauza disfuncționalității. În această situație ne confruntăm cu un exemplu clasic de raționament *abductiv*. În termeni foarte generali, abducția este un tip de raționament (invalid logic în cazul general) de generare a unor ipoteze explicatorii plecând de la simptome observate.

Strâns înrudite cu noțiunea de diagnoză sunt conceptele de *diagnozabilitate* (nu orice sistem este suficient de accesibil observațiilor și de bine înțeles pentru a putea fi diagnosticat) și de *explicație* (adică, în cazul de față, o demonstrație a legăturii defect-simptome, bazată pe înțelegerea aprofundată a sistemului diagnosticat).

**Formularea unei probleme de diagnoză.** Un diagnostic este, informal, "cea mai plauzibilă combinație de ipoteze care explică toate datele prezente" (definiția abducției din [Byl91]). Această definiție are nevoie de trei elemente de bază: o noțiune de "explicație", un mecanism de generare a ipotezelor de diagnostic, și un algoritm de discriminare pe bază de testare. O caracteristică a raționamentului de diagnoză este că pornește cu un set incomplet de date inițiale, pe baza cărora elaborează tentativ direcții de investigare, care sunt focalizate cu ajutorul unui plan de testare (completarea informațiilor inițiale până când ajung la un profil recognoscibil dintr-un set de prototipuri). Pe parcursul algoritmului, o parte din ipotezele generate pot fi infirmate de noile evidențe, și pot apare ipoteze noi. Definiția dată mai sus face problema, în cazul

general, intratabilă (NP-dificilă) ([Byl91]), sursa principală a acestei intratabilități fiind interacțiunile semnificative care pot să apară între elementele unor ipoteze compuse (cum este cazul și în diagnoza medicală). De exemplu, în medicină, prezența simultană a două boli poate să mascheze prezența unor simptome altfel manifeste și semnificative pentru fiecare boală în parte și să introducă simptome specifice doar apariției combinate; o altă situație dificil de formalizat este cea a diagnosticului diferențial, în care prezența unor anumite simptome/combinații de simptome într-un context dat poate să anuleze o ipoteză plauzibilă, discriminând între ea și un diagnostic alternativ, și invalidând raționamentul ipotetic dezvoltat până în punctul respectiv. Intratabilitatea problemei este depășită cel mai adesea prin folosirea unor euristici. Acestea fie simplifică spațiul problemei căutând o soluție exactă pentru spațiul simplificat, fie se mulțumesc să ofere o soluție aproximativă pentru problema inițială, după cum se va vedea și în cadrul lucrării de față.

În diagnoză, ca și în rezolvarea tuturor problemelor lumii reale, dificultățile iau naștere din surse diferite. O primă limitare este dată de spațiul de căutare a soluțiilor, care este adesea foarte mare, făcând imposibilă căutarea exhaustivă. În al doilea rând, înainte de rezolvarea propriu-zisă trebuie construit modelul problemei (care este întotdeauna, într-o măsură mai mare sau mai mică, o simplificare a realității descrise). La acest punct, se alege între două compromisuri:

1. păstrarea modelului cât mai aproape de realitate și aplicarea unei tehnici aproximative de rezolvare (cum sunt și tehnicile inteligente, de care ne vom ocupa în Capitolele III-IV), având drept urmare găsirea unei soluții aproximative, sau
2. simplificarea modelului pentru a se încadra limitărilor necesare aplicării unor metode tradiționale de găsire a soluției exacte (algoritmi de optimizare, raționament în cadrul unei logici formale).

A treia problemă se naște din cauza elementelor de zgomot ce intervin în funcția de evaluare a soluțiilor, sau din faptul că această funcție se poate modifica în timp.

În fine, o sursă suplimentară de dificultate de care dorim să ne apropiem în această lucrare, o constituie constrângerile. Acestea impun restricții asupra spațiului de căutare determinând restricționarea acestuia în regiuni fezabile (soluții posibile) și regiuni interzise (ne vom ocupa în detaliu de constrângeri în Capitolele VI,VII).

## **1.1.Obiectivele și conținutul lucrării**

Capitolul II se ocupă de problematica diagnozei în medicină, cu prezentarea detaliată a dificultăților ce pot apare, și cu sublinierea direcției în care calculatorul poate fi de un folos real experților umani. Caracteristicile evidențiate în acest capitol au stat la baza argumentării în favoarea sau împotriva anumitor tehnologii în cadrul capitolelor următoare.

Capitolul III își propune o clasificare și o prezentare comparativă a diferitelor metode folosite până în prezent în aplicațiile de diagnoză, cu accent pe diagnoza medicală (care este și aplicația finală a lucrării). Sunt evidențiate avantajele și dezavantajele formalismelor folosite, cât și eventualele posibilități de traducere a unei scheme de reprezentare în alta, împreună cu ordinul de complexitate al fiecărei abordări. Am selectat cu precădere, din multitudinea de sisteme și abordări posibile, pe cele care au fost utilizate deja, sau am considerat noi că ar putea fi aplicate cu succes în diagnoza medicală. Am detaliat unele aspecte (reprezentare a cunoștințelor, algoritmi) care să pună în valoare mai bine anumite apropieri sau diferențe între abordări, și să justifice opțiunea noastră finală. Organizarea materialului în Secțiunile 3.2-3.4. se face pe baza criteriului tipului de diagnoză: bazată pe asocieri superficiale clase-caracteristici sau pe un model cauzal de profunzime. În jurul acestui criteriu se grupează tehnicile prezentate: rețele neurale, sisteme de inferență fuzzy, rețele bayesiene și posibiliste, diagnoză abductivă sau bazată pe consistență folosind logica formală.

În Capitolul IV, secțiunile 4.2.-4.3. abordează problema hibridizării în general, respectiv în diagnoza medicală în special, iar 4.4.1-4.4.2 prezintă un sistem hibrid combinativ de diagnoză medicală (CHECK) folosit ca termen de referință pentru sistemul original DiaMed introdus în 4.5. Obiectivele capitolului sunt atât încadrarea sistemului DiaMed în contextul formalismelor de diagnoză actuale, dar și deschiderea de noi perspective asupra aplicabilității anumitor tehnici în diagnoza medicală.

Capitolul V prezintă o abordare originală a fazei de selectare a ipotezelor în cadrul unui proces de diagnoză, abordare ce definește fiecare diagnostic cu ajutorul unei funcții de decizie fuzzy. Tehnica este comparată cu sistemele de inferență fuzzy, considerate drept cel mai apropiat termen de referință.

Capitolul VI cuprinde suportul teoretic al abordării originale din cadrul nivelului de discriminare a ipotezelor în DiaMed. După o prezentare a sistemelor de argumentare, ca formalism nou și eficient de reprezentare adecvat pentru abducție, introducem semantica argumentativă a admisibilității, folosită în continuare pentru o definiție originală a diagnosticilor multiple și o viziune deopotrivă eficientă și naturală asupra păstrării consistenței pe parcursul raționamentului de diagnoză. Secțiunea face legătura între calculul semanticii admisibile și satisfiabilitatea unei formule logice, pentru a cărei abordare există algoritmi specializați (ne-am oprit la cei de satisfacere a constrângerilor). Dintre aceștia am ales o versiune de backtracking dinamic pentru DCSP (Dynamic Constraint Satisfaction Problems) [VerSchi], preferând-o pentru eficiența sa și adecvarea la specificul diagnozei medicale, al cărei context se modifică dinamic prin testare. Această versiune de algoritm o vom adapta la integrarea în sistemul DiaMed.

Capitolul VII conține o prezentare mai aprofundată a relațiilor care există între sistemele de argumentare directă și programarea logică, între abordările CSP (Constraint Satisfaction Problems) și sistemele TMS (Truth Maintenance Systems), între argumente și sistemele TMS, toate privite prin prisma abducției (adică tipul de raționament pe care se bazează aplicația lucrării de față). Secțiunea este, astfel, o justificare în plus a opțiunii

noastre pentru anumite formalisme, dintre alternativele posibile, și o pledoarie pentru puterea de reprezentare și calcul a sistemelor de argumentare directă.

Capitolul VIII prezintă în detaliu algoritmul asociat cu nivelul de discriminare a ipotezelor în sistemul hibrid DiaMed. Algoritmul este o adaptare originală a algoritmului prezentat în Secțiunea V, în care dinamica constrângerilor este determinată de rezultatele testelor medicale. Câteva exemple relevante sunt prezentate în detaliu, cu evidențierea facilităților oferite de program.

Capitolul IX adaptează abordarea DiaMed la diagnoza sistemelor dinamice (fără modificări semnificative), și o compară cu un algoritm dezvoltat special pentru sisteme dinamice, algoritm care încearcă să depășească problema spațiului de reprezentare și memorare tot printr-o metodă de ajustare dinamică a contextului problemei.

Capitolul X concluzionează expunerea, subliniind, o dată în plus, contribuțiile originale ale tezei și posibilele extinderi și optimizări.

## II. Specificul problemelor de diagnoză medicală

“Nu putem pretinde unui domeniu mai multă exactitate decât cuprinde natura sa”

(Aristotel)

### 2.1. Introducere

Diagnoza medicală este procesul de identificare a unei boli pe baza simptomelor sale (gr.: dia = prin, gnosis= cunoaștere, deci cunoaștere mijlocită, intermediată: de exemplu, cunoașterea bolii prin intermediul simptomelor), plecând de la anumite *criterii de diagnostic*, pentru a ajunge la tratamentul adecvat. Medicul elaborează o mulțime de ipoteze posibile, pe care o analizează cu ajutorul anamnezei (i.e. consultație directă) și a testelor specializate (de imunologie, biochimie, hematologie, coprocultură, imagistică, electrocardiogramă, biopsie etc.). Istoria domeniului începe să devină cunoscută odată cu medicul Hippocrate, în Grecia antică, și este încă dominată de teorii dezvoltate în anii 1900, de către William Osler. Acesta pune mai puțin accent pe individualitatea bolnavului (de fapt, pe individualizarea bolii la fiecare pacient), privindu-l ca pe un reprezentat al unei clase (de diagnostic). Succesorul lui Osler a fost Archibald Garrod, care a fost primul care a definit conceptul de predispoziție genetică spre anumite boli, orientând astfel mai mult atenția spre unicitatea fiecărui pacient.

Lumea contemporană încearcă să integreze computerele procesului de diagnoză. Vom arăta în continuare cât de folositor și de adecvat poate fi acest proces, prin prisma dificultăților ce pot apare în diagnoza medicală.

Trebuie subliniat de la început ca diagnoza medicală nu poate fi realizată efectiv decât de către un medic, și întotdeauna în practica medicală judecata clinică a expertului uman are precedență asupra rezultatului furnizat de un program, indiferent cât de bine documentat și valid algoritmic. Sistemele automate de diagnoză, în general, estimează probabilitățile bolilor, pe baza logicii lor interne și a răspunsurilor utilizatorului la anumite teste. Rolul calculatorului în acest domeniu critic, în care riscul și responsabilitatea sunt foarte mari, poate fi definit de două componente:

- ajută medicul să își reamintească rapid stări patologice neobișnuite;
- sugerează ipoteze alternative și îngustează spațiul de căutare mai repede și mai bine decât expertul uman.

Astfel, expertul uman este de fapt *asistat*, nu *înlocuit*. Acesta nici nu va putea fi vreodată înlocuit de mașină (spre liniștea noastră!) întrucât gândirea umană este mai presus de raționamentul discursiv ce poate fi reprezentat algoritmic. Există un spațiu al intuițiilor profunde ce nu se poate formaliza matematic, așa cum există în fizică o lume subcuantică inaccesibilă cercetării umane (și deci cu atât mai puțin controlului uman). Putem însă profita de calitățile în care suntem depășiți de calculatoare: capacitatea de memorare și viteza de procesare a informațiilor, în ideea reducerii erorilor umane din medicină.

Întrucât domeniul abordat este o lume dinamică inaccesibilă de o complexitate încă departe de a fi înțeleasă de către noi, incertitudinea este inevitabilă, ca și erorile pe care le determină ([RusNor02]). Așa cum observa autorul în [Res88], fenomenele din patologia umană sunt complexe, neliniare, discontinue și variabile, astfel că diagnosticul este cea mai dificilă problemă în practica medicală.

Ne propunem în continuare o prezentare succintă a erorilor posibile și a cauzelor lor, prezentare ce ne va ajuta să înțelegem mai bine sursele de dificultate în diagnoza medicală, și să înțelegem unde anume apare necesitatea folosirii unui program automat de asistență în vederea îmbunătățirii performanței umane.

## 2.2. Tipuri și surse de erori în diagnoza medicală

O problemă ce poate apare în practică este diagnosticarea greșită (cu o frecvență ce variază între 8% și 40 %). Cauzele erorilor pot proveni din trei direcții principale [conform [www.wrongdiagnosis.com](http://www.wrongdiagnosis.com)].

O primă cauză posibilă rezidă în *erorile pacientului*, și include erori de comunicare în care unele simptome nu sunt raportate din jenă/frică sau fiind considerate nerelevante, sau sunt raportate simptome false cu un anumit interes.

A doua cauză cuprinde *erorile testelor de laborator*: testele sunt supuse unor limitări din cauza cărora pot obține un fals negativ (simptomul raportat absent în situații în care este prezent) sau un fals pozitiv (simptom raportat când de fapt nu este prezent); în plus, unele teste eșuează la pacienții care suferă de o boală suplimentară, într-un proces nedorit de *mascare a simptomelor* întâlnit când este prezentă o anumită combinație de boli.

În fine, partea unde sistemele expert pot ajuta sunt *erorile medicului*, întrucât aceste erori provin (dincolo de unele limitări umane cum ar fi oboseala etc.) din neluarea în considerare la timp a unor alternative de diagnostic mai rare, mai puțin cunoscute.

Tipurile de diagnostic greșit întâlnite în practică sunt diagnosticul complet greșit și diagnosticul parțial greșit. În ultima categorie se încadrează mai multe situații. Spre exemplu, *diagnosticarea greșită a subtipurii*: se diagnostichează, să presupunem, diabetul, dar încadrarea în unul din cele două subtipurii (tip I sau tip II) este greșită- ar trebui menționat aici că diferențierea subtipurii corect este necesară numai atunci când există tratamente diferite pentru subtipurii diferite. O altă situație este cea în care *boala cauzatoare a fost ignorată*: boala diagnosticată a fost cauzată de o alta care a fost neglijată; spre exemplu, există persoane la care diabetul este o stare primară, dar există și cazuri în care diabetul este o stare secundară, cauza primară fiind hemocromatoza (avem aici o generalizare a relației simptom boală: unele boli pot fi simptome în relație cu alte boli). La fel de ușor se pot *ignora complicațiile*. Deasemenea se pot *ignora cauzele medicamentoase*: unele stări patologice sunt numai efectul secundar al medicației folosite de pacient (cele mai afectate organe la medicamentele puternice sunt ficatul și rinichii),

sau se *ignoră stările înrudite*: unele boli tind să apară grupat, chiar dacă nu se cauzează între ele; este vorba probabil de o cauză comună declanșatoare pentru toate, nu întotdeauna clară (informația medicală are încă multe lacune). Aici de obicei există pericolul ca doar una dintre ele să fie diagnosticată. În fine, unul dintre cele mai dificile cazuri este cel în care se *ignoră o boală nerelaționată* (cel mai probabil din pricina mascării unor simptome).

Există boli mai dificil de diagnosticat decât altele. Astfel, unele boli sunt *supra-diagnosticate*, în timp ce altele sunt *sub-diagnosticate* (neglijate): spre exemplu, sindromul colonului iritabil este deseori diagnosticat în locul unor boli cum ar fi boala Chron sau boala Celiac, mai rare și mai ușor neglijate. Un rol important în sub-diagnosticare îl au simptomele nespecifice, vagi, lipsa testelor definitive (care să tranșeze foarte clar în favoarea unui anumit diagnostic), lipsa unor cunoștințe temeinice asupra bolii și a mecanismelor sale, sau apariția simptomelor abia în stadii foarte avansate ale bolii (“ucigașii tăcuți”, cum ar fi glaucomul, hipotiroidismul, hipertensiunea, osteoporoza, cancerul de plămâni, atacul de cord etc.) Între bolile dificil de diagnosticat se deosebesc câteva grupe cunoscute: *bolile mintale, emoționale și de comportament* (aici dificultatea provine din lipsa unor criterii foarte clare și universal valabile), *bolile digestive*: simptomele sunt vagi și accesul în diferite puncte ale tractului digestiv este anevoios, *bolile cu simptome vagi* ca: stare de rău, oboseală (de exemplu: fibromialgia, lupusul, boala Lyme, scleroza multiplă etc.) și *bolile rare* (cu care medicii nu sunt familiarizați).

Am menționat mai sus ca sursă de dificultate a diagnosticului faptul că este totdeauna o problemă dinamică: acesta se construiește treptat, pe măsura descoperirii și prelucrării informațiilor descoperite. Cauzele pentru care informațiile nu duc automat la diagnostic ar fi [Res88]:

- Există puține semne patognomonice (semne evidente care să sugereze în special o anumită boală), și “diagnosticul rezultă din **modul în care se combină diferitele semne și simptome** mai puțin patognomonice” [Rîm83] (discontinuitatea este o consecință a acestei situații; diferențe mici în mulțimea de simptome pot duce la diferențe semnificative de diagnostic- adică boli neînrudite);
- Majoritatea semnelor și simptomelor pot apare în foarte multe boli (idem nota precedentă);
- Bolnavul nu expune spontan toate semnele, acestea fiind descoperite treptat de medic (dinamism);
- Una și aceeași boală se prezintă individualizat la fiecare pacient, în funcție de terenul întâlnit (variabilitate).

Prezentăm în continuare, mai în detaliu, câteva exemple clasificate de situații dificile.

**Boli mascate.** În această situație, manifestările clinice ale unor boli pot să fie atât de atipice încât să se confunde cu tabloul clinic al altor boli. Spre exemplu, în unele cazuri, infarctul miocardic poate evolua sub forma unor dispepsii (greață, balonare, diarie), din cauza dereglărilor circulatorii ce produc congestii asupra unor organe din cavitatea abdominală. De asemenea, ulcerul gastro-duodenal poate evolua sub forma unei pancreatite cronice, iar cancerul bronho-pulmonar sub masca unei pneumonii, sau a unei hipertiroidii, datorită secreției de hormon tiro-stimulant de către celulele canceroase. Unele forme de cancer bronho-pulmonar pot evolua ca sindroame nefrotice, iar cancerul pancreatic poate evolua sub masca unei litiaze biliare sau a unui diabet, și acestea sunt doar câteva exemple. Soluția în acest caz stă în găsirea corectă a cauzei bolii.

**Boli asociate.** Este situația în care o boală apare însoțită de complicațiile sale. Multe din “măștile” menționate mai sus, sunt, de fapt, boli autentice, spre exemplu: astmul însoțit de consecința sa -emfizemul, retinopatia și glomeruloscleroza ce complică diabetul, infecția urinară și insuficiența renală ce pot apare în litiaza renală, sau pancreatita acută din cadrul litiazei biliare.

**Boli concomitente.** Acestea sunt boli simultane ce pot evolua independent, fără legături patogenice importante, și situația este una dintre cele mai confuze.

### 2.3.Etape ale procesului de diagnoză

După cum s-a mai menționat, nu există reguli clare și precise după care experții se ghidează, și care să poată fi traduse ușor algoritmic: raționamentul depinde în cea mai mare măsură de experiența, cunoștințele și intuiția expertului (de aceea se și folosesc reguli vagi în sistemele expert).

Practica medicală este, formal, o succesiune de procese informațional-decizionale de tipul:

*Informație → Semn → Decizie*

O **decizie** se definește ca “procesul de alegere a unei **alternative**, pe baza unor **informații**, prelucrate după anumite **criterii**” [Res88], acestea din urmă fiind date în domeniul medical de posibilitățile de asociere a simptomelor în diferite boli.

Simptomele sunt informații cu valoare simbolică: ele sunt “expresia unor modificări anatomopatologice sau fiziopatologice pe un anumit teren”[Res88]. Astfel, bolile pot fi privite drept mulțimi vagi, fiind formate din elemente ce nu le aparțin în exclusivitate.

Plecând de la un set de simptome inițiale, medicul încearcă, după clarificarea simptomelor, reducerea bolilor la un set restrâns de posibilități (i.e. **diagnosticul clinic**). Aceasta este o operație de clasificare în care medicul trebuie să completeze petele albe sau să ignore unele simptome particulare, -adică recunoașterea unei forme puternic afectată de zgomot, în limbajul inteligenței artificiale. Rolul diagnosticului clinic este de



a indica medicului ce investigații paraclinice trebuie să efectueze, pentru decizia finală. Desigur, pot exista mai multe etape de testare. În abordarea noastră, vom apela la funcții de decizie fuzzy pentru partea de diagnostic clinic.

Diagnosticul clinic se stabilește plecând de la **diagnosticul de sindrom**. Sindromul este “un ansamblu coerent și sistematizat de manifestări clinice, care sintetizează trăsăturile comune ale mai multor entități patologice” [Res88]. De la diagnosticul clinic trebuie trecut la **diagnosticul etiologic și patogen** (cauza și mecanismul de inducere a bolii), care explică și argumentează diagnosticul clinic, sugerând în același timp și alternativa de tratament. Etapa următoare este **diagnosticul diferențial**, în care se compară diagnosticul pozitiv cu alte boli asemănătoare posibile, cu scopul de a evita confuziile. Diagnosticul diferențial (diferențierea între alternative) stă de altfel la baza întregului proces de diagnoză. În final se face și **diagnosticul complicațiilor**. Logica ce stă la baza acestui proces este o combinație între logica formală nemonotonă, și logica internă a fenomenelor (ce modelează domeniul).

Ultima etapă în diagnosticare constă în **argumentarea diagnosticului**. După cum am observat deja, diagnosticul etiologic stă la baza explicațiilor pentru decizia luată. În abordarea prezentă, am apelat la elemente de teoria argumentației pentru a modela această parte.

Concluzia demersului nostru este că, oricâtă matematică, logică și cibernetică am utiliza, patologia umană nu este atât de exactă încât să poată fi tradusă în formule logico-matematice (după cum observa și autorul în [Res88]), astfel că nu vom obține niciodată diagnosticul doar prin astfel de formule. După cum afirma Osler, “*medicina este o artă bazată pe multă știință*”.

## 2.4. Concluzii și contribuții

Capitolul propune o imagine de ansamblu a procesului de diagnoză medicală. Principala sa contribuție stă în faptul că, relevând o parte din dificultățile acestei diagnoze, oferă o justificare teoretică a necesității și adecvării abordărilor pe care le vom folosi pentru această problemă în cadrul lucrării de față.

## **III. Starea în domeniul diagnozei asistate de calculator**

### **3.1. Introducere**

Capitolul de față prezintă principalele posibile abordări ale unei probleme de diagnoză, tehnică sau medicală, cu exemple de aplicații ce folosesc efectiv formalismele descrise. Am pus în evidență avantajele și dezavantajele diferitelor modele, felul în care se pot completa, cât și eventualele echivalențe. Am adăugat pe parcursul expunerii, acolo unde a fost posibil, și câte un exemplu / o sugestie concretă de utilizare a metodei respective în diagnoza medicală.

Ne-am propus să prezentăm sistemele importante (în special pentru diagnoza medicală) nu printr-o simplă descriere și exemplificare, ci și dezvăluind modul de lucru, formalismul din spatele sistemului, întrucât această abordare ne-a înlesnit argumentarea alegerii unui anumit formalism în favoarea altuia.

Organizarea materialului pe subsecțiuni ține cont de un principiu de bază, și anume- dacă s-au folosit pentru raționament asocieri superficiale clase-caracteristici, sau un model cauzal detaliat al procesului diagnosticat. Tehnicile inteligente se grupează în prezentare în funcție de acest criteriu.

Secțiunea 3.2. își propune o detaliere a tehnicilor de diagnoză privită în termenii clasificării de forme prin metode statistice. Acestea au ca numitor comun construirea - explicită sau implicită- a unor funcții discriminante utilizate în ierarhizarea ipotezelor de diagnostic și sunt în general eficiente întrucât folosesc mai ales cunoștințe de suprafață (asociative, gata compilate). Prin specificul lor, sunt potrivite pentru selectarea ipotezelor de diagnoză și restrângerea spațiului problemei (partea de diagnostic pozitiv). În introducere prezentăm principiul clasic al clasificării bayesiene, și apoi felul în care acest principiu este prezent în cadrul antrenării unui perceptron multistrat. Aplicabilitatea rețelelor neurale în diagnoza medicală este discutată cu ajutorul unui exemplu de problemă de discriminare între două boli ce se pot confunda (ciroza și insuficiența cardiacă). Secțiunea discută și inadecvarea algoritmilor genetici (ca tehnică inteligentă ce cuprinde în esență o căutare aleatoare) la specificul diagnozei medicale.

Secțiunea dedicată modelelor intermediare 3.3. (considerate intermediare întrucât, deși teoretic au capacitatea de a reprezenta un model complet, practic folosesc și metode statistice de focalizare a raționamentului pentru a fi mai eficiente computațional) începe cu o prezentare extinsă a modelului conexiunist al rețelelor bayesiene bazat pe regula de clasificare a lui Bayes. Metodele din Secțiunea 3.3 aduc în plus față de cele din 3.1.2 posibilitatea de a integra cunoștințe structurate și modele parțiale în baza de cunoștințe. După o prezentare a inferenței probabiliste în rețelele bayesiene (ilustrată de un algoritm liniar pentru rețelele poliarbore și de versiuni de algoritmi euristici sau stocastici pentru rețelele multiplu conectate), este prezentat modelul rețelelor noisy-OR (ce pot exprima relații logice incerte -cu zgomot-), aplicate deja în diagnoză. Formalismele sunt exemplificate de sistemele de diagnoză HUGIN și PATHFINDER. Rețelele cauzale sunt

introduse ca o specializare semantică a rețelelor bayesiene. În acest context este introdus sistemul clasic de diagnoză medicală CASNET, bazat pe o rețea cauzală, și care a constituit un punct de plecare al sistemului original DiaMed prezentat în lucrarea de față (Secțiunea VII). Prezentarea detaliată a bazelor teoretice ale rețelelor bayesiene ne permite să înțelegem mai bine dezavantajele inferenței probabiliste din CASNET.

Dacă în inferența probabilistă avem de-a face în principiu cu incertitudine statistică, abordarea incertitudinilor non-statistice face obiectul sistemelor de inferență fuzzy (Secțiunea 3.3.2) și măsurilor de posibilitate (Secțiunea 3.3.3). Acestea din urmă sunt o generalizare a mulțimilor fuzzy și un model de probabilități subiective ce depășește unele aspecte contra-intuitive ale probabilităților clasice, și permit extinderea raționamentului incert cu date precise din rețelele bayesiene, la raționament incert cu date imprecise (în rețelele posibiliste). Din păcate, lipsa unei semantici clare a determinat o anumită abandonare a formalismului de către cercetările recente. Finalul Secțiunii 3.3. se ocupă de modelele simbolice ale sistemelor pe bază de reguli sau arborilor de decizie. Aici se încadrează și sistemul clasic de diagnoză medicală MYCIN, care este prezentat în detaliu, cu avantajele și dezavantajele sale.

Secțiunea 3.4 pune accent pe abordările logice specifice diagnozei pe bază de model, urmărind o expunere a metodelor abductive și bazate pe consistență. Acestea ar fi interesante pentru partea de explicare a concluziilor, și pentru eventualele situații conflictuale ce pot apare, de exemplu, în cadrul diagnosticului diferențial, când trebuie discriminat între boli ce au fost selectate datorită unor simptome comune, dar care nu pot fi prezente simultan la un pacient dat. Tot acest capitol introduce sumar formalismele diagnozei pe bază de model a sistemelor dinamice, cu accent pe diagnoza sistemelor cu evenimente discrete.

## 3.2. Diagnoza prin metode statistice

Metodele statistice aproximează inferența logică pe cunoștințe formale, prin asocieri superficiale cauze-efecte, furnizând soluții aproximative. În general sunt eficiente, dar au slabe capacități de explicare a concluziilor.

### 3.2.1. Probabilități și clasificare bayesiană

**Definiție.** Ieșirea unui experiment al cărui rezultat depinde de factori aleatori (adică poate lua o valoare oarecare fără să putem preciza dinainte care anume), se numește *variabilă aleatoare*.

**Definiție.** Fie  $X$  o variabilă aleatoare ce reprezintă ieșirea unui experiment dat. Presupunem că experimentul are doar un număr finit de ieșiri posibile, și fie  $\Omega$  spațiul probelor (i.e. mulțimea de valori posibile pentru  $X$ ). O *funcție de distribuție* pentru  $X$  este o funcție reală  $m$  cu domeniul  $\Omega$  care satisface:

$$1. \quad m(\omega) \geq 0, \forall \omega \in \Omega ; \quad (3.1)$$

$$2. \quad \sum_{\omega \in \Omega} m(\omega) = 1. \quad (3.2)$$

$$\forall E \subseteq \Omega, \text{ probabilitatea lui } E \text{ este numărul } P(E): \quad P(E) = \sum_{\omega \in E} m(\omega). \quad (3.3)$$

**Observație!** O variabilă aleatoare este o funcție pentru care se cunosc probabilitățile de apariție ale fiecărei valori.

**Definiție.** Fie  $\Omega = \{\omega_1, \dots, \omega_k, \dots, \omega_r\}$  spațiul probelor. Se definește *distribuția de probabilitate condiționată* de evenimentul  $E \subseteq \Omega$ :

$$m(\omega_k | E) = \frac{m(\omega_k)}{P(E)}, \quad (3.4)$$

iar pentru evenimentul general F:

$$P(F | E) = \sum_{F \cap E} m(\omega_k | E) = \sum_{F \cap E} \frac{m(\omega_k)}{P(E)} = \frac{P(F \cap E)}{P(E)}. \quad (3.5)$$

**Clasificare Bayesiană.** Regula lui Bayes este una dintre cele mai cunoscute și mai clasice metode de clasificare. Dezavantajele sale principale sunt: necesitatea cunoașterii apriorice a probabilităților (acestea pot fi însă estimate din date), și restrictivitatea ipotezei de independență între clase.

Fie  $x$  un vector de caracteristici pe baza cărora se efectuează clasificarea,  $x \in \mathfrak{R}^d$ , și  $\omega_1, \dots, \omega_c$  clasele posibile (categoriile). Se consideră în plus  $P(\omega_j)$  probabilitățile apriori ale claselor, și  $p(x | \omega_j)$  probabilitățile caracteristicilor din vectorul de evidențe condiționate de prezența unei anumite clase ( $\omega_j$ ). Atunci regula de *recondiționalizare în prezența evidențelor a lui Bayes* exprimă probabilitățile claselor în funcție de evidențe astfel:

$$P(\omega_j | x) = \frac{p(x | \omega_j)P(\omega_j)}{p(x)}, \quad (3.6)$$

unde  $p(x)$  reprezintă evidența și se exprimă ca:

$$p(x) = \sum_{j=1}^c p(x | \omega_j)P(\omega_j).$$

Probabilitățile apriori ale claselor și cele condiționale pot fi estimate din mulțimea de date ( $=D$ ) (*învățare Bayesiană*), regula rescriindu-se:

$$P(\omega_j | x, D) = \frac{p(x | \omega_j, D)P(\omega_j | D)}{p(x | D)}, \quad (3.7)$$

unde:

$$p(x | D) = \sum_{j=1}^c p(x | \omega_j, D)P(\omega_j | D).$$

Regula de decizie Bayesiană:

Se alege categoria  $\omega_i$  astfel încât  $P(\omega_i | x) > P(\omega_j | x), \forall j \neq i$ .

S-a demonstrat că această regulă minimizează probabilitatea medie a erorii de clasificare [DudHarSto00].

### 3.2.2. Diagnoza folosind cunoștințe asociative

#### 3.2.2.1. Introducere

Diagnoza poate fi privită în termenii clasificării de forme (clasificarea este operația elementară care stă la baza diagnozei). Clasificarea prin metode metrice presupune construirea unei mulțimi de *funcții de discriminare* [DudHarSto00]:  $g_i(x), i=1, \dots, c$ , iar clasificatorul atribuie vectorul de caracteristici  $x$  clasei  $\omega_i$  dacă  $g_i(x) > g_j(x)$  pentru toți  $j \neq i$ . De obicei aceste funcții sunt construite pe bază de probabilități condiționale sau măsuri fuzzy- ținând cont de incertitudinile ce apar frecvent într-o problemă de clasificare. Funcțiile de discriminare definesc regiunile de decizie (granițele de decizie) asociate diferitelor categorii.

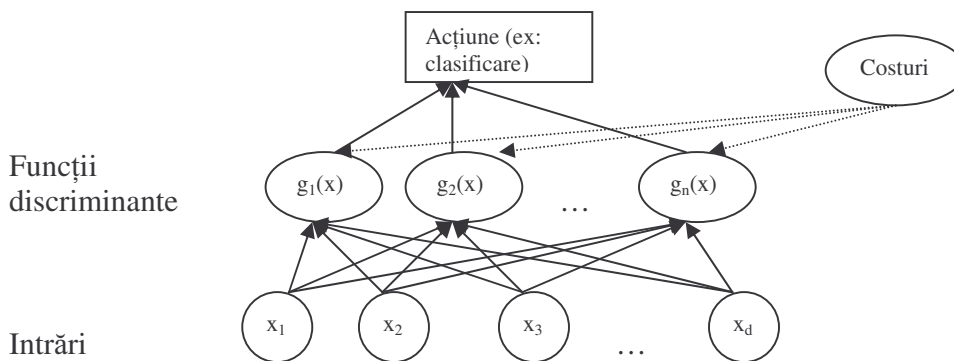


Figura 3.1. Schema generală a unei clasificări

Abordările statistice care urmează pot fi toate privite din acest punct de vedere.

Deși diagnoza pe bază de model logico-simbolic (vezi Secțiunea 3.4.) poate trata probleme complexe, nelineare, variabile în timp, nu există încă o abordare unificată

satisfăcătoare. S-a ajuns astfel la *tehnicile inteligente*: acestea cuprind modele conexioniste structurate (rețelele bayesiene sau rețelele neurale fuzzy) sau nestructurate (rețelele neurale “clasice” = de tip cutie neagră), modele logico-simbolice pe bază de reguli, cum sunt sistemele expert (acestea, deși în principiu pot conține reguli ce descriu comportamentul cauzal de profunzime, sunt de obicei folosite pentru a reprezenta euristici ce condensează expertiza umană în cunoștințe superficiale). Sistemele de inferență fuzzy sunt tot sisteme pe bază de reguli, dar au un mecanism de inferență propriu, specializat pentru lucrul cu informații imprecise și incerte, ceea ce le conferă un statut aparte. Rețelele neurale sunt un exemplu tipic de raționament inductiv. Ele construiesc modele aproximative “ascunse” și distribuite în ponderile rețelei, pornind de la mulțimi de exemple asociate cu domeniul de interes. Rețelele bayesiene, cauzale și posibiliste sintetizează într-un model compact inferențe statistice.

Un avantaj în plus al tehnicilor inteligente stă în faptul că acestea și-au dovedit deja atât limitările, avantajele, cât și posibilitățile de traducere/comunicare de la un formalism la altul și pot fi combinate în sisteme hibride în cadrul cărora cooperează pentru a îmbunătăți performanțele sistemului (câteva exemple vor fi prezentate spre sfârșitul secțiunii.)

Așadar, tehnicile inteligente prezentate în continuare, deși nu se bucură de claritatea și expresivitatea diagnozei pe bază de model, pot trata eficient probleme complexe, nelineare, variabile în timp, unul dintre atuurile lor principale fiind faptul că lucrează, de obicei, cu aproximări ale domeniului (cunoștințe de suprafață), aproximări care simplifică mult inferența, dar în același timp fac necesare mecanismele de tratare a incertitudinii și impreciziei.

### 3.2.2.2. Rețelele neurale și clasificarea

Una dintre deficiențele cele mai importante ale modelelor structurate probabiliste și posibiliste este dată de necesitatea cunoașterii mulțimii de probabilități condiționale (obiective sau subiective). Acest dezavantaj este înlăturat în rețelele neurale, modele nestructurate ce realizează regresie nelineară (adică aproximarea unei funcții nelineare pe baza unei mulțimi de exemple- de fapt o mulțime de puncte ce aparțin graficului funcției), multe arhitecturi fiind recunoscute ca aproximatori universali. Dacă mulțimea de exemple este reprezentativă pentru domeniul ales, rețeaua are bune capacități de generalizare în spațiul problemei.

Unul din avantajele principale ale rețelilor neurale este capacitatea de învățare, ele ilustrând foarte bine inferența *inductivă*. Rețelele sintetizează modelul unui domeniu din exemplele de învățare, și, odată cu modelul, construiesc implicit și algoritmul asociat problemei considerate (fiind astfel utile în situațiile în care algoritmi specializați nu există). Aceste cunoștințe (model + algoritm) sunt reprezentate distribuit în ponderile numerice asociate conexiunilor sinaptice. Fiind o situație particulară de regresie nelineară, ele sunt, în plus, foarte tolerante la zgomotul din datele de intrare.

Rețelele folosesc, așadar, cunoștințe superficiale (de suprafață), pentru un raționament bazat pe asocieri (nu pe un model cauzal de profunzime). Prin urmare, prețul plătit pentru avantajele de mai sus stă în lipsa facilităților de explicare a rezultatului obținut (element critic pentru diagnoza medicală). Acest dezavantaj a fost parțial ameliorat de unele arhitecturi moderne de rețele neurale, dintre care câteva vor fi prezentate mai jos. Un alt dezavantaj al rețelelor neurale, privite prin prisma diagnozei medicale, este faptul că în cazul sistemelor complexe, ce necesită rețele neurale mari, apar dificultăți în antrenare datorate minimelor locale.

Pentru a îmbunătăți performanțele unui clasificator de forme inductiv este foarte importantă extragerea caracteristicilor celor mai relevante pentru definirea formelor sub observație. Pentru selectarea acestor caracteristici se pot folosi tehnici statistice tradiționale [Sta87], cum ar fi *analiza componentelor principale* (sau *dezvoltarea Karhunen-Loeve*: determină direcțiile care maximizează varianța norului de puncte-exemplu, pentru a spori separabilitatea între clase), sau *criteriile entropice* de extragere a caracteristicilor (reduc dimensionalitatea spațiului de caracteristici astfel încât pierderea de informație să fie minimă: se renunță la caracteristicile cele mai puțin informative). Cele două tehnici menționate optimizează separabilitatea, respectiv relevanța. În practică se dorește o calitate satisfăcătoare pentru ambele criterii. Calitatea unui extractor de forme se poate evalua pe baza criteriilor de separabilitate (matrici de împrăștiere, divergența informațională –numerele Kullback-Leibler, distanța Bhattacharyya [Sta87]).

### Perceptronul multistrat

Este una dintre cele mai cunoscute și utilizate arhitecturi feedforward, și folosește învățare supervizată de tipul corectare a erorii. Fiecare neuron din rețea are asociată o funcție de activare nelineară, diferențiabilă (de exemplu, funcția logistică). În afara stratului de intrare și a celui de ieșire, rețeaua conține și unul sau mai multe straturi ascunse de neuroni, care au rolul de a extrage caracteristici din ce în ce mai relevante ale vectorilor de intrare. În cadrul algoritmului de antrenare (backpropagation) se întâlnesc două tipuri de semnale: propagarea înainte a semnalelor calculate pe baza funcțiilor de activare a neuronilor, și propagarea înapoi a semnalelor de eroare, pe baza cărora ponderile rețelei sunt ajustate folosind regula Delta (gradient descendent în spațiul ponderilor) [Hay98]. Complexitatea algoritmului este dată de o funcție ce depinde linear de numărul de ponderi.

Unul din aspectele interesante ale algoritmului backpropagation este faptul că acesta calculează de fapt probabilitățile condiționale a posteriori și se poate aplica în final regula de decizie Bayes, rețeaua folosind pentru clasificare funcții discriminant implicit construite, și constituind astfel un exemplu particular al aplicării teoriei deciziei în recunoașterea formelor, după cum se vede în continuare.

Dacă avem o problemă de clasificare cu  $M$  clase în care uniunea celor  $M$  clase reprezintă spațiul total de intrare și notăm intrarea  $x_j \in \mathfrak{X}^m$  (al  $j$ -lea pattern de antrenare) și ieșirea  $y_j \in \mathfrak{X}^M$ , rețeaua calculează o funcție vectorială  $F : \mathfrak{X}^m \rightarrow \mathfrak{X}^M$  :

$$y_j = [y_{1,j}, \dots, y_{M,j}]^T = [F_1(x_j), \dots, F_M(x_j)]^T = F(x_j) \quad (3.8)$$

În continuare ne vom referi la următoarea problemă:

*Care este regula optimă de decizie pentru clasificarea în cele M clase, după antrenarea perceptronului multistrat?*

În general, tot ce se știe despre F, (dependentă de exemplele de antrenare  $\langle x_j, d_j \rangle$ ) este faptul că este o funcție continuă ce minimizează funcționala riscului empiric [Hay98] :

$$R = \frac{1}{2N} \sum_{j=1}^N \|d_j - F(x_j)\|^2 \quad (3.9),$$

unde  $d_j$  este răspunsul dorit pentru  $x_j$ , iar N este numărul de exemple de antrenare.

Presupunând că antrenăm rețeaua cu valori țintă binare:  $d_{kj} = \begin{cases} 1, & x_j \in C_k \\ 0, & x_j \notin C_k \end{cases}$ , clasa  $C_k$  se va reprezenta ca un vector binar:

$$C_k = \begin{pmatrix} 0 \\ \dots \\ 1 \\ \dots \end{pmatrix} \text{ (cu 1 pe poziția k) } \quad (3.10)$$

**Legea (slabă a) numerelor mari.** Fie  $X_1, \dots, X_n$  o secvență de variabile aleatoare independente identic repartizate, de medie  $\langle X_i \rangle = \mu$  și varianță  $\sigma$ . Se definește variabila aleatoare:

$$X \equiv \frac{X_1 + \dots + X_n}{n}. \quad (3.11)$$

Atunci, când  $n \rightarrow \infty$ , media  $\langle X \rangle = \mu$ .

$$\langle X \rangle \equiv \left\langle \frac{X_1 + \dots + X_n}{n} \right\rangle = \frac{1}{n} (\langle X_1 \rangle + \dots + \langle X_n \rangle) = \frac{n\mu}{n} = \mu \quad (3.12)$$

(Adică media valorilor variabilelor aleatoare converge la media  $\mu$  a fiecărei variabile).

■



Din legea slabă a numerelor mari, dacă  $w$  este vectorul de ponderi al rețelei după antrenare (ce minimizează  $R$ ), iar  $w^*$  este valoarea absolută ce minimizează media lui  $\frac{1}{2} \|d - F(w, x)\|^2$  avem:

$$w \xrightarrow[N \rightarrow \infty]{} w^* \quad (3.13),$$

-adică un perceptron multistrat antrenat cu backpropagation pe o mulțime de exemple independente identic repartizate, calculează o aproximare a probabilităților a posteriori ale claselor:

$$F(w^*, x) = P(C_k | x), k=1, \dots, M. \quad (3.14)$$

În continuare se poate aplica regula de decizie a lui Bayes:

$$\text{Clasifică } x \text{ drept } C_k \text{ dacă } F_k(x) > F_j(x), \forall j \neq k. \quad (3.15)$$

**Observație.** Clasificarea adaugă problemelor de modelare cu rețele neurale și logică fuzzy cerința ca ieșirea să fie *discretă*.

### Exemplu de clasificare cu ajutorul unui perceptron multistrat

Un dezavantaj al rețelelor neurale, privite prin prisma diagnozei medicale, este dat de discontinuitatea cunoștințelor medicale. Cazuri apropiate ca tablou al simptomelor pot face parte din clase diferite, dar este foarte probabil că o rețea neurală le va confunda. În plus, sistemele complexe, de dimensiuni mari sunt o problemă pentru o rețea neurală, din cauza minimelor locale. Am ales totuși o pereche de boli (*ciroza* și *insuficiența cardiacă*) și am încercat să le clasificăm cu ajutorul unui perceptron multistrat. S-au putut urmări avantajele învățării din exemple, rapidității calculului paralel la partea de recunoaștere, și robusteții la forme afectate de zgomot. Între alte dezavantaje, în afară de lipsa facilităților de explicare, s-au adăugat restricțiile prohibitive impuse de necesarul de memorie și de timp de antrenare, ca și lipsa datelor suficiente și semnificative pentru a lucra cu toate cele 30 de boli considerate în aplicația finală.

Rețeaua are structura din Figura 3.2, cu 28 de intrări (cele 28 de simptome ale bolilor- a se vedea Anexa 3), 15 neuroni pe stratul intermediar și două ieșiri (1 și 0 pentru ciroză, 0 și 1 pentru insuficiență). Stratul intermediar și cel de ieșire folosesc drept funcție de transfer tangenta sigmoidă.

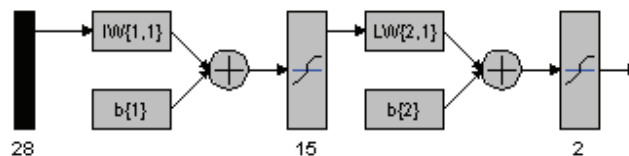


Figura 3.2. Structura rețelei

Funcția de performanță utilizată a fost media erorilor pătratice:

$$F = mse = \frac{1}{N} \sum_{i=1}^N e_i^2 = \frac{1}{N} \sum_{i=1}^N (t_i - a_i)^2 \quad (3.16)$$

( $t$ =ieșirea dorită,  $a$ =ieșirea rețelei).

Am antrenat rețeaua cu algoritmul de optimizare numerică Levenberg-Marquardt, preferat ca fiind o metodă mai rapidă de antrenare, comparativ cu metodele de gradient descendent sau gradient descendent cu termen-moment. Performanțele după aproximativ 4000 de epoci de antrenare (batch) sunt redată de Figura 3.3.

Performanțele de recunoaștere în cadrul cirozei au fost de 100%, iar în cazul insuficienței cardiace de 76% recunoașteri corecte, pe un set de exemple nefolosit la antrenare. Aceste rezultate sunt destul de aproape de situația reală, în care insuficiența cardiacă este uneori confundată cu ciroza, după cum s-a mai menționat.

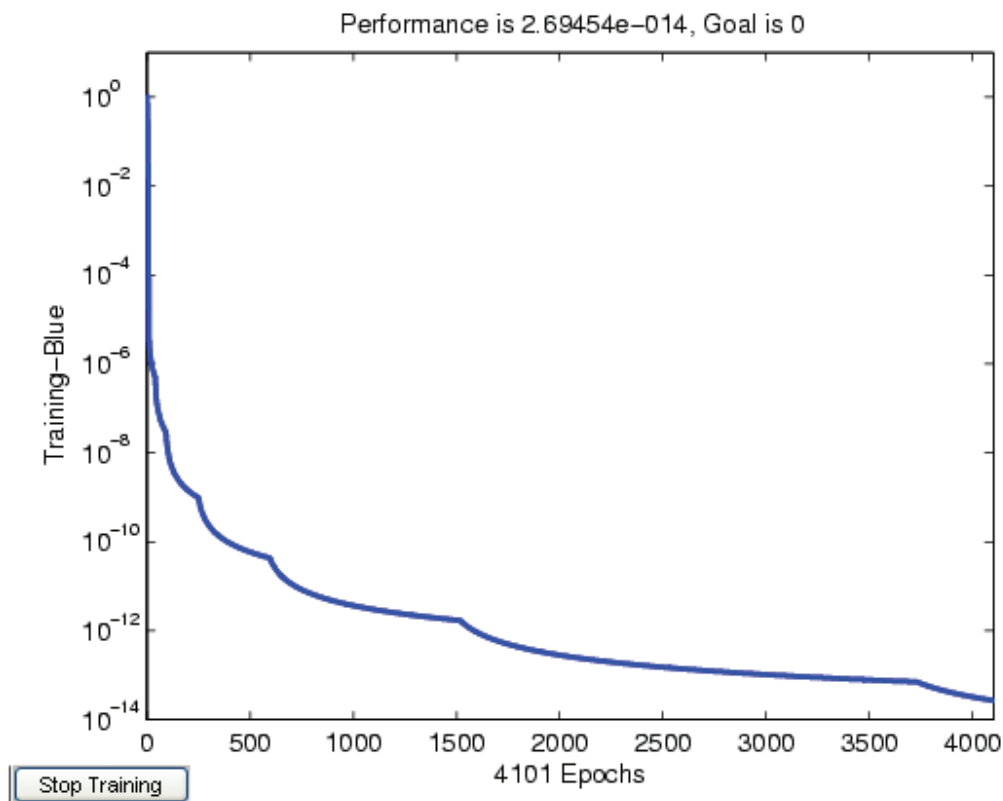


Figura 3.3. Performanțele rețelei după 4000 de epoci

Un avantaj al rețelelor neurale asupra abordării fuzzy este și faptul că pot învăța ponderile din date, nefiind supuse astfel eventualelor erori ce pot proveni din setarea greșită a acestor ponderi.

### Arhitecturi neurale cu auto-organizare

Arhitecturile neurale cu învățare nesupervizată sunt utile în problemele de clustering. Una dintre cele mai utilizate pentru performanțele sale este rețeaua cu auto-organizare Kohonen [Hay98]- folosită deja în multe aplicații de prelucrare a imaginilor (de exemplu, segmentarea imaginilor medicale în asistarea chirurgiei sau ca instrumente auxiliare în diagnoză, prin interpretarea datelor clinice de tip vizual.) Aceste arhitecturi lipsite de facilități de explicare nu sunt însă potrivite pentru procesul de diagnoză medicală în sine, care poate utiliza, eventual, doar rezultatul interpretării simbolice a imaginilor.

### 3.2.2.3. Algoritmii genetici și diagnoza medicală

Algoritmii genetici ocupă un loc aparte în cadrul tehnicilor inteligente. Dacă tehnicile tradiționale de rezolvare algoritmică cum ar fi greedy, backtracking etc. (căutare deterministă), și călirea simulată / căutarea tabu (căutare probabilistă) au în comun faptul că folosesc un singur punct al spațiului de căutare pentru explorarea de la fiecare iterație, algoritmii genetici sunt o tehnică inteligentă ce îmbunătățește aceste abordări prin faptul că procesează o populație de soluții simultan, introducând conceptul de *competiție* între soluțiile unei populații.

Noțiunea de “vecinătate” a doi indivizi-soluție din algoritmii genetici conduce la necesitatea definirii unor operatori de recombinare corecți relativ la semantica problemei, problemă dificilă în cele mai multe cazuri, și sursă principală de limitări a acestei tehnici. Se deosebesc două tipuri principale de probleme, diferențiate pe criteriul adecvării (neadecvării) la folosirea algoritmilor genetici:

I. Probleme de căutare a unei soluții optime într-un spațiu continuu de soluții, spațiul soluțiilor posibile ocupând o pondere semnificativă din spațiul total al problemei (spațiu continuu de căutare).

Aici este adecvată și utilă utilizarea algoritmilor genetici, după cum s-a demonstrat deja în cadrul a numeroase aplicații (a se vedea, spre exemplu, [MichFog04] și [Mich96]). În acest caz, constrângerile problemei nu sunt complexe și prohibitive pentru aplicarea acestor algoritmi, și sunt utilizate în slujba optimizării prin aplicarea de penalizări și funcții de reparație pe funcția de evaluare a soluțiilor a algoritmului genetic (folosirea de constrângeri pentru optimizare).

Alegerea a priori a unei metode evoluționare pentru o problemă de optimizare neliniară este încă o problemă deschisă. Caracteristicile care fac o problemă cu constrângeri dificilă pentru algoritmii genetici nu sunt clare, se știe doar că ele depind de topologia

subspațiului fezabil (cu cât spațiul este mai puțin conex, problema este mai dificilă), și de caracteristicile funcției de evaluare.

II. Probleme de găsim a unei soluții (nu neapărat optimă). Acestea sunt probleme în care constrângerile reduc semnificativ spațiul soluțiilor (spațiu discret de căutare, de exemplu, problema damelor pe tabla de șah).

De obicei se abordează problema CSP cu metode specifice de rezolvare, iar algoritmi genetici sunt folosiți pentru îmbunătățirea acestor metode (optimizare în slujba rezolvării constrângerilor). Acești algoritmi genetici speciali rețin câte constrângeri sunt încălcate pentru a evalua calitatea soluțiilor [Par94].

Ca urmare a observațiilor precedente, am considerat greoaie și neadecvată utilizarea algoritmilor genetici într-o problemă de diagnoză medicală, ce are întotdeauna un spațiu discret de căutare (fiind discontinuă), după cum observam și în Capitolul 2. Dificultățile apar chiar din partea de modelare și determinare de operatori adecvați, iar rezultatele sunt prea slabe și costisitoare în raport cu specificul acestor probleme. În plus, complexitatea și amploarea domeniului medical nu se potrivește cu viteza redusă de procesare a algoritmilor genetici.

### **3.3. Modele intermediare de diagnoză**

Structurile prezentate în această secțiune reprezintă o etapă intermediară între metodele asociative și diagnoza pe bază de model. Le-am denumit “intermediare” întrucât, deși au capacitatea de a reprezenta natural și precis modelul profund al unui sistem, sunt de obicei folosite în modelarea cunoștințelor empirice, sau a modelelor parțiale, din motive de eficiență.

#### **3.3.1. Modele probabiliste structurate. Rețele bayesiene**

Rețelele bayesiene sunt un formalism ce are la bază ca metodă de calcul regula lui Bayes, și ca reprezentare a cunoștințelor un model al domeniului redus la relațiile de influență directă (aceste influențe nu sunt neapărat cauzale; după cum se va argumenta mai jos, probabilitățile condiționale nu sunt cele mai potrivite în modelarea cauzalității.)

##### **3.3.1.1. Inferență probabilistă în rețelele bayesiene**

Dacă în semantica abordărilor logice valorile de adevăr se referă direct la starea lumii, probabilitățile sunt măsuri ale încrederilor/presupunerilor/ ipotezelor noastre relativ la lume. Așadar, avantajul raționamentului probabilist asupra logicii este că un agent inteligent poate lua decizii chiar atunci când nu există suficiente informații care să demonstreze că acțiunea aleasă va da cu certitudine rezultatele dorite.

Inferența probabilistă reprezintă un mecanism de inferență pentru raționamentul aproximativ, care deși este exponențial în cel mai rău caz, este eficient în multe situații practice. Ideea de bază este că distribuția de probabilitate produs a unui domeniu poate răspunde practic la orice întrebare legată de domeniul respectiv. Deși abordarea devine intratabilă la un număr mare de variabile, în contextul aplicării regulii lui Bayes independența condițională dintre variabile simplifică mult calculul interogărilor și reduce numărul de probabilități condiționale ce trebuie specificate.

**Definiție[RusNor02].** O rețea bayesiană este o structură de date ce reprezintă dependențele între variabilele domeniului și dă o descriere concisă a distribuției de probabilitate produs.

Nodurile rețelei reprezintă variabile aleatoare; nodurile rețelei X și Y sunt legate printr-un arc ce pornește din X dacă X are influență directă asupra lui Y în domeniul modelat. Fiecare nod are asociată o tabelă de probabilități condiționale ce cuantifică efectul părinților asupra nodului.

Topologia rețelei se poate interpreta ca o bază abstractă de cunoștințe ce reprezintă structura generală a proceselor de dependență din cadrul domeniului, rețeaua fiind definită complet de această topologie și tabelele de probabilități condiționale.

Semantica rețelelor bayesiene poate fi privită din două puncte de vedere. Astfel, rețelele pot fi:

- o reprezentare a probabilității produs;
- o mulțime de aserțiuni de independență condițională.

Orice intrare din probabilitatea produs (și deci orice interogare) se poate calcula din rețea după formula [RusNor02]:

$$P(x_1, \dots, x_n) = \prod_{i=1}^n P(x_i \mid Parents(x_i)) \quad (3.17)$$

dar în general:

$$\begin{aligned} P(x_1, \dots, x_n) &= P(x_n \mid x_{n-1}, \dots, x_1) \cdot P(x_{n-1}, \dots, x_1) = P(x_n \mid x_{n-1}, \dots, x_1) \cdot P(x_{n-1} \mid x_{n-2}, \dots, x_1) \dots P(x_2 \mid x_1) \cdot P(x_1) \\ &= \prod_{i=1}^n P(x_i \mid x_{i-1}, \dots, x_1); \quad (3.18) \end{aligned}$$

deci pentru a avea (3.17) este necesar:

$$\forall i : P(X_i \mid X_{i-1}, \dots, X_1) = P(X_i \mid Parents(X_i)) \quad (3.19)$$

Această din urmă relație are loc dacă se numerotează cu un algoritm corespunzător nodurile rețelei:  $Părinți(X_i) \in \{X_{i-1}, \dots, X_1\}$ , ideea fiind că orice nod este independent de predecesorii din rețea fiind dați părinții (depinde doar de părinți).

Rețelele bayesiene sunt *sisteme local structurate*, adică o variabilă interacționează cu un număr limitat de alte variabile, conducând astfel la algoritmi cu complexitate liniară. Reducerea de informație ce apare în practică în aceste rețele se datorează faptului că rețeaua surprinde foarte bine structura domeniului (și domeniile lumii reale au, în general, o structură intrinsecă bine conturată.)

Pentru a ajunge la o structură optimă, în procesul de construire a rețelei, (vezi spre exemplu [RusNor02]) ordinea corectă de adăugare a nodurilor trebuie să țină cont de relațiile de cauzalitate din domeniu: de la cauze de bază, spre variabilele pe care acestea le influențează, până la frunze (care nu au nici o influență cauzală asupra altor variabile - aici "cauzalitatea" trebuie deocamdată înțeleasă în sensul mai restrâns de "influență" de un anumit tip).

O altă simplificare ce ajută mult calculul cu rețele bayesiene vine din faptul că tabelele de probabilități condiționale se încadrează de multe ori în distribuțiile canonice (spre exemplu, distribuția normală).

### Relații de independență condițională în rețele bayesiene

Fiind dată o rețea, se poate citi din topologia acesteia dacă o mulțime  $X$  de noduri este independentă de o mulțime  $Y$  de noduri, fiind dată o mulțime  $E$  de noduri-evidență. Noțiunea folosită este cea de *d-separare*, și anume: dacă  $X$  și  $Y$  sunt *d-separate* de  $E$ , atunci  $X$  și  $Y$  sunt independente fiind dat  $E$ . Această proprietate va folosi în algoritmi de interogare a rețelei.

**Definiție.** O mulțime de noduri  $E$  *d-separă* două mulțimi  $X$  și  $Y$  de noduri dacă orice cale nedirecționată de la un nod în  $X$  la un nod în  $Y$  este *blocată* de  $E$ . O cale se numește blocată dacă există un nod  $Z$  pe ea care satisface una dintre condițiile următoare:

1.  $Z$  este în  $E$  și în  $Z$  intră un arc de pe cale și altul iese;
2.  $Z$  este în  $E$  și din  $Z$  ambele arce ale căii sunt de ieșire;
3. Nici  $Z$  și niciunul din descendenții săi nu aparțin lui  $E$  și ambele arce ale căii intră în  $Z$  (vezi și Figura 3.4).

Să considerăm o rețea bayesiană de tip poliarbore (adică există cel mult o cale nedirecționată între oricare două noduri). Presupunem că avem mulțimea de variabile-evidență  $E$  și suntem interesați în valoarea variabilei aleatoare  $X$ , deci trebuie să calculăm  $P(X|E)$ . Notăm cu  $E_X^+$  *suportul cauzal* pentru  $X$  (nodurile-evidență de deasupra lui  $X$ , conectate la  $X$  prin părinții săi), și cu  $E_X^-$  *suportul evidențial* al lui  $X$  (variabilele-evidență de sub  $X$ , și conectate la  $X$  prin copiii săi). Notăm cu  $U_i$  părinții lui  $X$ , cu  $Y_i$  copiii lui  $X$ ,  $E_X$  toată evidența conectată la  $X$ ,  $E_{U_i|X}$  evidența conectată la nodul  $U_i$  mai puțin calea ce trece prin  $X$ ,  $E_{Y_i|X}^+$  evidența conectată la  $Y_i$  prin părinți, cu excepția lui  $X$  (Figura 3.5).

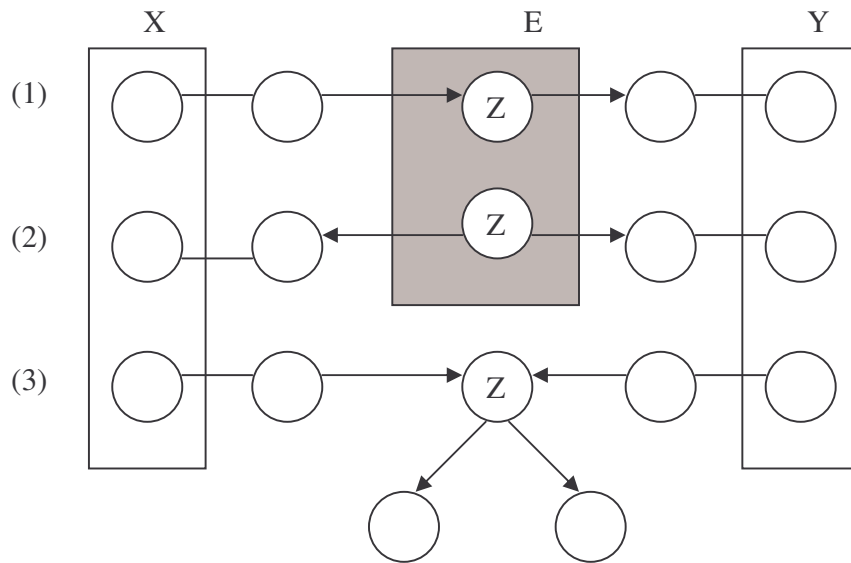


Figura 3.4. Definiția d-separării

Strategia generală de lucru va fi:

1) Exprimă  $P(X|E)$  în termenii contribuțiilor  $E_X^+$  (suport evidențial),  $E_X^-$  (suport cauzal):

$$P(X|E) = P(X|E_X^+, E_X^-) \quad (3.20)$$

Folosind versiunea regulii Bayes condiționată de evidența de fond E:

$$P(Y|X, E) = \frac{P(X|Y, E)P(Y|E)}{P(X|E)}, \quad (3.21)$$

putem rescrie (3.20) ca:

$$P(X|E_X^+, E_X^-) = \frac{P(E_X^- | X, E_X^+)P(X | E_X^+)}{P(E_X^- | E_X^+)} \quad (3.22)$$

Cum X d-separă  $E_X^+$  și  $E_X^-$  în rețea, dacă notăm  $\alpha = \frac{1}{P(E_X^- | E_X^+)}$ , din (2) =>

$$P(X|E) = \alpha P(E_X^- | X) P(X | E_X^+). \quad (3.23)$$

2) Calculează efectul lui  $E_X^+$  asupra părinților lui X și apoi transmite efectul lui X (model recursiv).

După calcule în care se ține cont de proprietățile de d-separare din rețea și de regula lui Bayes, se obține:

$$P(X | E_X^+) = \sum_u P(X | u) \prod_i P(U_i | E_{U_i \setminus X}), \quad (3.24)$$

adică se calculează contribuția evidenței pentru fiecare părinte  $U_i$  al lui X ( $=E_{U_i \setminus X}$ ).

Ținând cont că porțiunile din rețea corespunzătoare părinților  $U_i$  sunt d-separate, deci independente, rezultă că putem folosi produsul pentru a obține probabilitatea unei anumite configurații complete  $u=(u_i)$  a părinților lui X. Această configurație se ponderează cu  $P(X|u)$  luat din tabelele de probabilități condiționale, și în final se însumează după toate valorile posibile  $u$  ale lui U.

3.  $E_X^- = ?$  Calculează efectul evidenței asupra copiilor lui X și apoi transmite efectul asupra lui X (vom avea deci, din nou, apel recursiv).

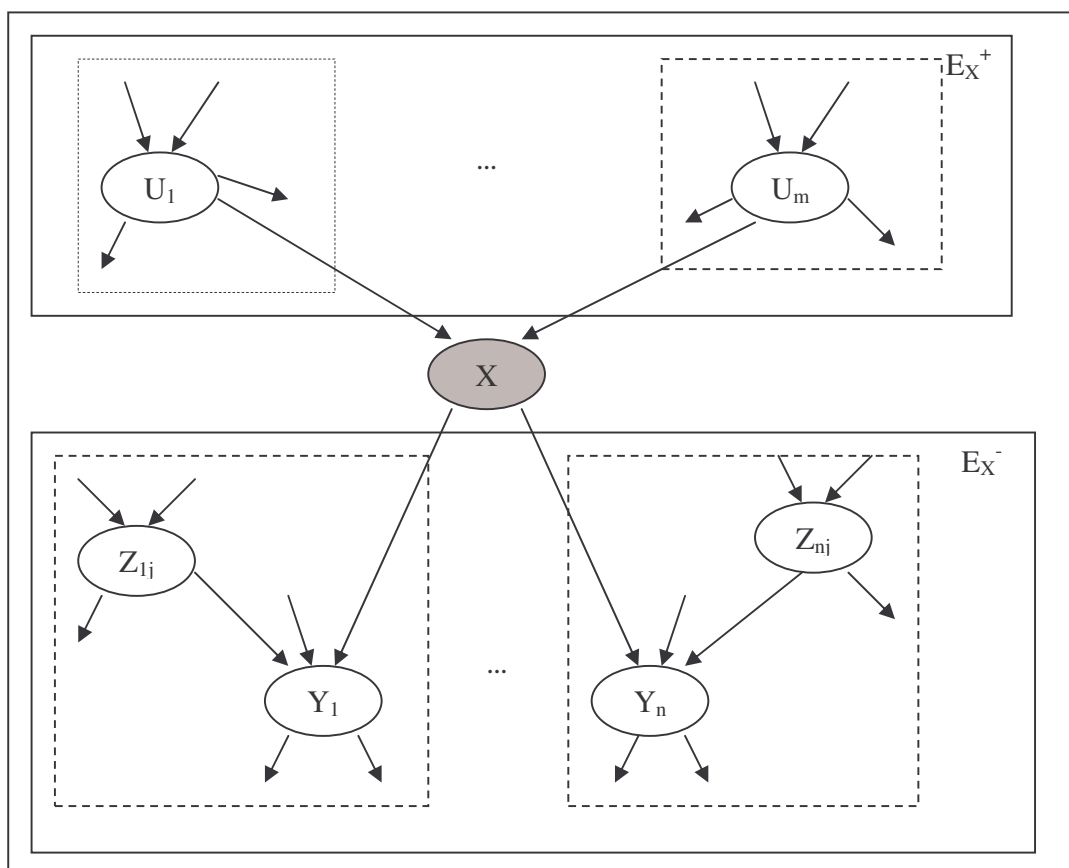


Figura 3.5. Rețea generică singular conectată. Partiționarea este făcută în funcție de părinții și copiii nodului X.



Expresia finală este:

$$P(E_X^- | X) = \beta \prod_i \sum_{y_i} P(E_{Y_i}^- | y_i) \sum_{z_i} P(y_i | X, z_i) \prod_j P(z_{ij} | E_{Z_{ij} Y_i}). \quad (3.25)$$

adică se calculează contribuția evidenței asupra probabilității părinților  $Z_{ij}$  ai lui  $Y_i$  diferiți de  $X$ , produsul acestor contribuții după  $j$  dă contribuția evidenței pentru  $Y_i$  pentru o anumită configurație  $z_j$  a părinților, această contribuție totală se ponderează cu probabilitatea lui  $y_i$  condiționat de  $(z_i, X)$ . Se ia apoi suma după toate configurațiile posibile  $z_i$  ale părinților și această sumă se ponderează cu suportul dat de evidența copiilor lui  $Y_i$  pentru valoarea  $y_i$ . În final se însumează după toate valorile  $y_i$  ale lui  $Y_i$  și produsul este posibil datorită d-separării copiilor  $Y_i$  ai lui  $X$  în rețea.

Recursia se oprește în nodurile evidență, nodurile rădăcină și nodurile frunză, fiecare apel recursiv excluzând nodul din care a fost apelat, astfel că nu se trece de două ori prin același nod. Algoritmul este așadar liniar în numărul de noduri al rețelei. Corectitudinea sa este restrânsă la clasa rețelelor de tip poliarbore.

### Algoritm

**function** BELIEF-NET-ASK( $X$ ) **returns** o distribuție de probabilitate a valorilor lui  $X$ ;

**inputs:**  $X$  o variabilă aleatoare;  
SUPPORT\_EXCEPT( $X$ , null);

**function** SUPPORT-EXCEPT( $X, V$ ) **returns**  $P(X | E_{X \setminus V})$

**if** EVIDENCE?( $X$ ) **then return** distribuția punctuală observată pentru  $X$

**else**

calculează  $(P_{X \setminus V}^- | X) = \text{EVIDENCE-EXCEPT}(X, V)$

$U \leftarrow \text{PĂRINȚI}[X]$

**if**  $U$  vid

**then return**  $\alpha P(E_{X \setminus V}^- | X) P(X)$

**else**

pentru fiecare  $U_i$  din  $U$

calculează și reține  $P(U_i | E_{U_i \setminus X}) = \text{SUPPORT-EXCEPT}(U_i, X)$

**return**  $\alpha P(E_{X \setminus V}^- | X) \sum_u P(X | U) \prod_i P(U_i | E_{U_i \setminus X})$

**function** EVIDENCE-EXCEPT( $X, V$ ) **returns**  $P(E_{X \setminus V}^- | X)$

$Y \leftarrow \text{COPII}[X] - V$

**if**  $Y$  vid

**then return** o distribuție uniformă

**else**

pentru fiecare  $Y_i$  din  $Y$

calculează  $P(E_{Y_i}^- | y_i) = \text{EVIDENCE-EXCEPT}(Y_i, \text{null})$

$Z_i \leftarrow \text{PĂRINȚI}[Y_i]-X$   
 pentru fiecare  $Z_{ij}$  din  $Z_i$   
 calculează  $P(Z_{ij} | E_{Z_{ij} \setminus Y_i}) = \text{SUPPORT-EXCEPT}(Z_{ij}, Y_i)$   
**return**  $\beta \prod_i \sum_{y_i} P(E_{Y_i}^- | y_i) \sum_{z_i} P(y_i | X, z_i) \prod_j P(z_{ij} | E_{Z_{ij} \setminus Y_i})$ .

■

Deși, după cum s-a văzut, există algoritmi liniari pentru rețelele de tip poliarbore, pentru rețelele multiplu conectate inferența probabilistică exactă rămâne NP-dificilă. Pentru astfel de rețele generale se încearcă reducerea lor la poliarbori, aplicarea algoritmului de bază pentru fiecare poliarbore și combinarea rezultatelor, conform unei strategii de tip “divide et impera”. Algoritmii generalizați sunt în principal de patru tipuri: metode de clustering, metode pe bază de mulțimi tăietură, algoritmi de simulare stocastică, și metodele de căutare pentru rețele de tip “noisy-or”.

1. Metode de clustering: [HuaDar96] Se transformă rețeaua într-un poliarbore prin combinarea mai multor noduri într-un meganod.

Problema rămâne însă NP-dificilă întrucât crește dimensiunea tabelii de probabilități condiționate (care se calculează pe produsul cartezian al domeniului variabilelor). Cheia acestei metode, care este totuși cea mai eficientă, stă în alegerea meganodurilor potrivite.

2. Condiționalizare pe baza unei mulțimi-tăietură (cutset conditioning) [RusNor02]

Algoritmii de acest tip transformă rețeaua în mai multe rețele tip poliarbore, fiecare rețea simplă având una sau mai multe variabile deja instanțiate.  $P(X|E)$  este în final o medie ponderată a valorilor calculate de fiecare poliarbore.

(Mulțime tăietură = mulțime de variabile ce pot fi instanțiate pentru a rezulta poliarbori).

3. Metode de simulare stocastică [PraDag96, Russell & al. 2002]

Cele mai cunoscute sunt scalarea logică (“logic sampling”) și ponderarea verosimilității (“likelihood weighting”).

a) Scalarea logică

Se aleg aleator valori pentru variabilele rădăcină și se generează valori pentru variabilele dependente ținând cont de tabelele de probabilități condiționale; apoi se numără frecvența de apariție a evenimentului de interes:

$$P(X | E) = \frac{|X = t; E = t|}{|X = f; E = t|}. \quad (3.26)$$

Problema acestor metode este că, dacă suntem interesați de valori rare ale lui E, acestea vor apare rar la simulare. O rezolvare este dată de abordarea următoare.

b) Ponderarea verosimilității

Variabilele evidență sunt asumate adevărate, dar fiecare simulare este ponderată cu probabilitatea valorii de adevăr “A” pentru evidența condiționată de valorile simulate

pentru părinții acestei evidențe. Un exemplu de rețea bayesiană care folosește acest algoritm cu aplicații în diagnoză în medicina internă este proiectul CPSC (Malcolm Pradhan).

Din păcate, aproximările stocastice ale inferenței probabiliste sunt de asemenea NP-dificile [HuaHen96]. Pentru un anumit tip de rețele bayesiene (noisy-OR) însă, lucrurile se simplifică foarte mult, după cum vom vedea în continuare.

### 3.3.1.2. Rețelele noisy-OR

Pentru nodurile deterministe ale rețelelor bayesiene clasice, probabilitățile valorilor sunt specificate exact de valorile părinților, fără incertitudine. În schimb, în rețelele de tip “noisy OR” sunt modelate relații logice cu zgomot (ce adaugă incertitudine la abordarea logică).

Ex. Febră=Răceală sau Gripă sau Malarie (în logică:  $A(\text{devărat}) = A \text{ sau } A \text{ sau } A$ )

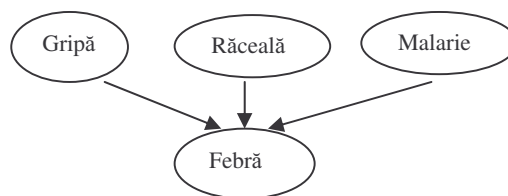


Figura 3.6. Exemplu de mini-rețea noisy-OR

Presupunem că:

- toate cauzele sunt listate ;
- fiecare cauză are o șansă independentă de a produce efectul;
- orice previne Gripa de a produce Febră e independent de ceea ce previne Malaria de a produce Febră.

Parametrii zgomot sunt priviți ca posibili inhibitori ai dependențelor modelate în probabilitățile condiționale; astfel, dacă  $P(\text{Febră}|\text{Răceală})=0.4 \Rightarrow P(\text{inhibitori})=1-0.4=0.6$ .

Regula de calcul: probabilitatea ca ieșirea să fie falsă este produsul parametrilor zgomot pentru părinții cu valoarea “adevărat”. Prin urmare, nu mai avem tabele de probabilități condiționale ci maximum k parametri (unde k=numărul de părinți). Este o modelare diferită a ideii de “undercutting defeaters” [Poll92, Poll02]: o implicație poate avea excepții de utilizare.

4. Metode de inferență pe bază de căutare Ideea acestei metode este de a căuta instanțieri parțiale sau complete ale spațiului produs aposteriori, folosite apoi pentru estimarea valorilor variabilelor de interes. Succesul metodelor de căutare depinde de doi factori [HuaHen96]:

- în distribuția produs, masa majoritară a probabilității este concentrată într-o mică fracție a variabilelor ipoteze (după cum este și cazul în diagnoză) ;
- există reguli eficiente de reducere masivă a spațiului de căutare.

Proprietatea 2 depinde de clasa de rețele bayesiene. Astfel, Max Henrion a dezvoltat un algoritm simplu (- TopN) pentru inferență în rețele noisy-OR cu două nivele [HuaHen96]. De exemplu, pentru rețeaua din Figura 3.7, algoritmul găsește cele mai probabile N instanțieri ale nivelului boli.

O generalizare a algoritmului TopN pentru rețele noisy-OR multinivel este dată de către algoritmul TopEpsilon prezentat în continuare [HuaHen96].

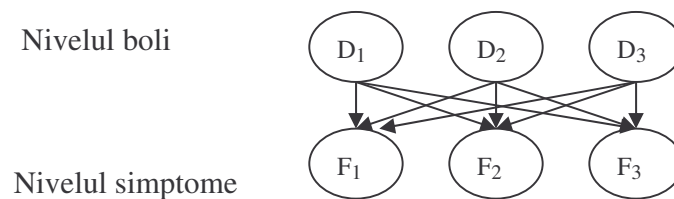


Figura 3.7.Rețea de diagnoză cu două nivele

### Algoritmul TopEpsilon

TopEpsilon( $\epsilon_{target}$ , rețea bayesiană)

EticheteazăNoduri (rețea bayesiană)

nivel\_max := nivelul nodurilor-evidență celor mai adânci //mai aproape de frunze

pentru fiecare nod al rețelei bayesiene

scor(nod):=0;

masa\_acumulată:=0;

stiva:=vidă;

starea\_curentă= instanțierea parțială a rețelei corespunzătoare nodurilor evidență de la nivel\_max;

PUSH starea\_curentă (în stivă);

WHILE stiva nevidă DO

BEGIN

starea\_curentă=POP(stiva);

IF completă(starea\_curentă) AND probabilitate(starea\_curentă) $\geq$   $\epsilon_{target}$

THEN

masa\_acumulată=masa\_acumulată+probabilitate(starea\_curentă);

ELSE

$\epsilon_{new} = \epsilon_{target} / \text{probabilitate}(\text{starea\_curentă});$

lista\_extensii=EpsilonML(starea\_curentă,  $\epsilon_{new}$ );

PUSH(lista\_extensii, stiva);

```
END ELSE  
END WHILE
```

```
FOR fiecare nod din rețea DO  
    estimare_aposteriori(nod)=scor(nod) / masa_acumulată
```

În algoritmul de mai sus, EpsilonML reprezintă o procedură care găsește instanțieri de verosimilitate sporită pentru părinții direcți (și fără legături colaterale între ei) ai unei mulțimi-evidență. Probabilitate(starea curentă) determină verosimilitatea instanțierii parțiale construite până la momentul respectiv. Algoritmul enumeră instanțierile complete ale rețelei cu o probabilitate produs  $\geq \epsilon_{\text{target}}$ .

Câteva exemple de sisteme care se încadrează în formalismul de mai sus sunt **HUGIN** [And89], **PATHFINDER** [Heck91].

### 3.3.1.3. Bayesianism și cauzalitate

Cele mai riguros apropiate de diagnoza pe bază de model cauzal profund sunt rețelele cauzale. Acestea sunt rețele bayesiene în care părinții unui nod reprezintă cauzele sale directe (din modelul natural al domeniului). În construirea unei rețele bayesiene, adăugarea nodurilor pornind de la cauzele “de bază” este o recomandare care îmbunătățește mult eficiența modelului, dar acesta nu este singurul avantaj: după cum demonstrează Poole, rețelele cauzale pot fi modelate ca un program logic cu probabilități asociate diferitelor ipoteze, fiind astfel echivalente cu viziunea logică asupra abducției (vezi și Secțiunea 3.4.1).

După cum observa autorul în [Pea01b], statistica este domeniul care se ocupă de descoperirea asocierilor ce pot apărea între variabile, sub forma unor coeficienți de corelație, folosind tehnici de regresie și estimare, și orice concept statistic poate fi exprimat în termenii unei distribuții de probabilitate (subiectivă sau bazată pe frecvențe). În plus, statistica nu surprinde decât relațiile statice din cadrul lumii modelate. Condițiile dinamice care țin de modificările posibile ale variabilelor trebuie modelate într-un formalism nou, specific cauzalității. O idee care decurge de aici este că probabilitățile condiționale nu sunt totdeauna potrivite pentru modelarea cauzalității. În sprijinul acestei afirmații, un argument în plus este dat și de următorul exemplu.

Conform teoriei probabilității, dacă H reprezintă o ipoteză și E o mulțime de evidențe, și formalizăm cauzalitatea cu ajutorul probabilității condiționale, atunci:

$$P(H|E) = 1 - P(H'|E) \quad (3.27)$$

implică o relație cauză-efect între E și H' când există o relație cauză-efect între E și H. Un exemplu simplu din [GiaRi194] ne arată că această asociere nu este corectă:

$$\text{“Dacă } P(\text{a absolvi } | \text{ nota “A” la cursul X}) = 0.7\text{”} \quad (3.28)$$

aceasta nu înseamnă neapărat că:

$$P(\text{a nu absolvi} \mid \text{nota "A" la cursul X}) = 0.3, (3.29)$$

întrucât există mulți alți factori ce pot încă împiedica absolvirea.

Astfel, Pearl a propus *modelul ecuațiilor structurale* pentru a trata sistemele cauzale [Pea01a], și noțiunea de *intervenție* este noțiunea cheie pentru a distinge între o relație cauzală și orice alt fel de dependență: într-o relație cauză –efect modificări ale părinților rezultă în modificări ale copiilor și ale nici unui alt nod. Rețelele cauzale au fost folosite în diagnoza medicală în sisteme precum **CASNET** (pentru diagnosticul glaucomului [Lon01]), **Heart Disease Program** [LongNai92].

#### 3.3.1.4. Sistemul de diagnoză medicală CASNET

Detaliem în continuare sistemul CASNET [Weis74], întrucât acesta a constituit o sursă de inspirație și pentru abordarea originală a acestei lucrări (în special în partea de reprezentare a cunoștințelor).

**Reprezentarea cunoștințelor.** Dacă domeniul medical abordat este suficient de bine înțeles încât permite reprezentarea detaliată a mecanismelor fiziologice ce stau în spatele declanșării simptomelor, este de bun simț să renunțăm la o reprezentare bazată doar pe asocieri boli-simptome (cum folosesc de exemplu sistemele de diagnoză medicală - clasice deja- PIP sau INTERNIST). Rețeaua cauzală a sistemului CASNET cuprinde stări de disfuncționalitate (diferite de bolile propriu zise) și teste (informații externe ce definesc probabilitatea de existență a stărilor ascunse). Un statut particular îl au stările inițiale (primare din punct de vedere etiologic) și cele finale (care nu au consecințe disfuncționale). Relațiile cauzale între noduri sunt legături de diferite ponderi nod cauză-nod efect, legături interpretate drept frecvența cu care primul nod îl cauzează pe al doilea. Nu sunt permise ciclurile în rețea. Rețeaua de stări de disfuncționalitate este un model simplificat al bolii, cu rolul de a ghida procesul de diagnoză. Nodurile pot avea statutul de confirmate sau infirmate prin teste.

**Mecanismul de inferență.** Inferența este probabilistă, bazându-se, în principiu, pe un proces de propagare a încrederilor/ neîncrederilor în adevărul nodurilor pe baza testelor de care sunt legate, creând căi acceptabile (adică fără noduri negate) în rețea. Aceste căi constituie potențiale explicații pentru diagnosticul final, și focalizează atenția pe regiunile de interes ale rețelei. Planul de testare este definit prin intermediul structurii rețelei- se testează acele noduri “necunoscute” aflate pe căile aflate în construcție.

Practic, pentru fiecare nod se calculează două măsuri probabilistice: *ponderea* (estimarea verosimilității sale pe baza tăriei legăturilor cauzale cu nodurile confirmate/ infirmate cele mai apropiate-înrudite-) și *starea* (estimarea verosimilității pe baza testelor direct relevante pentru nod). Astfel, de câte ori se obține rezultatul unui test nou, starea fiecărui

nod legat de testul respectiv este reactualizată: dacă rezultatul testului are încredere mai mică decât valoarea de încredere a nodului, nu modificăm nimic, dacă rezultatul este mai mare, valoarea nodului devine egală cu încrederea testului, dacă sunt egale dar de semne opuse, se raportează utilizatorului prezența unei contradicții.

**Dezavantaje:**

- Un prim dezavantaj al CASNET este moștenit de la rețelele bayesiene: după cum am subliniat mai sus, pentru rețelele multiplu conectate (cu mai mult de două căi între două noduri) inferența probabilistă este NP-dificilă. O problemă legată de acest aspect vine din faptul că se lucrează teoretic cu toată rețeaua simultan, o consecință nedorită fiind și că multe noduri cu relevanță foarte mică sunt implicate în calcul. Aceasta afectează nu doar eficiența, dar are rezultate nedorite asupra rezultatului final al calculului (ponderi mai mari decât trebuie pentru anumite diagnostice, diagnostice care apar deși ar trebui să lipsească etc).
- O altă problemă importantă în CASNET este felul în care se tratează agregarea rezultatelor testelor legate de un singur nod. Dacă trebuie redat faptul că două teste susțin un anumit nod doar când apar conjugate, atunci un test nou este definit pentru a reprezenta cele două teste împreună. Autorul argumentează că este suficient, în această situație, să considerăm tăria maximă a celor două teste ca rezultat al agregării, ceea ce, după părerea noastră, este discutabil în cazul general. În plus, abordarea este inaplicabilă acelor situații (destul de frecvente în diagnoză) când trebuie modelat faptul că o ipoteză e susținută doar de prezența unui “număr consistent” (criteriu vag) de teste din cele legate de ea.
- Maniera de tratare a contradicțiilor constituie, deasemenea, un dezavantaj. Modul de calcul al scorului unui nod prin adăugarea și scăderea de cantități în funcție de confirmarea/ infirmarea unor teste poate duce la rezultate ambigue, greu de interpretat și chiar greșite. Cea mai bună dovadă în acest sens este faptul că, dacă prin scăderi și adunări repetate se junge la scor 0, sistemul raportează contradicția utilizatorului, el neștiind cum să o trateze. În plus, stabilirea pragului T ridică multe semne de întrebare: este clar că acest test ar trebui să fie dependent de nodul asociat, de numărul de teste confirmatoare/ infirmatoare etc., dar detalii clare despre cum ar trebui definite aceste dependențe nu avem. De aceea considerăm că o abordare categorică a problemei contradicțiilor constituie o soluție mai bună decât metoda probabilistă.

O îmbunătățire notabilă a sistemului CASNET a fost făcută în sistemul CHECK [TorCon89], dar și în sistemul original DiaMed. Avantajele vor fi detaliate în secțiunile dedicate celor două sisteme (Secțiunea 4.4 și Capitolul 8).

### 3.3.2. Sisteme de inferență fuzzy

Mulțimile fuzzy au apărut ca o necesitate de a modela incertitudinile non-statistice, în modelarea termenilor și expresiilor lingvistice și a raționamentului aproximativ. După cum a fost subliniat în Capitolul II, medicina este un domeniu în care mulțimile fuzzy își găsesc în mod natural aplicativitatea, datorită multiplelor surse de incertitudine,

imprecizie și subiectivitate. O abordare recentă ce folosește agregarea fuzzy pentru diagnoza pacienților cu tremurături se găsește în [TeoCheKan01].

Sistemele de inferență fuzzy reprezintă un formalism potrivit pentru folosirea unui model furnizat de un expert uman, construind o schemă simplificată a unui model complex. Specificul lor principal stă în formalismul de reprezentare a incertitudinii. Conceptele din cunoștințele asociate cu o anumită problemă (ontologia domeniului) sunt reprezentate ca *variabile lingvistice* (de exemplu: vârstă, înălțime, temperatură). Aceste variabile pot lua *valori lingvistice* definite ca mulțimi fuzzy (de exemplu *mic, mediu, mare*), definite pe un domeniu (discret sau continuu) asociat variabilei căreia îi aparțin.

Regulile care stau la baza unui sistem de inferență fuzzy pot partiționa spațiul de intrare astfel ca în fiecare subspațiu fuzzy comportarea sistemului este lineară, această proprietate fiind utilă în aproximarea funcțiilor complexe, nelineare.

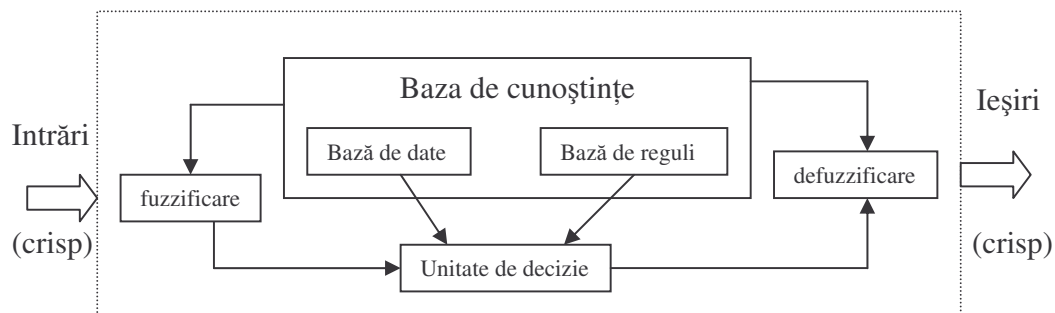


Figura 3.8. Schema unui sistem de inferență fuzzy

Raționamentul fuzzy (inferența folosind reguli fuzzy) constă din următorii pași [Jan92]:

1. FUZIFICARE. Se compară variabilele de intrare cu funcțiile de apartenență la mulțimile fuzzy din antecedentul regulilor și se obțin măsuri de compatibilitate ale intrării cu fiecare etichetă lingvistică.
2. Se combină printr-un operator de tip t-normă măsurile de compatibilitate pentru antecedentul fiecărei reguli și se obține puterea de activare (ponderea) fiecărei reguli.
3. Se generează consecventul fiecărei reguli (fuzzy sau crisp), în funcție de ponderea fiecărei reguli.
4. DEFUZIFICARE. Se agregă consecvenții regulilor pentru a produce o ieșire crisp.

Există 3 tipuri importante de inferență fuzzy, în funcție de tipul regulilor folosite.

Tipul I.(FRF: Fire Rules First) Ieșirea sistemului de inferență este media ponderată a ieșirilor crisp ale regulilor, ponderile fiind date de puterea de activare a fiecărei reguli.



Tipul II.(CRF: Combine Rules First) Se aplică “max” (sau un alt operator de agregare de tip t-conormă) ieșirilor regulilor și se obține un rezultat fuzzy (o mulțime fuzzy), din care apoi se obține valoarea finală (crisp) prin diferite metode: centrul de greutate, centrul ariei, media maximelor ș.a.

Tipul III. Se folosesc reguli de tip Takagi-Sugeno. Ieșirea fiecărei reguli este o combinație lineară de variabilele de intrare plus o constantă, ieșirea finală este media ponderată a ieșirilor regulilor.

Vom prezenta în continuare locul sistemelor de inferență fuzzy în cadrul raționamentului aproximativ. Regula ce stă la baza raționamentului aproximativ este modus ponens generalizat. De la aceasta s-a dedus regula de inferență compozițională pentru raționamentul aproximativ [Zad73]:

*Premiză: Dacă x este A atunci Y este B*

*Fapt: x este A'*

---

*Concluzie: y este B'*

Concluzia B' se determină ca o compunere între faptul descris de premiză și operatorul de implicație fuzzy:  $B' = A' \circ (A \rightarrow B)$ . Deci:

$$B'(v) = \sup_{u \in U} \min\{A'(u), (A \rightarrow B)(u, v)\}, \forall v \in V. \quad (3.30)$$

(S-a folosit compunerea sup-min). Între operatorii pentru implicația fuzzy menționăm implicația Mamdani<sup>1</sup> (foarte frecvent utilizată în controlul fuzzy).

**Regulile fuzzy de tipul “dacă-atunci”** sunt expresii de tipurile prezentate mai jos la punctele a), b) ce captează regulile empirice folosite de experți umani în condiții de imprecizie și incertitudine; fiecare regulă poate fi privită ca o descriere locală (a unei părți limitate) a sistemului.

a)Reguli de tip Mamdani

“Dacă A atunci B”, unde A și B reprezintă mulțimi fuzzy.

Exemplu: “Dacă presiunea este ridicată, atunci volumul este mic.”

$R_1$ : DACĂ  $x_1$  este  $A_{11}$  ȘI...ȘI  $x_m$  este  $A_{m1}$  ATUNCI  $y$  este  $B_1$

$R_2$ : DACĂ  $x_1$  este  $A_{12}$  ȘI...ȘI  $x_m$  este  $A_{m2}$  ATUNCI  $y$  este  $B_2$

...

$R_n$ : DACĂ  $x_1$  este  $A_{1n}$  ȘI...ȘI  $x_m$  este  $A_{mn}$  ATUNCI  $y$  este  $B_n$

Fapt:  $x_1$  este  $x_{10}$ ,  $x_2$  este  $x_{20}$ ,...  $x_m$  este  $x_{m0}$ ,

---

<sup>1</sup>  $x \rightarrow y = \min\{x, y\}$ .

Concluzie:  $Y$  este  $B$

b)Reguli de tip Takagi-Sugeno

“Dacă  $A$  atunci  $y=f(A)$ ”.

Exemplu: ”Dacă viteza este mare, atunci forța = $k$ \* (viteza)<sup>2</sup>“.

$$R: IF x_1 is A_1 AND \dots AND x_k is A_k THEN y=p_0+p_1x_1+\dots+p_kx_k, (3.31)$$

unde  $y$  este ieșirea sistemului, iar  $A_1, \dots, A_k$  sunt mulțimi fuzzy cu funcții de apartenență lineare, reprezentând subspațiul fuzzy în care regula  $R$  este aplicabilă. Specificul acestor reguli stă în faptul că partea de consecvent este descrisă de o ecuație non-fuzzy, sub forma unei funcții dependentă de variabila de intrare (din antecedent).

Iată un exemplu de schemă de raționament fuzzy pentru cazul sistemelor MISO (Multiple Input Single Output) [Ful95], pentru sistemul reprezentat la punctul a). Concluzia se calculează ca  $Agg(Fapt^\circ R_1, \dots, Fapt^\circ R_n)$ , obținându-se:

$$B=Agg(x_{10} \times \dots \times x_{m0} \circ R_1, \dots, x_{10} \times \dots \times x_{m0} \circ R_n). (3.32)$$

Ieșirea fuzzy a acestei baze de cunoștințe se calculează astfel:

- Nivelul de procesare al regulii  $R_i$  este  $A_{1i}(x_{10}) \times \dots \times A_{mi}(x_{m0})$ ;
- Ieșirea fiecărei reguli  $R_i$  este mulțimea fuzzy  $B_i'(w)=A_{1i}(x_{10}) \times \dots \times A_{mi}(x_{m0}) \rightarrow B_i(w), \forall w \in W$ , ( $W$  fiind mulțimea de discurs a variabilei  $Y$ );
- Ieșirea globală  $B$  a sistemului este:  $B(w)=Agg\{B_1', \dots, B_n'\}, \forall w \in W$ .

(S-a folosit metoda CRF (Combine Rules First)).

Operatorii care stau la baza agregării pot fi atât t-norme cât și t-conorme, după cum agregarea are o semnificație conjunctivă sau disjunctivă. Opțiuni diverse există și pentru produsul cartezian sau implicație (spre exemplu, t-norma produs).

Se observă că în modelul propus mai sus, funcția de apartenență ce definește mulțimea fuzzy-consecvent este o valoare lingvistică pentru una și aceeași variabilă ( $y$ ). Dacă dorim o valoare crisp apelăm la defuzzificare. Dacă folosim modelul fuzzy simplificat, în care consecventul fiecărei reguli este de forma  $y$  este  $y_i$ , este evident că nu mai avem nevoie de defuzificare, ieșirea  $y_0$  calculându-se, de exemplu, după formula:

$$y_0 = \frac{\alpha_1 y_1 + \dots + \alpha_n y_n}{\alpha_1 + \dots + \alpha_n}, (3.33)$$

unde  $\alpha_i=(A_{1i} \times \dots \times A_{mi})(x_{10}, \dots, x_{m0}), i=1, \dots, m$ .

Din punct de vedere matematic, sistemele fuzzy sunt funcții ce pot aproxima un proces dat. Ele sunt aproximatori universali, proprietate ce relevă adecvarea utilizării lor atât în problemele de decizie cât și în cele de control automat [TeoCheGal89].

### 3.3.3. Măsuri de posibilitate

După cum observau autorii în [RusNor02], funcționalitatea relativ la valoarea de adevăr modelată prin intermediul probabilităților nu este recomandată în raționamentul incert. Iată un scurt exemplu prin care se ilustrează această afirmație. Dacă avem 100 de premize, agregate conjunctiv, și fiecare dintre ele are probabilitatea 0.99, concluzia acestora va avea o probabilitate de abia 0.37-adică ar putea fi, eventual, neglijată în urma aplicării unui prag. În plus, am exemplificat în Secțiunea 3.3.1.3 dezavantajele relației  $P(H|E) = 1 - P(H' | E)$ .

S-a ajuns, astfel, la probabilitățile subiective, dintre care un prim model a fost al *factorilor de încredere* – folosit în Mycin. Mulțimile vagi și teoria posibilității au ajutat la depășirea unor dezavantaje ale metodelor probabiliste, și pot fi privite drept un model dezvoltat / generalizat al factorilor de încredere.

Măsurile de posibilitate și mulțimile vagi au fost concepute special pentru modelarea incertitudinii și impreciziei. Așa cum observau Dubois și Prade în [DubPra85], incertitudinea se referă la valoarea de adevăr, în timp ce imprecizia este o noțiune legată de conținut. O valoare a unei date este cu atât mai puțin certă, cu cât este mai precisă. Pe baza distribuțiilor de posibilitate s-a încercat dezvoltarea rețelelor cauzale posibiliste, care se doresc o alternativă a rețelelor bayesiene (raționament incert cu date precise), pentru a trata probabilist date imprecise. [GebKru96]

**Definiție([DubPra85]).** Fie  $\Omega$  evenimentul întotdeauna cert și  $\emptyset$  evenimentul întotdeauna imposibil. Fie  $A \subseteq \Omega$  un eveniment. Se numește *măsură de încredere* o funcție  $g$  de evenimente ( $g(A)$  furnizat eventual de un expert uman) care satisface:

- $g(\emptyset)=0, g(\Omega)=1$ ; (3.34)
- Dacă  $A \subseteq B$ , atunci  $g(A) \leq g(B)$  (monotonie în sensul incluziunii). (3.35)

**Consecințe ale axiomei de monotonie.**  $\forall A, B \subseteq \Omega$  avem:

- $g(A \cup B) \geq \max(g(A), g(B))$ ; (3.36)
- $g(A \cap B) \leq \min(g(A), g(B))$ . (3.37)

**Definiție([DubPra85]).** *Măsurile de posibilitate* sunt un caz particular al măsurilor de încredere, pentru care:

$$\Pi(A \cup B) = \max(\Pi(A), \Pi(B)). \quad (3.38)$$

### 3.3.3.1. Proprietăți ale măsurilor de posibilitate

- $\Pi_E(A) = \begin{cases} 1, & \text{dacă } A \cap E \neq \emptyset \\ 0, & \text{altfel} \end{cases}; \quad (3.39)$

- $\max(\Pi(A), \Pi(\bar{A})) = 1; \quad (3.40)$

- dacă avem definită o distribuție de posibilitate pe  $\Omega$ -finită  $\pi: \Omega \rightarrow [0,1]$  atunci:

$$\Pi(A) = \sup\{\pi(\omega) \mid \omega \in A\}. \quad (3.41)$$

Pe baza proprietăților menționate s-a definit versiunea posibilistă a relației 3.27:

$$\max(\Pi(h \mid e), \Pi(\neg h \mid e)) = 1, \quad (3.42)$$

care înlătură neajunsurile menționate mai sus (spre exemplu, este evident că dacă absența lui  $h$  e imposibilă în prezența lui  $e$ ,  $h$  este posibil în prezența lui  $e$ ).

Se observă că distribuția oricărei măsuri de posibilitate ce ia valori în intervalul  $[0,1]$  poate fi văzută ca funcția de apartenență a unei mulțimi fuzzy  $F$ :

$$\forall \Pi, \exists F \in [0,1]^\Omega \forall \omega \in \Omega: \Pi(\{\omega\}) = \Pi(\omega) = \mu_F(\omega) \quad (3.43)$$

Reciproc, orice mulțime fuzzy normalizată poate fi tradusă natural ca o măsură de posibilitate.

### 3.3.3.2. Raționament incert și imprecis folosind măsuri de posibilitate

În mecanizarea raționamentului există două puncte de vedere în reprezentarea implicațiilor:

- **logic** (implicația materială):  $p \rightarrow q \equiv \neg p \vee q$ ;
- **funcțional**: o regulă reprezintă specificarea parțială a unei funcții  $f: \{p, \neg p\} \rightarrow \{q, \neg q\}$ .

În cadrul punctului de vedere logic regulile de derivare sunt *modus ponens* și *modus tollens* (contrapozitiva); în cazul funcțional, regula este interpretată în termeni de condiționare și valoarea de adevăr a regulii  $p \rightarrow q$  nu este definită decât dacă  $p$  este adevărată:

$$v(p \wedge q) = \min(v(q \mid p), v(p)) \quad (3.44)$$

Diferența de bază între cele două abordări este următoarea: în logică, dacă  $p$  este fals, nu pot să exprim că “ $p$  nu implică  $q$ ” fără a ajunge la o contradicție ( $p$  nu implică  $q \equiv p \wedge \neg q$ , care nu poate fi adevărată indiferent de valoarea lui  $q$ , cât timp  $p$  este falsă), în timp ce în cazul funcțional  $v(q|p)$  nu depinde de valoarea lui  $p$  (chiar dacă  $p$  este fals,  $v(q|p)=0$  nu presupune o contradicție.)

| $V(p \rightarrow q)$ | $V(p)$ | $V(q)$                      |
|----------------------|--------|-----------------------------|
| 1                    | 1      | 1                           |
| 1                    | 0      | {0,1}                       |
| 0                    | 1      | 0                           |
| 0                    | 0      | $\emptyset$ (caz imposibil) |

Tabel 3.1. Modus ponens pentru cazul logic

| $V(q p)$ | $V(p)$ | $V(q)$ |
|----------|--------|--------|
| 1        | 1      | 1      |
| 1        | 0      | {0,1}  |
| 0        | 1      | 0      |
| 0        | 0      | {0,1}  |

Tabel. 3.2. Modus ponens generalizat pentru abordarea de tip condiționare

Deci generalizarea modului ponens se exprimă prin:

$$v(q) \geq \min(v(q|p), v(p)) \quad (3.45)$$

Explicația pentru diferența menționată mai sus stă în faptul că în abordarea funcțională dispăre cazul imposibil, deci  $v(p)$  și  $v(q|p)$  pot fi definite independent (în timp ce  $v(p)$  și  $v(p \rightarrow q)$  sunt legate prin inegalitatea  $v(p) \leq v(p \rightarrow q)$ ).

### Inferență cu premise vagi

Plecând de la propozițiile  $p$ : "X este A" și  $q$ : "Y este B" (unde A și B sunt mulțimi vagi definite pe suportul S, respectiv T), existența unei legături cauzale între  $p$  și  $q$  (dacă  $p$  atunci  $q$ ) se poate reprezenta ca o distribuție de posibilitate condițională  $\pi_{Y|X}$ . Din relațiile

$$v(p \wedge q) = \min(v(q|p), v(p)) \quad (3.46)$$

și

$$v(q) \geq v(p \wedge q) \quad (3.47)$$

se deduc:

$$v(q) \geq \min(v(q|p), v(p)) \quad (3.48)$$

și

$$\Pi(p \wedge x) = \Pi(x|p) * \Pi(p)(x = q, \neg q) \quad (3.49)$$

Soluția maximală pentru 3.49 este măsura de posibilitate condițională cea mai puțin specifică:

$$\Pi(x|p) = \sup\{r | \Pi(p \wedge x) = r * \Pi(p)\}; x = q, \neg q. \quad (3.50)$$

Ținând cont că în anumite condiții unei distribuții de posibilitate i se poate asocia în mod unic o mulțime vagă și reciproc, rezultă, în continuare, că putem exprima "dacă X e A atunci Y e B" prin:

$$\forall t \in T : \mu_B(t) \geq \sup_{s \in S} \pi_{Y|X}(t, s) * \mu_A(s) \quad (3.51)$$

( $\mu_A$  și  $\mu_B$  sunt distribuțiile de posibilitate asociate mulțimilor A, respectiv B, iar  $\pi_{Y|X}$  este necunoscută. Dacă "\*" este o normă triunghiulară continuă, cea mai mare soluție pentru 3.51 este dată de ([DubPra85]):

$$\pi_{Y|X}(t, s) = \mu_A(s) * \rightarrow \mu_B(t). \quad (3.52)$$

**Exemple:**

$$a * b = \min(a, b) \Rightarrow a * \rightarrow b = \begin{cases} 1, a \leq b \\ b, \text{altfel} \end{cases}; \text{(Gödel)} \quad (3.53)$$

$$a * b = a.b \Rightarrow a * \rightarrow b = \begin{cases} 1, a = 0 \\ \min\left(1, \frac{b}{a}\right), \text{altfel} \end{cases}; \text{(Goguen)} \quad (3.54)$$

$$a * b = \max(0, a + b - 1) \Rightarrow a * \rightarrow b = \min(1, 1 - ab); \text{(Lukasiewicz)} \quad (3.55)$$

Concluzionând, fiind date două mulțimi vagi A și B, se poate defini o distribuție de posibilitate  $\pi_{Y|X}$  după modelul descris, care măsoară cât de posibil este ca între conceptele descrise de B și A să existe o relație de condiționare, ținând cont că, teoretic, trebuie să se respecte condiția 3.46.

**Alte metode de aplicare ale posibilităților în modelarea incertitudinii raționamentului.** Regulile generale cu excepții sunt una din sursele principale ale incertitudinii în cadrul unui raționament: concluziile lor pot fi infirmate de excepțiile ulterior descoperite. Incertitudinea nu este asociată atât cu o piesă anume de informație ci, mai degrabă, cu ordinea (aleatoare) defectuoasă în care pot proveni evidențele de la mediul extern. Raționamentul folosind cuantificatori vagi reprezintă o posibilă abordare a regulilor cu excepții. Aceștia sunt cuantificatori intermediari între  $\exists$  și  $\forall$ , cum ar fi: “în general”, “câțiva”, “cea mai mare parte” etc. Spre exemplu, Zadeh propune ca gradul de adevăr al unei propoziții  $p$ : “QA sunt B” (unde Q este un cuantificator vag) să se calculeze cu expresia:

$$v(p) = \mu_Q \left( \frac{|A \cap B|}{|B|} \right) = \mu_Q \left( \frac{\sum_{\omega \in \Omega} \min(\mu_A(\omega), \mu_B(\omega))}{\sum_{\omega \in \Omega} \mu_A(\omega)} \right) \quad (3.56)$$

O altă sursă de incertitudine este lipsa de fiabilitate a surselor. Gradele de incertitudine relativ la o singură propoziție (despre care primim informații din surse distincte, și care pot fi contradictorii) se pot combina folosind teoria posibilității sau regula lui Dempster ([DubPra85]). Aceste tipuri de combinare se exprimă prin conjuncția informațiilor urmată de o renormalizare a rezultatului. Fiind însă discontinue în vecinătatea valorilor ce exprimă conflictul total al surselor, sunt necesare tipuri de combinare neconjunctivă în cazul unui conflict sever.

Inferența posibilistă descrisă mai sus a fost aplicată mai multor sisteme de diagnoză, între care menționăm **PROTIS** ([Sou83]: reguli incerte în diagnoza și tratarea diabetului), **POSSINFER** [GebKru96], **DIAMS** [CayDubPra94].

Din păcate însă, și abordarea posibilistă are dezavantajele sale. Spre exemplu, relația 3.35 de monotonie în sensul incluziunii păstrează dezavantajul menționat în introducere, privind măsura unei conjuncții de propoziții. În plus, rețelele posibiliste suferă încă de lipsa unei semantici clare, fapt ce a determinat ca aplicațiile să fie destul de restrânse ca număr și domenii.

### 3.3.4. Modele simbolice

Cele mai cunoscute și utilizate structuri preponderent simbolice sunt arborii de decizie și sistemele expert. Aceste formalisme au fost printre primele utilizate în raționamentul simbolic și constituie o etapă intermediară între clasificarea metrică și cea non-metrică.

Cele două structuri menționate folosesc de obicei cunoștințe de suprafață, adică euristici ce rezumă cunoștințele unui expert uman. Spre deosebire de sistemele ce folosesc cunoștințe profunde, nu există lanțuri cauzale, legături tip-cauză efect de la o regulă la alta [GiaRil94], astfel că inferența este mai rapidă dar și explicațiile mai primitive. Sunt

de preferat atunci când elementele lanțului causal profund nu sunt accesibile pentru testare/observare. Componentele principale ale acestor sisteme sunt baza de cunoștințe și mecanismul de inferență.

#### Arbori / latice de decizie

Sunt modele a căror structură ierarhică le face foarte potrivite pentru clasificare, și reprezintă o metodă intuitivă de clasificare de forme descrise prin caracteristici simbolice printr-o secvență de întrebări, unde alegerea întrebării la fiecare pas depinde de răspunsul la întrebarea precedentă. Un algoritm foarte cunoscut de construire a arborilor de decizie din date este reprezentat de metoda CART (Classification And Regression Trees) [DudHarSto00, Hay98].

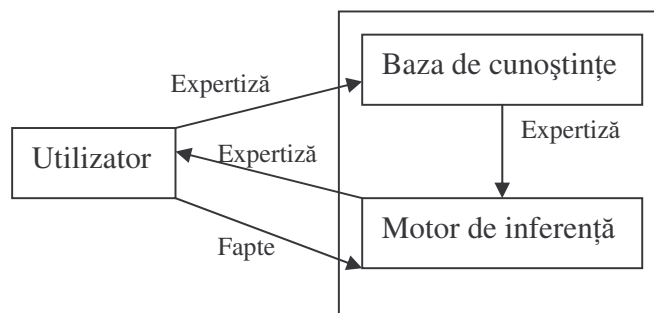


Figura 3.9.Structura generală a unui sistem expert

#### Sisteme pe bază de reguli.

Structurile de decizie pot fi traduse automat în reguli, așa că acestea pot fi văzute ca o generalizare a arborilor de decizie, în plus putând lucra și cu variabile.

**MYCIN**[GiaRil94] Modelul factorilor de certitudine (încredere) ce stă la baza acestui sistem expert de diagnosticare a infecțiilor hematologice a fost propus de Shortliffe și inspirat de teoria confirmării a lui Carnap. Motivația sa a plecat de la faptul că modelul bayesian nu este foarte potrivit pentru domeniul medical unde numărul testelor accesibile este limitat din diverse motive, și, în plus, rezultatele se obțin secvențial, în timp, unele cu întârziere. În plus, sunt prea multe probabilități condiționale de cunoscut apriori, și apare și problema menționată în discuția cauzalității într-o rețea bayesiană (3.27- 3.29).

În încercarea de a depăși modelul bayesian, Shortliffe propune o măsură care combină într-un singur număr (=factor de încredere) încrederea și neîncrederea într-o ipoteză condiționată de prezența unei anumite evidențe:

$$CF(H,E)=MB(H,E)-MD(H,E), (3.57)$$

unde MB=măsură a încrederii și MD-măsură a neîncrederii [GiaRil94].

Factorii de încredere astfel obținuți sunt folosiți la ierarhizarea ipotezelor de diagnostic.



Combinarea evidențelor din antecedentul unei reguli se face ca și în PROSPECTOR (vezi mai jos), utilizând logica fuzzy. Încrederea finală într-o ipoteză se face prin combinarea după un model propriu a regulilor al căror consecvent se referă la ipoteza respectivă. Una dintre problemele mari ale acestui sistem de combinare a evidențelor este că interacțiunile nedorite apar între regulile bazei de cunoștințe dacă aceasta nu este atent construită.

S-a demonstrat că teoria factorilor de încredere nu este decât o aproximare a raționamentului probabilist, și succesul MYCIN se datorează de fapt simplității teoriei domeniului (lanțuri inferențiale scurte + ipoteze simple), teoretic existând probleme cu modelul propus.

**PROSPECTOR [Giaril94]** Este un sistem expert “clasic” ce folosește raționament probabilist (cu aplicații în depistarea zăcămintelor în geologie). Legăturile evidențe-ipoteze sunt memorate sub forma unor *rețele de inferență*, asemănătoare rețelelor semantice. Nu este totuși un sistem pur probabilist întrucât folosește logica fuzzy și factori de încredere asemănători celor din MYCIN pentru combinarea evidențelor.

În încercarea de a compara sistemele expert și modelele probabiliste, observăm că sistemele expert sunt mai puțin precise față de modelele pur probabiliste (bayesiene), dar mai transparente, prin faptul că folosesc pentru clasificare, în principal, informație simbolică (reguli, liste de atribute).

Iată câteva diferențe între sistemele logice pe bază de reguli și sistemele probabiliste conform [RusNor02]:

- Sistemele logice pe bază de reguli au proprietatea de *localitate*, (rezultatul aplicării unei reguli nu depinde de alte reguli) spre deosebire de sistemele probabiliste unde trebuie luată în considerare toată evidența disponibilă. (Rețelele bayesiene, spre exemplu, sunt totuși *local structurate*, în sensul că un nod interacționează numai cu un grup restrâns de noduri în calcularea probabilităților condiționale -arcele din graful ce modelează rețeaua reprezintă un mijloc de ghidare a raționamentului; același tip de localitate poate fi întâlnit și în argumentele din sistemele de argumentație-);
- Sistemele logice sunt în general *funcționale relativ la valoarea de adevăr* (valoarea de adevăr a unei propoziții complexe poate fi calculată pe baza valorilor componentelor), în timp ce probabilitățile nu se pot combina funcțional decât în ipoteza de independență (adesea nerealistă).

### 3.4. Diagnoza pe bază de model

Introducem în continuare câteva dintre aspectele de bază ale diagnozei abordată cu metode logico-simbolice, pe bază de model cauzal de profunzime. Soluțiile sunt exacte, transparente (bune facilități de explicare), dar aici apare în prim plan problema eficienței.

### 3.4.1. Abducția și tehnicile bazate pe consistență

Abducția reprezintă una din schemele generale de raționament ce stau la baza procesului de diagnoză. În trihotomia lui Peirce există trei tipuri de inferență: "deducție, inducție, abducție". Pe scurt, fiind date premiza majoră  $a \supset b$ , premiza minoră  $a$  și concluzia  $b$ , Peirce afirmă că:

- *deducția* pleacă de la  $a \supset b$  și  $a$  pentru a deduce concluzia  $b$ ,
- *inducția* pleacă de la  $a$  și  $b$  pentru a produce regula  $a \supset b$ , iar
- *abducția* pleacă de la  $a \supset b$  și  $b$  pentru a construi o explicație plauzibilă pentru  $a$ .

Termenul de "abducție" a fost introdus de Peirce în anii 1800 și definit drept "procesul de formare a unei ipoteze explanatorii plecând de la o mulțime de observații".

#### Structura generală a unui raționament abductiv

D=observații adevărate, H explică D, nu există H' mai bun decât H care explică D  
H este presupus adevărat

**Aplicații.** Printre aplicațiile cele mai importante ale abducției se numără raționamentul în prezența informațiilor incomplete, generarea explicațiilor cauzale în diagnoza defectelor, simularea rețelelor bayesiene (David Poole: Independent Choice Logic).

Problemele care trebuie urmărite în cadrul unui raționament abductiv sunt:

- Care sunt datele care necesită explicații?
- Ce înseamnă că "H explică D"? (a) relație de cauzalitate; b) consecință logică)
- Ce înseamnă set de ipoteze "mai bun"?

#### Definiția abducției în termeni logici

Fie T teoria domeniului, D - formula ce trebuie explicată. O explicație pentru D în T este o formulă E care îndeplinește condițiile:

- $T \cup E$  este consistent;
- $T \cup E \vdash D$ ;
- E este formată numai din predicate asumabile și e cea mai simplă care satisface 1 și 2.

De nonmonotonicitatea abducției ne putem da seama urmărind exemplul următor ([Dup94]).

Fie

$$p_1 \rightarrow q, \dots, p_n \rightarrow q,$$

unde  $p_i, q$  -propoziții din teoria  $T$  a domeniului, și implicația materială este folosită pentru a modela relații cauză-efect (pentru un comentariu legat de cât este de potrivită această utilizare a se vedea Yeov Shoham-1987). Raționamentul abductiv spune, în acest exemplu, că pentru a explica  $q$ , trebuie să asumăm (să considerăm adevărat) cel puțin un  $p_i$  -ceea ce nu este corect decât dacă am presupus că avem cunoștințe complete în  $T$  despre  $q$ . Abducția este așadar o formă de raționament de tip invalidabil, întrucât depinde de cunoștințele (posibil incomplete) disponibile la un moment dat. Pentru a face explicită ipoteza de completitudine a cunoștințelor, se recurge la o transformare sintactică a lui  $T$  (completarea Clark), care inițial a fost folosită pentru a defini o semantică declarativă pentru “naf” (“negation as failure” =negația ca imposibilitate de a demonstra) în cadrul programării logice. Diferența față de utilizarea inițială este că atomii abductibili nu se completează, și nici cunoștințele factuale (observațiile). Ideea este de a transforma implicațiile în echivalențe, după modelul următor:  $a \rightarrow b, c \rightarrow b$  se înlocuiesc în teoria completată prin  $b \leftrightarrow a \vee c$ . Un rezultat important spune că formula ce caracterizează explicațiile rezultă deductiv din teoria completată și observații:  $T_C, \psi \models F$ , unde  $T_C$  este teoria completată,  $\psi$  reprezintă observațiile, și  $F$  reprezintă explicațiile ([Dup94]).

\*\*\*

**Definiție**[DixJ94]. Un *program logic general disjunctiv* constă dintr-un număr finit de reguli cu un număr arbitrar de clauze pozitive în consecvent:

$$A_1 \vee \dots \vee A_n \leftarrow B_1, \dots, B_m, \neg C_1, \dots, \neg C_l, \text{ unde } n \geq 1. \quad (3.58)$$

Dacă  $l=0$  programul este *pozitiv disjunctiv*, dacă  $n=1$  programul este *normal*, dacă  $n=1$  și  $l=0$ , programul este *pozitiv* (sau *definit*).

Un program logic este *ierarhic* dacă nu există dependențe ciclice între atomii clauzelor ( $A$  depinde de  $B$  dacă  $A$  apare în consecvent și  $B$  în antecedent). Un program logic este *stratificat* dacă dependențele circulare între atomi nu conțin un număr impar de arce negative (adică dependențe de un atom negat).

**Rezoluție SLD (Single Linear Derivation)**. Rezoluția SLD reprezintă semantica procedurală a programelor logice definite. O interogare (query)  $Q$  este o conjuncție de literali, posibil cu variabile libere. În SLD, negația lui  $Q$  este rezolvată față de clauze din programul  $P$  (aplicând eventual substituții, unde este necesar și posibil) folosind regula de inferență:

$$\frac{C \vee A, D \vee \neg A}{C \vee D} \quad (3.59)$$

Dacă pe parcurs se obține clauza vidă (fără literal), -adică o contradicție-, am demonstrat Q prin reducere la absurd.

**SLDNF** = SLD+ Negația ca eșuare finită (negation as finite failure) :  $\neg L$  reușește dacă L eșuează într-un număr finit de pași.

Dacă se consideră că T este program logic propozițional ierarhic (deci și stratificat) se cunosc algoritmi eficienți pentru rezolvarea problemei. Fie  $\Psi$  mulțimea de observații disponibile.

Spre deosebire de definiția generală a abducției în termeni logici, aici T poate conține și literal negativi. Negația explicită este utilă (în afara motivelor enunțate la programarea logică) în modelarea observațiilor negative (ce pot discrimina între ipoteze competitive), și în cadrul teoriei explanatorii (pentru a modela interacțiunile între cauze-de exemplu, fenomenele de anulare reciprocă).

**Definiția la meta-nivel a abducției([Dup94]).** Fie  $P = \langle T, \Psi \rangle$  o problemă de abducție. O *m-explicație* pentru P este o mulțime de atomi abductibili E astfel încât:  $T \cup E \vdash_{\text{SLDNF}} \Psi$ .

**Definiția la nivel obiect a abducției([Dup94]).** Fie  $P = \langle T, \Psi \rangle$  ca mai sus. Se numește *formulă explanatorie* pentru P o formulă F formată din atomi abductibili, cea mai specifică, astfel încât:  $T_{C, \Psi} \vdash F$ .

**Teoremă (legătura abducție - deducție)([Dup94]).** Fie  $P = \langle T, \Psi \rangle$  o problemă de abducție, F o formulă explanatorie pentru P, E o mulțime de atomi abductibili, și M o interpretare astfel încât:  $M \models \alpha$  ddacă  $\alpha \in E$ . Atunci E este o m-explicație ddacă  $M \models F$ .

\*\*\*

Raționamentul abductiv este intratabil în cazul general. S-au folosit însă diverse tehnici euristice și probabilistice pentru focalizarea sa și îmbunătățirea eficienței. Spre exemplu, în [Dup94] autorul propune o arhitectură specifică raționamentului abductiv (AID), care calculează explicații minimale, folosind însă numai modele monotone pentru teoria domeniului. Este prezentat un caz tipic de raționament pe bază de model. Acest tip de raționament este folosit în sistemele de IA care utilizează un model declarativ al domeniului, și abordarea este specifică sistemelor expert de generația a doua, care se bazează pe cunoștințe de "profunzime", spre deosebire de cunoștințele "superficiale"(de suprafață) ale sistemelor expert de generația întâi. Avantajul cunoștințelor de suprafață este că permit "salturi" în procesul de raționament, care devine astfel mai eficient. Baza de cunoștințe a sistemelor expert de generația întâi cuprinde expertiza unui expert al domeniului, cunoștințe de control și cunoștințe specifice rezolvării problemei. În ceea ce urmează până la finalul lucrării vom considera că termenul de "model" (din sintagma "diagnoză pe bază de model") se referă la structurile cauzale de profunzime ale domeniului.

Avantajele sistemelor bazate pe model (i.e. cunoștințe profunde, ce surprind structurile componente ale sistemului și legăturile cauzale între acestea) sunt abilitatea de a rezolva probleme necunoscute expertului uman și facilitatea de a explica concluziile procesului de raționament, -care devine însă foarte complex pe un astfel de model declarativ. Una dintre euristicile care ajută în asemenea situații este "compilarea cunoștințelor" (knowledge compilation): acestea sunt prelucrate pentru a extrage condiții ușor observabile ("operaționale") cu ajutorul cărora se evită construirea de explicații inconsistente/redundante, și se discriminează între explicații (a se vedea mai jos).

Există două tipuri de formalizări logice ale diagnozei pe bază de model. Formalizarea abductivă este preferată atunci când dispunem de un model "de defect" (model al comportamentului anormal) al sistemului, și acest model este complet-în acest context, prin diagnostic se înțelege o mulțime minimală de ipoteze de anormalitate care "acoperă" (implică) observațiile (conform observației de mai sus, în condiții de completitudine, abducția se reduce la deducție)([Kon92]). Dacă însă dispunem de un model al comportamentului corect, se folosește diagnoza pe bază de consistență: în cadrul acesteia, diagnostic înseamnă o mulțime minimală de componente ale sistemului asumate defecte, astfel încât comportamentul corect al celorlalte componente este consistent cu observațiile. Noțiunea de explicație diferă de la o abordare la alta: dacă în cadrul diagnozei bazate pe consistență o explicație pentru o manifestare  $m$  este tot ceea ce nu susține  $\neg m$ , în abducție explicația trebuie să susțină direct  $m$ . (În abducție este necesar  $i \rightarrow o$ , în consistență este necesar ca  $i \wedge o$  să nu fie contradictorie.) Avantajul abordării pe bază de consistență stă în validitatea logică, indiferent de completitudinea modelului. Dezavantajele, legate de imposibilitatea de a explica rezultatul și de a identifica exact defectul pot fi depășite prin integrarea abducției în acest cadru nou, după cum reiese din definițiile următoare.

În [ConTor92] autorii propun o viziune unificată a celor două direcții, o problemă de diagnostic fiind privită ca o problemă de abducție cu constrângeri de consistență, astfel:

**Definiție \*** ([ConTor92]). O problemă de diagnostic (DP: **D**iagnostic **P**roblem) este alcătuită din:

$$DP = \langle \langle BM, Comp \rangle, CXT, OBS \rangle, \quad (3.60)$$

unde **BM** (**B**ehavioral **M**odes) este o mulțime de clauze Horn care descriu structura și comportamentul sistemului, **Comp** este mulțimea de componente a sistemului, **CXT** este mulțimea informațiilor contextuale (nu trebuie explicate, sunt folosite doar la modelarea sistemului).

**Definiție**([ConTor92]). Dacă se partiționează **OBS** în  $\Psi^+$  (observațiile pozitive) și  $\Psi^-$  (observațiile negative), și considerăm problema de abducție:

$$AP = \langle \langle BM, COMP \rangle, CXT \Psi^+, \Psi^- \rangle, \quad (3.61)$$

(adică se redefinește o problemă de diagnostic ca o problemă de abducție cu constrângeri de consistență), se definește o *explicație* pentru AP o asignare W de stare (normal/anormal) fiecărei componente din COMP care satisface condițiile:

$$1. W \text{ acoperă } \Psi^+ : \forall m \in \Psi^+ : BM \cup CXT \cup W \models m; \quad (3.62)$$

$$2. W \text{ consistentă cu } \Psi^- : \forall \neg m \in \Psi^- : BM \cup CXT \cup W \not\models m; \quad (3.63)$$

(BM  $\cup$  CXT  $\cup$  W  $\cup$   $\Psi^-$  este consistentă).

În Figura 3.10., (1) corespunde unei probleme abductive "a la Poole"(pur abductivă) [Po88], iar (2) corespunde unei probleme de diagnoză "a la de Kleeer"(pur consistentă) [deKleeerMackRei92].

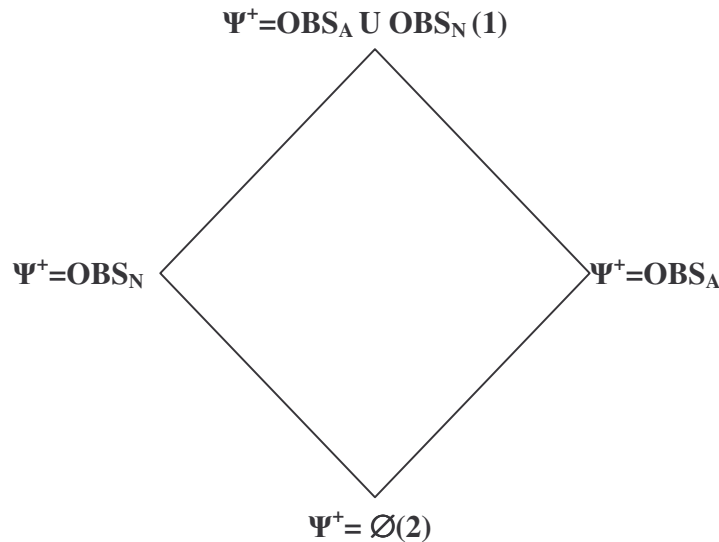


Figura 3.10.Laticea problemelor de diagnoză

Definiția \* este preluată și în [ConTor92], iar  $T = \langle BM, COMP \rangle$  este un model de comportament al sistemului, format dintr-o mulțime de clauze Horn de tipul:

$$S_1(X_1) \wedge \dots \wedge S_n(X_n) \wedge C_1(Y_1) \wedge \dots \wedge C_m(Y_m) \wedge f(X_1, \dots, X_n, Y_1, \dots, Y_m, Z) \rightarrow S(Z)$$

(n ≥ 1, m ≥ 0) (3.64)

cu restricțiile:

- fiecare  $S_i$  este un simbol fie pentru o stare internă, fie pentru o stare inițială;
- $C_j$  este un simbol de context;
- $S$  poate fi fie o stare internă, fie o manifestare;

- $f$  este o relație funcțională ce definește legătura între valorile atributelor predicatelor din corpul clauzei și cele ale concluziei.

Clauzele din modelul comportamental pot fi citite ca relații cauză-efect, fiind foarte asemănătoare cu ecuațiile structurale ale lui Pearl ([Pea01a,b]), și putând fi, de altfel, asamblate într-o rețea cauzală. Modelul de mai sus este transformat într-un model complet prin adăugarea unui  $\alpha$  (=cauză/element necunoscut) în membrul stâng pentru relațiile incomplete/cauze absente, dar această modificare atrage după sine considerarea implicației “ $\rightarrow$ ” ca o relație de tip MAY (**posibil** să implice) (aici se vede cum incompletitudinea cunoștințelor se transformă într-o sursă de imprecizie a raționamentului).

Aspectele procedurale ale sistemului AID sunt interesante întrucât descriu o tehnică originală de compilare a cunoștințelor (euristică al cărei rol a fost menționat mai sus). Algoritmul de bază generează explicații plecând de la setul curent de observații, explicațiile prezic anumiți parametri încă neobservați, se testează un parametru ales pentru discriminare între ipotezele explicative, se reactualizează mulțimea de observații curente și se reia ciclul până când nu se mai poate rafina mulțimea de ipoteze. În acest algoritm, se împletesc căutarea înapoi pentru a determina cauzele atomilor din  $\Psi^+$  cu înlănțuirea înainte pentru a testa consistența ipotezelor candidat (acestea nu trebuie să prezică valori din  $\Psi$ ). Modul optim în care ar trebui combinate aceste două tipuri de inferență este încă o problemă deschisă. Autorul definește un tip particular de elemente observabile - *condițiile necesare și suficiente* pentru un anumit nod al rețelei cauzale, utilizate cu două scopuri: de a reduce spațiul de căutare, și de a dirija achiziția de noi date (testarea de noi manifestări pe parcursul inferenței).

Dacă  $S(\mathbf{a})$  reprezintă faptul că s-a observat valoarea  $\mathbf{a}$  pentru nodul  $S$  al rețelei,  $NC_{S(\mathbf{a})}$  este considerată o *condiție necesară* pentru  $S(\mathbf{a})$  dacă este adevărată în orice explicație a lui  $S(\mathbf{a})$ . Cu alte cuvinte, dacă o explicație susține  $S(\mathbf{a})$ , susține și toate condițiile sale necesare  $NC_{S(\mathbf{a})}$ . Aceste condiții sunt utile în evitarea explicațiilor inconsistente cu datele observate: o stare  $S(\mathbf{a})$  poate fi eliminată dacă una din condițiile sale necesare este inconsistentă cu datele.

Condițiile suficiente sunt utile pentru evitarea explicațiilor redundante: dacă o condiție  $SC_{S(\mathbf{a})}$  suficientă pentru  $S(\mathbf{a})$  este susținută de o anumită explicație, atunci și  $S(\mathbf{a})$  este susținută de explicația respectivă -așadar dacă una din cauzele unei stări este condiție suficientă pentru aceasta, celelalte cauze nu mai trebuie testate.

### Proprietăți.

- $NC_{S(\mathbf{a})}$  e condiție necesară pentru  $S(\mathbf{a})$  ddacă  $T_C \models S(\mathbf{a}) \rightarrow NC_{S(\mathbf{a})}$  ;
- $SC_{S(\mathbf{a})}$  e condiție suficientă pentru  $S(\mathbf{a})$  ddacă  $T_C \models SC_{S(\mathbf{a})} \rightarrow S(\mathbf{a})$ .

Optimizările pe care aceste elemente observabile le aduc algoritmului sunt:

- se pot elimina dintre observațiile ce trebuie explicate efectele colaterale ale acestora=condițiile lor necesare (care au aceleași explicații);
- în momentul întâlnirii unui punct de ramificare în timpul căutării înapoi, cauzele ale căror condiții necesare sunt inconsistente cu datele se pot elimina; (atomii necunoscuți care apar în condițiile necesare sunt subiect de testare);
- dacă într-un punct de ramificare o cauză este condiție suficientă -celelalte cauze se elimină din spațiul de căutare (pentru mai multe detalii și algoritmul complet -a se vedea [Dup94]).

Strategia optimă de discriminare este de a alege pentru testare o dată care apare cu valori diferite în condiții diferite. Multe din planurile de testare sunt, de fapt, extinderi ale unui principiu de bază -criteriul entropic de recunoaștere a formelor([Gui77]), prezentat pe scurt în continuare.

Fie  $e_1, \dots, e_n$  entitățile de diagnostic, caracterizate de o mulțime de caracteristici (teste)  $f_1, \dots, f_m$  ce pot lua valorile  $\{a_1^1, \dots, a_{n_1}^1\}, \dots$ , și, respectiv  $\{a_1^m, \dots, a_{n_m}^m\}$  și entitățile se exprimă în termenii acestor valori astfel:

$$e_1 = \{a_{k_{11}}^1, \dots, a_{k_{m1}}^m\}, \dots, e_n = \{a_{k_{1n}}^1, \dots, a_{k_{mn}}^m\}.$$

Se alege pentru testare acel  $f_i$  de entropie maximă:

$$H_{f_i} = -\sum_{j=1}^{n_i} p_j \cdot \log p_j, \quad (3.65)$$

unde  $p_j$  este probabilitatea (i.e.frecvența relativă) a valorii  $a_j^i$  în definiția setului de entități. (Informația maximă se obține înlăturând cel mai mare grad de incertitudine - entropia fiind o măsură a incertitudinii și implicit, a informației). Se știe că entropia este maximizată de distribuția de posibilitate uniformă; așadar principiul folosit este intuitiv: este mai discriminantă caracteristica ce are cât mai multe valori distincte în entități distincte- adică repartizate mai uniform. Dacă în urma testării lui  $f_i$  se obține valoarea concretă  $a_k^i$ , vor fi eliminate  $e_j$  cu  $a_{kj}^i \neq a_k^i$ . Se reiau calculele până rămâne o singură entitate  $e$ .

Metoda este foarte eficientă și minimizează înălțimea arborelui de decizie, dar are și serioase limitări, și anume următoarele presupuneri:

- exact un  $e$  este prezent din mulțimea de manifestări;
- caracteristicile considerate definesc exhaustiv mulțimea de entități (alte aplicații în diagnoză ale arborilor de decizie vor fi amintite mai jos).



O euristică legată de punctul 3 ("Ce înseamnă explicație *mai bună?*") folosită în [Dup94] constă în structurarea cunoștințelor pe nivele diferite de abstractizare .

**Definiție. Ierarhie explanatorie.**([Dup94]) Se numește ierarhie explanatorie o structură  $\langle T_E, T_A \rangle$  , unde elementele lui  $T_E$  sunt de forma:

$$P_1 \wedge \dots \wedge P_n \rightarrow Q \quad (3.66)$$

(axiome explanatorii), iar elementele lui  $T_A$ :  $P \rightarrow Q$  sunt axiomele de abstractizare ( $P$  este mai specific decât  $Q$ ). Se presupune în plus că nu există dependențe ciclice în model.

Această ierarhie introduce o relație de preferință între explicații, bazată pe dimensiunea de abstractizare, care generalizează preferința pentru explicațiile minimale. Pe baza acestei ierarhii, autorul definește algoritmi care exploatează criteriul euristic al "explicațiilor leneșe": ideea este de a concentra inițial raționamentul pentru explicarea unei observații la nivelul mai înalt (=mai abstract, mai general) și trecerea la concepte mai detaliate (nivele inferioare) numai dacă explicațiile candidat găsite la acest nivel sunt inconsistente. Ideea seamănă cu raționamentul implicit, în care la apariția inconsistențelor se folosesc cazurile excepție.

\*\*\*

Pentru abducție s-au folosit și tehnici de demonstrare directă ([Kon92, McIlr98]), de exemplu *tehnicele rezolutive de găsire a consecințelor unei teorii*. Această abordare nu respectă însă semantica unei probleme de diagnoză. Ideea folosită este de a rescrie relația  $\Sigma \wedge E \vdash O$  ( $\Sigma$  fiind teoria domeniului,  $E$  explicația,  $O$  observațiile), prin aplicarea contrapozitivei, drept  $\Sigma \wedge \neg O \vdash \neg E$ . Versiunea duală (indirectă) a abducției, ce se obține astfel este următoarea.

**Definiție.**(Abducția indirectă)  $E$  este o explicație pentru  $O$  ddacă:

- $E \subseteq H$ ;
- $\Sigma \cup \neg O \vdash \neg E$ ;
- Din  $\Sigma$  nu se deduce  $\neg E$

unde  $\neg E$  reprezintă conjuncția literalilor negați.

O idee folositoare ce decurge din versiunea duală este că o explicație pentru  $O$  se poate genera căutând teoremele lui  $\Sigma \cup \neg O$  , care nu sunt teoreme doar ale lui  $\Sigma$  .

Revenind însă la problema noastră de diagnoză, lipsa anumitor observații nu înseamnă obligatoriu lipsa unui anume diagnostic (acesta poate fi prezent prin alte manifestări ale sale). Un dezavantaj în plus îl constituie faptul că rezoluția este completă pentru respingere (i.e. completă pentru găsirea demonstrațiilor), dar nu este completă pentru găsirea consecințelor (nu e deductiv completă). De fapt, teoretic există metode (versiuni

ale rezoluției) complete, dar care sunt extrem de ineficiente din cauza unui spațiu de căutare mult prea mare, în timp ce metodele eficiente sunt incomplete [Kon92].

### 3.4.2. Metode de diagnoză specifice sistemelor dinamice

#### 3.4.2.1. Introducere

În contextul sistemelor dinamice devine evidentă necesitatea integrării timpului în modelul de diagnoză. Timpul este modelat explicit în cadrul sistemelor continue și implicit în sistemele cu evenimente discrete.

Metodele de diagnoză a sistemelor depind atât de tipul sistemului cât și de tipurile posibile de defecte ce îl pot afecta. Introducem în continuare câteva definiții elementare ale defectelor așa cum au fost impuse de către comunitatea IFAC.

**Definiție.** Se numește *defect* (fault) o modificare neașteptată a unei funcții a sistemului. Aceasta diferă de *căderea* (failure) sistemului, în sensul că cea din urmă presupune încetarea completă a funcționării.

**Clasificare.** Defectele pot fi de trei tipuri:

- incipiente: defecte de proporții mici cu o evoluție continuă;
- abrupte: efectele defectelor abrupte sunt mai serioase; ele pot aduce sistemul aproape de limita de comportament acceptabil;
- intermitente: efectul lor asupra sistemului rămâne ascuns pe anumite perioade de timp; depistarea cât mai timpurie previne apariția unor efecte serioase și, eventual, căderea sistemului.

Pașii importanți ai procesului de diagnoză sunt:

- detectarea;
- izolarea ;
- identificarea .

(FDI=Fault Detection and Isolation) *O schemă robustă FDI* trebuie să asigure atât sensitivitate satisfăcătoare la defecte cât și invarianța la zgomot și incertitudinile de modelare [PatChe97] (aceste două cerințe aflându-se în conflict).

“*Diagnoza pe bază de model* se definește ca determinarea defectelor unui sistem prin compararea măsurătorilor disponibile la un anumit moment cu informațiile a priori date de modelul analitic/matematic al sistemului și generarea și analiza de cantități reziduale. Un reziduu este un indicator de defect ce reflectă condiția degradată a sistemului.” [Pat94]

Din definiție, se observă că un element central în diagnoza pe bază de model este generarea de reziduuri [Nyb99]. Cele două stadii principale ale diagnozei defectelor folosind reziduuri sunt reprezentate în Figura 3.11 (conform [Fran96]). Problema

principală a diagnozei pe bază de model stă în faptul că erorile de modelare și perturbațiile afectează sistemul. Incertitudinile de modelare afectează abilitatea sistemului de a recunoaște defecte incipiente, ducând la alarme false sau defecte nedetectate. Trebuie, astfel, realizat un compromis între sensibilitatea la erori și robustețea la zgomot.

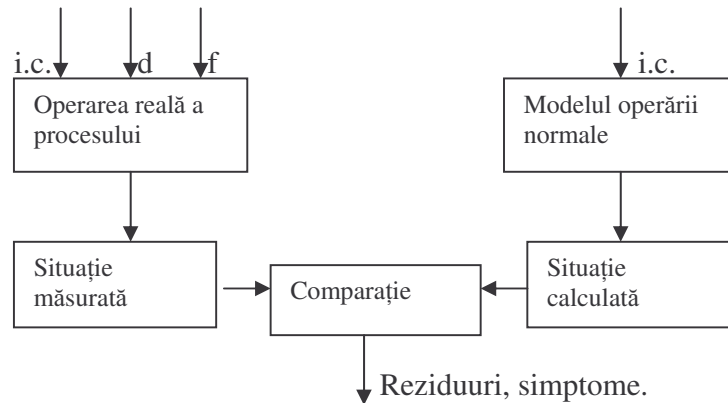


Figura 3.11. Principiul diagnozei defectelor pe bază de model (i.c. = input cunoscut)

Așadar, diagnoza sistemelor dinamice constă în două etape principale distincte: detectarea defectelor și diagnoza defectelor (Figura 3.12).

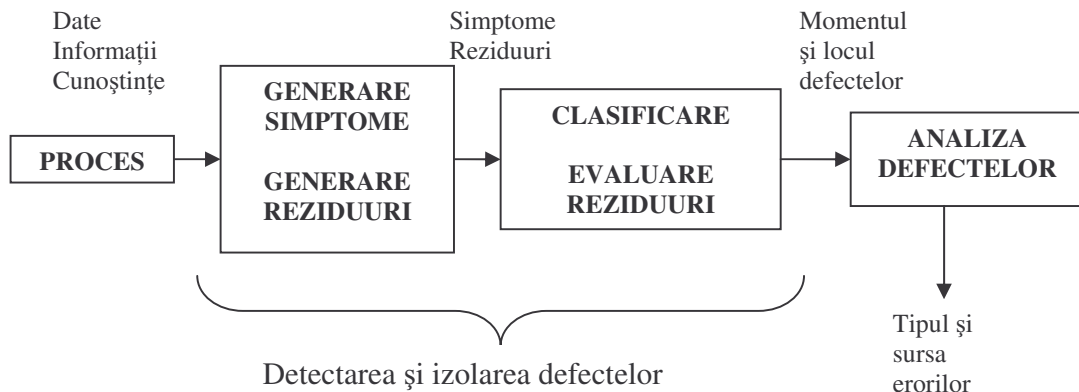


Figura 3.12. [Fran96]. Reprezentarea schematică a procedurii de diagnoză a defectelor

Detectarea defectelor constă în generarea euristică sau analitică a simptomelor (bazate pe reziduuri).

Diagnoza defectelor determină tipul, locația, momentul apariției și amplitudinea defectului, prin observarea simptomelor euristice sau analitice [Ise97]. În cadrul acestei etape, dacă nu sunt disponibile relații cauzale profunde între defecte și simptome, se folosesc metode de clasificare ce mapează vectorul de simptome într-un vector de defecte (de exemplu, clasificare statistică sau geometrică, rețele neurale, clusterizare fuzzy). Dacă dimpotrivă relațiile respective sunt accesibile, (spre exemplu, sub forma unor relații

cauzale), se pot aplica strategii de raționament pentru diagnoză (înlănțuire înainte/înapoi, raționament aproximativ probabilistic pentru rețele bayesiene și probabilități condiționale sau raționament posibilist cu ajutorul logicii fuzzy [Ise97]). Capitolul IX prezintă o abordare originală a acestei etape (de diagnoză a defectelor sistemelor dinamice), prin adaptarea sistemului hibrid DiaMed.

### **3.4.2.2. Diagnoza sistemelor pe bază de stare**

În diagnoza pe bază de stare se raționează asupra stărilor sistemului privite izolat, fără a ține cont de tranzițiile între ele. De obicei, defectele sunt asignări de stări componentelor, consistente cu observațiile.

#### **I. Diagnoza sistemelor folosind modelul analitic**

Diagnoza sistemelor continue folosind modelul analitic este potrivită pentru depistarea defectelor incipiente. Există două direcții principale de diagnoză de acest tip: cea care folosește redundanța analitică –utilizată în diagnoza pe bază de model și redundanța hardware (care este costisitoare).

#### **Metode de generare a reziduurilor**

##### **a) Sisteme observator**

Ideea principală a generării de reziduuri pe bază de observatori stă în reconstruirea ieșirilor sistemului și utilizarea erorii de estimare ca reziduu. Spre deosebire de observatorii de stare folosiți pentru feedback-ul stării în cazul măsurătorilor incomplete, un observator pentru diagnoză este un observator al ieșirilor și poate fi construit direct în domeniul frecvențelor, fără a folosi modelarea în spațiul stărilor [Fran96].

##### **b) Estimare parametrică**

Atât pentru sistemele liniare cât și pentru cele neliniare, se pot utiliza în FDI pentru a genera reziduuri și tehnici de estimare a parametrilor, presupunând că defectele se reflectă la nivelul parametrilor fizici ai sistemului. Parametrii estimați folosind intrările și ieșirile actuale ale sistemului se compară cu parametrii obținuți în condițiile de funcționare normală, iar prezența unui defect este semnalată de existența unor diferențe semnificative între cele două mulțimi.

#### **II. Diagnoza sistemelor cu stări discrete pilotate de evenimente**

Sistemele cu evenimente discrete sunt o clasă aparte de sisteme neliniare, ce necesită un formalism matematic propriu diferit de cel al ecuațiilor diferențiale sau al ecuațiilor cu diferențe (folosit de I).

**Definiție[Lar99].** Un sistem cu evenimente discrete (SED) este un sistem dinamic care evoluează în concordanță cu apariția bruscă, la intervale de timp posibil neregulate și necunoscute, a unor evenimente fizice.

Așadar:

- Spațiul stărilor este o mulțime discretă; (X)
- Mecanismul de tranziție al stărilor este pilotat de evenimente cu apariție asincronă.(E)

Exemplele de aplicații din lumea reală variază de la servirea clienților într-un sistem de așteptare până la procesarea joburilor într-un sistem de calcul. Modelele de SED netemporizate se pot aborda folosind formalismele rețelelor Petri sau al automatelor [Cass93] (ambele metode reprezintă explicit funcția de tranziție a unui SED, manevrând evenimente în concordanță cu anumite reguli), sau modelul relațional [Ger95] -util sistemelor cu defecte abrupte dar necatastrofice (care nu opresc sistemul din funcționare). În ultimul caz, modelul sistemului este dat de o relație ce definește ieșirea și noua stare a sistemului în funcție de intrare și de starea anterioară, această reprezentare fiind foarte aproape de diagnoza pe bază de model din inteligența artificială, întrucât se bazează pe aceleași noțiuni de explicație și de diagnostic minimal (diferă însă modul de calcul al diagnosticului). Însă unul din principalele dezavantaje ale acestui model este faptul că în analiza proprietății de diagnozabilitate [Lar99] se consideră, nerealist, că defectarea unei componente nu afectează evoluția stării unei alte componente. În plus, în ciuda încercărilor de îmbunătățire a spațiului de memorie necesar și a timpului de calcul, nu poate fi considerată, deocamdată, o metodă eficientă.

### 3.4.2.3. Diagnoza pe bază de simulare

Raționamentul ce utilizează relațiile de cauzalitate din sistem și simularea pot oferi rezultate de diagnostic mai precise față de diagnoza pe bază de stare. Există în plus avantajul că se poate lucra cu un model incomplet sau cu o versiune simplificată a unui model foarte complex, în lipsa unui model analitic exact (cum este necesar în metodele convenționale).

#### Metode de simulare calitativă

Ideea de bază a acestei metode stă în cuantizarea valorilor variabilelor, adică partiționarea unui spațiu într-un număr finit de mulțimi disjuncte (de exemplu, intervale, dacă spațiul este o dreaptă), în locul valorilor precise folosindu-se submulțimile obținute [Kui86].

Simularea calitativă este un caz particular al clasei de probleme de satisfacere a constrângerilor temporale extinse (temporally extended Constraint Satisfaction Problem) [ClaKui98], și o direcție majoră de cercetare în reprezentarea modelelor de profunzime ("deep models"). Pornind de la o stare inițială a sistemului (definită prin valorile variabilelor, cuprinse într-o mulțime finită de valori graniță = "landmarks") și folosind o funcție de tranziție dată de constrângerile asupra comportamentului sistemului (constrângerile de continuitate ale unor funcții devenind constrângeri temporale ale CSP: valoarea la momentul/intervalul următor trebuie să fie "apropiată" de valoarea actuală) se construiește un graf în care traiectoriile –secvențe posibile de stări- reprezintă de fapt soluții ale CSP. Cel mai cunoscut algoritm de simulare calitativă este QSIM [Kui86].

Sistemul de raționament cauzal al lui Kuipers conține o mulțime de ecuații ale constrângerilor, ce descriu relațiile structurale relevante din sistem. Simularea calitativă se desfășoară prin generarea stărilor succesor posibile și filtrarea lor pe baza mulțimii de constrângeri ce definește modelul. Descrierea comportamentului sistemului pe bază de simulare calitativă este apoi folosită pentru explicarea observațiilor (constituind astfel o soluție naturală a unei probleme de diagnoză). Abstractizarea modelului se obține prin exprimarea cantităților cu ajutorul unei mulțimi liniare de valori marcate (“landmarks”).

Definim în continuare *diagnoza pe bază de simulare* a observațiilor OBS relativ la starea calitativă  $S$  în contextul modelării calitative. În loc să impunem cerința ca  $S$  să fie consistentă cu observațiile și cu defectul  $F$  (ca în diagnoza pe bază de stare), se consideră necesar ca  $S$  să fie accesibilă dintr-o stare inițială  $S_0$  consistentă cu comportamentul normal și în care deviațiile sunt 0, iar stările intermediare între  $S_0$  și  $S$  se obțin în conformitate cu operatorul “succesor” al modelării calitative, ținând cont de faptul că între  $S_0$  și  $S_1$  a fost “injectat” defectul  $F$ . (Putem folosi constrângeri cauzale pentru a modela comportamentul discontinuu, ca urmare a injectării unui defect [PanDup00]). Se înlătură prin această abordare unele dintre efectele contraintuitive ale diagnozei pe bază de stare (de exemplu, starea normală a componentelor poate fi consistentă cu observațiile, deși acestea conțin manifestări de defect.)

### **Diagnoza sistemelor cu evenimente discrete folosind limbaje formale**

Este o abordare pe bază de simulare potrivită atât pentru SED cât și pentru sistemele continue modelate prin ecuații diferențiale. Unul dintre avantajele sale majore constă în faptul că nu necesită modelarea în profunzime a sistemului de diagnosticat, fiind astfel utilă în diagnosticarea sistemelor complexe, de proporții mari. Metoda construiește un model discret al sistemului, și un model al componente de diagnosticare, care include cunoștințe atât despre comportarea normală cât și despre cea de defect. Atât modelul sistemului cât și elementul de diagnosticare sunt reprezentate ca automate finite deterministe. Evenimentele diagnoser-ului se clasifică în observabile sau neobservabile, iar defectele fac parte din evenimentele neobservabile ale sistemului, și problema constă, de fapt, în detectarea lor pe baza unor “urme” parțiale generate de automat (al cărui limbaj generat exprimă comportarea sistemului) [LunSchro01, SamSen96].

## **3.5. Concluzii și contribuții**

Capitolul propune o privire de ansamblu asupra unei mari părți a metodelor de diagnoză cunoscute. O contribuție importantă a sa constă în încercarea de clasificare și sistematizare pe care o propune, pentru a îngloba într-un cadru coerent abordări distincte ale aceleiași probleme. Sunt confruntate, în principal, diagnoza pe bază de model și diagnoza prin metode statistice, fiecare dependentă de accesul la un anumit tip de informație despre sistemul studiat. Prezentarea este ilustrată de exemple clasice de implementare din literatură, și oferă o imagine clară despre formalismul de bază al fiecărei metode, cu avantajele și dezavantajele sale. Scopul principal a fost acela de a pune bazele unei justificări a utilității combinării celor două paradigme într-un model hibrid, justificare ce se va finaliza în capitolul următor.

## IV. Sisteme inteligente hibride de diagnoză medicală

### 4.1. Introducere

Capitolul de față aduce în prim plan arhitecturi inteligente hibride aplicate sau potențial aplicabile diagnozei medicale. În unele subsecțiuni detalierea s-a justificat nu doar prin rolul său ilustrativ, dar și prin faptul că am dorit să relevăm potențialul (încă nevalorificat corespunzător) al tehnicii respective pentru diagnoza medicală.

După ce în Secțiunea 4.2. prezentăm definițiile și caracteristicile tipurilor de hibridizare în general, în Secțiunea 4.3. ne ocupăm mai în detaliu de tehnici inteligente hibride în diagnoza medicală. Hibridizarea neuro-simbolică este ilustrată de arhitectura KBANN (Knowledge-Based Adaptive Neural Networks: rețele neurale bazate pe cunoștințe) utilizată frecvent în diagnoza medicală, și de rețelele neurale comitet pe care le-am considerat o generalizare promițătoare a KBANN (această perspectivă fiind o observație originală). Hibridizarea neuro-fuzzy este deasemenea prezentă prin sistemele ANFIS (Adaptive Neural Fuzzy Inference Systems), NFC (Neuro-Fuzzy Clasifier), Perceptronul Fuzzy Multistrat, sistemele neuro-fuzzy fuzionale ce folosesc neuroni fuzzy logici. Acestea din urmă oferă o perspectivă asupra posibilităților de integrare a logicii formale în structura rețelelor neurale. Toate abordările enumerate sunt adecvate diagnozei privită ca problemă de clasificare.

Secțiunea 4.4.1. se ocupă de prezentarea sistemului de diagnoză CHECK, propus de Torasso și Console, pe care l-am văzut ca o etapă intermediară între CASNET și sistemul original DiaMed. În 4.4.2. prezentăm CHECK și CASNET cu evidențierea avantajelor primului, dar și a problemelor ce pot fi încă îmbunătățite, iar în 4.5. introducem sistemul original DiaMed, prezentând succint avantajele sale în contextul respectiv.

### 4.2. Tehnici inteligente hibride

Sintetizăm în cadrul tabelului 4.1. [PalNea01] principalele avantaje și dezavantaje ale tehnicilor inteligente tratate în capitolul anterior.

Hibridizarea urmărește compensarea dezavantajelor și îmbunătățirea performanțelor prin cooperarea tehnicilor inteligente în cadrul rezolvării aceleiași probleme. Există patru tipuri de sisteme hibride [PalNea01]:

1. **Sisteme fuzionale:** modul de reprezentare și prelucrare a informațiilor caracteristic unei tehnici se contopește în modul de reprezentare și prelucrare al altei tehnici (de exemplu, sistemele cu rețele neurale pentru reprezentarea și procesarea informațiilor simbolice caracteristice sistemelor simbolice bazate pe cunoștințe sau sistemelor fuzzy).

| TEHNICA INTELIGENTĂ                           | AVANTAJE  | DEZAVANTAJE   |
|---|---|---|
| <b>Sisteme simbolice bazate pe cunoștințe</b> | <ul style="list-style-type: none"> <li>• Sunt transparente (furnizează explicații clare ale deciziilor luate);</li> <li>• Separă cunoștințele de sistemul ce le exploatează;</li> <li>• Înglobează cu ușurință cunoștințe structurate, de calitate și precise, prin reprezentarea declarativă.</li> </ul>   | <ul style="list-style-type: none"> <li>• Dificultăți la achiziționarea de cunoștințe și la adaptare;</li> <li>• Număr mare de reguli;</li> <li>• Raționament lent;</li> <li>• Dificultăți în operarea cu informații imprecise și incomplete;</li> <li>• Performanțele nu se îmbunătățesc semnificativ la completarea cunoștințelor;</li> <li>• Nu generalizează.</li> </ul> |
| <b>Rețele neurale</b>                         | <ul style="list-style-type: none"> <li>• Prelucrare paralelă;</li> <li>• Răspuns rapid;</li> <li>• Învățare, adaptare rapidă;</li> <li>• Capacitate de generalizare și procesare a informațiilor incomplete.</li> </ul>   | <ul style="list-style-type: none"> <li>• Incapacitatea de a explica rezultatul;</li> <li>• Riscul blocării în minimele locale.</li> </ul>   |
| <b>Sisteme fuzzy</b>                          | <ul style="list-style-type: none"> <li>• Modelează imprecizia și incertitudinea;</li> <li>• Aproximează funcții nelineare;</li> <li>• Implementare ieftină și comportament robust;</li> <li>• Nu necesită un model foarte precis;</li> <li>• Viteză de inferență ridicată;</li> </ul>   | <ul style="list-style-type: none"> <li>• Probleme cu învățarea și adaptarea;</li> <li>• Probleme în definirea termenilor de apartenență, a numărului de reguli, a parametrilor consecințelor regulilor;</li> </ul>  |
| <b>Algoritmi genetici</b>                     | <ul style="list-style-type: none"> <li>• Nu necesită un model matematic (sunt "orbi": fac puține presupuneri asupra domeniului problemei);</li> <li>• Nu au probleme cu minimele locale (în principal datorită faptului că explorează spațiul de căutare în mai multe puncte simultan, prin intermediul mai multor populații de soluții potențiale);</li> <li>• Explorează inteligent spațiul de căutare;</li> <li>• Potrivii pentru spațiile de căutare mari;</li> <li>• Au arii largi de aplicabilitate deoarece operează asupra unor codificări ale variabilelor de decizie;</li> <li>• Adaptare lentă.</li> </ul> | <ul style="list-style-type: none"> <li>• Lenți;</li> <li>• Dificultăți în construirea operatorilor potriviți.</li> </ul>  |

Tabel 3.1. Comparație a tehnicilor inteligente

2. **Sisteme de transformare:** transformă o formă de reprezentare a cunoștințelor în altă formă (spre exemplu, sistemele de extragere de reguli simbolice din rețelele neurale, reguli ce sunt apoi folosite de un sistem simbolic).



3. **Sisteme combinate:** păstrează identitatea fiecărei metodologii inteligente și presupun utilizarea modulară a două sau mai multe tehnici inteligente pentru a rezolva o problemă.
4. **Sisteme asociative:** combină mai multe din tipurile de hibridizare de mai sus.

#### **Hibridizare neuro-simbolică.**

Integrarea neuro-simbolică își găsește justificarea în primul rând la nivel cognitiv, ideea fiind de a identifica în inteligența umană operațiile de nivel înalt (legate de partea de raționament și care sunt cel mai bine modelate de o abordare simbolică), și operațiile de nivel inferior (legate de percepție și mai natural de abordat într-un cadru neuronal). Întrucât această hibridizare reconciliază știința experților cu estimările statistice din date, este foarte potrivită aplicațiilor complexe ale lumii reale.

În Secțiunea 4.3.1, am ales pentru exemplificarea acestei paradigme sistemul hibrid KBANN (Knowledge-Based Artificial Neural Networks) utilizat în biomedicină [San99], și rețelele neurale comitet, care ni s-au părut o generalizare adecvată și promițătoare a acestuia, prin prisma aplicațiilor de diagnoză medicală și nu numai.

#### **Hibridizare neuro-fuzzy.**

Rețelele neurale și logica fuzzy se completează adesea în chip fericit în cadrul sistemelor inteligente: dacă rețelele neurale pot prelucra cantități mari de date primite de la senzori (în probleme de conducere sau recunoaștere a formelor), logica fuzzy prelucrează aceste date de nivel inferior într-un cadru structurat de nivel înalt. Există în principal două direcții importante în acest tip de hibridizare [DumiBuiu00]:

- Fuzificarea arhitecturilor convenționale de rețele neuronale (vezi Secțiunea 4.3.2);
- Folosirea rețelelor neurale ca unelte în cadrul modelelor fuzzy (de exemplu, în furnizarea unor aproximații de calitate ale funcțiilor de apartenență).

#### **Hibridizare geno-fuzzy.**

Combinarea celor două tehnici se face în baza anumitor asemănări și deosebiri. Între primele, menționăm faptul că nici una din tehnici nu necesită un model precis, utilizând o reprezentare distribuită a cunoștințelor (în populațiile de cromozomi sau, respectiv, în mulțimile și regulile fuzzy), sunt tolerante la defecte (ca urmare a reprezentării distribuite) și pot modela incertitudinea. Însă în ceea ce privește manevrarea cunoștințelor distribuite, dacă algoritmi genetici efectuează o procesare paralelă și *probabilistă*, logica fuzzy are un mecanism de inferență *posibilist*. În plus, dacă algoritmi genetici sunt prin natura lor adaptivi, sistemele de inferență fuzzy clasice nu au această proprietate, ele fiind în schimb mai avantajoase din punctul de vedere al vitezei de inferență [DumiBuiu00].

Între exemplele acestui tip de hibridizare menționăm modelul propus de Karr [Karr91], în care un algoritm genetic este folosit pentru învățarea funcțiilor de apartenență și numărului de reguli unui sistem fuzzy de tip Takagi-Sugeno. Funcțiile de apartenență sunt corespunzător parametrizate și codificate în cromozomii algoritmului, iar evaluarea populațiilor de soluții se face dependent de aplicația avută în vedere.

### **Hibridizare neuro-genetică.**

Această hibridizare pleacă de la ideea că este benefic ca evoluția și învățarea să poată lucra împreună sinergetic. Există două tipuri de abordări distincte: combinațiile suport (în care tehnicile sunt folosite secvențial) și combinațiile colaborative (unde tehnicile sunt rulate simultan). În general, rețelele neurale sunt asistate de către algoritmul genetic în selectarea caracteristicilor (intrărilor), a topologiei sau a regulii de învățare folosite.

Am justificat în secțiunea dedicată algoritmilor genetici în diagnoza medicală de ce nu este oportună utilizarea lor în aplicațiile acestui domeniu. Ne vom ocupa în continuare de exemple de hibridizare neuro-simbolică și neuro-fuzzy, care au fost aplicate deja sau care am considerat că ar fi potrivite diagnozei medicale.

### **Tehnicile inteligente și logica formală**

Un tip aparte de hibridizare îl constituie utilizarea unei metode inteligente (simbolică, fuzzy, neurală, genetică) în sprijinul unui proces de raționament bazat pe logică (formală sau informală). Un exemplu notabil în acest sens îl constituie sistemul CHECK (sprijin simbolic cu reguli pentru logica formală), care a fost și punctul de plecare al genului de hibridizare combinativă folosit de sistemul original DiaMed (sprijin fuzzy pentru logica informală) (Secțiunea 4.4).

## **4.3. Tehnici inteligente hibride în diagnoza medicală**

Am selectat pentru secțiunile următoare câteva sisteme hibride care ar fi potrivite pentru diagnoza medicală, în virtutea argumentelor prezentate până în acest punct. Exemplele de arhitecturi ce urmează au fost sau pot fi aplicate cu succes în acest domeniu.

### **4.3.1. Hibridizare neuro-simbolică**

#### **4.3.1.1. Rețele neurale bazate pe cunoștințe.**

Rețelele neurale bazate pe cunoștințe (KBANN: Knowledge-Based Artificial Neural Networks) sunt o metodologie hibridă neuro-simbolică fuzională ce poate procesa mulțimi de date complexe, de dimensiuni reduse, și cu o repartizare neuniformă, în scopul clasificării. Modulul simbolic cuprinde teoria domeniului sub forma unei mulțimi de reguli structurată ierarhic, iar modulul conexiunist asociază fiecărui concept din teoria domeniului câte un nod al rețelei neurale, prin traducerea structurii cunoștințelor din reguli în topologia rețelei.

### **Algoritmul de învățare KBANN**

*Fiind date:*

- teorie a domeniului aproximativ corectă, cu o mulțime de reguli și caracteristici;

- mulțime de exemple;

*Realizează:*

- Mapează structura cunoștințelor în structura unei rețele neurale (Figura 4.2);
- Antrenează rețelele bazate pe cunoștințe folosind mulțimea de exemple.

*Rezultat:*

După antrenare, rețeaua poate clasifica exemple din afara setului de antrenare.

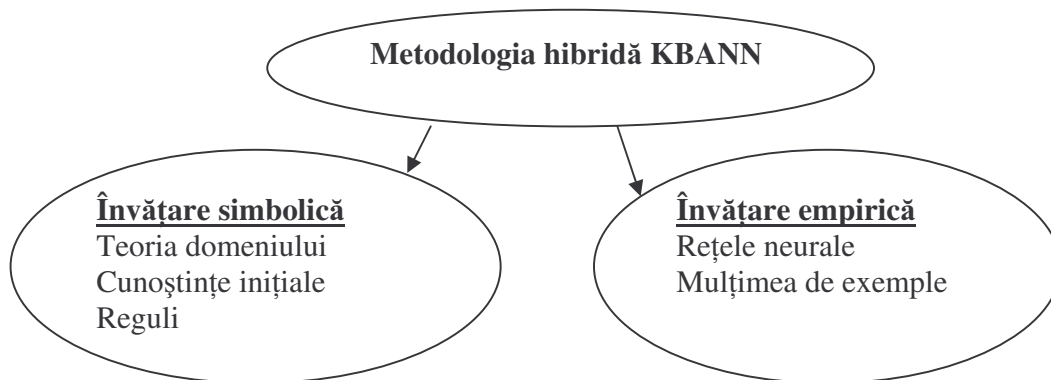


Figura 4.1. Cele două componente ale metodologiei KBANN

Sistemul a fost aplicat în clasificarea de țesuturi, cu rezultate satisfăcătoare în depistarea cancerului mamar.

#### 4.3.1.2. Rețele neurale comitet

Rețelele comitet sunt sisteme hibride fuzionale ce cuprind rețele neurale organizate după modelul unui arbore de decizie, și conțin rețele neurale cu învățare supervizată organizate după principiul “divide et impera”. Învățarea este distribuită între experți (de obicei rețele neurale de tip perceptron) care partiționează spațiul de intrare. Mașina comitet este o combinație de experți, structurată după criterii ce vor deveni clare în continuare. Ca și perceptronul multistrat, rețelele comitet sunt aproximatori universali. Cuprind două mari subclase de arhitecturi: modelele statice și cele dinamice. Acestea din urmă vor fi succint prezentate în cele ce urmează.

Modelele dinamice presupun că “integrarea cunoștințelor asimilate de experți se face sub acțiunea semnalului de intrare” și cuprind *mixtura de experți* și *mixtura de experți ierarhică*, exemple ce ilustrează foarte bine și proprietatea de modularitate.

**Modularitate**[Hay98]. O rețea neurală este *modulară* atunci când calculul efectuat de rețea poate fi descompus în două sau mai multe module / subsisteme ce operează pe

intrări diferite fără să comunice între ele. Ieșirile modulelor sunt mediate de o unitate integratoare fără feedback care:

- 1) decide cum trebuie combinate ieșirile modulelor pentru a forma ieșirea finală a sistemului, și
- 2) decide pentru fiecare exemplu de antrenare de către ce modul trebuie învățat.

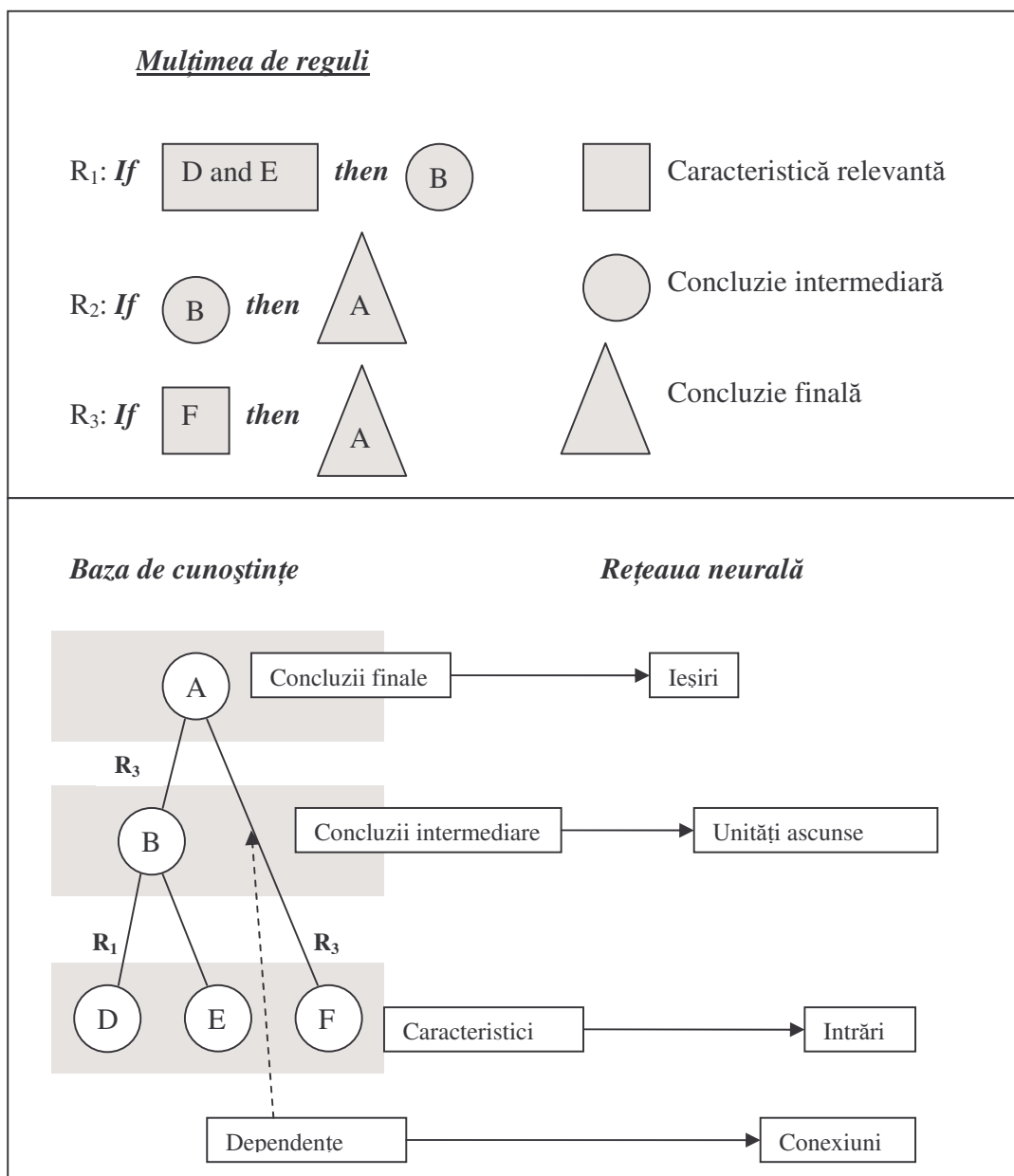


Figura 4.2. Procedura de transformare din reguli în rețea neurală în KBANN

Modularizarea rețelelor neurale este o metodă de inserare a cunoștințelor explicite într-o rețea neurală, prin descompunerea unei probleme complexe în subprobleme mai simple. Avantajele modularizării se reflectă în creșterea vitezei de învățare, a abilităților de generalizare și reprezentare/interpretare, și proprietății de a satisface condițiile impuse de limitările hardware [NeaPal01]. Un avantaj în plus al rețelelor modulare este faptul că acestea pot fi o bază naturală de reprezentare a sistemelor de inferență fuzzy, constituind astfel un pas înainte către structurile hibride. Spre exemplu, un sistem de reguli fuzzy de tip Sugeno poate fi descris ca un anumit tip de rețea modulară: fiecărei reguli îi corespunde o rețea expert, iar rețeaua poartă definește contribuția fiecărei reguli la ieșirea finală.

Învățarea în rețelele modulare dinamice de tip comitet combină paradigma învățării supervizate (experții își combină ieșirile individuale pentru a modela răspunsul dorit) cu autoorganizarea (experții se autoorganizează în partiționarea optimă a spațiului de intrare).

### Modelul mixturii asociative gaussiene

Se pleacă de la o problemă de regresie, pe baza datelor de antrenare  $\{(x_i, d_i)\}_{i=1}^N$ , unde regresorul (cauza)  $x$  produce efectul dat de variabila aleatoare  $D$  ale cărei realizări se notează  $d$ . Ideea principală este de a partiționa spațiul de intrare astfel încât problema redusă pe subspații să fie liniară (avem deci, de fapt, o problemă de alegere a modelului). După cum observa autorul în [NeaPal01], rețelele expert procesează funcții distincte ce descriu comportarea sistemului pentru regiuni diferite din spațiul intrărilor.

Elementele integratoare au rolul de a defini regiunile de decizie între aceste subspații. Concret, pentru generarea lui  $d$  se apelează la următorul model probabilist [Hay98]:

1. vectorul de intrare  $x$  este ales aleator conform unei distribuții a priori;
2. o anumită regulă ( $k$ ) este selectată conform distribuției condiționale  $P(k|x, a^{(0)})$ , fiind dați  $x$  și parametrul  $a^{(0)}$ ;
3. pentru regula  $k$ ,  $k=1, \dots, K$  răspunsul  $d$  al modelului este liniar în  $x$  cu o eroare aditivă  $\varepsilon_k$  luată ca o variabilă normală standard:  $E[\varepsilon_k]=0$  și  $\text{var}[\varepsilon_k]=1$  pentru toți  $k$ .

Răspunsul  $D$  al modelului se scrie:

$$P(D = d | x, \theta^{(0)}) = \sum_{k=1}^K P(D = d | x, w_k^{(0)}) P(k | x, a^{(0)}) \quad (4.1)$$

unde  $\theta^{(0)}$  este vectorul de parametri al modelului generativ și este format din  $a^{(0)}$  și  $\{w_k^{(0)}\}_{k=1}^K$  (indicele superior 0 face distincția între parametrii modelului generativ și cei ai experților, introduși în continuare.)

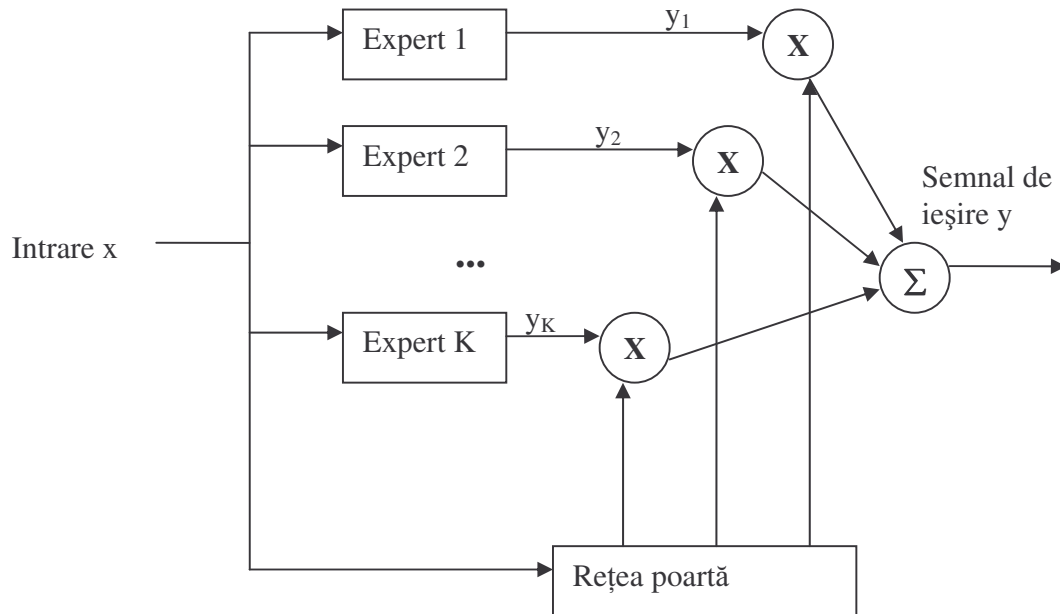


Figura. 4.3. Diagrama bloc a mixturii de experți

Fiecare expert este un filtru liniar și produce o ieșire de forma  $y_k = w_k^T x$ ,  $k=1, \dots, K$ , unde  $w_k$  este vectorul de ponderi al expertului  $k$ . Rețeaua poartă este formată din  $K$  neuroni neliniari (câte unul pentru fiecare expert) cu funcția de activare *softmax*: (filtru + neliniaritate de tip softmax).

$$g_k = \frac{\exp(u_k)}{\sum_{j=1}^K \exp(u_j)}, \quad k=1, \dots, K, \quad (4.2)$$

unde  $u_k$  este produsul scalar al lui  $x$  cu vectorul de ponderi al rețelei poartă  $a_k$ :  $u_k = a_k^T x$ ,  $k=1, \dots, K$ . Rețelele expert se pot modela și ca rețele multistrat/ recurente.

Numerele  $g_k$  pot fi privite ca probabilități ce ponderează răspunsul fiecărui expert în cadrul răspunsului total  $y = \sum_{k=1}^K g_k y_k$  al mixturii de experți, ele reprezintă [Hay98] “probabilitatea ca ieșirea expertului  $k$  să se potrivească pe ieșirea  $D=d$ , fiind dat numai vectorul de intrare  $x$ ”.

Dacă se consideră  $y_k$  drept o estimare a mediei lui  $D$  condiționată de  $x$  și  $k$  se poate scrie densitatea de probabilitate a lui  $D$  dacă este selectat expertul  $k$ :

$$f_D(d | x, k, \theta) = \frac{1}{\sqrt{2\pi}} \exp\left(-\frac{1}{2}(d - y_k)^2\right), \quad k=1, \dots, K \quad (4.3.)$$

unde  $\theta$  este vectorul de parametri ai rețelei poartă și ai experților.

Densitatea de probabilitate a lui  $D$  condiționată doar de  $x$  devine:

$$f_D(d | x, \theta) = \sum_{k=1}^K g_k f_D(d | x, k, \theta) = \frac{1}{\sqrt{2\pi}} \sum_{k=1}^K g_k \exp\left(-\frac{1}{2}(d - y_k)^2\right) \quad (4.4)$$

(modelul mixturii asociative gaussiene).

### Mixtura ierarhică de experți

Este o extensie a mixturii de experți prezentate anterior (Figura 4.3), bazată pe principiul divide et impera și are o structură asemănătoare unui arbore: mai multe rețele poartă distribuite ierarhic împart spațiul de intrare în subspații, unele dintre ele imbricate (Figura 4.4). Această structură reprezintă, de fapt, un arbore de decizie soft, cu avantajul că este posibilă recuperarea din decizii proaste, întrucât informația este păstrată până se ajunge la decizia/ estimarea de parametri finală. Mixtura ierarhică de experți este un model intermediar între perceptronul multistrat -model complex, care este precis dar acționează ca o “cutie neagră”, și arborii de decizie – model simplu mai puțin precis dar transparent.

Pentru arhitectura inițială a rețelei se poate folosi algoritmul CART pentru construirea arborilor de decizie din date. Fiecare punct de separare corespunde unui anumit subset al datelor de intrare. CART crează un arbore de decizie pe baza unui set de date –de exemplu, folosind acele separări ce duc la o eroare (i.e. distanța de la ieșire la media ieșirilor din submulțimea corespunzătoare) medie minimă. Punctele de separare din arbore corespund rețelelor poartă, nodurile terminale- experților.

Rețelele poartă sunt cele care mimează o separare de tipul CART (exprimată ca  $a^T x + b = 0$ ), suprafața de regresie soft fiind:

$$g = \frac{1}{1 + \exp(-a^T x + b))}. \quad (4.5)$$

Densitatea de probabilitate a lui  $D$  este în acest model:

$$f_D(d | x, \theta) = \frac{1}{\sqrt{2\pi}} \sum_{k=1}^K g_k \sum_{j=1}^K g_{j|k} \exp\left(-\frac{1}{2}(d - y_{jk})^2\right), \quad (4.6)$$

unde  $g_k, g_{j|k}$  pot fi privite ca probabilități apriori, iar ieșirile rețelei poartă, - drept probabilități aposteriori.

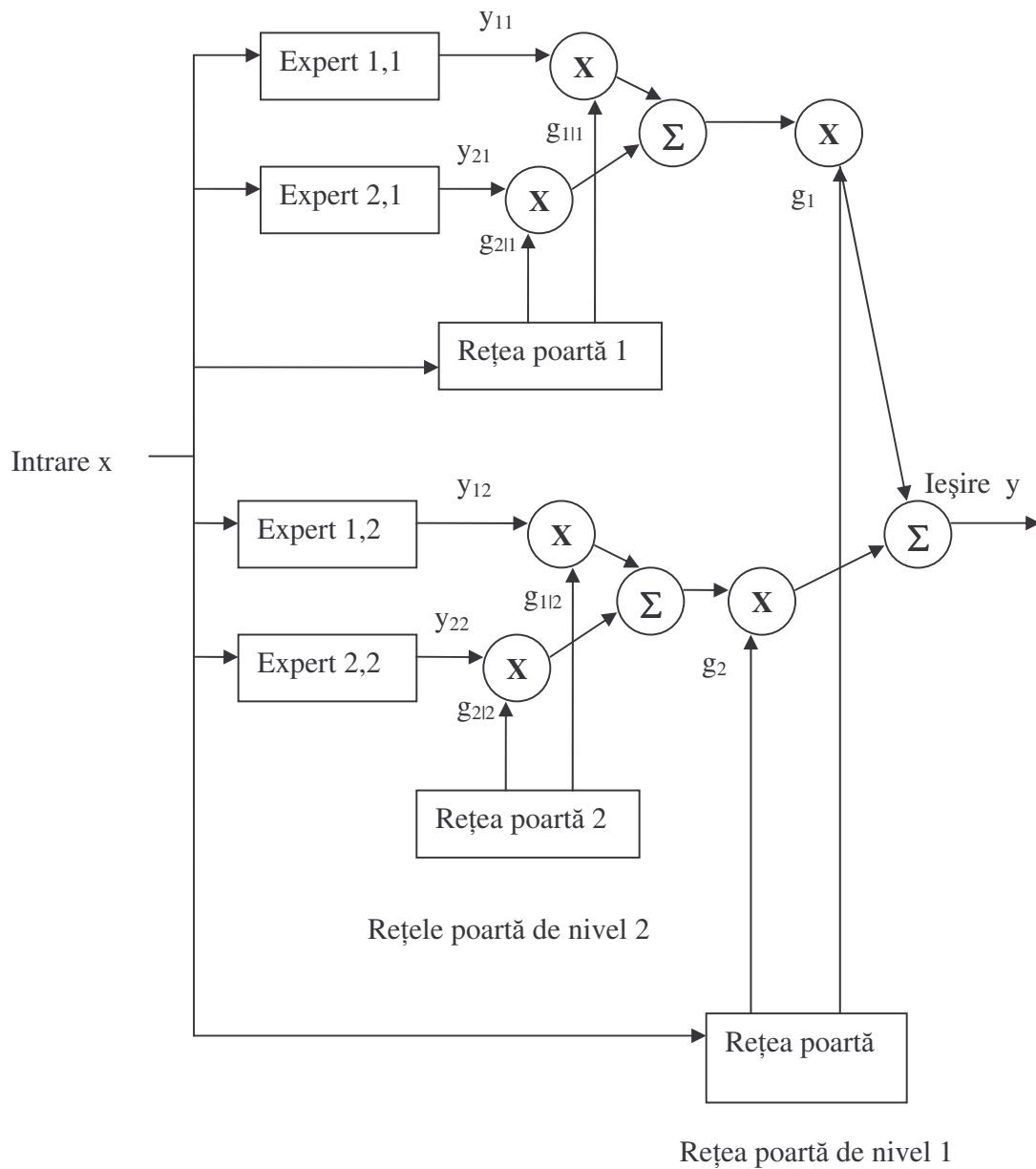


Figura. 4.4. Mixtura ierarhică de experți cu două nivele de ierarhie

Parametrii  $\theta$  ai modelului pot fi estimați cu metoda verosimilității maxime, pornind de la setul de exemple de antrenare (vezi, de exemplu, algoritmul EM (Expectation Maximization) [Hay98], în cadrul căruia se ia în considerare și posibila incompletitudine a datelor).



### 4.3.2. Hibridizare neuro-fuzzy

Flexibilitatea și capacitățile de adaptare/ învățare/generalizare din exemple ale rețelelor neurale și avantajele reprezentării structurate și ușor interpretabile a cunoștințelor incerte din sistemele fuzzy de inferență pot fi combinate în cadrul unui formalism hibrid: calculul neuro-fuzzy, care și-a găsit până acum aplicații atât în problemele medicale de clasificare cât și în diagnoza tehnică.

Sistemele neuro-fuzzy se pot folosi ca generatoare de reguli și vin astfel de multe ori în completarea sistemelor ce folosesc cunoștințe furnizate de experți umani: acolo unde cunoștințele expertului uman sunt incomplete sau cunoștințele unor experți diferiți sunt contradictorii, modelul se completează folosind exemple clasificate pentru crearea regulilor. Prezentăm în continuare câteva exemple reprezentative de arhitecturi hibride și aplicațiile lor, care să ilustreze aceste afirmații, și care în plus ar fi aplicabile în diagnoza medicală.

#### 4.3.2.1. ANFIS (Adaptive Neural Fuzzy Inference Systems)

Introducem în această secțiune o arhitectură hibridă fuzională, de sisteme de inferență fuzzy extinse cu abilitățile de învățare ale rețelelor neurale pentru învățarea parametrilor ce definesc mulțimile fuzzy din antecedentul/ consecventul regulii, bazate pe rețele adaptive [Jan92].

*Rețelele adaptive* (Figura 4.5) reprezintă un superset al rețelelor neurale feedforward cu învățare supervizată. Componentele lor de bază sunt nodurile și legăturile între noduri. O parte din noduri sunt adaptive, în sensul că ieșirea lor depinde de parametrii ce sunt asociați cu fiecare din aceste noduri. Mecanismul de învățare (gradient descent + chain rule) determină cum trebuie modificați acești parametri pentru a minimiza o măsură dată a erorii, și a fost introdus de Werbos în 1970, și este în principiu același cu cel folosit de Backpropagation. Vom descrie pe scurt acest mecanism în continuare.

Fiecare nod realizează o anumită funcție  $O$  dependentă de intrări și de parametrii asociați nodului. Se calculează derivata erorii în raport cu fiecare parametru  $\alpha$  [Jan92]:

$$\frac{\partial E_p}{\partial \alpha} = \sum_{O^* \in S} \frac{\partial E_p}{\partial O^*} \frac{\partial O^*}{\partial \alpha}, \quad (4.7)$$

unde  $p$  reprezintă al  $p$ -lea pattern de antrenare,  $S$  este mulțimea de noduri ale căror ieșiri depind de  $\alpha$ , iar

$$E_p = \sum_{m=1}^{\#(L)} (T_{m,p} - O_{m,p}^L)^2,$$

unde  $L$  este numărul de straturi al rețelei,  $\#(L)$  este numărul de noduri din stratul de ieșire  $L$ ,  $T_{m,p}$  este componenta  $m$  a vectorului țintă numărul  $p$ , iar  $O_{m,p}^L$  este componenta  $m$  a ieșirii actuale a rețelei pentru intrarea cu numărul  $p$ .

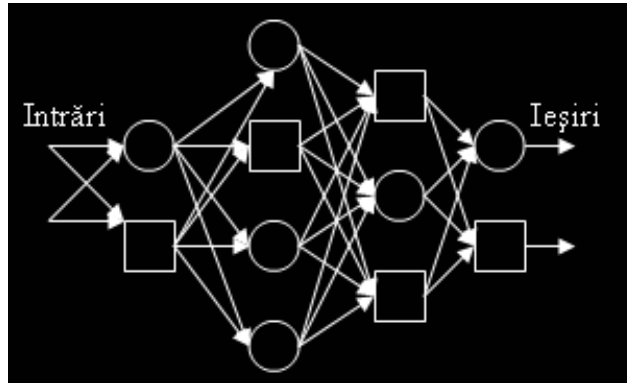


Figura 4.5. Structura unei rețele adaptive  
(Nodurile adaptive sunt reprezentate ca pătrate, iar nodurile fixe ca ovale).

Dacă avem în total  $P$  pattern-uri de antrenare și eroarea totală este

$$E = \sum_{p=1}^P E_p, \quad (4.8)$$

atunci:

$$\frac{\partial E}{\partial \alpha} = \sum_{p=1}^P \frac{\partial E_p}{\partial \alpha} \quad (4.9)$$

și modificarea parametrului  $\alpha$  se face după regula:

$$\Delta \alpha = -\eta \frac{\partial E}{\partial \alpha}, \quad (4.10)$$

unde  $\eta$  reprezintă rata de învățare și este dat de:

$$\eta = \frac{k}{\sqrt{\sum_{\alpha} \left( \frac{\partial E}{\partial \alpha} \right)^2}}.$$

Întrucât regula de învățare cu gradient descendent este lentă și există riscul blocării în minime locale ale erorii, autorii propun o îmbunătățire a algoritmului, înlocuindu-l cu o tehnică hibridă care combină metoda gradientului cu estimare tip cele mai mici pătrate pentru identificarea parametrilor rețelei.

Orice sistem de inferență fuzzy poate fi modelat printr-un sistem ANFIS, dovedindu-se echivalent funcțional, dar bucurându-se în plus de abilitățile de învățare specifice rețelei.

Prezentăm în Figura 4.6 un exemplu de cum se traduce un sistem de inferență fuzzy de tip I într-o rețea adaptivă [Jan92].

În Figura 4.6, nodurile primului strat au asociată câte o funcție de tip  $O_i^1 = \mu_{A_i}(x)$ , unde  $x$  este intrarea în nodul  $i$ , și  $O_i^1$  specifică gradul în care  $x$  satisface cuantificatorul definit de mulțimea fuzzy  $A_i$  (mic, mare etc.). Parametrii variabili asociați nodurilor din primul strat sunt dați de parametrii ce definesc mulțimile  $A_i$  și se numesc *parametrii premisei*. Nodurile celui de-al doilea strat aplică un operator de tip t-normă mulțimilor  $A_i, B_i$  din antecedentul regulii  $i$  pentru a calcula puterea de activare a acestei reguli. Al treilea strat normalizează ponderile regulilor, iar stratul patru calculează consecințele aplicării regulilor (în funcție de parametrii consecventului).

$$O_i^4 = \overline{w}_i f_i = \overline{w}_i (p_i x + q_i y + r_i), \quad (4.11)$$

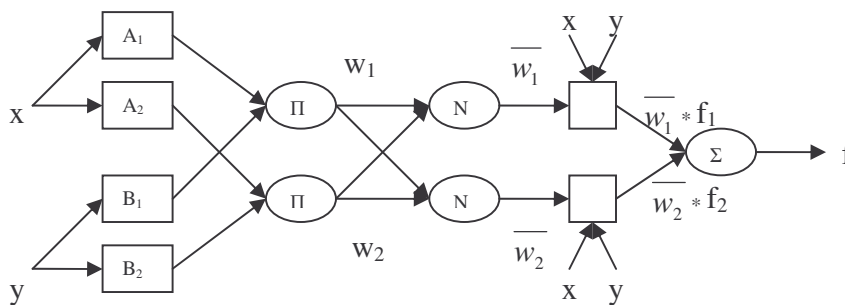


Figura 4.6. Rețea adaptivă pentru un sistem de inferență fuzzy de tipul I

unde  $\overline{w}_i$  este ponderea normalizată calculată de stratul anterior. Nodul din ultimul strat calculează rezultatul (crisp) final:

$$O_i^5 = \sum \overline{w}_i f_i = \frac{\sum_i w_i f_i}{\sum_i w_i} \quad (4.12)$$

Autorii arată în aceeași lucrare că sistemele de inferență fuzzy sunt echivalente, din punctul de vedere al funcției calculate, cu rețelele neurale de tip RBF (rețele cu funcții bază radiale), ce pot fi privite ca un caz special al ANFIS, dacă asociem fiecare regulă fuzzy DACĂ-ATUNCI cu un câmp receptor al rețelei RBF. (Această asociere este posibilă datorită proprietății de procesare locală a informației în rețelele RBF).

Fiind aproximatori universali, rețelele ANFIS și-au găsit aplicații multiple în modelarea de funcții neliniare din diverse domenii.

#### 4.3.2.2. Clasificatorul neuro-fuzzy NFC

Este o arhitectură fuzională, concepută special pentru clasificare de forme [NFC=neuro-fuzzy classifier]. Este mai eficient decât clasificatorii neurali întrucât, pe de o parte, permite codificarea transparentă de cunoștințe apriori în parametrii rețelei și determină astfel învățarea în spațiul parametrilor să înceapă dintr-un punct inițial bun (aproape de optim). Pe de altă parte, parametrii obținuți după învățare se pot transforma ușor în cunoștințe structurate de forma regulilor IF-THEN. Arhitectura este prezentată în Figura 4.7, unde parametrul  $p_{ij}$  reprezintă măsura a cât aparține regiunea fuzzy  $i$  clasei  $C_j$ .

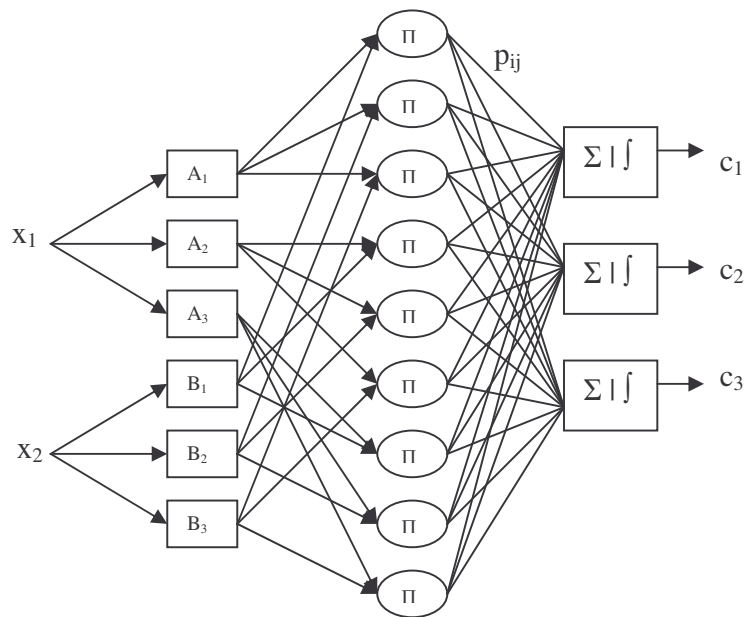


Figura 4.7. Structura NFC

Cum într-o problemă de clasificare ieșirea este *discretă*, avem nevoie de o măsură a erorii corespunzătoare. Autorii propun ca măsură a erorii de tip maximum o funcție continuă ce reflectă corect numărul de clasificări greșite.

Astfel, pentru un exemplu cu trei clase, dacă notăm  $d=(d_{o1}, d_{o2}, d_{o3})$  vectorul ieșirilor dorite, și cu  $co=(co_1, co_2, co_3)$  vectorul ieșirilor actuale, și presupunând că ieșirea dorită ar fi clasa numărul 1 eroarea se scrie:

$$E = \text{sig}[m(co_2 - co_1)] + \text{sig}[m(co_3 - co_1)], \quad (4.13)$$

unde  $m$  este o constantă pozitivă mare care face ca funcția diferențiabilă sigmoidală să aproximeze funcția signum.

Această funcție de eroare are proprietățile dorite în condițiile date (clasa corectă e  $c_1$ ), și anume:

- dacă  $co_1 > co_2$  și  $co_1 > co_3$  atunci  $E$  este mică
- dacă  $co_1 > co_2$  și  $co_1 < co_3$  atunci  $E$  este medie

dacă  $co_1 < co_2$  și  $co_1 > co_3$  atunci E este medie  
 dacă  $co_1 < co_2$  și  $co_1 < co_3$  atunci E este mare

Expresia erorii pentru cazul general este:

$$E = do_1(1-do_2)(1-do_3)\{sig[m(co_2-co_1)]+sig[m(co_3-co_1)]\} \\ + (1-do_1)do_2(1-do_3)\{sig[m(co_1-co_2)]+sig[m(co_3-co_2)]\} \\ + (1-do_1)(1-do_2)do_3\{sig[m(co_1-co_3)]+sig[m(co_2-co_3)]\} \quad (4.14)$$

#### 4.3.2.3. Perceptronul Fuzzy Multistrat

Modelul care urmează reprezintă o rețea neurală tip MLP extinsă cu abilități de procesare de intrări-ieșiri fuzzy [Mit00]. Folosește hibridizare asociativă (fuzională și de transformare -Figura 3.21).

Modelul fuzzy MLP include mulțimile vagi la nivelul reprezentării intrărilor și ieșirilor, și conține un singur strat ascuns. Poate lucra atât cu intrări numerice cât și lingvistice. Astfel, dacă  $F_j$  este vectorul  $n$ -dimensional de caracteristici cu numărul de ordine  $j$  (din datele de antrenare),

$$F_j = [\mu_{low(F_{i1})}(F_i), \dots, \mu_{high(F_{in})}(F_i)] = [y_1^0, y_2^0, \dots, y_{3n}^0], \quad (4.15)$$

adică fiecare componentă a sa este trecută prin câte 3 valori lingvistice (mic, mediu, mare), definite de mulțimile fuzzy de tip  $\pi$ :

$$\pi(F_j; c, \lambda) = \begin{cases} 2\left(1 - \frac{\|F_j - c\|}{\lambda}\right)^2, & \frac{\lambda}{2} \leq \|F_j - c\| \leq \lambda \\ 1 - 2\left(\frac{\|F_j - c\|}{\lambda}\right)^2, & 0 \leq \|F_j - c\| \leq \frac{\lambda}{2} \\ 0, & \text{altfel} \end{cases} \quad (4.16)$$

( $c$ ,  $\lambda$ -se obțin din datele de antrenare).

Ieșirea oricărui neuron din stratul ascuns sau de ieșire se exprimă ca:

$$y_j^{h'} = \frac{1}{1 + \exp(-\sum_i y_i^{h'-1} w_{ji}^{h'-1})} \quad (4.17)$$

unde  $x_j^{h'} = \sum_i y_i^{h'-1} w_{ji}^{h'-1}$ .

### Reprezentarea ieșirilor

Din datele de antrenare se calculează media  $o_k=[o_{k1}, \dots, o_{kn}]$  și varianța  $v_k=[v_{k1}, \dots, v_{kn}]$  pentru fiecare clasă  $C_k, k=1, l$ . Acestea folosesc la determinarea distanței ponderate de la exemplul de antrenare  $F_i$  la clasa  $C_k$ :

$$z_{ik} = \sqrt{\sum_{j=1}^n \left[ \frac{F_{ij} - o_{kj}}{V_{kj}} \right]^2}, \quad (4.18)$$

și, mai departe, la calculul gradului de apartenență a lui  $F_i$  în clasa  $C_k$ :

$$\mu_k(F_i) = \frac{1}{1 + \left( \frac{z_{ik}}{f_d} \right)^{f_e}} \quad (4.19)$$

unde  $f_e, f_d$  sunt parametri aleși în funcție de acuratețea dorită.

După ce rețeaua este antrenată cu backpropagation și ajustată (“pruned”) cu metoda de degradare a ponderilor (“weight decay”), se pot extrage reguli din ponderile rețelei, urmărind prin backtracking căile de pondere ridicată, de la stratul de ieșire spre cel de intrare, și asociind o regulă cu fiecare submulțime de noduri atașată (ce definește căile respective.)[Mit00]

Arhitectura a fost folosită cu succes de către autori în extragerea de reguli pentru diagnosticarea afecțiunilor hepatice [Mit00].

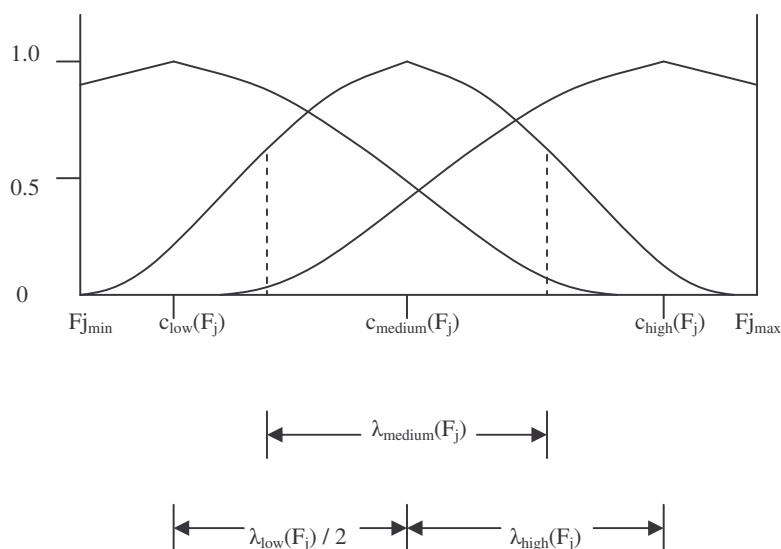


Figura 4.8. Definiția mulțimilor  $\pi$

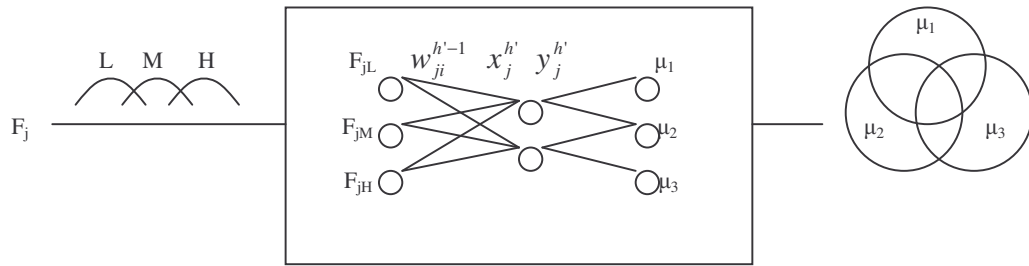


Figura 4.9.Schema generală a Fuzzy MLP

#### 4.3.2.4. Neuroni fuzzy logici

Hibridizarea poate merge însă și mai departe, în interiorul rețelei, la nivelul structurii neuronilor (hibridizare fuzională). O arhitectură interesantă de rețea neurală fuzzy, bazată pe *neuroni fuzzy logici* a fost propusă de Witold Pedrycz [Ped04] și o prezentăm pe scurt în continuare împreună cu ideea unei posibile aplicații.

#### Neuroni fuzzy logici de agregare

Fie  $x=[x_1, \dots, x_n]$  vectorul de intrări într-un neuron și  $w=[w_1, \dots, w_n]$  vectorul de ponderi asociat.

Neuronul de tip OR. Ieșirea sa este dată de:

$$y = S_{i=1}^n (x_i t w_i) \text{ (unde } S \text{ este o s-normă și } t \text{ o t-normă)} \quad (4.20)$$

Acest  $y$  reprezintă valoarea de adevăr a expresiei logice:

$$(x_1 \text{ and } w_1) \text{ or } (x_2 \text{ and } w_2) \text{ or } \dots \text{ or } (x_n \text{ and } w_n).$$

Se observă că valori mici ale ponderilor scad impactul intrărilor respective asupra rezultatului final.

Neuronul de tip AND. Ieșirea acestuia se exprimă ca:

$$y = T_{i=1}^n (x_i s w_i) \text{ (s= s-normă, t=t-normă)}. \quad (4.21)$$

De data aceasta, valori mari ale ponderilor reduc impactul intrării asupra rezultatului final.

### Neuroni logici de referință

Folosesc la procesarea predicatelor logice de tipul: *similar, inclus în, domină*. Valoarea de adevăr a unui astfel de predicat este dată de satisfacerea unei expresii de tipul  $P(x,a)$ , unde  $a$  reprezintă o valoare de referință. (De exemplu  $P(x,a)$  atunci când  $P=similar$ , se interpretează “ $x$  este similar cu  $a$ ”).

Dacă  $\mathbf{x}$  și  $\mathbf{a}$  sunt vectori atunci:

$$P(\mathbf{x};\mathbf{a}) = P(x_1,a_1) \text{ and } P(x_2,a_2) \text{ and } \dots \text{ and } P(x_n,a_n). \quad (4.22)$$

Pentru a pondera relevanța variabilelor în satisfacerea unui predicat dat, expresia de mai sus se poate scrie:

$$P(\mathbf{x};\mathbf{w},\mathbf{a}) = [P(x_1,a_1) \text{ or } w_1] \text{ and } [P(x_2,a_2) \text{ or } w_2] \text{ and } \dots \text{ and } [P(x_n,a_n) \text{ or } w_n]. \quad (4.23)$$

În general, ieșirea unui neuron de referință este:

$$y = T_{i=1}^n (REF(x_i, a_i)sw_i). \quad (4.24)$$

Dacă, spre exemplu,  $REF = SIM(\text{ilar})$ , acesta se poate defini ținând cont de relațiile:

$$INCLus(x,a) = x \rightarrow a; \quad (4.25)$$

$$DOMină(x,a) = a \rightarrow x; \quad (4.26)$$

$$SIM(x,a) = INCL(x,a) \text{ t } DOM(x,a), \quad (4.27)$$

și  $a \rightarrow b$  poate fi modelată prin t-norma:

$$a \rightarrow b = \sup\{c \in [0,1] \mid a \text{ t } c \leq b\}, a,b \in [0,1].$$

Topologia generală a rețelei este prezentată în Figura 4.10, unde neuronii din stratul  $\tau$  reprezintă modificatori lingvistici de tipul *foarte, puțin, mai mult sau mai puțin* (efect de diluare sau accentuare).

Arhitectura și ponderile se pot antrena folosind algoritmi genetici. În final, rețeaua poate fi transformată într-o formulă logică transparentă, bine-structurată.

O posibilă aplicație a acestei arhitecturi se poate obține în diagnoza pe bază de funcții criteriu [Mun03], neuronii fuzzy logici servind la modelarea naturală a operatorilor și mulțimilor fuzzy ce apar în construcția funcțiilor respective. Această idee poate constitui o direcție de studiu interesantă, în cadrul tehnicilor de integrare a cunoștințelor simbolice în structuri neurale. Cunoștințele simbolice integrate pot preveni blocarea în minime



locale și îmbunătățesc timpul de învățare al rețelei, fiind totodată utile în faza de explicare a rezultatelor furnizate de rețea. În plus, structura de rețea neurală ar ajuta inferența prin avantajele procesării paralele și robusteții la forme incomplete și distorsionate. Există totuși limitări ale capacității unei rețele neurale de a simula un raționament nemonoton, provenite tocmai din paralelismul rețelei și din lipsa abilităților de interacțiune cu utilizatorul (rețeaua nu poate pune întrebări care să ghideze raționamentul). Rămâne o problemă deschisă dacă și cum ar putea fi inserată interactivitatea și nonmonotonicitatea într-o structură hibridă neuro-fuzzy.

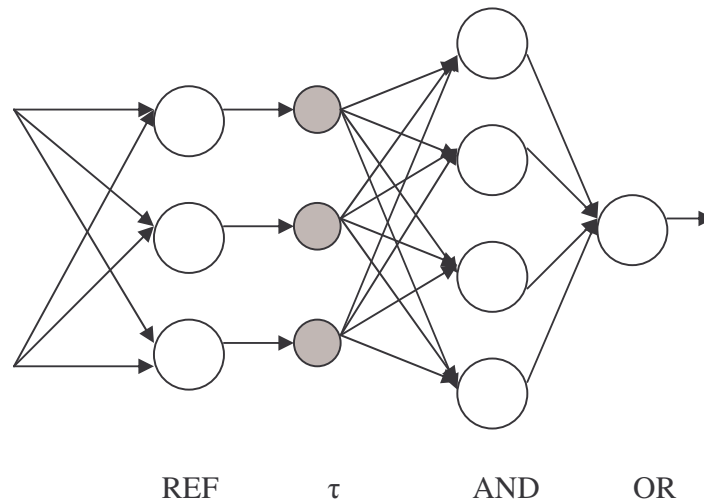


Figura 4.10. Topologia unei rețele cu neuroni fuzzy logici

## 4.4. Un exemplu de hibridizare combinativă în diagnoza medicală

### 4.4.1. Sistemul CHECK

Problema diagnozei pe bază de model este în general NP-completă. Se pot însă folosi hibridizări combinate, în care primul nivel al sistemului de diagnoză se ocupă de focalizarea raționamentului, apelând la tehnici asociative de raționament. Reducerea spațiului de căutare în cazul diagnozei pe bază de model poate fi abordată și numeric, folosind măsuri de probabilitate/posibilitate ([TorCon89, Mun03]). Un exemplu de astfel de sistem hibrid este propus în continuare. Sistemul se încadrează în tipul de hibridizare în care logica formală este asistată de o tehnică inteligentă (simbolică în cazul de față), și constituie o alternativă mult îmbunătățită a sistemului CASNET.

În [TorCon89] ni se propune o organizare hibridă (CHECK) (=ce folosește atât cunoștințe de profunzime cât și raționament asociativ), interesantă și originală a cunoștințelor pe 3 nivele: nivelul descrierii datelor (1), nivelul euristic (2) (folosit pentru inferență, include cunoștințe de suprafață), nivelul modelului cauzal (3) (folosit pentru explicații-include cunoștințe profunde). Sistemul este unul dintre cele mai complete și aprofundate sisteme

de diagnoză și a fost folosit cu rezultate bune în diagnosticarea afecțiunilor ficatului. Pe toate cele trei nivele, reprezentarea cunoștințelor folosește cadre, cu sloturi specifice. La nivelul descrierii datelor există patru tipuri de informații (structurale, de control, prototipice, de interpretare). Nivelul euristic cuprinde cunoștințe structurale (de exemplu, o relație de ierarhizare între diagnostice -cazuri de bază/cazuri specializate=specifice), cunoștințe prototipice (manifestări necesare și suplimentare pentru un diagnostic), cunoștințe de control (reguli de activare și validare, ipoteze asociate și alternative unei ipoteze date, specializări default).

Descrierile prototipice ale unui diagnostic sunt folosite în evaluarea gradului de compatibilitate al datelor observate cu profilul unei anumite boli, și în asocierea unui rang de plauzibilitate fiecărei ipoteze de diagnostic. Evaluarea evidențelor se face corectând evidența observată cu măsura relevanței acesteia într-un anumit context, după formula:

$$E(H)=(((e(N) +_u e(S)) \circ_f [1-e(ER)]) +_u e(CR)) \quad (4.28)$$

unde:

$+_u$ :  $e_1 +_u e_2 = e_1 + (1-e_1)*e_1*e_2$ ; (variante "unfair" a legii de combinare a evidențelor Bernoulli folosită în Mycin: primul membru-care corespunde în 4.28 manifestărilor necesare -este privilegiat, acordându-i-se o pondere mai mare);

$\circ_f$ :  $e_1 \circ_f e_2 =e_1*e_2$  (adaptat semanticii regulilor de excludere: gradul de evidență global nu trebuie să descrească dacă evidența din regulile de excludere este nulă);

$e(N)$ : evidența din manifestările necesare;  $e(S)$ : evidența din manifestările suplimentare;  $e(ER)$ =evidența din regulile de excludere;  $e(CR)$ =evidența din regulile de confirmare.

Această evaluare a evidențelor este folosită de regulile de activare pentru instanțierea cadrului corespunzător unei ipoteze de diagnostic și trecerea sa în agenda de lucru. Regulile de validare sunt apoi folosite pentru confirmarea /excluderea instanței unui cadru(=a unei ipoteze). Algoritm de diagnoză corespunde unei căutări în lărgime (în paralel) la nivelul euristic, ceea ce face posibil și diagnosticul diferențial.

### Algoritm

1. Activarea mulțimii inițiale de ipoteze =A;
2. Determinarea ipotezelor asociate care nu sunt în A  $\rightarrow$  mulțimea C;
3. Activarea ipotezelor din C  $\rightarrow$  C';
4.  $S=A \cup C'$ ;
5. Validarea ipotezelor din S  $\rightarrow$  mulțimea de ipoteze H;

6. Aplicarea unei funcții-prag;
7. Specializarea ipotezelor din H.

Nivelul causal cuprinde cunoștințele de profunzime și este folosit pentru confirmarea/infirmarea unei ipoteze generate la nivelul euristic, generarea de ipoteze alternative sau analiza datelor "neașteptate"-poate fi folosit și pentru interogare. Pentru a modela raționamentul în această subcomponentă, se folosește o abordare calitativă bazată pe logica nemonotonă. În această abordare, raționamentul logic nemonoton pe o rețea causală folosește *principiul rezoluției extins* pentru a găsi sursa unei inconsistențe. (Dacă o manifestare a unei stări lipsește, se aplică abducția indirectă pentru a găsi explicația acestei observații inconsistente). Dezavantajele principale ale abordării sunt cele enunțate în Secțiunea 3.4.1. în paragraful dedicat versiunii duale a abducției.

*Nodurile* din structura rețelei causale (Figura 4.12.) sunt de patru tipuri:

- **ipoteze** (=situații (stări/combinații de stări) în care se poate afla sistemul la un moment dat); fiecare ipoteză este conectată cu un cadru care o reprezintă la nivelul euristic;
- **stări și acțiuni**- stările au asociate variabile de stare (caracteristici ale stărilor) care se modifică prin funcțiile definite de acțiuni (evenimente ce determină tranziția dintr-o stare în alta, și care reflectă legăturile causale dintre stări);
- **manifestări observabile** ale stărilor interne (cel mai adesea inaccesibile decât prin teste invazive/costisitoare);
- **cauze inițiale** =posibile cauze originare ale unei boli.

*Relațiile* care leagă aceste noduri în cadrul rețelei sunt, deasemenea, împărțite în mai multe categorii, în funcție de specializarea lor:

- arce causale; stare  $s \rightarrow$  acțiune  $\rightarrow$  stare  $t$ ;
- arce de tip M ("Has As a Manifestation") -conectează stările cu manifestările asociate;
- arce LOOP (bucle);
- arce de tip "sugerează...": leagă stările de ipoteze;
- arce de tip "definit ca...": leagă, deasemenea, stările de ipoteze, dar spre deosebire de precedentele, sunt certe: o ipoteză de diagnostic se definește ca prezența unei stări particulare (combinație de stări) în cadrul sistemului modelat.

Între arcele de același tip se pot folosi operatori logici de tip AND,OR. Unele arce se definesc de tip MAY, ca și în AID, pentru a exprima incertitudinea asociată cu incompletitudinea modelului teoretic. În cadrul raționamentului necesar pentru confirmarea unei stări trebuie stabilită prezența condițiilor strict necesare pentru această stare, și stabilirea unui grup de cauze inițiale și a unor drumuri cauzale de la acestea la starea respectivă. Inferența se face în principal înainte (forward), încercând să se instanțieze rețeaua pornind de la cauzele inițiale. Raționamentul ipotetic asociat rețelei se definește pe baza a patru elemente principale:

1. **Stări** = formule logice definite cu ajutorul unor predicate de aritate egală cu numărul de atribute al stării.
2. **Acțiuni** = funcții ce permit exprimarea atributelor stării efect în termenii atributelor stării cauză.

Dacă  $S_1$  are două atribute  $x,y$  și  $S_2$  are un singur atribut avem implicația cauzală (Figura 4.11):

$$S_1(x, y) \wedge C(x, y) \Rightarrow S_2(f(x, y)) \quad (4.29)$$

unde funcția  $f$  modelează  $A$ .

3. Arce "M" (has as a manifestation):  $S(x,y) \Rightarrow m(z)$ ;
4. Arce **may** (relații posibile-definesc calitativ incertitudinile din model):

$$S_1(x, y) \wedge \alpha \Rightarrow S_2(f(x, y)), \quad (4.30)$$

unde  $\alpha$  este un literal ipotetic (nu există evidențe pentru el).

Se transformă astfel graful asociat rețelei într-o mulțime de formule logice pe baza cărora se poate raționa calitativ (Figura 4.12).

Specificarea teoriei cauzale propuse de Torasso și Console este dată de cadrul care urmează.

**Definiție.** O *specificare cauzală a unei teorii de diagnostic* este cadrul  $C=(DFS, OBS, CM)$ , unde:

- DFS este o mulțime de literalii de defecte sau ipoteze posibile,
- OBS este mulțimea manifestărilor observabile -negative sau pozitive-;
- CM (Causal Model) este o mulțime de axiome de forma:

$$d_1 \wedge \dots \wedge d_n \rightarrow o \quad (4.31)$$

(axiome de anormalitate: implicația logică exprimă o relație de cauzalitate) ( $d_i$ : defecte sau stări anormale intermediare între o cauză rădăcină și simptomele finale);

$$d_1 \wedge \dots \wedge d_n \rightarrow d \quad (4.32)$$

(axiome de clasificare, după modelul CASNET: un defect este definit în termenii unei mulțimi de stări).

Relații cauzale incerte:

$$d_1 \wedge \dots \wedge d_n \wedge \alpha_o \rightarrow o \quad (4.33)$$

$$d_1 \wedge \dots \wedge d_n \wedge \alpha_d \rightarrow d \quad (4.34)$$

unde  $\alpha$  este literalul "ipotezei de incompletitudine", la fel ca în relația 4.30 de mai sus.



Figura 4.11. Exemplu de arc cauzal

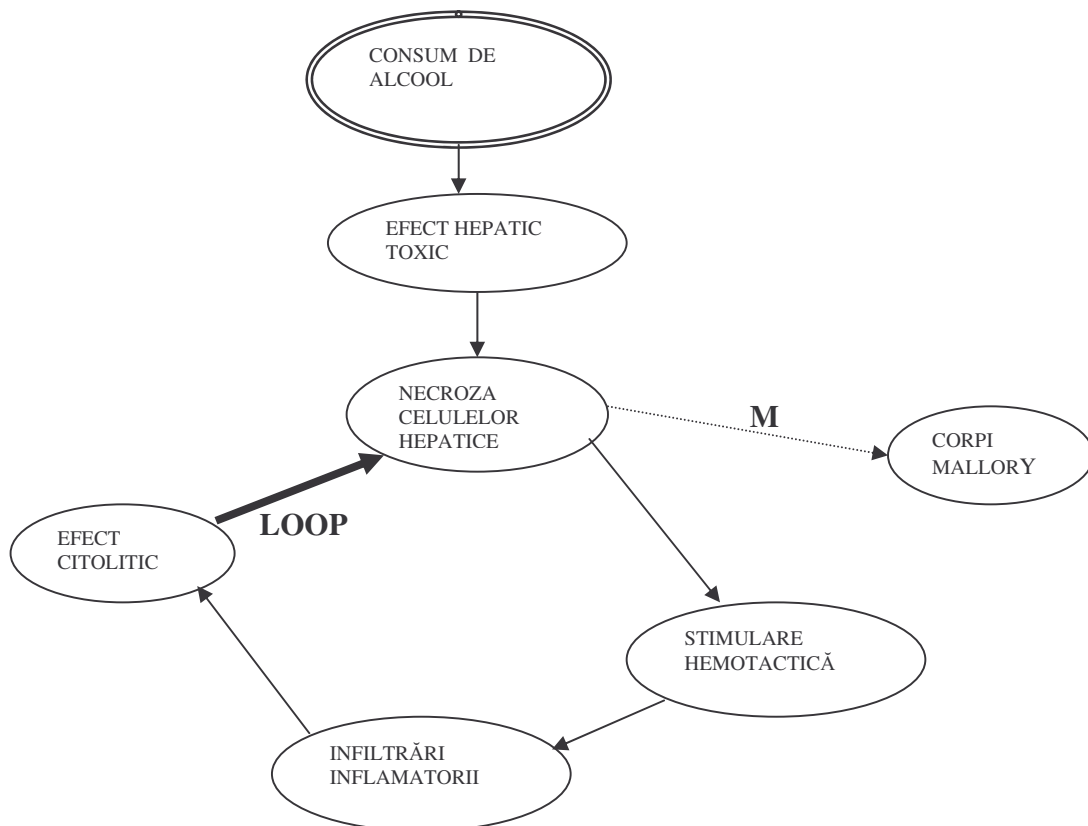


Figura 4.12. Rețea cauzală în CHECK

#### 4.4.2 Comparație între sistemele CHECK și CASNET

Sistemul CHECK reușește să îmbunătățească, în mare parte, dezavantajele sistemului CASNET enunțate în Secțiunea 3.3.1.4. Pe de o parte, prin activarea pe bază de reguli a anumitor ipoteze, raționamentul se concentrează pe un submodel din modelul medical total. Acestui submodel i se aplică, abia în faza de generare de explicații, raționament nemonoton, care abordează net superior contradicțiile. În plus, detalierea superioară a modelului și definirea explicită a mai multor tipuri de relații (de confirmare sau infirmare) va determina scăderea numărului de contradicții generate la pasul de explicare a concluziilor.

Tostuși, încă nu se poate modela în CHECK situația în care o ipoteză e confirmată doar dacă *majoritatea* (criteriu vag) testelor sale sunt confirmate. Această problemă va fi rezolvată în DiaMed.

#### 4.5.Sistemul hibrid DiaMed

În continuare, structura lucrării ține cont de obiectivul pe care ni l-am propus, și anume construirea unui sistem hibrid original de tip combinativ, structurat pe două nivele, pe care l-am numit DiaMed (**Diagnoză Medicală**). Ne-am oprit asupra hibridizării combinate pentru a evita două mari dezavantaje ale hibridizării neuro-fuzzy sau neuro-simbolice, și anume: creșterea exponențială a dimensiunii problemei cu creșterea numărului de variabile (“curse of dimensionality”), și dificultatea de a se plia pe dinamismul unei probleme de diagnoză medicală.

Arhitectura DiaMed seamănă cu cea din sistemul CHECK, dar metodele efective de realizare sunt diferite. Primul nivel implementează selecția ipotezelor cu o metodă eficientă din categoria raționamentului asociativ, apelând în acest scop la funcții de decizie fuzzy pentru definirea funcțiilor de discriminare între clase. Avantajul major al acestor funcții de decizie față de legea combinării evidențelor din CHECK stă în faptul că pot exprima cu acuratețe criterii vagi de mare diversitate (de exemplu, *majoritatea, cel puțin  $x$  din  $n$ , un număr semnificativ din etc.*)

Al doilea nivel utilizează modelul causal de profunzime restrâns la contextul ipotezelor selectate la primul pas, pentru a discrimina și rafina diagnosticul final, și, eventual, pentru înlăturarea contradicțiilor generate la primul nivel. Aplicarea algoritmilor DCSP pentru a controla constrângerile active la un moment dat are față de CASNET avantajul de a restrânge contextul, așa cum făceau și regulile de activare a ipotezelor (trigger) în CHECK. În plus, acest pas ia în considerare un model cât mai precis și complet, în care situațiile excepționale să poată fi reprezentate eficient și natural, și schema de raționament să se încadreze în specificul nemonoton al unui raționament de diagnoză. În acest scop, am apelat în cadrul acestui al doilea nivel la metode logico-simbolice din domeniul sistemelor de argumentare și la algoritmi CSP pentru rafinarea și explicarea rezultatelor. Avantajul principal față de CHECK al acestei abordări a nonmonotonicității la nivelul rafinării ipotezelor în DiaMed stă în faptul că folosește o metodă tratabilă,

eficientă, spre deosebire de abordarea logică a abducției indirecte ce determină sursa eventualelor inconsistențe în CHECK.

#### **4.6. Concluzii și contribuții**

Capitolul IV a realizat mai mult decât o simplă trecere în revistă a sistemelor hibride de diagnoză medicală de succes de până astăzi. Întrucât am dorit ca în acest capitol să încadrăm deja în contextul actual sistemul original DiaMed propus de lucrarea prezentă, cu avantajele sale, am simțit nevoia detalierii anumitor formalisme, pentru ca secțiunile ulterioare să permită o mai bună comparație. Al doilea obiectiv a fost deschiderea de noi perspective asupra aplicabilității anumitor tehnici în diagnoza medicală în special. Secțiunile următoare vor analiza în detaliu sistemul original DiaMed, cu cele două nivele ale sale: selectarea ipotezelor și rafinarea mulțimii de diagnostice.

## V. Selectarea ipotezelor de diagnostic prin decizie fuzzy în DiaMed

### 5.1. Introducere

Operația de selectare a ipotezelor folosește, de obicei, tehnici eficiente dar mai puțin precise și aproape deloc transparente. Metodele cele mai populare de inteligență artificială ce folosesc cunoștințe superficiale pentru un raționament bazat pe asocieri sunt rețelele neurale [HayS98], sistemele bazate pe reguli [GiaRi194], anumite modele fuzzy [DubPra85]. Toate aceste tehnici modelează expertiza umană pe baza unor perechi intrări-ieșiri: corelația statistică fiind conceptul-cheie ce stă în spatele lor, indiferent de formalizare. (Pentru o sinteză a abordărilor posibile ale diagnozei medicale, statistice sau pe bază de model vezi [Lon01]).

Secțiunea curentă prezintă contribuțiile originale pentru faza de selectare a ipotezelor în cadrul diagnosticării, contribuții ce cuprind un model original bazat pe funcții de decizie fuzzy [Mun03, Mun05]. Abordarea este comparată cu tehnica cea mai apropiată, și anume sistemele de inferență fuzzy. Puterea de discriminare a funcțiilor astfel construite este evaluată folosind indexul statistic C, rezultatele fiind foarte bune.

### 5.2. Sisteme de inferență fuzzy în diagnoza medicală

O problemă de diagnoză medicală se poate formaliza natural ca un proces de clasificare cu o mulțime de  $N$  clase (diagnostice) [CasFanMen03]:

$$\Delta = \{d_1, \dots, d_N\} \quad (5.1)$$

Mulțimea de simptome pe baza căreia se face clasificarea se poate scrie ca un vector  $K$ -dimensional  $o = (o_1, \dots, o_K)$ , iar diagnosticarea se face pe baza unei funcții clasificator:

$$D: A \subseteq \mathfrak{R}^K \rightarrow \Delta, \quad (5.2)$$

unde  $A$  se poate defini printr-un hiperinterval:

$$A = \prod_{j=1}^K \text{dom}_j, \quad o_j \in \text{dom}_j = [I_j, I_j]$$

Baza de reguli fuzzy ce stă în spatele funcției de clasificare  $D$  conține de obicei reguli de forma:



$$\text{IF } o \text{ is } G_r \text{ THEN } \tilde{D}(x) \text{ is } d_1(v_{r1}), \dots, d_N(v_{rN}), \quad (5.3)$$

unde  $G_r$  este o relație fuzzy  $K$ -dimensională.

Gradul de apartenență al vectorului de măsurători  $o$  în  $G_r$  definește gradul de activare al regulii  $r$  (și poate fi interpretat ca măsură a similarității între  $o$  și vectorul prototip al mulțimii  $G_r$ ).

Regulile de mai sus definesc funcția de clasificare :

$$\tilde{D} : A \rightarrow [0,1]^M \quad (5.4)$$

adică  $\tilde{D}(o) = (v_1, \dots, v_N)$ , unde fiecare  $v_j$  reprezintă gradul în care este prezent diagnosticul  $d_j$  la un pacient cu simptome date de vectorul  $o$ . Acest grad poate avea diferite semnificări [KunSte99]:

- Cât de tipic este cazul  $o$  pentru diagnosticul  $d_j$ ;
- Cât de gravă este boala  $d_j$  în cazul  $o$ ;
- Suportul pentru ipoteza că  $d_j$  este adevăratul diagnostic în cazul  $o$ , dedus din evidențele disponibile;
- Probabilitatea că  $d_j$  este diagnosticul real pentru  $o$ .

Gradul de apartenență al lui  $o$  la diagnosticul  $d_j$  calculat pe baza a  $R$  reguli de tipul (5.3) se calculează cu formula:

$$v_j = \frac{\sum_{r=1}^R G_r(o) v_{rj}}{\sum_{r=1}^R G_r(o)} \quad (5.5)$$

(unde  $G_r(o)$  este gradul de apartenență al vectorului  $o$  la relația fuzzy  $G_r$ )

Decizia finală poate alege clasa cu grad maxim de realizare drept diagnostic, sau poate păstra în lista ipotezelor posibile toate diagnosticile al căror grad depășește un prag dat.

### 5.3. Decizie fuzzy în diagnoza medicală

Fie  $\Delta = \{d_1, \dots, d_N\}$  un context restrâns de boli (clase/ipoteze de diagnostic) luate în considerare, și  $M = \{m_1, \dots, m_K\}$  un set complet de manifestări ce le caracterizează. Considerăm deasemenea că  $\Delta$  este o mulțime completă de cauze pentru  $M$ . Matricea

$WEIGHTS = (w_{ij})_{j=1..K}^{i=1..N}$  conține indicii de relevanță ai simptomelor în cadrul definițiilor claselor, calculați statistic sau furnizați de un expert.

Originalitatea abordării prezente constă în definirea claselor (bolilor) prin transformarea unui model de decizie fuzzy, după cum urmează:

- Fiecare simptom  $m_j$  este definit de o funcție fuzzy  $M_j : dom_j \rightarrow [0,1]$ , ( $dom_j$  reprezintă domeniul funcției  $M_j$ , și poate fi discret sau continuu, -dependent de simptom), și  $A = \prod_{j=1}^K dom_j$  este mulțimea tuturor observațiilor posibile ( $\Pi$  este produsul cartezian; observațiile sunt luate în considerare pe domeniul tuturor simptomelor posibile, deși doar o mică parte sunt folosite efectiv în practică, întrucât restul sunt 0- nu au fost observate încă sau nu sunt prezente la sistemul sub observație);
- Observațiile sunt reprezentate de câte un punct K-dimensional  $o = (M_1(o), \dots, M_K(o))$ ; -acest vector se poate modifica pe parcurs, pe măsură ce noi informații sunt obținute prin testare;
- Diagnosticile se definesc prin intermediul funcțiilor de decizie fuzzy:  $D_1^{w_1}, \dots, D_N^{w_N}$ , după cum urmează:

$$D_i^{w_i} = h_i(M_{i_1}(o), \dots, M_{i_{n_i}}(o)) \quad (5.6), \text{ unde:}$$

- $Simptome(d_i) = \{m_{i_1}, \dots, m_{i_{n_i}}\}$ , și  $i_1, \dots, i_{n_i} \in \{1, \dots, K\}$  reprezintă indicii simptomelor relevante pentru clasa de diagnostic  $d_i$ ;
- $w_i$  este vectorul ponderilor simptomelor în cadrul definiției clasei  $d_i$ ;
- $h_i$  este o funcție de agregare definită cu ajutorul unor operatori fuzzy ce modelează modul de raționare al unui expert uman.

Detaliem în continuare modul de calcul.

Fie “ $\wedge$ ” , “ $\vee$ ” o T-normă și, respectiv, o S-normă[SouKay02]. Studiile desfășurate în cadrul logicii fuzzy și teoriei deciziei au demonstrat că agregarea conjunctivă și disjunctivă sunt insuficiente pentru a modela corect comportamentul avut de experții umani în luarea unei decizii. Multe situații practice sugerează mai degrabă un mod de gândire compensator: proprietățile bune ale unor criterii compensează pentru proprietățile nesatisfăcătoare ale altora (diagnoza medicală este un exemplu foarte potrivit, întrucât observarea câtorva simptome dintr-o mare diversitate este suficientă pentru a diagnostica o anumită boală). Definim mai jos tehnicile specifice de agregare compensatorie pe care le vom folosi.

**Definiție 5.1** [SouKay02]. Un operator ordonat ponderat de medie (*ordered weighted averaging (OWA)*) a  $m$  variabile este o funcție  $W : \mathfrak{X}^m \rightarrow \mathfrak{X}$  cu un vector asociat  $w^T = (w_1, \dots, w_m)$ , unde ponderile  $w_i$  satisfac:

$$\sum_{i=1}^m w_i = 1, \quad w_i \in [0,1], i = \{1, \dots, m\} \quad (5.7)$$

astfel încât:

$$W_w(b_1, \dots, b_m) = \sum_{i=1}^m w_i b_i, \quad (5.8)$$

folosind convenția  $b_1 \leq \dots \leq b_m$ . (Re-ordonarea este o proprietate fundamentală.) ■

Să presupunem că avem nevoie să exprimăm faptul că  $x$  criterii de diagnostic dintr-un număr dat trebuie îndeplinite, unde  $x$  poate fi o valoare crisp sau un criteriu vag de tipul “majoritatea”, “câteva” etc. Aceasta se poate obține prin alegerea unui vector de ponderi cu toate pozițiile nule, în afara a exact  $x$  poziții. Dacă, spre exemplu,  $w^T = (0 \ 0 \ 0 \ 0.25 \ 0.25)$ ,  $W_w$  calculat cu Ecuația 5.8 va depăși pragul de 0.5 doar dacă cel puțin 2 din cele 5 criterii (modelate, după cum am precizat, de funcțiile fuzzy  $M_j$ ), sunt îndeplinite în grad maxim (=1). Pentru a simplifica expunerea, vom considera de acum înainte simptomele prezente sau absente (adică,  $\text{dom}_j = \{0,1\}$ )- studiul poate fi cu ușurință extins la cazul general).

**Observație.** Condiția (5.7) din Definiția 5.1 nu este esențială și o putem abandona dacă dorim mai multă putere discriminatorie: dacă sunt îndeplinite 3 din 5 criterii, algoritmul trebuie să aibă sensibilitatea necesară să considere această situație mai avantajoasă decât dacă sunt îndeplinite doar 2 din 5, în loc să asigneze valoarea 1 în ambele cazuri.

Operatorii OWA sunt cazuri speciale de integrale fuzzy, acestea din urmă fiind mai potrivite pentru calcularea scorului claselor în situațiile în care “mai multe” nu este specificat exact, și unde criteriile de diagnostic nu sunt precis definite (în diagnoza medicală ne vom referi la aceste boli drept boli de “tip B”, spre deosebire de bolile de “tip A” ce dispun de criterii ca cel din paragraful precedent).

**Definiție 5.2**[SouKay02] Fie  $C = \{c_1, \dots, c_m\}$  mulțimea criteriilor de decizie. Fie  $P(C)$  mulțimea părților lui  $C$ . O măsură fuzzy pe  $C$  este o funcție  $g: P(C) \rightarrow [0,1]$  care satisface:

1.  $g(\emptyset) = 0, g(C) = 1$ ;
2.  $A \subset B \subset C \Rightarrow g(A) \leq g(B)$ . (5.9) ■

**Definiție 5.3.**[ SouKay02] Fiind dată o măsură fuzzy  $g$  pe  $C$ , *integrala fuzzy Sugeno* a funcției  $p: C \rightarrow [0,1]$  în raport cu  $g$  este definită de:

$$S_g(p(c_1), \dots, p(c_m)) = \bigvee_{i=1}^m (p(c_{(i)}) \wedge g(A_{(i)})). \quad (5.10)$$

În ecuația (5.10) indexul inferior “.<sub>(i)</sub>” indică faptul că indicii au fost permutați astfel încât  $0 \leq p(c_{(1)}) \leq \dots \leq p(c_{(m)}) \leq 1$ , și  $A_{(i)} = \{c_{(i)}, \dots, c_{(m)}\}$ . ■

Pentru bolile de tip B, fie  $C_B$  mulțimea simptomelor relevante,  $A \subseteq C_B$  și  $g(A)$  ponderea normalizată a submulțimii  $A$  (i.e. suma ponderilor simptomelor din  $A$  împărțită la suma tuturor ponderilor simptomelor din  $C_B$ ). Considerăm  $p(m_j)$  valoarea criteriului (simptomului)  $m_j$  la un anumit pacient (sistem)  $p$ . Această interpretare ne permite să dăm următoarea definiție.

**Definiție 5.4.** Fie  $d_i \in \mathcal{A}$ ,  $p$  un pacient sub observație. Scorul bolii  $d_i$  de tip  $B$  la pacientul dat  $p$ , asociat vectorului de observații  $o$  este definit ca:

$$Scor(p, d_i) = S_g(M_{i_1}(o), \dots, M_{i_{n_i}}(o)) \quad (5.11)$$

(unde  $g$  este definit folosind  $w_i$ , iar măsura fuzzy a unei mulțimi de simptome este suma normalizată a ponderilor lor, și  $S_g$  este integrala Sugeno definită mai sus). ■

Pentru bolile de tip A, trebuie să folosim o abordare ușor diferită pentru a include ponderile în model. Funcția de decizie are aici o nouă formă (vezi Ecuația 4.16), și trebuie ca sensibilitatea ei față de criterii să fie în concordanță cu ponderea fiecărui criteriu. Aceasta se poate obține prin cerința ca funcția de decizie să satisfacă proprietăți suplimentare.

**Definiție 5.5**[SouKay02] O funcție generator a unui operator de agregare a mulțimilor fuzzy este o funcție  $f: [0,1] \rightarrow \mathfrak{R} \subseteq [-\infty, \infty]$  continuă și strict monotonă. Funcția generator se spune că este un generator crescător (generator descrescător) dacă este monoton crescătoare (descrescătoare) în intervalul  $[0,1]$ . ■

**Definiție 5.6**[SouKay02] Pseudo-inversa unui generator  $f$  este funcția:

$$f^{(-1)}: [-\infty, \infty] \rightarrow [0,1],$$

care satisface:

$$f^{(-1)}(x) = \begin{cases} 1, & x \in [-\infty, f(1)) \\ f^{-1}(x), & x \in [f(1), f(0)], \text{ pentru un generator descrescător, și} \\ 0, & x \in (f(0), \infty] \end{cases}$$

$$f^{(-1)}(x) = \begin{cases} 0, & x \in [-\infty, f(0)) \\ f^{-1}(x), & x \in [f(0), f(1)] \\ 1, & x \in (f(1), \infty] \end{cases} \text{ pentru un generator crescător } (f^I \text{ este inversa obișnuită}).$$

(5.12)

■

**Definiție 5.7**[SouKay02] O t-normă T este *archimedeană* dacă satisface  $T(a,a) < a$ . Similar, o t-conormă S este archimedeană dacă satisface  $S(a,a) > a$ . ■

**Propoziție.** [SouKay02] Un operator de agregare continuu  $v(a,b)$  pentru  $a,b \in [0,1]$  poate fi reprezentat prin intermediul funcției sale generator  $f$  ca:

$$v(a,b) = f^{-1}(k(f(a)+f(b))), \text{ cu } k > 0,$$

dacă operatorul respectiv este o t-normă archimedeană, o t-conormă archimedeană, un operator de medie generalizat (și câteva altele). ■

Deci reprezentarea pe bază de funcție generator a unei funcții de decizie D pe bază de t-norme/ t-conorme archimedee este:

$$D(a,b) = f^{-1}(f(a) + f(b)), \text{ (} f \text{ este funcția generator),}$$

și se poate extinde într-o funcție de decizie ponderată prin transformarea spațiului de decizie astfel:

$$D^w(a,b) = f^{-1}(w_a f(a) + w_b f(b)), w = (w_a, w_b); \text{ (5.13) unde } w \text{ este vectorul de ponderi.}$$

Spre exemplu, dacă alegem T-norma  $T(a,b) = ab$  pentru a exprima operația de conjuncție, funcția generator a acestei t-norme este  $f(x) = -\ln(x)$ , și  $f^{-1}(x) = e^{-x}$ , astfel încât:

$$D^w(a,b) = e^{-(w_a \cdot (-\ln a) + w_b \cdot (-\ln b))} = a^{w_a} b^{w_b} \text{ (5.14)}$$

În plus, dacă  $D^w$  este funcția de decizie ponderată bazată pe o T-normă, funcția de decizie ponderată pe bază de co-norma duală are expresia:

$$D^{w'}(a,b) \stackrel{def}{=} 1 - D^w(1-a, 1-b) = 1 - f^{-1}(w_a f(1-a) + w_b f(1-b)) = 1 - e^{w_a \cdot \ln(1-a) + w_b \cdot \ln(1-b)} = 1 - (1-a)^{w_a} (1-b)^{w_b} \text{ (5.15).}$$

Așadar, dacă  $d_i \in \Delta$  este o boală de tip A și simptomele lui  $d_i$  sunt împărțite în  $n_{d_i}$  clase  $C_1, \dots, C_{n_{d_i}}$ , criteriul de diagnostic este definit de:  $d_i \equiv h_i(W_1 C_1, \dots, W_{n_{d_i}} C_{n_{d_i}})$ , unde  $W_i$  este

un operator OWA pentru "cel puțin  $x$  din  $|C_k|$ " definit ca mai sus, și  $h_i$  este funcția de agregare construită pe baza unei ierarhii de  $t$ -norme și  $t$ -conorme.

**Exemplu 5.1.** Reumatismul Articular Acut (RAA) este o boală de tip A. Tabloul clinic, ponderile simptomelor (definite de un expert,  $\in [0,1]$ ) și criteriile de diagnostic sunt prezentate mai jos.

#### Criteriile Jones pentru diagnoza RAA [PopIon99]

1. Manifestări majore ( $C_1$ )
  - Cardită 0.7
  - Poliartrită 0.9
  - Coree 0.7
  - Eritem marginal 0.6
  - Noduli subcutanați 0.6
2. Manifestări minore ( $C_2$ )
  - Febră 0.4
  - Artralgie 0.6
  - Factor reumatoid seric anormal 0.8
  - Proteina C reactivă crescută 0.8
3. Infecție streptococică ( $C_3$ )
  - Titru crescut de ASLO 0.7
  - Streptococ din grupa A în faringe 0.6
  - Scarlatină 0.5

Criteriu de diagnostic: prezența a 2 criterii majore, sau a unui criteriu major și 2 minore sugerează o mare probabilitate pentru RAA, dacă a fost demonstrată infecția streptococică.

Criteriul general de diagnostic se traduce ca:

$$D_{AAR} = (W^{11} C_1 \wedge W^3 C_3) \vee (W^{12} C_1 \wedge W^2 C_2 \wedge W^3 C_3) \quad (5.16),$$

unde  $W^k$  sunt operatori OWA folosiți în definirea criteriului de diagnostic și bazați pe următoarele ponderi, respectiv:

$$w^{11} = (0 \ 0 \ 0 \ 0.25 \ 0.25), \text{ (cel puțin 2 din 5)}$$

$$w^{12}=(0\ 0\ 0\ 0\ 0.5), \text{ (cel puțin 1 din 5)}$$

$$w^2=(0\ 0\ 0.25\ 0.25), \text{ (cel puțin 2 din 4)}$$

$$w^3=(0\ 0\ 0.5) \text{ (cel puțin 1 din 3),}$$

astfel încât, dacă  $C_k = \{m_1^k, \dots, m_{n_k}^k\}$  este mulțimea manifestărilor din clasa  $C_k$ , putem scrie:

$$W^k C_k(o) = W^k (M_1^k(o), \dots, M_{n_k}^k(o)) = \sum_{j=1}^{n_k} w_j^k M_j^k(o) \quad (5.17),$$

$M_j^k(o)$  fiind valoarea observată a simptomului  $m_j^k$  (0 sau 1, după cum am convenit) la pacientul dat  $p$ ,  $o$  fiind vectorul de observații.

Ponderile de mai sus nu trebuie confundate cu ponderile simptomelor **observate**:

$$W_{AAR} = (W_{AAR}^1, W_{AAR}^2, W_{AAR}^3) \quad (5.18),$$

partiționate după cele 3 clase de simptome ( $w_{AAR}^k$  este vectorul de ponderi pentru simptomele observate ce aparțin clasei  $k$ ).

Am ales să lucrăm cu perechea de norme duale  $T(a,b)=ab$  și  $S(a,b)=a+b-ab$ , astfel încât prin înlocuirea operatorului “ $\vee$ ” în 5.16, putem scrie:

$$D_{AAR}=1-[1-(W^{11} C_1 \wedge W^3 C_3)]^{w^{13}} * [1-(W^{12} C_1 \wedge W^2 C_2 \wedge W^3 C_3)]^{w^{123}} \quad (5.19),$$

unde  $w^{13}=w(C_1) + w(C_3)$ ;  $w^{123}=w(C_1) + w(C_2) + w(C_3)$ , și  $w(C_i) = w_i$  este suma ponderilor simptomelor observate din clasa  $C_i$ , normalizată cu suma ponderilor tuturor simptomelor observate (am omis  $o$  din  $W^k C_k(o)$  pentru a simplifica notația).

Să presupunem că avem, într-o notație simplificată,  $o=\{\text{coree, artralgie, factor reumatoid seric anormal, streptococ din grupa A în faringe}\}$ - datele unui pacient suspect de RAA.

$$\text{Atunci } D_{AAR}=1-[1-((W^{11} C_1)^{w_1} * (W^3 C_3)^{w_3})]^{w^{13}} * [1-((W^{12} C_1)^{w_1} * (W^2 C_2)^{w_2} * (W^3 C_3)^{w_3})]^{w^{123}}; \quad (5.20)$$

$$w_1=0.26, \quad w_2=0.5, \quad w_3=0.22;$$

$$W^{11} C_1=0.25, \quad W^{12} C_1=0.5, \quad W^2 C_2=0.5, \quad W^3 C_3=0.5.$$

Rezultatul final este  $D_{AAR}(o)=0.62$ , ceea ce înseamnă că RAA va fi într-adevăr selectată ca ipoteză de diagnostic și trecută printr-un proces de discriminare.

## 5.4. Evaluarea capacității de discriminare a unui test de diagnoză

În evaluarea pasului de selecție al sistemului de asistare a deciziilor medicale DiaMed, utilizăm indexul C (echivalentul ariei de sub curba ROC-Receiver Operator Characteristic). Acesta măsoară capacitatea de discriminare a sistemului, adică de a distinge între cazuri ce fac parte din clase diferite.

Presupunem că avem acces la rezultatul real al clasificării (“gold standard”) – ce poate fi 0 (pacientul este sănătos) sau 1 (pacientul suferă de boala D). Ieșirea sistemului este un număr real între 0 și 1. Practic, se alege un prag, (de exemplu 0.5) și clasificarea propriuzisă se face prin compararea cu acest prag (dacă scorul obținut este  $> 0.5$ , se consideră că este bolnav).

**Definiții preliminare.** În populația utilizată pentru evaluarea testului, notăm cu:

1. RP= numărul de real pozitivi (cei pe care testul i-a găsit bolnavi de boala D, și ei sunt într-adevăr bolnavi);
  2. FN= numărul de fals negativi (cei care au boala dar testul i-a inclus la sănătoși);
  3. FP= numărul de fals pozitivi (sunt în realitate sănătoși dar testul i-a găsit bolnavi);
  4. RN= numărul de real negativi (cei care sunt sănătoși și au fost clasificați drept sănătoși și de către testul pe care dorim să-l evaluăm)
- Senzitivitatea:  $SN = RP/(RP+FN)$  (capacitatea de a detecta pe cei bolnavi)
  - Specificitatea:  $SP = RN/(RN+FP)$  (capacitatea de a respinge pe cei sănătoși)
  - Valoarea predictivă pozitivă:  $VPP = RP/(RP+FP)$  (probabilitatea ca boala să fie prezentă real, dacă a fost depistată de test)
  - Valoarea predictivă negativă:  $VPN = RN/(RN+FN)$  (probabilitatea ca boala să fie absentă, dacă n-a fost depistată de test)
  - Acuratețea testului= $RN + RP$

În Figura 5.1. am reprezentat pe orizontală valoarea pragului, iar pe verticală este distribuția numărului de cazuri de pacienți ale căror date au dat la testare valoarea de pe orizontală.

Se observă că specificitatea va crește dacă pragul scade, iar senzitivitatea va crește dacă pragul crește. Există așadar un compromis între acești doi parametri. Dacă variem valoarea pragului vom obține perechi diferite de valori, ce se reprezintă ca în Figura 5.2. Dacă luăm în considerare toate valorile posibile pentru prag (între 0 și 1), obținem curba ROC (Figura 5.3).



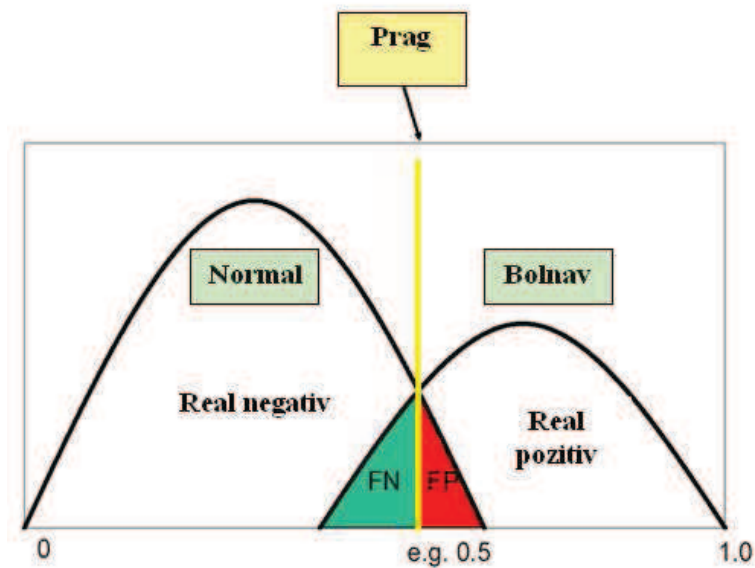


Figura 5.1.Exemplu de repartizare a celor patru clase de cazuri

Aria de sub această curbă este o estimare a puterii de discriminare a testului (este media sensibilității asupra tuturor specificităților). Dacă valoarea ariei este aproape de 0.5, testul este inutil, calitatea sa fiind cu atât mai bună cu cât aria se apropie de 1 (pentru 1 suntem în situația unei discriminări perfecte).

Prezentăm interpretarea ariei prin intermediul unui exemplu simplu.

|                             | Sănătoși (rezultatul real este 0) | Bolnavi (rezultatul real este 1) |
|-----------------------------|-----------------------------------|----------------------------------|
| <b>Rezultatele testului</b> | 0.3                               | 0.8                              |
|                             | 0.2                               | 0.2                              |
|                             | 0.5                               | 0.5                              |
|                             | 0.1                               | 0.7                              |
|                             | 0.7                               | 0.9                              |

Se formează apoi toate perechile posibile 0-1, comparându-se estimările sistemului pentru fiecare pereche:

| Sănătoși | Bolnavi |            |
|----------|---------|------------|
| 0.3      | 0.8     | concordant |
| 0.2      | 0.2     | discordant |
| 0.5      | 0.5     | concordant |
| 0.1      | 0.7     | concordant |
| 0.7      | 0.9     | concordant |

Perechea (0.3, 0.8) este concordantă întrucât unui caz real bolnav i-a fost asociat de către test un scor mai mare decât unui caz real sănătos. Se obțin în final 18 perechi concordante, 4 discordante și 3 egalități. Avem:

$$Index\_C = \frac{Concordante + \frac{1}{2}Egalitati}{Total\_perechi} = 0.78 \quad (5.20)$$

adică s-a folosit un test destul de bun.

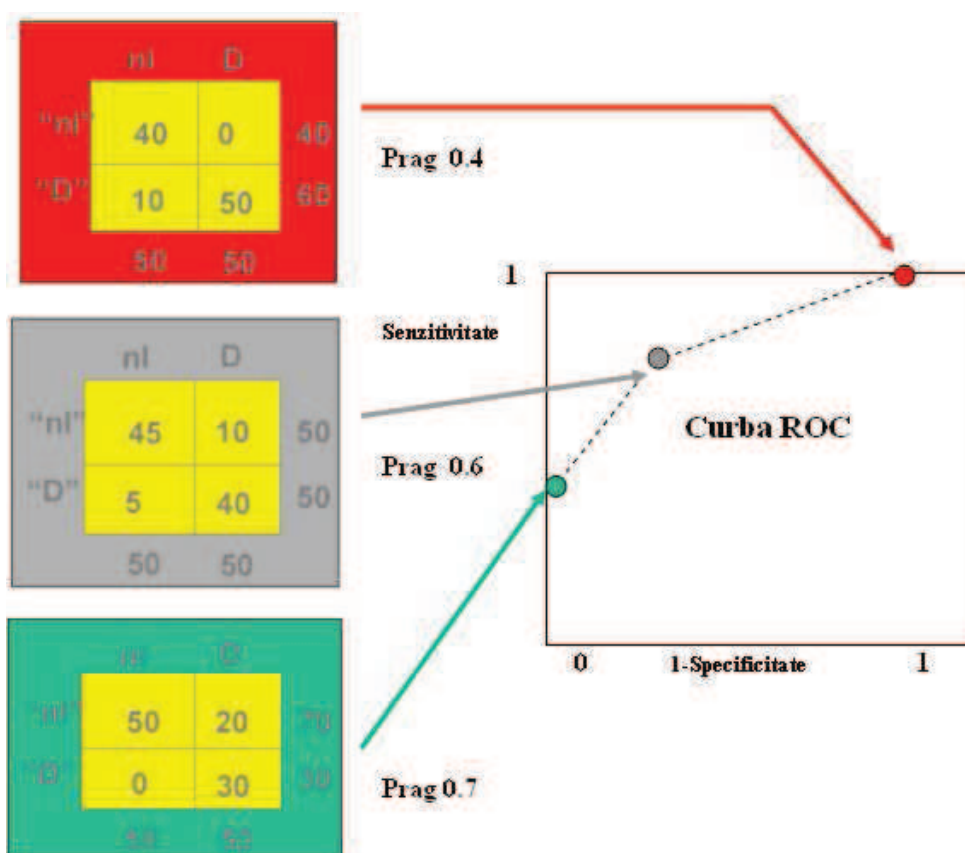


Figura 5.2. Calculul valorilor pentru curba ROC, pentru valori diferite ale pragului

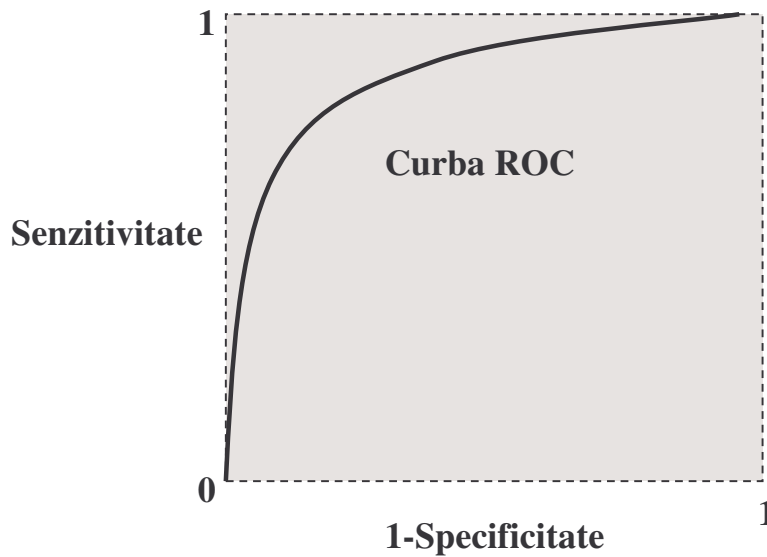


Figura 5.3. Curba ROC

### 5.5. Clasificare prin decizie fuzzy

Am ales pentru exemplificare o pereche de boli care pune de obicei proleme de recunoaștere (*ciroza* și *insuficiența cardiacă*) întrucât există situații când insuficiența cardiacă se manifestă prin simptome asemănătoare cirozei și este prin urmare confundată cu aceasta. Am comparat indexul C obținut prin clasificarea cu o funcție de decizie fuzzy construită după modelul descris în [Mun05], pentru perechi diferite de norme duale (utilizate în calculul integralei fuzzy). Indicele de calibrare din ultima coloană măsoară sensibilitatea calculului (este o măsură simplă de genul sumă de diferențe, care stă la baza majorității metodelor de calibrare- i.e. aducere a scorului bolii cât mai aproape de probabilitatea reală).

| S-NORMA        | T-NORMA          | INDEX C | INDICE DE CALIBRARE |
|----------------|------------------|---------|---------------------|
| max            | min              | 0.9856  | 546.6659            |
| $a+b-ab$       | $ab$             | 0.9856  | 1186.5055           |
| $\min(a+b, 1)$ | $\max(a+b-1, 0)$ | 0.9856  | 1632.4998           |

Tabel 5.1. Indexul C și calibrarea pentru testul “ciroză”

În urma acestui gen de experimente ne-am oprit asupra perechii (max, min) pentru sistemul final. Presupunem că superioritatea acestei perechi de norme a provenit din faptul că sunt mai puțin sensibile la ponderile simptomelor, care, probabil, nu au fost setate foarte corect. Au fost evidente avantajele abordării fuzzy: integrarea naturală a cunoștințelor expert în model, modelarea facilă a incertitudinii.

| S-NORMA     | T-NORMA       | INDEX C | INDICE DE CALIBRARE |
|-------------|---------------|---------|---------------------|
| max         | min           | 0.956   | 392.1201            |
| a+b-ab      | ab            | 0.9088  | 908.2604            |
| min(a+b, 1) | max(a+b-1, 0) | 0.9064  | 1243.3226           |

Tabel 5.2. Indexul C și calibrarea pentru testul “insuficiență cardiacă congestivă”

Principalul dezavantaj pe care l-am întâlnit aici reprezintă o problemă încă deschisă în comunitatea științifică: lipsa unui indice riguros fundamentat științific de evaluare a puterii de discriminare în diagnosticul cu răspuns (posibil) multiplu. Dacă ar fi să abordăm problema în totalitate, nu doar pentru o anumită boală, cum ar trebui modificat/adaptat indexul C? Cum s-ar redefini însăși noțiunea de discriminare în noul context? La aceste întrebări deocamdată nu există un răspuns clar.

## 5.6. Concluzii și contribuții

Cheia reprezentării folosite mai sus este să privim simptomele drept criterii fuzzy ce definesc un diagnostic, în măsura în care sunt îndeplinite. Gradele de potrivire  $D_i^{w_i}(o)$  între vectorul de observații și criteriul complex ce definește diagnosticul  $d_i$ , conduc la o ierarhizare a ipotezelor de diagnostic, pe baza evidențelor particulare ale unui caz dat. Mulțimea finală a diagnosticelor se determină prin aplicarea unui prag de semnificație, care ar trebui să fie altul pentru fiecare boală în parte (pentru a evita dezavantajele variabilității sumei totale de ponderi de la o boală la alta).

Considerăm că modelul de decizie fuzzy folosit de noi în DiaMed pentru selecția ipotezelor de diagnostic constituie o alternativă viabilă și mai eficientă a abordării fuzzy prezentate în secțiunea anterioară. Cu ajutorul său, fiecare bază de reguli fuzzy corespunzătoare unei anumite variabile de ieșire  $y$  se poate rescrie ca o funcție de decizie fuzzy după modelul descris. Comparând cu abordarea din Secțiunea 5.2, în loc să agregăm scorul  $v_j$  al unei boli din  $R$  reguli, îl putem calcula direct pe baza funcției de decizie asociată bolii respective.

Astfel, dacă avem mai multe variabile de ieșire- ( $m$  ieșiri), selectarea ipotezelor de defect va avea nevoie doar de  $m$  funcții de decizie fuzzy. În plus, aceste funcții sunt formate cu operatori de agregare fuzzy mai complecși, mai naturali, mai nuanțați și mai ușor de interpretat și citit (folosind, spre exemplu, operatorii compensatori, integralele fuzzy etc.), decât o bază formată în exclusivitate cu operatorul AND.

Un mare avantaj al funcțiilor de decizie fuzzy descrise mai sus este dat și de faptul că sunt mai ușor de construit decât bazele de inferență fuzzy, în condițiile în care există cunoștințe expert suficient de clare și de precise. Pentru aceasta însă este necesar să avem un model corespunzător adaptat: nu vom mai considera valoarea “mică” sau “mare” a

unui anumit element drept un defect în sine, ci este necesar să reprezentăm valoarea elementului ca o funcție de alte elemente din sistem, de care depinde direct sau indirect (vezi Figura 8.1).

În final, în abordarea noastră, în loc să agregăm grade de realizare diferite ale valorilor fuzzy (mare, mic etc) pentru o singură variabilă de ieșire, obținem direct un număr pe care îl considerăm mare sau mic nu atât raportat la o scară absolută, cât mai mult raportat la un anumit context (în relație cu valorile obținute de celelate variabile de ieșire)

În plus, avantajul major al funcțiilor de decizie definite mai sus față de legea combinării evidențelor din CHECK, stă în faptul că pot exprima cu acuratețe criterii vagi de mare diversitate (de exemplu, *majoritatea, cel puțin  $x$  din  $n$ , un număr semnificativ din etc.*)

Așadar, principalele avantaje ale abordării constau în simplitatea și eficiența modului de calcul (ce ia în considerare și specificitatea fiecărui simptom în definițiile bolilor), și în focalizarea rapidă a căutării spre direcții relevante. Dezavantajele ce rezultă din lipsa facilităților explicative și din ignorarea deliberată a interacțiunilor posibile între ipoteze vor fi înlăturate de metodele prezentate în Capitolele VI, VIII.

## VI. Sisteme de argumentare directă și algoritmi de satisfacere a constrângerilor în modelarea raționamentului nemonoton

### 6.1. Introducere

În secțiunea prezentă, aprofundăm tehnicile de raționament nemonoton ce vor constitui suportul teoretic pentru modelarea nivelului de discriminare al sistemului hibrid DiaMed. Sunt introduse sistemele de argumentare directă, cu definirea unor noțiuni elementare, și cu sublinierea avantajelor și motivațiilor care au susținut dezvoltarea acestor sisteme (ce aparțin logicii informale). Este prezentată semantica argumentativă a admisibilității, pe care o folosim în DiaMed cu rolul unui mecanism de menținere a consistenței (aceasta din urmă constituind una din noțiunile necesare în definirea abducției). Pentru calculul efectiv al acestei semantici am optat pentru algoritmi specifici problemelor de satisfacere a constrângerilor (CSP), plecând de la faptul că admisibilitatea se poate rescrie în termenii verificării satisfiabilității unei formule logice, pentru care este natural să folosim algoritmi menționați.

Secțiunea discută, deasemenea, versiunea dinamică a problemelor CSP (DCSP), mai potrivită unei probleme al cărei context se modifică dependent de teste, cum este diagnoza medicală. Ca implementare efectivă pentru o problemă de tip DCSP, am ales algoritmul backtracking dinamic al lui Ginsberg, întrucât este una din alternativele cele mai eficiente și mai adecvate. Secțiunea prezintă și o versiune de adaptare efectivă a backtracking-ului dinamic pentru DCSP [VerSchi], adaptare pe care o vom modifica la rândul nostru în cadrul nivelului de discriminare între diagnostice din DiaMed.

### 6.2. Sisteme de argumentare directă

#### 6.2.1. Introducere

Logica de ordinul întâi, deși reprezintă un formalism puternic de reprezentare, și-a demonstrat limitările în privința multor probleme de Inteligență Artificială. Aceste limitări își au originea în două cauze principale: monotonicitatea și capacitatea redusă de a reprezenta incertitudinea, de care este legat și inconvenientul semidecidabilității.

**Definiție.** Un mecanism de inferență este *monoton*, dacă pentru o teorie dată  $\Delta$  avem:

$$T(\Delta \cup S) \supseteq T(\Delta), \quad (6.1)$$

oricare ar fi setul de propoziții  $S$  ( $T(\Delta)$  este mulțimea de propoziții derivabile din  $\Delta$ ).

(O propoziție adevărată într-o teorie rămâne adevărată după adăugarea de noi propoziții la teoria respectivă).

Inferența nemonotonă este opusul celei monotone (întrucât cunoștințe noi pot contrazice ipoteze vechi), și este mijlocul de modelare a incertitudinii cu mijloace ale logicii (formale sau informale) [Cla90]. Conceptul a devenit necesar în momentul în care s-a înțeles că incertitudinea probabilistă nu este suficientă pentru reprezentarea problemelor lumii reale. Spre exemplu:

*“Cele mai multe păsări zboară.”*

este o propoziție probabilistă, bazată pe statistici calculate asupra unor populații de păsări. Se poate ca un sistem probabilist incert să rămână monoton, după modelul rețelilor bayesiene. Dacă însă vom dori să considerăm exemplul:

*“Păsările zboară, dacă nu se poate demonstra contrariul.”,*

avem deja o afirmație pur logică, ce necesită o reprezentare distinctă a incertitudinii pe care o reprezintă.

Non-monotonicitatea poate avea expresii diferite în cadrul diverselor formalizări (unele dintre ele mai expresive, altele -mai eficiente), și a fost abordată în programarea logică (de exemplu, completarea predicatelor, programarea logică generală, programarea logică disjunctivă, semanticile stabilă și admisibilă -[BarGel94], [Dix55], [PerApAI93]), sau în circumscripția lui McCarthy [Cart80] (o formă mai generală de completare). Exemplele enumerate fac parte din “sistemele de argumentare indirectă” [Kon88]. Noțiunea de **argument** apare în cadrul lor implicit, în sensul general de “demonstrație –formală sau informală- a adevărului unei formule pe baza adevărului premizelor”. Există însă sisteme în care argumentele sunt obiecte explicite ale formalismului – așa numitele “sisteme de argumentare directă” [Kon88]. În cazul din urmă, non-monotonicitatea se reduce la o relație de atac între structuri monotone- argumentele ([BDKT97], [Pol02], [Vre92]). Vom justifica în continuare preferința noastră pentru acestea.

Tehnicile de completare a teoriei permit deducerea de ipoteze globale pornind de la ceea ce nu a putut fi dedus în cadrul teoriei. Pentru a reprezenta ipotezele implicite (o propoziție este implicit validă dacă nu există evidențe împotriva ei), se folosesc reprezentări mai complexe, -cum ar fi logica nemonotonă a lui McDermott și Doyle ([DerDoy80][Der82]), sau logica implicită a lui Reiter [Rei80]. În conformitate cu aceste formalisme, o concluzie este acceptată dacă nu introduce inconsistențe la nivelul global al teoriei. În afara faptului că testarea consistenței este doar semi-decidabilă și foarte costisitoare computațional, abordările enumerate suferă de lipsa unui mecanism determinist de selectare a unei extensii particulare (=o mulțime consistentă de concluzii), atunci când se generează mai multe. Rezolvarea unui conflict (atunci când există argumente pro și contra pentru aceeași concluzie) este, așadar, o sarcină dificilă pentru "sistemele de argumentare indirectă" [Kon88]. Sistemele de argumentare directă, în schimb, dispun de o reprezentare explicită a argumentelor, care reduce rezolvarea conflictelor la o relație de înfrângere între aceste structuri.

Semantica sistemelor de argumentare directă înlocuiește teoria modelelor a lui Tarski (semantica teoretică pe bază de model) substituind “adevărat” cu “justificat”: o concluzie este justificată dacă există un argument neînfrânt ce o susține în contextul evidențelor actuale. Această înlocuire a teoriei modelelor se bazează pe concluziile mai multor cercetători (Pollock, Loui, Vreeswijk), că raționamentul nemonoton are nevoie de o semantică diferită. După cum observau autorii în [PraVre], teoria modelelor a fost folosită în mod tradițional pentru a defini înțelesul limbajelor logice pornind de la *realitate*: înțelesul unor simboluri logice se definește plecând de la cum arată lumea, dacă o expresie cu aceste simboluri este adevărată, și definește consecința logică cercetând ce altceva este adevărat, pornind de la premisele date. Prin contrast, atunci când discutăm despre “adevărat în general, dacă nu sunt îndeplinite anumite excepții”, această clasificare normal/exceptional cuprinde deja condensată în ea, implicit, o parte de demonstrație (de raționament). Noțiunile de atac și înfrângere, centrale în raționamentul invalidabil, nu sunt ‘propoziționale’ întrucât înțelesul lor nu este dat de corespondența unei propoziții cu lumea [PraVre], ci de relațiile între propoziții, stabilite dependent de un context dinamic de evidențe. S-a ajuns astfel la semantica argumentativă amintită.

Un avantaj în plus din punctul de vedere al lucrării de față stă în faptul că genul de raționament de diagnoză de care avem nevoie presupune revizuirea iterativă a încrederilor, pentru care putem folosi natural formalismul sistemelor de argumentare directă (conceput special pentru simularea cât mai fidelă a raționamentului uman în fața unor situații complexe). Acest formalism este în plus adaptabil interactivității necesare pentru a lua în calcul testele efectuate secvențial, generarea de ipoteze alternând cu obținerea de noi informații.

**Definiție**[Vre92]. Un *sistem de argumentare abstract*  $A$  este un triplet  $(L, R, \leq)$ , unde  $L$  este un limbaj,  $R$  este o mulțime de reguli de inferență, și “ $\leq$ ” este o relație de ordine reflexivă și tranzitivă pe mulțimea argumentelor.

**Definiție**[GovMah00]. Un *argument* pentru literalul  $p$  este un arbore de demonstrare (folosind derivare monotonă) pentru  $p$ , construit pe baza regulilor de inferență din  $R$ .

Cele mai utilizate tehnici de rezolvare a conflictelor sunt: "principiul specificității" (Toulmin: “informația mai specifică suprascrie informația mai generală” [Tou58], metode dependente de domeniu, metode numerice (acestea din urmă asignează un număr –spre exemplu, tăria celei mai slabe legături- fiecărui argument [Pol02])).

**Definiție**[Vre92]. O *mulțime de bază* este o submulțime finită compatibilă a lui  $L$ .

O mulțime de bază conține “informație ireductibilă” –ea constituie punctul de plecare într-un raționament forward, și punctul final al raționamentului backward.

Partea interesantă a sistemelor directe de argumentare, din punctul de vedere al diagnozei, este faptul că abducția poate fi modelată mai eficient în cadrul lor decât într-un cadru ipotetico-deductiv. Noțiunea de explicație este înlocuită natural cu cea de argument, anularea ipotezelor cu cea de rezolvare a conflictelor între argumente, și



observațiile inițiale pot fi considerate drept o mulțime de bază. Vom utiliza în lucrarea de față un cadru abductiv bazat pe argumente atât pentru fundamentarea și discriminarea ipotezelor de diagnostic, cât și pentru menținerea coerenței concluziilor finale.

Un cadru argumentativ pentru generarea de explicații a fost deja dezvoltat sub denumirea WOZ (Wizard of Oz) [ShaMus99], plecând de la structura argumentelor propusă de Toulmin [Tou58]. Componenta de generare a explicațiilor a fost integrată într-un sistem multiagent de decizie, cu aplicații în recomandările terapeutice, rezultatul final numindu-se ATHENA DSS [Sha00] – un instrument puternic de asistare a personalului medical în deciziile sale, și singurul ce folosește această metodologie până acum, din cunoștințele noastre. Abordarea curentă duce ideea un pas mai departe: structura argumentelor a lui Toulmin nu este suficient de expresivă pentru a surprinde întreaga complexitate a raționamentului de diagnoză (spre exemplu, nu putem reprezenta excepțiile la excepții), astfel că vom propune în continuare o schemă argumentativă mai complexă. În plus, scopul principal al autorilor sistemului ATHENA DSS este implementarea bazată pe agenți, nu detaliile raționamentului nemonoton, acestea din urmă fiind tratate într-o manieră simplificată.

Ne propunem în continuare o succintă introducere a unor cadre de lucru argumentative, ale căror elemente ne-au inspirat în abordarea proprie.

## 6.2.2. Abordarea de punct fix

### Sistemul de argumentație al lui Dung

Dung a fost unul din pionierii acestui domeniu. El a propus un sistem de argumentare care abstractizează structura internă a unui argument. Majoritatea abordărilor raționamentului nemonoton din inteligența artificială și programarea logică pot fi privite drept cazuri particulare ale acestui sistem. Cadrul său conține o noțiune primitivă de argument și o relație binară de înfrângere:

#### Definiție. [Dun95]

1. Un *cadru de argumentare* AF (“Argumentation Framework”) este o pereche

$$AF = \langle AR, atacuri \rangle, \quad (6.2)$$

unde AR este o mulțime de argumente, și *atacuri* este o relație binară pe AR:  $atacuri \subseteq AR \times AR$ ;

2. Un AF este *finit* dacă fiecare argument din AR este înfrânt de către cel mult un număr finit de argumente;
3. O mulțime S de argumente este *fără conflicte* dacă nu există argumentele A, B în S astfel încât A atacă B.

Noțiunea de *acceptabilitate* este centrală în argumentare, întrucât definește de fapt relația argumentării cu raționamentul nemonoton. Nu există deocamdată o metodă de calcul universală a acestei noțiuni.

**Definiție([Dun95]).** Un argument  $A$  este *acceptabil* relativ la o mulțime  $S$  de argumente ddacă orice argument care înfrânge  $A$  este înfrânt de un argument din  $S$ .

**Definiție([Dun95]).** O mulțime de argumente  $S$  fără conflicte este *admisibilă* ddacă fiecare argument din  $S$  este acceptabil în raport cu  $S$ .

Semantica admisibilă (credulă) îmbunătățește mult semantica stabilă (sceptică- atacă tot ce nu conține), care nu poate surprinde înțelesul intuitiv al unor cadre de argumentare, și al cărei caracter *global* o face intratabilă în general. Prin contrast, extensii admisibile există pentru orice cadru de argumentare, indiferent de structura de atac asociată, și, în plus, admisibilitatea este mai tratabilă computațional întrucât este *locală*: se construiește mai întâi o mulțime de ipoteze care implică monoton propoziția pe care dorim să o justificăm, apoi se augmentează această mulțime cu “apărări” împotriva oricărui atac posibil. Pe baza acestor observații, propunem o definiție originală și naturală a unei mulțimi de diagnostic multiplu.

**Definiție.** Un *diagnostic multiplu* este o mulțime admisibilă de ipoteze care acoperă toate observațiile, și este minimală cu această proprietate.

Vom folosi această definiție în algoritmul din Capitolul VIII.

**Exemplu.** Fie 3 argumente  $A=\{\text{leucemie}\}$ ,  $B=\{\text{nivel PT,PTT normal}\}$ ,  $C=\{\text{medicamente care afectează nivelul PT,PTT}\}$ . Relația de atac este dată de graful:  $A\leftarrow B\leftarrow C$ . Atunci  $A$  este acceptabil în raport cu  $C$ ,  $C$  fiind o apărare a lui  $A$  față de atacul  $B$ . Deci  $\{A,C\}$  este o mulțime admisibilă, și în acest caz “leucemie” este un diagnostic posibil în contextul definit de  $C$ .

**Definiție([Dun95])Semantica ground a lui Dung.** Fie  $\text{Args}$  o multime de argumente ordonate cu ajutorul unei relații binare de atac, fie  $S\subseteq\text{Args}$ . Atunci operatorul  $F$  este definit astfel:

$$F(S)=\{A\in\text{Args}\mid A\text{ este acceptabil în raport cu }S\}. \quad (6.3)$$

**Definiție([Dun95]).**Un argument este *justificat* ddacă aparține celui mai mic punct fix al operatorului  $F$ .

**Propoziție(Dun95).** Fie următoarea secvență de argumente:

- $F^0=0$ ;
- $F^{i+1}=\{A\in\text{Args}\mid A\text{ este acceptabil în raport cu }F^i\}$ .

Atunci:

1. Toate argumentele din  $\bigcup_{i=0}^{\infty} (F^i)$  sunt justificate.
2. Dacă fiecare argument este anulat de cel mult un număr finit de argumente, atunci un argument este justificat ddacă se află în  $\bigcup_{i=0}^{\infty} (F^i)$ .

### 6.2.3. Abordarea recursivă

**Definiție. Argumente defensibile și suprascrise. [PraVre]**

- Un argument este *suprascris* ddacă nu este justificat și fie se auto-anulează, fie unul dintre subargumentele sale proprii sunt anulate de un argument justificat.
- Un argument este *defensibil* ddacă nu este justificat și nu este suprascris.

**Definiție. Argumente justificate recursiv [PraVre].** Un argument  $A$  este *justificat* ddacă:

1.  $A$  nu se autoanulează;
2. toate subargumentele proprii ale lui  $A$  sunt justificate;
3. toate argumentele care anulează  $A$  se auto-anulează, sau au cel puțin un subargument propriu suprascris.

În abordarea credulă (care permite stări multiple pentru argumente), argumentele contradictorii de tărie egală vor induce două stări alternative.

**Definiție [PraVre].** O *asignare de stare* unei mulțimi  $X$  de argumente ordonate printr-o relație binară de înfrângere este asignarea fiecărui argument fie a stării "in", fie a stării "out", astfel încât să fie satisfacute condițiile:

1. Un argument este "in" dacă toate argumentele care îl anulează sunt "out";
2. Un argument este "out" dacă este anulat de un argument "in".

**Remarcă.** Atât în abordarea credulă, cât și în cea sceptică, ciclurile impare de înfrângere nu au asignare de stare.

În [BDKT97] autorii propun un cadru abstract care permite o viziune unificată a diferitelor formalisme nemonotone în general, și a sistemelor de argumentație în special.

**Definiție [BDKT97].** Se numește *sistem deductiv* perechea  $(L,R)$ , unde:

- L este un limbaj formal alcătuit dintr-o mulțime numărabilă de propoziții și
- R este o mulțime de reguli de inferență de forma  $\frac{\alpha_1, \dots, \alpha_n}{\alpha}, \alpha_1, \dots, \alpha_n \in L, n \geq 0$ .

Orice mulțime de propoziții  $T \subseteq L$  se numește o *teorie*;  $\text{Th}(T) = \{\alpha \in L \mid T \vdash \alpha\}$ .

Autorii argumentează că toate logicile nemonotone dezvoltate până în prezent pot fi de fapt privite ca metode de a extinde o teorie dată cu ipoteze, în condițiile în care nu există rațiuni care să demonstreze contrariul acestor ipoteze (noțiunea de contrarietate fiind definită diferit, de la caz la caz).

**Definiție[BDKT97].** Fiind dat un sistem deductiv  $(L, R)$ , un *cadru bazat pe ipoteze* în raport cu  $(L, R)$  este format de tuplul  $\langle T, Ab, \bar{\cdot} \rangle$ , unde:

- $T, Ab \subseteq L, Ab \neq \emptyset$ ,
- " $\bar{\cdot}$ " este o relație din  $Ab$  în  $L$  ( $\bar{\alpha}$  este contrariul lui  $\alpha$ )

( $Ab$  este mulțimea de ipoteze care poate extinde teoria  $T$ ).

**Definiție[BDKT97].** Fiind dat un cadru bazat pe ipoteze  $\langle T, Ab, \bar{\cdot} \rangle$  și  $\Delta \subseteq Ab$ ,  $\Delta$  se numește *fără conflicte* dacă pentru toți  $\alpha \in Ab, T \cup \Delta \not\vdash \alpha, \bar{\alpha}$ .

Noțiunile fundamentale (atac, apărare, tipuri de semantici) definite mai sus se rescriu în cadrul acestui formalism după cum urmează.

**Definiție[BDKT97]. Atac împotriva unei formule  $\alpha$ .** Se spune că  $\Delta$  *atacă*  $\alpha$  (este un argument împotriva lui  $\alpha$ ) dacă există o derivare monotonă a lui  $\bar{\alpha}$  din  $T \cup \Delta$ :  $T \cup \Delta \vdash \bar{\alpha}$ .

Avantajul este că folosind noțiunea de atac se pot defini semantici declarative și procedurale teoretic-argumentative pentru diferite formalisme nemonotone, asemănătoare sau chiar echivalente cu cele din programarea logică, dar într-o exprimare mai simplă, mai intuitivă, și care depășesc unele din problemele de acolo.

Noțiunea duală celei de atac este cea de *apărare* față de un atac.

**Definiție[BDKT97].** O mulțime de ipoteze  $\Delta$  *apără* o ipoteză  $\alpha$  dacă pentru orice  $\Delta'$  mulțime închisă (din punctul de vedere al operației de deducție în  $(L, R)$ ) de ipoteze, dacă  $\Delta'$  atacă  $\alpha$ ,  $\Delta$  atacă  $\Delta' - \Delta$  (Notăție :  $\text{Def}(\Delta) = \{\alpha \mid \Delta \text{ apără } \alpha\}$ .)

Un sistem de ipoteze este *plat* (flat) dacă orice subset al său este închis (o ipoteză nu e deductibilă din altele). Programele logice și teoriile implicite sunt plate.

**Semantica admisibilă (credulă)[BDKT97].** O mulțime închisă de ipoteze  $\Delta \subseteq Ab$  este *admisibilă* dacă:

- $\Delta$  nu se atacă pe sine, (i.e. nu conține conflicte) și
- pentru orice mulțime închisă de ipoteze  $\Delta' \subseteq Ab$  dacă  $\Delta'$  atacă  $\Delta$ , atunci și  $\Delta$  atacă  $\Delta'$  (se apără față de toate atacurile). ( $\Delta \subseteq Def(\Delta)$ )

Semantica admisibilă a fost introdusă de Dung pentru programarea logică și este de preferat din punctul de vedere al teoriei argumentației (semantica stabilă fiind prea restrictivă, iar cea naivă -mulțimi maximale fără conflicte- prea liberală).

**Semantica completă [BDKT97](credulă).** Un set ipoteze este *complet* când conține tot ce apără. ( $\Delta = Def(\Delta)$ )

**Semantica preferată** (credulă maximală). Un set de ipoteze se numește *preferat* dacă este maximal admisibil.

**Semantica bine fundamentată[BDKT97](sceptică, minimalistă).** Mulțimea de ipoteze bine-fundamentată a unui program logic este intersecția tuturor mulțimilor complete de ipoteze.

**Semantica stabilă (sceptică)[BDKT97].** O mulțime de ipoteze este *stabilă* dacă este închisă, fără conflicte (nu se atacă pe sine) și atacă orice ipoteză  $\alpha$  pe care nu o conține. O extensie stabilă a unui cadru bazat pe ipoteze  $E$  este dată de:  $E = \{q | P \cup \Delta_E \vdash q\}$ , unde  $\Delta_E = \{not\ p \in Ab | p \notin E\}$ .

**Teorema 1[BDKT97].**  $M$  este un model stabil al unui program logic  $P$  dacă există o extensie stabilă  $E$  a cadrului bazat pe ipoteze corespunzător astfel încât  $M = E \cap HB$  ( $HB$  este baza Herbrand a programului  $P$ : **Herbrand Base**).

Un set stabil de ipoteze este întotdeauna și preferat. Un set preferat și plat de ipoteze este complet (stabil  $\xrightarrow{flat}$  preferat  $\rightarrow$  complet).

**Teorema 2[BDKT97].** Pentru cadrele stratificate (adică plate și graful de atacuri nu conține drumuri infinite-de exemplu, cicluri) semanticile stabilă, bine-fundamentată și preferată există, coincid și sunt unice.

Autorii propun în [DKT97] și o procedură de calcul abstractă (poate fi aplicată la orice raționament de tip invalidabil ce poate fi definit în termeni de teoria argumentației) pentru semantica admisibilă, în forma unui program logic. Această procedură formalizează strategia informală prezentată în unele lucrări despre argumentare (concluziile trebuie susținute de o rațiune, rațiunea trebuie apărată de contraatacuri) și este, de fapt, o adaptare

a unei proceduri dezvoltate inițial pentru semantica stabilă (care este intratabilă în cazul general) .

Se consideră că A atacă  $\Delta$  dacă atacă un  $\alpha \in \Delta$ .

Procedura de calcul pentru semantica admisibilă este dată în forma unui meta-program logic. Clauza de nivel superior este cea care definește predicatul admisibil:  $\text{adm}(\Delta_0, \Delta)$ :  $\Delta$  este un superset admisibil al lui  $\Delta_0$ . Clauza de nivel inferior definește relația de apărare față de un atac:  $\text{apără}(D, \Delta)$  ( $D$  atacă toate atacurile închise împotriva lui  $\Delta$  =închisă).

Meta-programul logic care definește procedura este:

$$\text{adm}(\Delta_0, \Delta) \leftrightarrow [(\Delta_0 \subseteq \Delta) \wedge (\Delta \text{ admisibilă})]$$

$$\text{apără}(D, \Delta) \leftrightarrow \forall A \subseteq \text{Ab} [(A \text{ atacă } \Delta) \wedge \text{închisă}(A)] \rightarrow D \text{ atacă } (A - \Delta)]$$

$$\text{Așadar: } \text{adm}(\Delta_0, \Delta) \leftrightarrow [(\Delta_0 \subseteq \Delta) \wedge \text{apără}(\Delta, \Delta) \wedge \text{închisă}(\Delta)].$$

Ideea de interpretare este că  $\Delta_0$  trebuie extinsă la  $\Delta$  care o apără. Dacă programului îi este prezentată o interogare de forma  $\leftarrow \text{adm}(\Delta_0, X)$ , acesta adaugă repetat apărări mulțimii inițiale până ajunge la o mulțime care se apără pe sine de orice atac posibil. Într-o problemă de diagnoză,  $\Delta_0$  poate fi considerat ca un argument (format din simptome) suport pentru un anumit diagnostic, iar  $\Delta$  ar fi simptomele/stările intermediare care susțin diagnosticul respectiv și îl apără în cadrul unui diagnostic diferențial. Mulțimea de apărări adăugată pe parcursul procedurii ar defini natural planul de teste suplimentare necesare. Se observă că procedura nu este deterministă (construcția apărărilor), ceea ce se încadrează intuitiv și în specificul diagnozei: există multe configurații alternative care conduc la același diagnostic-este suficientă prezența uneia singure pentru confirmarea acestuia (în conformitate cu specificul credul al semanticii admisibile).

#### 6.2.4. Rafinarea semanticii preferate folosind “apărări minimale”

Rafinarea “min-def” (“minimal defence”) propusă în [CayDou02] a semanticii preferate pleacă de la intenția de a modela situații în care există două tipuri de argumente: *restricționate* și *nerestricționate*, și în utilizarea maximală a celor nerestricționate și minimală a celor restricționate (spre exemplu, în aplicațiile juridice, pot exista martori pentru care este periculos să se implice și să depună mărturie –pentru că ar fi, de exemplu, amenințați de mafie-; în cazul diagnozei medicale, ar fi natural să dorim restricționarea argumentelor ce folosesc teste invazive/costisitoare).

Fie  $\text{AF}=(A,R)$  un cadru de argumentare.

## Partiționarea mulțimii de argumente a unui cadru de argumentare[CayDou02].

### Partiție de tipul I

Este situația în care mulțimea argumentelor  $A$  este nediferențiată, fiind formată doar din argumentele  $F$  ale unui agent dat și mulțimea complementară  $A \setminus F$ .

### Partiție de tipul II.

Fie o mulțime  $F = F_u \cup F_r$ ,  $F_u \cap F_r = \emptyset$  ( $F_u$  = mulțimea argumentelor nerestricționate-unrestricted,  $F_r$  = mulțimea argumentelor restricționate- “restricted”);

$$A = F_u \cup F_r \cup (A \setminus (F_u \cup F_r)); \quad (6.4)$$

Acest tip de cadru de argumentare se notează cu  $AF_{Fru}$ .

**Definiție**[CayDou02]. Fie  $AF_{Fru}$  un cadru de argumentare partiționat tip II. Fie  $S_1, S_2$  două submulțimi ale lui  $F$ .  $S_2$  este *mai bun* decât  $S_1$  ( $S_1 \prec S_2$ ) ddacă  $S_{1u} \subset S_{2u}$ , sau  $S_{1u} = S_{2u}$  și  $S_{2r} \subseteq S_{1r}$  ( $S_{ir}, S_{iu}$  reprezintă argumentele restricționate, respectiv nerestricționate din mulțimea de argumente  $S_i$ ).

**Definiție**[CayDou02]. Fie  $S \subseteq F$ .  $S$  este *restricționat-admisibilă* ddacă:

1.  $S$  este admisibilă și
2.  $\forall x \in S_r, \exists y \in S_u$ , astfel încât  $x$  este un apărător individual al lui  $y$ .

**Definiție**[CayDou02].  $S$  este o *extensie min-def* a cadrului  $AF_{Fru}$  ddacă  $S$  este  $\prec$ -maximală între mulțimile restricționat-admisibile ale lui  $AF_{Fru}$ .

Am prezentat aici aceste noțiuni întrucât ele au constituit sursa de inspirație în definirea și utilizarea relației de ordine “ $\prec$ ” din Capitolul VIII.

## 6.3.Algoritmi DCSP

### 6.3.1.Introducere

Constrângerile sunt o metodă naturală de reprezentare a cunoștințelor în foarte multe domenii, după cum observa autorul în [MigI01]. O problemă bazată pe constrângeri conține trei componente principale:

**Definiție**[Gin96]. O problemă de satisfacere a constrângerilor  $(V, D, c)$  reprezintă o mulțime  $V$  de variabile; pentru fiecare  $v \in V$ , există o mulțime posibilă de valori  $D_v$  ale acestei variabile.  $c$  este o mulțime de constrângeri, fiecare fiind o pereche  $(W, K)$ , unde  $W = (v_1, \dots, v_k)$  este o submulțime ordonată a lui  $V$ , și  $K$  este o submulțime a lui  $D_{v_1} \times \dots \times D_{v_k}$ .

Constrângerile pot fi privite ca “o relație logică între variabile, exprimând o mulțime admisibilă de combinații de valori”, și reprezintă o tehnică fundamentală de inferență. Concret, ele pot lua forma unor egalități/inegalități. Raționamentul pe bază de

constrângeri este declarativ și permite separarea reprezentării cunoștințelor (exprimarea soluțiilor problemei sub formă de constrângeri), de rezolvarea efectivă a constrângerilor, ceea ce a permis abordarea problemei cu tehnici foarte variate.

Aplicațiile metodelor CSP se întind de la recunoașterea imaginilor sau probleme de diagnoză în inteligența artificială [Wal75], până la programarea logică (unde înlocuirea algoritmului de unificare al lui Robinson cu metodele de rezolvare a constrângerilor au dat naștere la Programarea Logică pe bază de Constrângeri –CLP(Constraint Logic Programming)- [JafLas87], cu toate derivatele sale ulterioare), și până la rezolvarea de probleme combinatoriale NP-dificile în domeniile cercetărilor operaționale și matematicii discrete. Implicarea recentă a tehnicilor inteligente (rețele neurale Hopfield în care punctele de stabilitate corespund unor soluții ale problemelor bazate pe constrângeri discrete [LeeTam], algoritmi genetici pentru focalizarea căutării soluțiilor, în care constrângerile se reprezintă ca funcții de penalizare, reprezentarea fuzzy a constrângerilor pentru relaxarea problemelor fără soluții și obținerea de soluții parțiale [MigI01]ș.a.) reprezintă o garanție a faptului că domeniul este încă în plină dezvoltare și promite mai mult decât a reușit deja să ofere, în special în probleme în care alte metode au eșuat, și ariile sale de aplicabilitate continuă să se extindă.

### **6.3.2. Backtracking dinamic pentru CSP**

Algoritmii “clasici” folosiți în abordarea problemelor de satisfacere a constrângerilor se împart în două categorii: *algoritmi de preprocesare*, în care constrângerile sunt folosite activ pentru a reduce spațiul de căutare prin restrângerea prealabilă a domeniului variabilelor (algoritmii de arc-consistență cu variantele de îmbunătățire a nivelului de consistență prin considerarea simultană a unui grup de constrângeri- Path-consistency), și *algoritmi de rezolvare* efectivă prin căutare, în care constrângerile sunt folosite pasiv, pentru testarea soluțiilor generate deja (aceștia din urmă sunt o paradigmă a tehnicilor “generează și testează”).

Una dintre metodele cele mai folosite de căutare sistematică este tehnica Backtracking, - în principiu o căutare în adâncime în graful soluțiilor. Unul dintre marile sale dezavantaje stă în faptul că depistarea unei inconsistențe și revenirea la variabilele asignate anterior pentru a le modifica se face “muncitorește”, fără a lua în considerare care este variabila care a fost efectiv implicată în inconsistența respectivă. Metoda de backtracking controlat prin dependențe (“dependency-directed backtracking” [StaSus77]) înlătură acest neajuns prin revenirea direct la sursa de conflict. Aceasta păstrează însă în continuare un mare neajuns: la momentul revenirii “se sare” peste soluția construită de la punctul de eroare până la pasul curent, pierzându-se astfel o asignare parțială ce ar putea fi utilă până în final. Ginsberg [Gin96] a propus astfel o nouă îmbunătățire – backtracking dinamic, ce structurează în mod dinamic căutarea: pentru fiecare valoare eliminată a unei variabile se reține o listă de “nogoods” – ca în TMS-, adică variabilele ale căror valori curente sunt în conflict cu valoarea eliminată. Aceste liste se numesc “explicații eliminatorii”, și felul în care sunt efectiv folosite în algoritm determină salvarea de informații “nogood” numai pentru valorile curente ale variabilelor asignate;



cele care depind de asignări depășite sunt șterse, îmbunătățind astfel semnificativ performanțele algoritmului:

**Propoziție**[Gin96]. Spațiul necesar pentru backjumping este  $o(i^2v)$ , unde  $i=|I|$ , este numărul variabilelor problemei și  $v$  este numărul de valori pentru variabila cu cea mai mare mulțime de valori  $V_i$ .

Rezultatul pentru backjumping rămâne valabil și pentru backtracking dinamic întrucât spațiul rămâne limitat de structura explicațiilor eliminatorii.

Vom prezenta algoritmul în detaliu în Secțiunea 6.3.5.

### 6.3.3.CSP pentru sisteme de argumentare

În[BesDou04] sunt prezentate trei metode de calcul a extensiilor admisibile. Ne-am oprit asupra celei bazate pe verificarea satisfiabilității, întrucât, după cum remarcă și autorii, aceasta poate fi un punct de plecare în abordarea sistemelor de argumentare folosind tehnici de rezolvare a constrângerilor, iar noi dorim să adaptăm un algoritm DCSP la calculul acestor extensii.

**Propoziție**[BesDou04]. Fie  $(A,R)$  un cadru de argumentare. O mulțime  $S \subseteq A$  este admisibilă ddacă formula:

$$\bigwedge_{a \in S} (a \wedge (\bigwedge_{b:(b,a) \in R} (\neg b \wedge (\bigvee_{c:(c,b) \in R} c)))) \wedge \bigwedge_{a \notin S} \neg a; \quad (6.5)$$

este satisfiabilă.

(Ultimul termen exprimă condiția de maximalitate, și putem renunța la el dacă astfel ne apropiem mai bine de cerința problemei particulare pe care o avem în vedere).

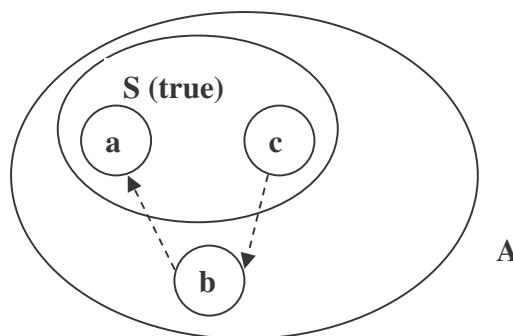


Figura 6.1. Reprezentarea grafică a relației 6.5. (săgețile simbolizează atacuri)

Dacă formula 6.5 este satisfiabilă, înseamnă că există o soluție a ei în cadrul sistemului. Algoritmii CSP pot calcula exact aceste soluții. Concret, dacă relațiile de atac ar fi

definite drept constrângeri asupra variabilelor implicate în atac, un algoritm CSP poate calcula extensiile posibile ale unui sistem de argumentare într-o manieră eficientă și sistematică. O mulțime admisibilă de argumente se obține prin filtrarea finală a soluțiilor cu relația 6.5, care reprezintă tot o constrângere, astfel că algoritmul CSP calculează în final exact mulțimile admisibile de argumente, ce vor fi interpretate ca soluții posibile ale problemei de diagnoză: argumentele “in” fiind cele pentru care s-a asignat valoarea de adevăr *true*.

### 6.3.4. Algoritmi dinamici de satisfacere a constrângerilor

Se știe că este esențială capacitatea sistemelor de inteligență artificială de a raționa pe baza unui mediu dinamic. Problemele clasice de satisfacere a constrângerilor nu sunt potrivite pentru probleme a căror structură se modifică dinamic (de exemplu, ca urmare a apariției unor cerințe neprevăzute din partea utilizatorilor, sau prin apariția de noi date ce trebuie încadrate în sistemul de constrângeri). Aceste situații pot fi tratate corect numai dacă se consideră că setul de constrângeri ce definește soluția problemei se poate modifica dinamic (prin adăugare sau eliminare). S-a ajuns astfel la tehnica DCSP, cu variantele sale de reprezentare și rezolvare [MigI01]. Ne vom opri pe scurt la varianta bazată pe activități, pe care o vom utiliza în cadrul aplicației.

**Definiție**[MigI01]. O problemă de Satisfacere a Constrângerilor Dinamică bazată pe Activități (aDCSP- activity-based Dynamic Constraint Satisfaction) constă dintr-o problemă CSP clasică și un mecanism ce descrie cum sunt adăugate (șterse) variabilele din problemă, pe baza valorilor altor variabile (Context) (acest mecanism se poate reprezenta, la rândul său, tot prin constrângeri).

Astfel, o problemă aDCSP conține două tipuri de constrângeri: constrângeri de *compatibilitate* (cele clasice), și constrângeri de *activitate*, care specifică în ce condiții o anumită variabilă și domeniul său asociat devin relevante în construirea soluțiilor. În principal, constrângerile de activitate iau una din formele:

$$c_1 \in C_a : x_i = d_{i_a}, x_j = d_{j_b}, \dots \rightarrow \text{activ}(x_k); \quad (6.6)$$

$$c_2 \in C_a : x_i = d_{i_a}, x_j = d_{j_b}, \dots \rightarrow \text{inactiv}(x_k); \quad (6.7)$$

$$c_3 \in C_a : \text{activ}(x_i), \text{activ}(x_j), \dots \rightarrow \text{activ}(x_k); \quad (6.8)$$

$$c_4 \in C_a : \text{activ}(x_i), \text{activ}(x_j), \dots \rightarrow \text{inactiv}(x_k). \quad (6.9)$$

Un caz particular de modificare a structurii problemei este situația când aceasta se schimbă nu ca urmare a unor intervenții externe, ci chiar ca rezultat al deciziilor luate în cursul rezolvării[MigI01]. Astfel, în abordarea noastră, mecanismul dinamic ce modifică structura problemei este legat de testarea dinamică de simptome, testare ce reactualizează continuu contextul problemei.

### 6.3.5. Algoritmul Backtracking Dinamic pentru Probleme Dinamice de Satisfacere a Constrângerilor [VerSchi]

Este o variantă potrivită de abordare a problemelor DCSP bazate pe activități, pe care o vom implementa într-o formă adaptată în cadrul aplicației.

#### dbt(csp)

V = mulțimea de variabile a problemei CSP;  
return **dbt-variabile**( $\phi$ , V).

#### backward-checking(V, v)

-verifică valoarea curentă a variabilei v față de valorile variabilelor din V și întoarce prima constrângere încălcată sau *succes* (dacă nu există o astfel de constrângere);

#### crează-explicație-eliminatoire(v, val, V)

-reține mulțimea de variabile V ca o explicație pentru eliminarea valorii 'val' din domeniul variabilei v;

#### sterge-explicații-eliminatoire(v, V)

-pentru toate variabilele din V șterge explicațiile eliminatoire care conțin variabila v și întoarce valorile corespunzătoare din domeniile lor - trebuie reactualizat domeniul pentru  $V_4 \cup V_2$ ;

#### dbt-valoare(V1, v, val)

v ← val;  
c = **backward-checking**(V1, v);  
if (c = *succes*) then return *succes*;  
else {  $V_3$  ← mulțimea de variabile din c;  
    deasignează(v);  
    crează-explicație-eliminatoire(v, val,  $V_3 - \{v\}$ );  
    return *failure*; }

#### dbt-variabilă(V1, v, d)

if (d =  $\phi$ ) then return *failure*  
else { fie  $val \in d$  o valoare din domeniul;  
    if (**dbt-valoare**(V1, v, val) = *succes*) then return *succes*  
    else return **dbt-variabilă**(V1, v, d - {val}); }

#### dbt-variabile (V1, V2)

//V1 este mulțimea variabilelor asigurate, V2 – a celor neasigurate;  
if (V2 =  $\phi$ ) then return *succes*;  
else { v ← o variabilă din V2;  
    d = domeniul curent al variabilei v;

if (**dbt-variabilă**( $V_1, v, d$ )=*failure*) then return **dbt-bt-variabilă**( $V_1, V_2, v$ );  
else return **dbt-variabile**( $V_1 \cup \{v\}, V_2 - \{v\}$ );}

**dbt-bt-variabilă** ( $V_1, V_2, v$ )

$V_3 \leftarrow$  mulțimea de conflicte a lui  $v$  (= uniunea explicațiilor eliminatorii ale valorilor eliminate ale lui  $v$ );

if ( $V_3 = \emptyset$ ) then return *failure*

else {  $v' \leftarrow$  ultima variabilă  $\in V_3$  din  $V_1$ ;  
val'  $\leftarrow$  valoarea curentă a lui  $v'$ ;  
 $V_4 \leftarrow$  mulțimea variabilelor de după  $v'$  din  $V_1$ ;  
deasignează( $v'$ );  
**crează-explicație-eliminatorie**( $v', val', V_3 - \{v'\}$ );  
**șterge-explicație-eliminatorii**( $v', V_4 \cup V_2$ );  
**dbt-variabile** ( $V_1 - \{v'\}, V_2 \cup \{v'\}$ )}

**șterge-explicațiile-eliminatorii-de-variabile**( $V_3, V$ )

-pentru fiecare variabilă din  $V$ , șterge explicațiile eliminatorii care conțin variabile din  $V_3$  (deasignate);

**șterge-explicațiile-eliminatorii-de-constrângeri**( $RC, V$ )

-pentru fiecare variabilă din  $V$ , șterge explicațiile eliminatorii care conțin variabile care intră în componența unor constrângeri înlăturate;

**șterge-asignări**( $V_1, AC$ )

fie  $c \in AC$ ;  $V(c)$ =variabilele din constrângerea  $c$ ;

-dacă asignările variabilelor din  $V_1$  invalidează  $c$ , deasignează ultima variabilă a lui  $V(c)$  din  $V_1$  și crează explicațiile eliminatorii corespunzătoare;

-întoarce mulțimea  $V_3$  a variabilelor care au fost deasignate;

**ddbt**( $V_1, V_2, AC, RC$ )

// $V_1$ =mulțimea ordonată a variabilelor asignate la căutarea anterioară;

// $V_2$ =mulțimea variabilelor neasignate la căutarea anterioară;

// $AC$ = mulțimea constrângerilor adăugate (Added Constraints);

// $RC$ = mulțimea constrângerilor șterse (Removed Constraints);

$V = V_1 \cup V_2$ ;

$V_3 \leftarrow$  **șterge-asignări**( $V_1, AC$ );

**șterge-explicațiile-eliminatorii-de-variabile**( $V_3, V$ );

**șterge-explicațiile-eliminatorii-de-constrângeri**( $RC, V$ ).

return **dbt-variabile**( $V_1 - V_3, V_2 \cup V_3$ ).

## **6.4. Concluzii și contribuții**

Capitolul curent a detaliat bazele teoretice ale abordării originale din această lucrare. Am prezentat sistemele de argumentare directă ca formalism modern de reprezentare, adecvat abordării abducției, și pe care îl vom folosi la rândul nostru în cadrul sistemului DiaMed. Introducerea sistemelor de argumentare pentru modelarea nonmonotonicității ne este necesară întrucât modelul medical va conține și relații asimetrice de atac -ilustrate de situația concretă a bolilor mascate, descrisă în Capitolul 2 (o relație de atac exclusiv simetrică se poate reduce la o problemă de consistență). Am introdus semantica specific argumentativă a admisibilității întrucât o vom utiliza atât în definiția originală a unui diagnostic multiplu, cât și pentru a modela menținerea consistenței pe parcursul raționamentului. Paragraful cheie al capitolului este cel din subsecțiunea 6.2.3, în care se vede cum se reduce calculul semanticii admisibile la o problemă de satisfiabilitate, pentru a cărei implementare algoritmi specifici problemelor de satisfacere a constrângerilor (CSP) sunt o opțiune naturală. Între versiunile posibile ale acestor algoritmi, ne-am oprit asupra backtracking-ului dinamic pentru DCSP [VerSchi] pentru eficiența și adecvarea sa la specificul unei probleme de diagnoză medicală.

## VII. Relația abducției cu sistemele de argumentare, tehnicile CSP și sistemele TMS

### 7.1. Introducere

Secțiunea prezentă își propune să fie o dezvoltare mai aprofundată a unor idei din secțiunile precedente. Pentru început, vom încerca să descifrăm legătura programării logice (domeniu bine conturat și studiat, în special datorită caracterului său procedural, orientat spre calcul, cu aplicabilitate imediată), cu abducția. Aceasta ne permite, pe de o parte, să arătăm cum s-a ajuns de la semantica stabilă la cea admisibilă în calculul abducției (semantica admisibilă, specifică argumentației, a rezolvat anumite probleme când a fost folosită în programarea logică), și, pe de altă parte, cum o procedură clasică de abordare a abducției în programarea logică își găsește natural translatarea în sistemele de argumentare. Concluzia demersului ar fi că sistemele de argumentare au cel puțin aceeași putere de reprezentare și sunt chiar mai adecvate sub anumite aspecte decât programarea logică, cel puțin când aplicația este abducția.

Ne-am propus, deasemenea, să dezvoltăm relația abducției cu sistemele TMS- o alternativă de manevrare nemonotonă a dependențelor logice- și cu problemele de satisfacere a constrângerilor (CSP). Intenția ultimelor subcapitole este de a arăta avantajele sistemelor de argumentare directă și ale problemelor CSP asupra sistemelor TMS, din punctul de vedere al aplicației noastre (diagnoza medicală) .

### 7.2. Abducția în Programarea Logică

În această secțiune vom prezenta cum și de ce s-a ajuns de la semantica stabilă la semantica admisibilă pentru raționamentul abductiv. Atât utilizarea semanticii stabile pentru negația ca imposibilitate de a demonstra (naf) în programele logice normale cât și a semanticii stabile generalizate pentru ALP determină ca procedurile de calcul abductive utilizate să nu fie valide decât pentru un tip special de programe logice.

Ideea principală a secțiunii este așadar că semantica admisibilă (pe care și noi o utilizăm în cadrul aplicației) este validă pentru procedurile de calcul abductiv în general, fiind prin urmare o abordare adecvată a diagnozei (care este exemplul cel mai întâlnit de abducție).

Orice program logic  $P$  poate fi privit drept cadru abductiv (vezi și Secțiunea 3.4.1) prin transformarea [EshKo88, EshKo89]:

$$P \rightarrow \langle P^*, A^*, I^* \rangle, \quad (7.1)$$

unde:  $P^*$ =teorie,  $A^*$ = predicate abductibile,  $I^*$ = constrângeri de integritate.

1.  $A^* = \{p^*\}$  ( $p^*$  introdus pentru pentru fiecare predicat  $p$  din  $P$ );
2.  $P^* = P$ , unde fiecare literal negativ  $\sim p(t)$  a fost înlocuit cu  $p^*$ ;
3.  $I^* =$  constrângeri de integritate de forma:

$$\forall x \neg [p(x) \wedge p^*(x)] \quad (7.2)$$

$$\forall x [p(x) \vee p^*(x)] \quad (7.3)$$

(Constrângerea 7.3 forțează  $p^*$  când  $p$  nu e susținut adevărat).

Semantica asociată cadrului abductiv  $\langle P^*, A^*, I^* \rangle$  în termeni de extensii  $P^* \cup \Delta$ , unde  $\Delta \subseteq A^*$ , dă o semantică pentru programul inițial  $P$ , și anume:

$P \rightarrow Q$  (concluzia  $Q$  e valabilă raportat la  $P$ ) ddacă interogarea  $Q^*$  are o explicație abductivă în  $\langle P^*, A^*, I^* \rangle$  ( $Q^*$  este  $Q$  în care  $\sim p(t)$  se înlocuiește cu  $p^*(t)$ ).

**Definiție. Abducția în logică [KKoT98].** Fie  $G =$  scop (goal/query: ceea ce necesită explicație),  $\Delta =$  explicație (extensie) abductivă pentru  $G$ ,  $T =$  teoria domeniului. Atunci:

1.  $T \cup \Delta \models G$ ;
2.  $T \cup \Delta$  consistentă.

*Semnificația  $I^*$ :*  $P^* \cup \Delta$  extensie a  $P^*$  (o teorie Horn) satisface  $I^*$  dacă orice  $p$  atom fără variabile satisface:

1.  $P^* \cup \Delta \not\models p \wedge p^*$  (7.4)
2.  $P^* \cup \Delta \models p$  sau  $(P^* \cup \Delta \models p^*)$ . (7.5)

Constrângerile de integritate  $I^*$  forțează menținerea consistenței în cadrul procesului de generare de extensii.

**Rezultat**[GelLi88]. Transformarea de mai sus determină o corespondență unu la unu între modelele stabile ale programului logic  $P$  și extensiile abductive (program + explicația abductivă pentru o anumită interogare  $Q$ ) ale lui  $P^*$ .

**Definiție. Model stabil al unui program logic general  $P$  [KKoT98].** Presupunem că toate clauzele lui  $P$  sunt fără variabile. Pentru orice mulțime  $M$  de atomi fără variabile, fie  $P_M$  programul Horn obținut prin ștergerea din  $P$  a:

1. fiecărei reguli ce conține un literal negativ  $\sim A$ , cu  $A \in M$ ;
2. tuturor literalilor negativi din regulile rămase.

Dacă modelul (Herbrand) minimal al lui  $P_M$  coincide cu  $M$ , atunci  $M$  este un *model stabil* al lui  $P$ . ■

În [EshKo89], autorii au propus o *procedură de calcul abductivă pentru programarea logică*- o metodă efectivă de calcul a extensiilor abductive (și deci a modelelor stabile) ce îmbină două faze:

- 1.faza abductivă (generează ipoteze);
- 2.faza de testare a consistenței (verifică incremental dacă ipotezele verifică constrângerile de integritate ale programului)<sup>2</sup>.

În această procedură, abducția este folosită pentru tratarea NAF (“Negation As Failure”: negația ca imposibilitate de a demonstra): când se ajunge la un literal ce nu poate fi susținut din premise (date) și program, acesta este considerat ipoteză (presupus adevărat).

Această metodă de calcul abductivă extinde SLDNF (Single Linear Derivation with Negation as Failure) și e validă pentru programele logice consistente la ordine, însă nu e validă în general. Dung a argumentat ca semantica stabilă poartă de fapt răspunderea pentru această invaliditate. El a propus în schimb o altă semantică abductivă (semantica *preferată*) pentru NAF, fără constrângerile de integritate disjunctive [Dung91]. Pentru semantica preferată propusă de el procedura de calcul abductivă s-a dovedit validă în general.

Rezolvarea propusă de Dung (și ideea de la baza semanticii preferate) a constat în înlocuirea constrângerii de integritate disjunctivă cu cerința ca  $\Delta$  (mulțimea de ipoteze negative =explicația abductivă) să fie maximală, depășind însă deficiențele noțiunii de maximalitate<sup>3</sup> de până la el. Astfel, Dung a introdus o noțiune mai subtilă de maximalitate. Programului  $P$  îi asociază cadrul abductiv  $\langle P^*, A^*, I^* \rangle$ , unde din  $I^*$  au dispărut constrângerile conjunctive:

$$I^*: \forall x, \neg[p(x) \wedge p^*(x)]; \quad (7.6)$$

**Definiție[KKoT98].** Fie  $\Delta, E$ = mulțimi de ipoteze (negative),  $\Delta, E \subseteq A^*$ . Spunem că  $E$  atacă  $\Delta$  (relativ la  $\langle P^*, A^*, I^* \rangle$ ) dacă:

1.  $P^* \cup E \vdash p$ ,
2.  $p^* \in \Delta$ .

**Definiție[KKoT98].** O extensie  $P^* \cup \Delta$  a lui  $P^*$  e *preferată* dacă:

1.  $P^* \cup \Delta$  e consistent cu  $I^*$  și
2.  $\Delta$  e maximală cu proprietatea că pentru orice atac  $E$  împotriva lui  $\Delta$ ,  $\Delta$  atacă  $E$  ( $\Delta$  se apără față de toate atacurile).

Semantica preferată rezolvă inclusiv exemplele de genul EX.

O extensie *admisibilă* îndeplinește aceleași condiții ca una preferată, cu deosebirea că nu e maximală.

<sup>2</sup> cele două faze se regăsesc, ca idee generală, și în abordarea originală din DiaMed.

<sup>3</sup> Spre exemplu, dacă avem  $p \leftarrow \neg q$ , doar  $\{q^*\}$  e intuitiv corectă din cele două extensii maximale  $\{p^*\}$  și  $\{q^*\}$ , deoarece  $\{p^*\}$  e atacată de  $\{q^*\}$  fără să se apere (EX).



Semantica admisibilă este mai potrivită pentru procedura de calcul abductivă, întrucât, după cum am menționat deja, pentru semantica admisibilă procedura e validă. Acest avantaj a dus la extinderea cadrului de lucru pentru ALP (Abductive Logic Programming) [EshKo88], ELP (Extended Logic Programming), prin definirea corespunzătoare a noi noțiuni de atac.

### **Programarea Logică Abductivă (ALP)**

ALP este o extensie a programării logice pentru a trata abducția în general, nu doar abducția pentru NAF (în sensul că există o clasă specială de predicate abductibile).

Presupunând că predicatele abductibile nu sunt definite în cadrul teoriei T (nu apar în capul clauzelor), se garantează că toate explicațiile vor fi de bază (acesta este un neajuns de reprezentare pentru problema noastră, și un argument în plus în favoarea abordării noastre) (la noi asumpțiile/ipotezele nu sunt independente, astfel că procedura de calcul abductivă e prea restrictivă; abordarea noastră, deși aproximativă (calculează cu aproximație semantica admisibilă), înlătură acest neajuns).

Pentru ALP, Kakas & Mancarella au propus semantica stabilă generalizată [KaMan90], ce extinde semantica modelului stabil. Modelele stabile generalizate combină folosirea abducției pentru raționament implicit (de forma NAF) cu utilizarea pentru alte forme de raționament ipotetic.

Fie  $\langle P, A, I \rangle$  un cadru abductiv; P un program logic general (clauze Horn +NAF).

**Definiție[KKoT98].** Fie  $\Delta \subseteq A$ ;  $M(\Delta)$  este un *model stabil generalizat* al  $\langle P, A, I \rangle$  dacă:

1.  $M(\Delta)$  e model stabil al  $P \cup \Delta$ ;
2.  $M(\Delta) \models I$ .

**Definiție[KKoT98].** O *explicație abductivă* a interogării Q în  $\langle P, A, I \rangle$  este orice subset  $\Delta$  al lui A astfel încât:

1.  $M(\Delta)$  este model stabil generalizat al  $\langle P, A, I \rangle$ , și
2.  $M(\Delta) \models Q$ .

**Procedura de calcul abductivă pentru ALP:** când se adaugă o ipoteză nouă la extensia  $\Delta$ , procedura rezolvă ipoteza față de toate constrângerile de integritate ce o conțin, și apoi raționează înapoi de la rezolventă. Din nou, procedura nu este validă pentru semantica stabilă generalizată. O trăsătură importantă a procedurii de calcul abductive stă în evitarea unei verificări a integrității generală (nu folosește regulile din program pentru raționament forward; folosește doar constrângerile  $\neg(q \wedge q^*)$  pentru a raționa backward de la rezolventă; în general, raționamentul forward nu este de dorit întrucât nu focalizează căutarea, nefiind orientat spre scop).

Ceea ce lipsește abordărilor bazate pe elementele prezentate succint mai sus este o procedură de calcul constructivă și eficientă (adică tocmai contribuția noastră la

problemă). În plus, procedura abductivă nu este completă: după ce găsește o explicație se oprește, ceea ce deasemenea este un dezavantaj din punctul nostru de vedere, întrucât suntem interesați să comparăm între ele toate explicațiile posibile.

### Programarea logică extinsă (ELP)

Folosește o formă explicită de negație [KKoT98], atunci când definiția unui predicat e incompletă (pentru a defini instanțele negative ale predicatului în loc să le inferăm implicit folosind NAF). NAF pentru informația negativă e sigură numai sub ipoteza **cwa** (“closed world assumption” - lume închisă); - nu e potrivită pentru predicatul abductibile (care pot fi incomplete, și deci “deschise”).

## 7.3. Sistemele de argumentare directă și abducția

În Secțiunea 6.1. am făcut o introducere a sistemelor de argumentare directă. În această secțiune, vom sublinia, o dată în plus, avantajele admisibilității asupra “stabilității”, privite însă dintr-o perspectivă nouă, și anume din cea a sistemelor de argumentare.

Am văzut că invaliditatea procedurilor prezentate mai sus este depășită prin introducerea unei semantici (admisibilă) care, de fapt, este specifică teoriei argumentației directe. De aici rezultă și avantajul major al sistemelor de argumentație asupra programării logice în abordarea abducției.

### Interpretarea argumentativă a procedurii de calcul abductive [KKoT98]

Cele două faze principale ale procedurii de calcul abductive din secțiunea alocată programării logice pot fi privite prin prisma argumentației astfel: pasul I construiește o mulțime de ipoteze pentru rezolvarea scopului inițial; iar pasul II augmentează mulțimea construită la I cu toate apărările necesare. După cum s-a menționat, procedura de calcul abductivă e validă pentru semantica admisibilă.

Problema validității pentru ALP poate fi deasemenea tratată prin introducerea unei semantici specifice argumentației, care să trateze constrângerile de integritate și NAF uniform via o noțiune corespunzător adaptată de “atac”.

### O interpretare argumentativ teoretică a procedurii de calcul abductiv pentru ALP

#### Definiție [KKoT98].

- *Atacuri via NAF*: E atacă  $\Delta$  via NAF relativ la  $\langle P^*, A \cup A^*, I \cup I^* \rangle$ , dacă  $P^* \cup E \vdash p$ , pentru  $p^* \in \Delta$ , sau  $a^* \in E$ , pentru  $a$  abductibil  $\in \Delta$ ;
- *Atacuri via constrângeri de integritate*: E atacă  $\Delta$  via constrângerea de integritate  $\neg (L_1 \wedge \dots \wedge L_n) \in I$  relativ la  $\langle P^*, A \cup A^*, I \cup I^* \rangle$ , dacă  $P^* \cup E \vdash L_1, \dots, L_{i-1}, L_{i+1}, \dots, L_n$ , pentru  $L_i \in \Delta$ .

### Semantica argumentativ-teoretică pentru ALP

**Definiție** [KKoT98]. O mulțime de ipoteze  $\Delta$  este *KM-admisibilă* dacă:

Pentru orice atac E împotriva lui  $\Delta$ ,  $\Delta$  atacă (E- $\Delta$ ) doar via NAF (doar atacurile via NAF pot să contra-atace).

### Semantica argumentativ teoretică pentru ELP [KKoT98]

ELP se pot transforma în ALP astfel: se redenumeste negația explicită a unui predicat p al programului:  $\neg p$  cu  $p'$  și se adaugă la constrângerile de integritate următoarele constrângeri:

$$\forall x, \neg[p(x) \wedge p'(x)]. \quad (7.7)$$

**Definiție** [KaManDun94].

E atacă o mulțime nevidă  $\Delta$  via negație explicită relativ la un program P' dacă:

- $P' \cup E \vdash \perp$
- $P' \cup \Delta \vdash I'$ , pentru un literal I.

(adică evidența pozitivă are prioritate față de evidența negativă, o evidență pozitivă atacă o evidență negativă).

**Definiție**[KKoT98]. O mulțime de ipoteze  $\Delta$  este *D-admisibilă* dacă:

- 1) D nu se atacă pe sine, via NAF sau via negație explicită;
- 2) Pentru orice atac E împotriva lui  $\Delta$ , via negație explicită sau NAF,  $\Delta$  atacă E via NAF.

## 7.4. Calculul abducției folosind TMS. Legătura între CSP și abducție

Prezentăm în cele ce urmează o abordare procedurală diferită a abducției. Este vorba de sistemele TMS (Truth Maintenance System-sistem de menținere a adevărului), sisteme cu scopul general de a manevra dependențele logice și logica nemonotonă. Motivația principală a acestor sisteme stă în necesitatea de a trata procedural menținerea adevărului și revizuirea încrederilor. După cum definea McAllester [McAll80], un TMS este un “sistem independent de domeniu pentru menținerea consistenței și bune –fundamentări (well-foundedness) a unei mulțimi de încrederi”.

După cum am văzut la procedura de calcul abductivă, explicația abductivă D era reținută și putea folosi în revizuirea ulterioară a încrederilor, exact ca justificările din sistemele TMS. Acestea din urmă dispun însă de un mecanism mai bine încheșat de respingere pe baza justificărilor memorate.

În sistemele TMS predomină, așadar, aspectul procedural și sunt alcătuite, în general, din două module separate ce interacționează pe parcursul calculului:

1)PS(problem solver): un rezolvitor de probleme dependent de domeniu care efectuează inferențe (utilizând logica de ordinul întâi);

2)sistemul TMS propriu-zis: un sistem independent de domeniu care memorează inferențele (de obicei utilizează inferență propozițională). Acest modul are scopul de a determina ce propoziții se pot deriva pe baza justificărilor, fără încălcarea constrângerilor de integritate de tip “nogood”(“nogoods” =mulțimi inconsistente de ipoteze).

Paralela între sistemele TMS și ALP (Programarea Logica Abductiva) este foarte strânsă: Satoh și Iwayama au demonstrat în [SatIwa91] ca sistemul JTMS al lui Doyle [Doy79] calculează, de fapt, semantica stabilă generalizată (ce stă și la baza ALP; faptul că sistemul este legat de semantica stabilă reprezintă însă un dezavantaj al său din punctul de vedere al diagnozei, după cum am văzut). În plus, se poate identifica imediat o echivalență între termenii pe care cele două abordări îi folosesc:

Abductive Logic Programming –TMS:

- Clauza propozițională Horn= Justificare
- Constrângere de integritate=Nogood; (o constrângere de integritate not(L1 și L2) = nogood(L1,L2));
- Ipoteză abductibilă=Asumpție;
- Mulțime acceptabilă de ipoteze=Context.

Un dezavantaj al sistemelor TMS față de ALP rezultă din avantajul constrângerilor de integritate “clasice” față de cele de tip “nogood”: există multe mulțimi de ipoteze ce se pot ataca via aceeași constrângere de integritate, mulțimi ce în TMS ar fi fost reținute explicit; în schimb, o constrângere “clasică” este reprezentanta unei mulțimi largi de posibile atacuri (care nu e nevoie să fie reținute explicit) -atacuri între tot atâtea mulțimi posibile ce ar conține variabilele din constrângere.

Există însă și avantaje ale TMS față de programarea logică. Unul dintre acestea vine din ideea de a folosi structuri de dependență în raționament și rezolvare de probleme, structuri de dependență utilizate pentru a face sistemele de raționament mai incrementale (adică pentru a păstra maximum din soluția construită până la un anumit moment) în timpul retragerii (retraction) și backtracking-ului, și pentru a facilita mai bine explicațiile (care erau mai rudimentare în programarea logică). În plus, prin exploatarea acestor dependențe s-a evitat backtracking-ul inutil, redescoperirea contradicțiilor sau a inferențelor (memorate în modulul TMS). Aceste structuri de dependență sunt descoperite (construite) dinamic pe parcursul calculului de către modulul de rezolvare (PS), folosind logica de ordinul întâi, și apoi memorate.

În plus, după cum s-a mai menționat, TMS este un modul folosit de sistemele deductive pentru a menține relațiile logice între încrederile manipulate [McAll80]; aceste relații sunt baza modificării incrementale a structurii de încredere când se modifică premisele, oferind un mecanism de “context” mai flexibil decât în programarea logică.

Relațiile memorate între încredere pot fi deasemenea folosite pentru a găsi direct sursa contradicțiilor, îmbunătățind eficiența backtracking-ului (DDB:Dependency Directed Backtracking- backtracking controlat prin dependențe).

Doyle a identificat 4 trăsături fundamentale ce caracterizează un sistem TMS în general:

1. Efectuează deducție propozițională pornind de la un set de premise;
2. Menține justificări pentru a explica rezultatele deducțiilor sale;
3. Își actualizează incremental încrederile când se adaugă/șterg premise;

4. Realizează backtracking controlat prin dependențe (=când apar contradicții folosește justificările înregistrate pentru a găsi premisele ce stau la baza contradicției.)

Prezentăm informal, spre exemplificare, sistemul TMS propus de McAllester [McAl178].

### **TMS-McAllester**

În acest sistem, propozițiile pot fi adevărate, false sau cu valoare necunoscută de adevăr (în loc de *adevărat*, *fals*, *in*, *out* ca la TMS-Doyle sau ATMS- de Kleer [deKleer86]). Adevărul unei propoziții este o asumție (ipoteză), care se reprezintă prin marcarea corespunzătoare a propoziției; când se descoperă că ipoteza a generat o contradicție, valoarea de adevăr e retrasă automat.

#### 1.Propagarea propozițională a constrângerilor

Cele mai vechi și răspândite tehnici de propagare propozițională a constrângerilor pleacă de la algoritmul original de rezolvare a problemei satisfiabilității booleene(SAT) Davis-Putnam, bazat pe rezoluție. Au urmat apoi DPLL (o transformare a algoritmului original, bazată pe căutare). O dezvoltare aparte au avut-o algoritmi BCP (Boolean Constraint Propagation), ce realizează propagare unitară (“unit propagation”) pentru a îngusta spațiul de căutare prin căutare înainte (“look-ahead”).

Orice sistem de propagare a constrângerilor are un set de celule ce pot lua valorile true/false, și o mulțime de constrângeri ce restrâng combinațiile posibile ale acestor valori. Sistemul TMS [McAl178] realizează deducție propozițională pe baza valorilor anterior determinate (premise) și o *singură* constrângere, aleasă din mulțimea totală a constrângerilor. Acest mod de lucru are dezavantajul *incompletitudinii*: nu toate deducțiile ce urmează logic dintr-un set de constrângeri sunt efectuate.

În TMS, toate constrângerile (definite ca relații logice) iau forma unor clauze disjunctive de forma  $(\vee(p.false)(q.true))$ , și sunt derivate din axiomele de bază ale logicii propoziționale. Premizele propoziționale reprezintă asignări de valori de adevăr ale aserțiunilor. Cum orice aserțiune se definește folosind simbolurile logice (or, and,  $\rightarrow$ , not), toate constrângerile clauzale relevante se generează pe baza axiomelor legate de simbolurile logice prezente în aserțiunile respective. Avantajul acestei reprezentări este că dacă se adaugă incremental premise și constrângeri la TMS, se poate face deducție pe baza lor fără nici un efort suplimentar.

#### 2.Justificări (Suport)

Orice deducție se face pe baza unei singure clauze + valorile de adevăr ale aserțiunilor acelei clauze; deci o justificare pentru valoarea de adevăr dedusă se poate reprezenta ca un pointer către clauza folosită pentru a deduce valoarea respectivă (prin căutare recursivă se construiesc justificări extinse =structuri suport ale ipotezelor.) Este necesar ca aceste structuri suport să fie bine fundamentate (să nu avem dependențe circulare).

Dacă s-a asertat o valoare de adevăr (premiză) contradictorie cu o valoare de adevăr dedusă deja de sistem, trebuie să facem *retracție*.

### 3. Retracție

O operație fundamentală în menținerea adevărului este reactualizarea incrementală a bazei de aserțiuni când unele premise sunt retrase. Toate valorile de adevăr ce depind de premiza ștersă (=consecințele sale) se șterg; (se verifică pentru clauzele ce conțin orice aserțiune cu valoarea de adevăr retrasă ce valori susțin, aceste valori sunt retrase recursiv). Pentru aserțiunile cu valoarea de adevăr retrasă se verifică dacă putem deduce o valoare pentru ele în alt mod.

### 4. Backtracking și respingere

O *contradicție* este o clauză a TMS cu toți termenii falși (ex:  $(\forall (p.\text{false})(q.\text{true}))$  e contradicție dacă  $p=\text{true}$  și  $q=\text{false}$ ). Pentru ca mecanismul de backtracking să nu interfereze cu deducția și retracția, procesarea contradicțiilor se face în afara acestor procese.

Când apare o contradicție, sistemul întreabă care din premisele ce stau la baza contradicției trebuie retrase (dependency directed backtracking). Când o premiză de la baza unei contradicții e retrasă e important să deducem negația ei pentru a preveni reapariția ulterioară a contradicției (Local Clause Resolution): se adaugă o clauză ce conține negațiile tuturor premizelor de la baza contradicției; deci se va deduce negația uneia din premise când toate celelalte sunt crezute (operația are la bază o procedură sofisticată de creare de constrângeri locale ce au rolul de a da justificări mai scurte și mai structurate).

### Aserțiuni de verosimilitate (Likelihood assertions)

Un controler al premizelor ar trebui să poată să folosească deducțiile efectuate de TMS pentru a face mai multe tipuri pozitive de control al premizelor: (very-likely p) =aserțiune de verosimilitate. O problemă deschisă este cum poate un sistem “înțelege” și utiliza aceste aserțiuni. Aici sistemul de argumentare în forma folosită de aplicația noastră are un avantaj din faptul că memorează explicit dependențe utile în partea de raționament, și aceste dependențe sunt selectate dinamic cu ajutorul unor funcții de decizie fuzzy, ce înlocuiesc practic partea rezolvitorului de probleme (PS), evitând astfel dezavantajele logicii de ordinul întâi. În plus, dependențele memorate explicit permit localizarea raționamentului (și deci restrângerea spațiului de căutare) încă de la început, fiind în același timp un suport pentru proprietatea de localitate a admisibilității. Pe scurt, un avantaj al argumentelor față de sistemele TMS stă în faptul că primele rețin structuri ce sintetizează o parte din inferențele rezolvitorului.

Controlerul de premise poate efectua multe reveniri inutile (în backtracking). Dacă numărul de ipoteze e mare și interacțiunile dintre ele sunt complexe, acest fapt se transformă într-un mare dezavantaj al sistemului TMS prezentat.

## ATMS

Sistemul ATMS reprezintă o facilitate foarte generală pentru toate tipurile de raționament implicit; avantajul său principal față de alte sisteme TMS stă în faptul că toate soluțiile posibile (de obicei mutual inconsistente) sau soluțiile parțiale sunt direct disponibile PS (problem solver); (efectuează căutare în lărgime), deci spre deosebire de TMS-ul lui McAllester va lucra fără retracție, backtracking, context-switching. ATMS oferă deci posibilitatea lucrului cu ipoteze contradictorii simultan, ușurând astfel diagnosticul diferențial. ATMS înglobează și o formă de NAF: ipotezele sunt asumate în lipsa evidenței pentru contrarii.

Notății și noțiuni fundamentale ale sistemului ATMS:

- *Asumpție*= ipoteză de lucru (dată primitivă pe care se bazează derivarea tuturor celorlalte date);
- ATMS: asumpțiile sunt crezute în lipsa evidenței pentru contrarii;
- *Mediu* (environment)= mulțime de ipoteze; un mediu inconsistent se numește *nogood*.
- *Justificare*= $x_1$  and...and  $x_n \rightarrow n$ ; construite de PS, descriu cum depind datele unele de altele într-un singur pas; (regulile nu se reapelează pe aceleași date, odată apelate sunt reținute de TMS sub forma unei justificări);
- *Eticheta* unui nod (construită de TMS): descrie cum depind datele unele de altele în mai mulți pași; (formată din acele medii în care nodul este susținut, adică are statutul "in");
- *Context*=mulțimea formată de ipotezele unui mediu consistent + toate nodurile derivabile din aceste ipoteze;

TMS trebuie să răspundă la întrebări de genul: dacă un context e inconsistent; dacă un anumit nod este valabil într-un context dat. Algoritmii TMS reactualizează consistent la fiecare pas etichetele nodurilor astfel încât să răspundă eficient la întrebări de acest gen.

Complexitatea PS din ATMS depinde de: numărul de reguli executate(1) și de numărul de contexte luate în considerare pe parcursul căutării (2). Eficiența ATMS provine din faptul că acesta organizează căutarea astfel încât să găsească întâi cele mai generale inferențe; în acest scop, consumatorii din mediile mai mici sunt executați primii, și dintre ei, primii se apelează cei pentru detectarea inconsistențelor. Programatorul (scheduler) de consumatori alege în mod repetat cel mai mic mediu ce are consumatori neexecutați și rulează unul din acești consumatori până ce toți consumatorii tuturor mediilor consistente sunt rulați. Dacă ATMS găsește un mediu inconsistent se oprește (nu mai explorează mediul respectiv, și nici vreun superset al său), avantajul fiind că nu explorează medii inconsistente neminimale. Combinația regulilor rezolutive din ATMS cu backtracking produce "cea mai bună schemă de DDB". Principalul dezavantaj este dificultatea de depanare.

## Comparație CSP-ATMS

Constrângerile sunt o metodă naturală de reprezentare a cunoștințelor în foarte multe domenii, după cum observa autorul în [MigI01]. O problemă bazată pe constrângeri conține trei componente principale:

**Definiție**[Gin96]. O problemă de satisfacere a constrângerilor  $(V,D,c)$  reprezintă o mulțime  $V$  de variabile; pentru fiecare  $v \in V$ , există o mulțime posibilă de valori  $D_v$  ale acestei variabile.  $c$  este o mulțime de constrângeri, fiecare fiind o pereche  $(W, K)$ , unde  $W=(v_1, \dots, v_k)$  este o submulțime ordonată a lui  $V$ , și  $K$  este o submulțime a lui  $D_{v_1} \times \dots \times D_{v_k}$ .

O problemă comună CSP și ATMS [deKleer89] este cum poate fi controlată căutarea pentru a evita subspațiile determinate anterior ca inconsistente (“thrashing”). În CSP se utilizează backtracking și preprocesarea constrângerilor-pentru a avea mai puține reveniri din backtracking și a determina în prealabil stările (combinațiile de valori) inconsistente; însă preprocesarea este costisitoare în sine. ATMS este folosit întotdeauna interactiv cu un motor de inferențe (care efectuează backtracking), ATMS fiind modulul care forțează consistența locală de genul celei din CSP, având aceeași motivație cu algoritmi de consistență locală de acolo. În concluzie, atât CSP cât și ATMS folosesc intuiții similare pentru a evita revenirea în regiuni determinate deja ca inconsistente; și au aceleași compromisuri computaționale. Cheia acestui paralelism stă în faptul că atât algoritmi de consistență a nodurilor/arcilor/căilor din CSP cât și algoritmi ATMS sunt acoperiți de câteva reguli de rezoluție propozițională, prezentate în continuare.

### Codificarea propozițională a CSP

Fie:

- variabila  $x_i$ , cu domeniul  $D_i$ ;
- $\{a_{ij}\}$  = mulțimea valorilor posibile pentru variabila  $x_i$ ;
- $C$ =mulțimi de clauze.

Se poate codifica unic rețeaua de constrângeri CN (Constraint Network) în mulțimea de clauze  $D(CN)$  astfel:

- Orice variabilă  $x_i$  trebuie să ia o valoare din domeniul său  $D_i=\{a_{ij}\}_{j \in I}$ :

$$(x_i : a_{i1}) \vee \dots \vee (x_i : a_{in_i}); \quad (7.8)$$

- Orice variabilă poate lua cel mult o valoare la un moment dat:

$$\forall (a_{ij} \neq a_{ik}) : \neg x_i : a_{ij} \vee \neg x_i : a_{ik} \quad (7.9)$$



- Fie o constrângere  $C_Z$ , fie  $[t_1, \dots, t_m]$  un tuplu de asignări variabilelor din  $Z$  care falsifică  $C_Z$ ; exprimăm faptul că nu trebuie să existe combinații de asignări care să încalce vreo constrângere prin clauza:

$$\neg(t_1 \wedge \dots \wedge t_m). \quad (7.10)$$

### Reguli de inferență propoziționale

Toate tehnicile de consistență locală din ATMS și CSP pot fi privite drept implementarea câtorva reguli de rezoluție de bază. Acestea sunt:

- $H_0$ : șterge clauzele subsumate din  $C$  (întrucât sunt redundante);
- $H_3$ : Regula rezoluției unitare:

$$\frac{\neg A \quad A \vee A_1 \vee \dots \vee A_m}{A_1 \vee \dots \vee A_m}$$

- $H_5$  (generalizare  $H_3$ ):

Fie  $N(\beta)$  = clauză negativă cu simbolul  $\beta$  și  $N(\alpha_i)$  o mulțime de clauze negative. Atunci:

$$\frac{A_1 \vee \dots \vee A_m \quad N(\alpha_i), A_i \in \alpha_i, A_{j \neq i} \notin \alpha_i, \forall i}{N(\bigcup_i [\alpha_i - \{A_i\}])}$$

În ceea ce privește diferențele, ATMS sunt incrementalii, în timp ce consistența locală în CSP nu e incrementală (decât în versiunea DCSP); în plus, ATMS sunt mai generali (pot rezolva direct orice task exprimat propozițional) astfel că se poate trece de la o problemă CSP la una modelată prin ATMS întotdeauna, dar invers nu. ATMS este mai general ca CSP și pentru că, în plus, construiește explicații, face diagnostic diferențial, îmbină formularea și rezolvarea (în abordarea CSP, doar versiunea DCSP se permite reconstrucția dinamică a problemei de constrângeri). Mai mult, ATMS poate îmbina rezolvarea unei CSP cu alte tipuri de raționament propozițional: calculul consistenței locale poate colabora ușor cu backtracking și se poate utiliza backtracking ca o tehnică de control [deKleer86b] pentru a limita evaluări necesare ale predicatelor constrângerilor.

Dacă algoritmi de consistență locală în CSP aveau rolul de a reduce numărul de reveniri în backtracking, consistența locală pentru ATMS joacă un rol mai central: este fundamental pentru ATMS să răspundă eficient la interogări despre consistența unei mulțimi de simboluri. Iar dacă în CSP algoritmi de consistență șterg incremental violări ale constrângerilor prin îngustarea minimală a constrângerilor, în ATMS restrângerea spațiului de căutare se face prin construcția de constrângeri de integritate de tip "nogood"

deduse din  $C$  ( $N$  este mulțimea de constrângeri “nogood”;  $D$  este domeniul unei variabile, format din alegerile posibile, fiecare simbol din  $D$  fiind o ipoteză).

După cum se va vedea în secțiunea următoare, asemănările menționate (tratate aici la suprafață) au ca suport riguros faptul că atât ATMS cât și CSP pot fi privite drept cazuri particulare ale Sistemului de Management a Clauzelor (CMS) propus de către de Kleer.

### Calculul abducției prin TMS

Menționam mai sus că punctul de legătură cel mai important între TMS și programarea logică abductivă vine din faptul că semantica stabilă generalizată se poate calcula prin intermediul unui JTMS. În acest scop, Satoh și Iwayama [SatIwa91] au transformat un cadru abductiv într-un program logic normal cu constrângeri de integritate (pentru modelarea observațiilor) (modele stabile generalizate ale cadrului abductiv = modele stabile ale programului logic normal). Apoi, pentru programele normale cu constrângeri de integritate au extins o procedură ce calculează extensiile ground ale unui TMS (Doyle) într-o procedură (TMS) pentru calculul abducției (un model stabil al unui program logic fără constrângeri de integritate este echivalent cu o extensie ground a unui TMS). Calculul este bottom-up; deși nu este orientat spre scop, scopurile pot fi reprezentate și tratate drept constrângeri de integritate. Comparativ cu alte abordări care întâi generează modelele stabile și abia apoi testează constrângerile de integritate, un avantaj al metodei Satoh-Iwayama stă în faptul că folosește constrângerile de integritate dinamic în timpul procesului de generare a modelelor stabile, pentru a reduce mai eficient spațiul de căutare.

O abordare mai riguroasă a legăturii între TMS și abducție (și CSP-abducție) găsim la de Kleer [deKleer89b], în sistemul general CMS (Clause Management System- sistem de management a clauzelor). CMS sunt utile pentru raționamentul abductiv în special și pentru eficientizarea căutării în general.

**Definiție[deKleer89b].** O clauză  $S$  este un suport pentru  $C$  în raport cu  $\Sigma$  dacă

$$\Sigma \not\models S \quad (\Sigma \cup \{\neg S\} \text{ este satisfiabilă});$$

$$\Sigma \models S \cup C \quad (\Leftrightarrow \Sigma \models \neg S \supset C \text{ sau } \neg S \rightarrow C \equiv S \cup C)$$

$\Sigma$  este un set de clauze trimise către CMS de către Reasoner;  $C$  = query.

Rolul CMS-ului este de a găsi toate clauzele suport minimale pentru  $C$  în raport cu  $\Sigma$ . Minimalitatea este importantă pentru Reasoner din două motive: 1) Abducție; 2) Căutare eficientă. CMS-ul este un fel de “cache” inteligent care poate fi exploatat să organizeze și să controleze căutarea, astfel că mare parte din calculul Reasoner-ului poate fi evitat (înainte de a face un calcul, acesta verifică dacă acesta a mai fost realizat anterior). Înainte de a alege o valoare pentru o anumită variabilă, Reasoner-ul interoghează întâi CMS pentru a vedea dacă variabila e determinată de alegerile curente; dacă nu e determinată- se alege o valoare ce poate fi adăugată consistent la mulțimea curentă de opțiuni.

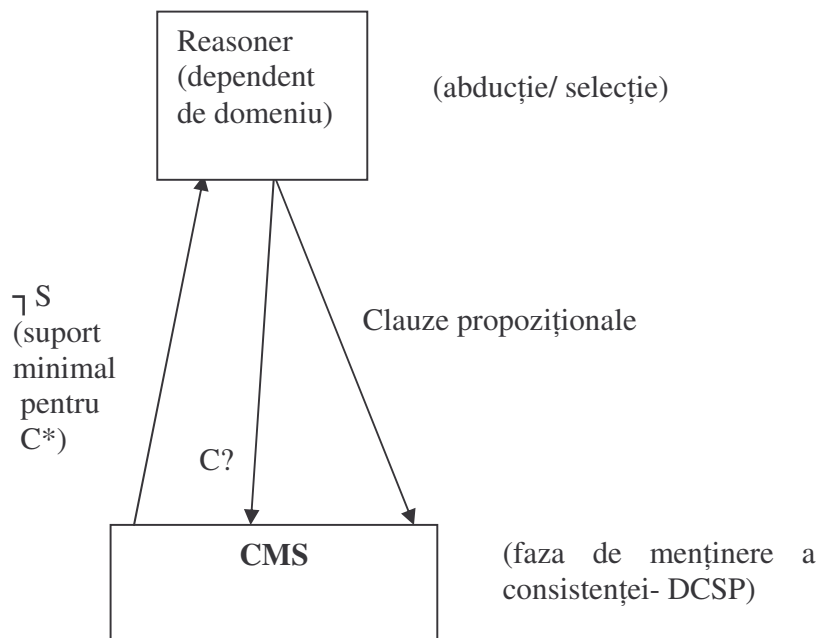
**Definiție[deKleer89b].** Prim implicant al unei mulțimi  $\Sigma$  de clauze este o clauză (disjuncție de literali)  $C$  :

1.  $\Sigma \models C$ ;
2. Nu există  $C'$  submulțime proprie a lui  $C$  astfel încât  $\Sigma \models C'$ .

**Teoremă[deKleer89b].Caracterizarea CMS.**Fie  $\Sigma =$  mulțime de clauze;  $C = \{1\}$  o clauză unitară; Atunci  $S$  este suport clauzal minimal pentru  $C$  în raport cu  $\Sigma$  dacă

Există un prim implicant  $\Pi$  al lui  $\Sigma$  astfel încât  $1 \in \Pi, S = \Pi - \{1\}$

Partea interesantă a CMS stă în faptul că atât ATMS cât și CSP sunt cazuri speciale ale sale [ReiKle87].CMS-ul este o generalizare ATMS: în ATMS, CMS este restricționat la clauze Horn (=justificările) și clauze negative (inconsistențele de tip “nogood”), iar  $C$  sunt întotdeauna literali.



\*: explicații abductive minimale pentru  $C$

**Caracterizarea ATMS[deKleer89b].** Fie  $J =$  o mulțime de justificări trimise către ATMS de către Reasoner,  $\{\alpha\}$  o interogare (query) ( $\alpha =$  simbol propozițional, ipoteză sau nu).

Atunci răspunsurile la această interogare sunt date de:

$$\{ A_1 \wedge \dots \wedge A_k \mid k \geq 0, \text{ și } \neg A_1 \vee \dots \vee \neg A_k \vee \alpha \text{ este un prim implicant al lui } J \} \quad (7.11)$$

(abducție: ipoteză= explicație (ipoteza explicativă)).

**Caracterizarea CSP[deKleer89b].** O ipoteză poate fi un simbol propozițional ce face parte dintr-o soluție propusă pentru CSP (o valoare pentru o variabilă din CSP).

## 7.5.CSP în calculul semanticii admisibile din argumentație

Am văzut până aici avantajele sistemelor de argumentare directă asupra programării logice și TMS, în abordarea abducției și consistenței, cât și avantajele semanticii admisibile pe care ne bazăm în definiția diagnosticului. Am arătat deasemenea în secțiunea anterioară legătura riguroasă care există între algoritmi CSP și abducție.

Capitolul VI a introdus bazele teoretice ale utilizării algoritmilor CSP în calculul semanticii admisibile. Am arătat acolo cum putem folosi backtracking dinamic pentru DCSP pentru a aproxima semantica admisibilă (o variantă net superioară [vezi rezultatul de complexitate backtracking dinamic] algoritmilor exponențiali bazați pe calculul părților unei mulțimi care au fost dezvoltați până acum pentru această semantică-[Doutre02], în afară de avantajul modelării dinamice a spațiului de căutare).

Am văzut, în plus, în secțiunile precedente, că în comparație cu ATMS sau LTMS, ținând cont de criteriul dimensiunii bazelor de inconsistențe (*nogoods*), metoda backtracking dinamic are un avantaj evident întrucât reține doar inconsistențele asociate cu valorile actuale ale variabilelor (celelate sunt eliminate), fiind orientat spre descoperirea unei singure soluții (poate fi însă extins cu ușurință, dacă specificul problemei o cere). În concluzie, nu numai că algoritmi DCSP sunt o abordare procedurală mai eficientă decât TMS pentru abducție, dar aceștia sunt în plus adecvați pentru ceea ce avem nevoie în aplicația noastră, adică:

- implementarea admisibilității;
- lucrul simultan cu mai multe soluții alternative (pentru a fi mai ușor comparate în vederea diagnosticului diferențial);
- incrementalitate;
- adaptare la un mediu dinamic de evidențe;
- eficienți în general.

În încercarea de a descoperi o tehnică de căutare care să se miște liber în spațiul de căutare și să memoreze ce s-a cercetat și ce nu, autorii din [GinMcAll94] au încercat îmbinarea GSAT și backtracking dinamic. GSAT este o cunoscută metodă de căutare nesistematică ce folosește o tehnică locală de tip hill-climbing. Este un fel de algoritm genetic care pornește de la o asignare completă, trece prin soluții vecine (ce diferă pe o singură poziție) încercând să minimizeze numărul de constrângeri încălcate, în căutarea unei eventuale soluții. Backtracking dinamic, în schimb, face o căutare sistematică, folosind o cantitate polinomială de informație pentru a îngusta spațiul de căutare. Am menționat această abordare aici, întrucât ni se pare apropiată de ceea ce încercăm și noi să realizăm: pasul de selecție al algoritmului corespunde GSAT- are scopul de a limita

spațiul de căutare, dar poate fi implementat prin intermediul unor tehnici inteligente care, spre deosebire de GSAT, să evite blocarea în minime locale [Mun05].

## 7.6. Alte avantaje ale argumentelor asupra TMS

În această secțiune am dori să subliniem încă un aspect în ceea ce privește avantajele abordării structurilor cauzale localizate pentru reprezentarea argumentelor (ca cele din abordarea pe care o propunem), față de abordarea TMS. Este vorba despre o suită de lucrări ale lui de Kleer & comp [deKleer90], în care autorii arată cum poate beneficia un TMS de localitatea din reprezentarea cunoștințelor pentru a-și controla și restrânge inferențele. Autorii pleacă de la ideea că mulți rezolvitori AI sunt inerent locali: fiecare parte componentă a problemei are un model de comportament fixat; și o mare parte a raționamentului poate fi văzută ca propagare (când se inferează un semnal nou, modelele componentelor implicate sunt consultate pentru noi inferențe posibile), TMS fiind potrivit pentru această propagare. Se știe în plus că Propagarea Booleană a Constrângerilor (BCP - Boolean Constraint Propagation) este eficientă dar incompletă pe CNF, deci TMS-urile sunt incomplete logic când sunt astfel folosite ("blind spots" – apar deoarece localitatea prezentă în modelul original se pierde în TMS). Pe de altă parte, satisfiabilitatea propozițională este NP-completă, dar costul completitudinii logice poate fi redus mult prin exploatarea localității. Astfel, local, în cadrul fiecărui modul, TMS este complet logic dacă se folosește BCP pe formule logice (BCP: completă pe formule logice, dar mai costisitoare).

Prin transformarea formulelor logice în CNF se pierde informația legată de localitate:

din  $\neg x \vee y \vee z$  și  $x \vee y \vee z$  și  $y=F$ , BCP nu deduce  $z=T$ .

Propunerea făcută de către de Kleer este ca mulțimea de formule (i.e. combinații de clauze) ce reprezintă un model local să fie transmisă TMS ca un singur modul, și TMS-ul să folosească o metodă de inferență completă local pe module. Extrapolând, localitatea este exploatată în modelul nostru, prin faptul că DCSP lucrează la un moment dat pe contextul asociat doar cu ipotezele de diagnostic selectate, context conținut într-un model cauzal local.

## 7.7. Concluzii și contribuții

Am văzut în capitolul de față că atât abordările CSP, cât și sistemele TMS reprezintă două formalisme înrudite pentru calculul abducției, și am prezentat avantajele și dezavantajele lor și domeniul de aplicabilitate. Am justificat, deasemenea, de ce am ales algoritmi specifici CSP în favoarea TMS (ca implementare pentru o problemă cu constrângeri), și de ce am ales sistemele de argumentare în favoarea sistemelor TMS. Prima parte a capitolului s-a dorit o justificare a faptului că sistemele de argumentare directă reprezintă un formalism cel puțin la fel de bun ca programarea logică în problema abducției (și, prin urmare, merită atenția cercetătorilor în domeniu), și a arătat, în plus, meritul semanticii admisibile față de cea stabilă prin prisma programării logice.

O contribuție importantă a capitolului stă în încercarea de sistematizare a ideilor ce stau la baza formalismelor enumerate mai sus, cu scopul de a descoperi mecanismele elementare ce apropie între ele abordări distincte, dar alăturate pe criteriul aplicabilității la aceeași problemă.

Ni s-a părut interesant să relevăm legătura între CSP (tehnica pe care am ales-o și noi pentru implementare) și abducție în general, și să detaliem, măcar parțial, unele mecanisme ale sistemelor TMS. Acestea din urmă au fost alese atât pentru că reprezintă o modalitate notabilă de abordare a raționamentului nemonoton, cât și pentru faptul că am considerat util să aducem în prim plan, pentru comparație, o alternativă de exploatare a conceptului de “localitate”, întâlnit atât în rețelele cauzale cât și în sistemele de argumentare directă.

Ideile prezentate ne-au servit, în final, la accentuarea avantajelor utilizării de algoritmi CSP pentru semantica admisibilă din argumentație.

## VIII. Argumentarea deciziei de diagnostic în DiaMed

Capitolul de față descrie în detaliu algoritmul asociat cu nivelul de discriminare și explicare al sistemului hibrid DiaMed [MunDum06a], algoritmul care este o îmbunătățire a versiunii prezentate în Capitolul VI, astfel încât dinamica constrângerilor să fie determinată practic de rezultatele testelor medicale. Un exemplu relevant încheie capitolul, cu prezentarea facilităților oferite de program.

### 8.1.Reprezentarea cunoștințelor

Modelul pe care îl propunem conține asocieri cauzale clase-caracteristici reprezentate cu ajutorul următoarelor componente.

*Clasele de diagnostic* (de exemplu bolile, în cazul medical) sunt modelate în abordarea noastră sub forma unor *rețele cauzale* de tip special, cu mai multe tipuri de noduri și arce, și care rezumă modelul cauzal profund al modelului. Astfel, există trei tipuri de noduri:

- noduri rădăcină, asociate claselor (ipotezelor de diagnostic), corespund unor cauze profunde, primare, ale manifestărilor observate (redate cu roșu, cele cu roz sunt folosite pentru reprezentarea complicațiilor);
- noduri corespunzătoare manifestărilor (simptomelor) de profunzime (inaccesibile sau accesibile cu dificultate, prin teste invazive, costisitoare, consumatoare de timp;
- noduri ce corespund unor simptome superficiale, direct/ ușor observabile.

Nodurile asociate simptomelor (observate sau nu) sunt de două tipuri: **necesare** sau **suplimentare**. Cele colorate în albastru reprezintă manifestările profunde, mai greu accesibile, iar cele în verde sunt manifestările superficiale, accesibile prin observații directe asupra pacientului. Infirmitatea la testare a unui simptom necesar atrage după sine eliminarea completă a ipotezei de diagnostic corespunzătoare.

Arcele ce leagă nodurile în cadrul rețelei cauzale sunt de asemenea de mai multe tipuri:

1. Implicații necesare: prezența cauzei atrage întotdeauna după sine apariția consecinței;
2. Implicații posibile: cauza *poate* atrage după sine apariția consecinței, dar nu este obligatoriu; (observăm că această incertitudine își are de fapt originea într-o incompletitudine a modelului: există anumite elemente/condiții suplimentare care influențează validitatea implicației dar care nu au fost modelate explicit);

3. Atacuri bi- sau unidirecționale): modelează, în principiu, elemente ce nu pot apărea simultan în cadrul aceluiași sistem .

Fiecare clasă de diagnostic este definită de câte o astfel de rețea cauzală, ce conține toate elementele posibile relaționate cu clasa respectivă, organizate pe nivele din ce în ce mai superficiale, și deci mai accesibile observației directe asupra sistemului. Nodurile intermediare între rădăcină și frunze sunt, de obicei, fie inaccesibile, fie greu accesibile (prin teste costisitoare, de lungă durată și/sau invazive), și gradul de accesibilitate crește pe măsură ce ne apropiem de frunze (Figura 8.1)

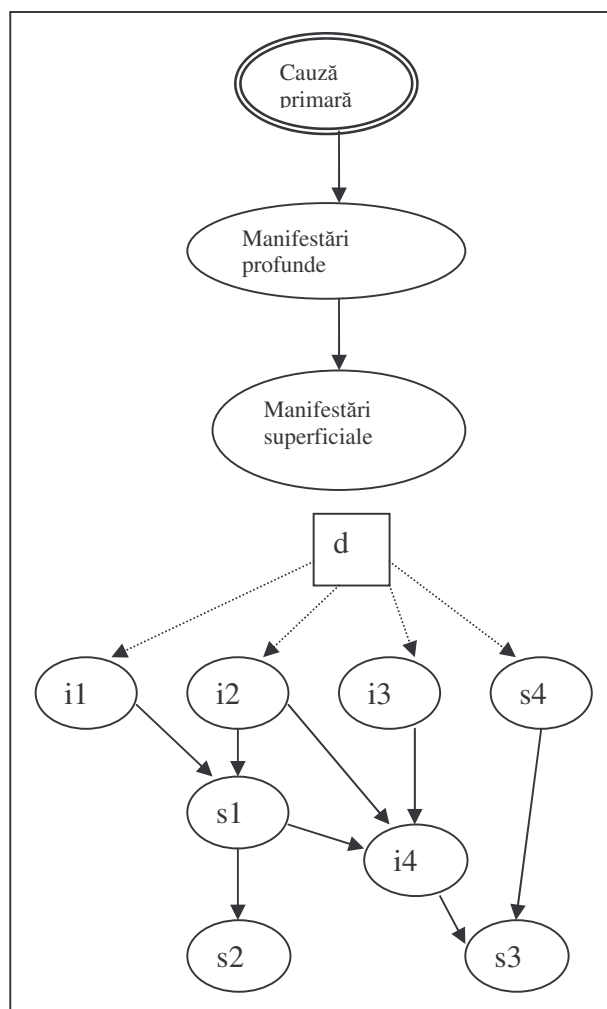


Figura 8.1. Structura generală a unei rețele cauzale și un exemplu de subrețea (d-boală, i-noduri intermediare inaccesibile, s -simptome testabile)



**Definiție.** Se numește *argument* asociat unei anumite clase o instanță a rețelei cauzale ce definește clasa. O instanță a unei rețele cauzale este o submulțime a nodurilor sale ce conține cel puțin o manifestare observată (restul fiind presupuse adevărate).

Propunem în continuare o definiție originală și naturală a unui diagnostic multiplu.

**Definiție.** Un *diagnostic multiplu* (i.e. o mulțime nevidă de boli posibile la un pacient dat) este o mulțime admisibilă<sup>4</sup> de ipoteze<sup>5</sup> care acoperă toate observațiile, și este minimală cu această proprietate.

**Exemplu.** Fie 3 argumente  $A=\{\text{leucemie}\}$ ,  $B=\{\text{nivel PT,PTT normal}\}$ ,  $C=\{\text{medicamente care afectează nivelul PT,PTT}\}$ . Relația de atac este dată de graful:  $A\leftarrow B\leftarrow C$ . Atunci  $A$  este acceptabil în raport cu  $C$ ,  $C$  fiind o apărare a lui  $A$  față de atacul  $B$ . Deci  $\{A,C\}$  este o mulțime admisibilă, și în acest caz “leucemie” este un diagnostic posibil în contextul definit de  $C$ .

**Observații.** Dung a observat că relațiile de atac între argumente în raționamentul implicit depind doar de asumțiile (ipotezele) pe care se bazează acele argumente, și a propus o definiție a argumentului ca fiind o deducție ale cărei premize sunt toate asumțiile; în plus, argumentul  $a$  atacă argumentul  $b$  dacă  $a$  atacă o asumție pe care  $b$  se bazează. (Un argument atacă o asumție  $a$  când concluzia lui  $a$  este contrariul *not a* al lui  $a$ ).

#### Observații.

- Un argument corespunde configurației particulare de simptome prezentă în cadrul cazului observat, prin care clasa se manifestă, și care poate varia de la pacient la pacient.
- Merită să comparăm în acest punct anumite aspecte pentru a elimina eventualele confuzii: dacă rețelele bayesiene și cauzale din Capitolul III sunt structuri suport ce sintetizează pași de inferență statistică, și inferența se realizează exclusiv pe baza acestor structuri, după anumiți algoritmi probabiliști, rețelele cauzale din abordarea noastră sunt un mod de reprezentare compactă a unor module din modelul medical, inferența realizându-se nemonoton cu ajutorul relației de atac. Un argument poate fi privit aici drept o instanță a unei clase a modelului, instanță ce este adăugată/ ștearsă dinamic din contextul curent ținând cont de atacuri.

**Definiție.** *Graful de atac abstractizat* este, simplu, graful de atac luat în considerare între argumentele ce conțin nodurile ce se atacă (presupunem că nu există noduri ce se atacă în cadrul aceluiași argument).

Atacurile folosite concret în modelul nostru sunt în principiu de trei tipuri. În primul rând se atacă două cauze alternative pentru același efect (cum se vede și în Figura 8.2.), în ideea că doar una dintre ele a provocat efectul respectiv și este nefolositor să le considerăm pe ambele “in”. Situațiile care ar infirma acest model sunt probabil foarte

---

<sup>4</sup> A se vedea definiția din Secțiunea 6.2.2.

<sup>5</sup> considerăm drept ipoteză orice boală activă, ce poate fi asimilată cu argumentul ce o susține.

rare, dacă există. În cadrul celor 30 de boli alese pentru exemplificare și al exemplelor rulate noi nu am întâlnit o astfel de infirmare.

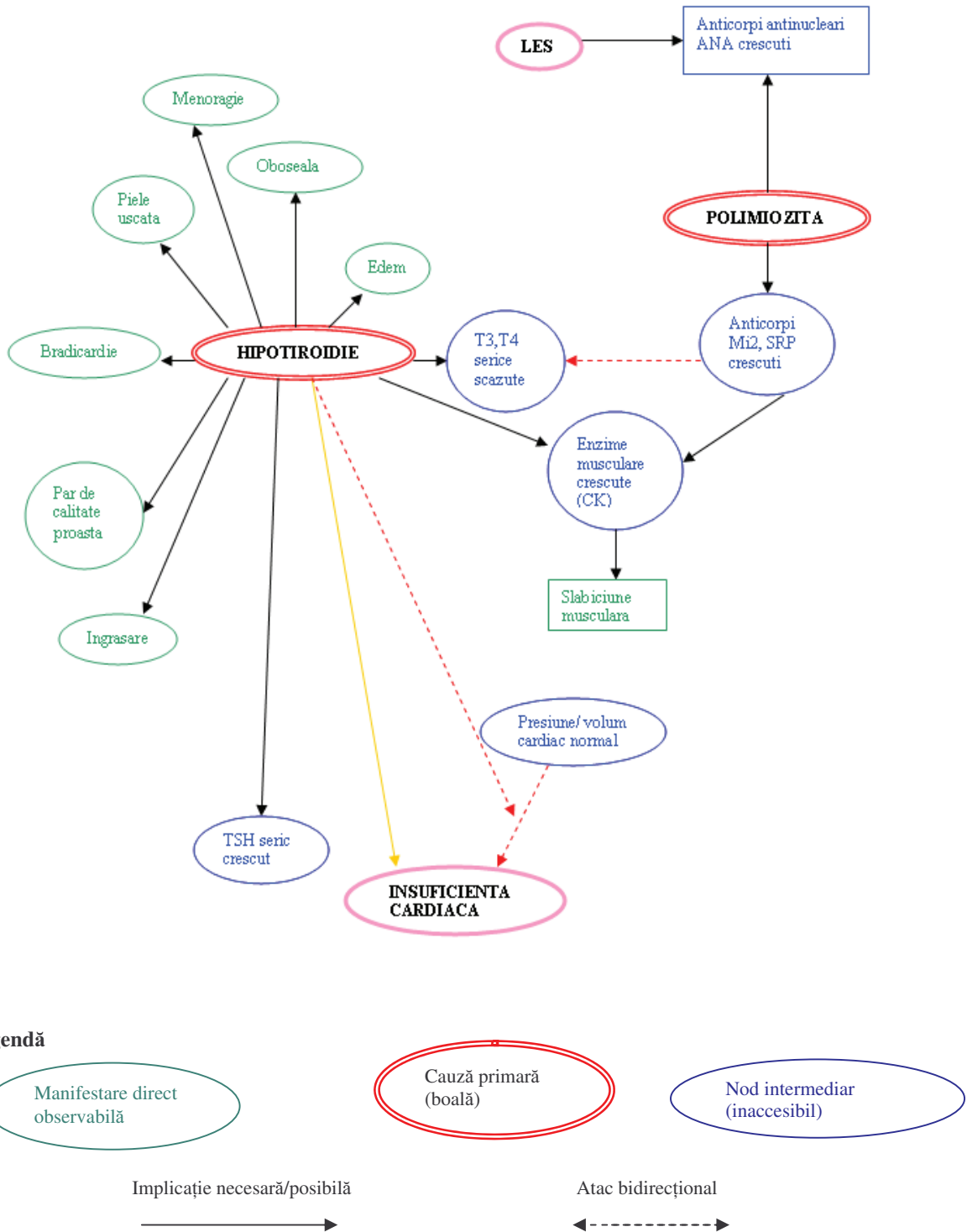


Figura 8.2. Exemplu de dependențe cauzale

Al doilea tip de atac este descris de următoarea situație: dacă o boală **b** se poate manifesta sub forma unei boli **a**, astfel că deseori **b** se confundă cu **a**, atunci considerăm că **b** atacă **a**. Ideea este că inițial se presupune **a**, dar teste suplimentare infirmă **a** și confirmă **b**. Acest atac sintetizează de fapt experiența practică a experților asupra unei anumite ordini temporale posibile de apariție a ipotezelor în cadrul raționamentului. Spre exemplu, insuficiența cardiacă atacă ciroza, deoarece uneori insuficiența se confundă cu ciroza.

În sfârșit, al treilea tip de atac este definit de inconsistența logică: dacă în insuficiența cardiacă este necesar ca presiunea și volumul cardiac să fie afectate, am considerat că “presiune și volum cardiac normal” atacă direct (prin abstractizare) insuficiența cardiacă. Există însă excepții care complică această situație; spre exemplu, în hipotiroidie avem insuficiență cardiacă fără ca presiunea sau volumul să fie afectate (mecanismul de producere fiind diferit: hipocalcemia) așa că am considerat că hipotiroidia atacă direct “presiune volum cardiac normal”, în contextul “insuficiență cardiacă”. Altfel spus, hipotiroidia este o apărare a insuficienței cardiace în fața “presiune/volum cardiac normal” (vezi și graful de atac din Figura 8.6). De fapt, în această excepție, avem tot atac de tipul “cauză alternativă”, așa că nu l-am tratat separat.

## 8.2. Modelarea problemei în cadrul DCSP

### Notatii.

- Ipoteze de diagnostic:  $d_1, \dots, d_N$  ( $N$  clase (boli) în total);
- Rețelele cauzale asociate ipotezelor de diagnostic:  $C_1, \dots, C_N$ ;
- Argumente:  $A_1, \dots, A_L$  ( $L$  instanțieri posibile ale rețelelor cauzale);
- $\mathbf{Ip} = \{d_1, \dots, d_t\}$  -mulțimea de ipoteze selectate, eventual ordonate descrescător după ponderea primită la selecție;
- $\text{Manifestări\_Confirmate} = \{mc_1, \dots, mc_k\}$  mulțimea manifestărilor confirmate (true);
- $\text{Manifestări\_Infirmate} = \{mi_1, \dots, mi_p\}$  mulțimea manifestărilor infirmate (false);
- $\text{Context} = \text{Manifestări\_Confirmate} \cup \text{Manifestări\_Infirmate}$  -mulțimea totală de simptome confirmate sau infirmate prin testare;
- $G_a$  - graful de atac abstractizat restricționat la mulțimea  $\mathbf{Ip}$ ;
- Ne vom folosi de o partiționare a mulțimii  $\mathbf{Ip}$  în:  $\text{Ipoteze\_infirmate}$ ,  $\text{Ipoteze\_considerate}$ ,  $\text{Ipoteze\_noi}$ .

Așadar, pornind de la  $\text{Manifestări\_confirmate}$ , se face selecția prin decizie fuzzy (faza abductivă a generării de ipoteze) și se ajunge la mulțimea de ipoteze active:  $\{d_1, \dots, d_t\}$ , cu rețelele cauzale asociate  $C_1, \dots, C_t$ . Într-un prim pas, se calculează tot ceea ce este legat de manifestările confirmate/ infirmate prin relații deterministe (de exemplu, un nod atacat al cărui atac este *true* și atacul nu e defensibil, va fi sigur *fals*). Nodurile rămase din rețelele activate netestate încă formează mulțimea de variabile active  $\text{Var\_Active} = \{V_1, \dots, V_p\}$  pe care se aplică algoritmul backtracking dinamic pentru CSP dinamice [VerSchi] într-o formă adaptată (faza de testare a consistenței). Variabilele active sunt asociate de obicei cu noduri defensibile: au statutul “in” (presupus adevărat) sau “out” (presupus fals) la un

moment dat, dar pot fi reînstate/ contrazise pe parcurs. Constrângerile active ale algoritmului CSP -*Constr\_Active*- sunt cele în care este implicată cel puțin o variabilă activă. După cum s-a definit, un diagnostic multiplu este o soluție minimală- adică o mulțime admisibilă, complet acoperitoare și minimală. (Practic, în implementare am simplificat lucrurile prin introducerea în *Var\_Active* direct a ipotezelor de diagnostic, acolo unde a fost posibil).

Într-o reprezentare sistemică, avem:

- **Intrări**= Simptome observate;
- **Stare sistem**= Contextul selectat de boli;
- **Ieșiri**= soluțiile posibile, i.e. combinații admisibile (acoperitoare sau nu) de ipoteze.

Evidența nodurilor testate se ține cu ajutorul mulțimilor *Manifestări\_confirmate* (conține ipoteze de diagnostic sau simptome ce le susțin) – utilizate pentru explicația finală și *Manifestări\_infirmate* - utilizate pentru a nu reactiva prin selecție ipoteze/ noduri înfrânte deja.

Toate cele trei tipuri de implicații ce pot apare într-o rețea causală sunt reprezentate drept constrângeri binare (reprezentare inspirată din BCP- Boolean Constraint Propagation), astfel:

- Implicații necesare:  $a \rightarrow b : C_{ab} = \{00, 11, 01\}$ ;
- Atacuri:  $a \vdash b : C_{atac} = \{10, 01, 00\}$ ;
- Implicațiile posibile nu restrâng cu nimic domeniul posibil de valori pentru perechea de variabile implicate, astfel că acesta va fi  $\{00, 01, 10, 11\}$ .

Fie:

$Cons(v)$ = constrângerile în care apare variabila  $v$ ;

$Var(c)$ = variabilele ce apar în constrângerea  $c$ .

Mulțimea constrângerilor curente *Constr\_Active* se definește natural:

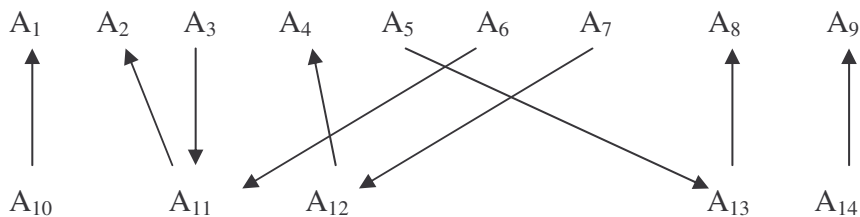
$$Constr\_Active = \bigcup_{v \in Var\_Active} Cons(v). \quad (8.1)$$

**Definiție.** Se numește *soluție* a problemei o asignare completă și consistentă de valori de adevăr pentru toate variabilele active (activate prin selectarea anumitor ipoteze), și care acoperă toate manifestările confirmate. O soluție cu un număr minim de noduri-ipoteze se numește soluție *minimală*. Aceasta corespunde definiției diagnosticului multiplu de mai sus.

Mai multe soluții (nu neapărat minimale)- se pot ierarhiza după *gradul de determinare*, un indice original descris în continuare.

### Grad de determinare

Facem presupunerea (naturală, dealtfel,) că nu există noduri care să se atace în interiorul aceluiași argument. Aceasta înseamnă că putem abstractiza relația de atac de la nivelul simptomelor la nivelul ipotezelor. Astfel, avem un graf de atac aciclic  $G_a$  de forma (spre exemplu):



**Definiție.** Se numește *grad de determinare* al unui argument  $A$  numărul:

$$\det(A) = \left[ \frac{|noduri\_necesare_c(A)|}{|noduri\_necesare_a(A)|} \right] +_u \left[ \frac{|noduri\_suplimentare_c(A)|}{|noduri\_suplimentare_a(A)|} \right], \quad (8.2)$$

unde  $necesare_c(A)$  reprezintă mulțimea nodurilor necesare confirmate din argumentul  $A$ , iar  $necesare_a(A)$  este mulțimea nodurilor sale necesare asumate (similar pentru “suplimentare”), iar “+<sub>u</sub>” este varianta “unfair” a legii combinării evidențelor a lui Bernoulli:

$$e_{1+u}e_2 = e_1 + (1 - e_1) * e_1 * e_2 .$$

**Definiție.** Dacă  $S_1, S_2$  sunt submulțimi de argumente, definim relația de ordine “ $\triangleleft$ ” astfel:  $S_1 \triangleleft S_2$  ddacă  $\det(S_2) > \det(S_1)$  sau  $\det(S_2) = \det(S_1)$  și  $S_2$  minimală (conține mai puține argumente-ipoteze decât  $S_1$ ). (Ne-am inspirat aici din noțiunea de “minimal-defence” din Definiția din Secțiunea 6.1.4).

Gradul de determinare poate fi efectiv folosit în algoritm pentru compararea calității soluțiilor alternative.

### 8.3.Algoritm

1.Se ordonează  $Var\_Active$  pornind de la variabilele cele mai constrânse (aceasta reprezintă o euristică binecunoscută pentru eficientizarea algoritmilor CSP). Întrucât atacul este constrângerea cea mai restrictivă, se poziționează pe primele locuri variabilele implicate în atacuri;

2. Am adaptat algoritmul de backtracking dinamic [VerSchi] pentru mulțimea  $Var\_Active$  [Verfaillie, Schiex], cu constrângerile asociate-  $Constr\_Active$ , pentru calculul diagnosticului, după cum urmează.

(Noduri  $In$  sau  $Out$ , =noduri defensibile (ce pot fi ulterior atacate)).

#### Inițializări

Fie  $V_1 = \emptyset$  mulțimea de variabile asignate,  $V_2 = Var\_Active$  mulțimea variabilelor neasignate; se inițializează *Domeniile* variabilelor cu mulțimea  $\{in, out\}$ .

#### dbt(csp)

$V$  = mulțimea de variabile a problemei CSP;  
return **dbt-variabile**( $\emptyset, V$ ).

#### backward-checking(V, v, val)

-verifică valoarea curentă  $val$  a variabilei  $v$  față de valorile variabilelor din  $V$  (=  $V_1$  curent reunit, eventual, cu variabilele fixate din asignarea inadmisibilă ce se încearcă a fi extinsă) și întoarce prima constrângere încălcată ( $c$ ) sau *succes* (dacă nu există o astfel de constrângere);

-concret, se verifică dacă valoarea  $val$  este admisibilă în contextul actual astfel:

1. dacă  $val = "in"$ ,  $val$  este admisibilă dacă nu atacă (e atacată de) un nod asignat deja ca fiind "in";
2. dacă se încearcă atribuirea valorii  $val = "out"$  nodului curent  $n$  și dacă el atacă un nod  $m$  "in", trebuie să existe un nod "in" care atacă nodul  $n$ ;

#### crează-explicație-eliminatorie(v, val, V)

-reține mulțimea de variabile  $V$  (o lista de variabile cu valorile lor asociate) ca o explicație pentru eliminarea valorii  $val$  din domeniul variabilei  $v$ ;

#### sterge-explicații-eliminarii(v, V)

-pentru toate variabilele din  $V$  șterge explicațiile eliminarii care conțin variabila  $v$ -trebuie reactualizat domeniul pentru  $V_4 \cup V_2, V_4$  de la pasul (\*);

#### dbt-valoare(V1, v, val)

-verifică dacă în contextul definit de  $V_1$  (variabile asignate deja), valoarea  $val$  pentru variabila  $v$  este admisibilă:

$v \leftarrow val$ ;

$c = \text{backward-checking}(V_1, v)$ ;

if ( $c = \text{succes}$ ) then return *succes*;

else {  $V_3 \leftarrow$  mulțimea de variabile din constrângerea  $c$ ;  
crează-explicație-eliminatorie( $v, val, V_3$ );  
return *failure*; }

#### dbt-variabile (V1, V2)

// $V_1$  este mulțimea variabilelor asignate,  $V_2$  – a celor neasignate;

---

```

if( $V_2 = \emptyset$ ) then {if ( $V_2$  este o acoperire completă și admisibilă a simptomelor prezente)
    afișează soluția;
    Soluții=Soluții  $\cup$  Soluția_curentă;
    • aici se propune utilizatorului o ierarhizare a soluțiilor în funcție de gradul de
      determinare, însoțite de explicațiile corespunzătoare (argumentele asociate
      fiecărei ipoteze); utilizatorul are în plus posibilitatea de a opri algoritmul în acest
      punct;

      if ( $V_2$  inadmisibilă) se reține într-o listă asignarea curentă pentru a putea fi
      eventual extinsă ulterior; variabilele sale vor fi fixate, rolul său fiind limitat la
      verificarea admisibilității;}

else {găsit=false;
      v← o variabilă din  $V_2$ ;
      d= domeniul curent al variabilei v;
      val← o valoare din d;
      if (dbt-valoare( $V_1, v, val$ )) then
      {găsit=true; v←val; Asignare.add(v, val);
        $V_1 = V_1 \cup \{v\}; V_2 = V_2 - \{v\};$ 
       dbt-variabile( $V_1 \cup \{v\}, V_2 - \{v\}$ );}
      if (găsit=false) then dbt-bt-variabilă( $V_1, V_2$ );
      (nu mai am valori pentru v, trebuie să deasignez un conflict al său)
      }//end else
    
```

### dbt-bt-variabilă ( $V_1, V_2, v$ )

$V_3 \leftarrow$  mulțimea de conflicte a lui v (= uniunea explicațiilor eliminatorii ale valorilor eliminate ale lui v);

if ( $V_3 = \emptyset$ ) then {//nu există soluții pentru variabilele curente;

date-noi=testează();

-se reia pasul de selecție cu mulțimea reactualizată de teste (cele vechi + cele nou testate în cadrul pasului de discriminare curent):

**creaza\_Contexte** (date);

AC=constrângerile ce definesc noul context de ipoteze;

RC=constrângerile asociate cu contextele în care un nod necesar a fost atacat de nodurile corespunzătoare simptomelor nou testate;

### Reactualizare constrângeri pe baza testării:

Nodurile accesibile se testează și:

- Se șterg din *Var\_Active*;
- Dacă sunt confirmate și înfrâng un nod necesar al unei ipoteze, toate constrângerile asociate ipotezei respective se șterg (se șterge din *Var\_Active* și nodula asociat ipotezei însăși);

- Dacă sunt infirmate și sunt noduri necesare pentru o ipoteză, această ipoteză se șterge din *Var\_Active* și constrângerile asociate ei se șterg din *Constr\_Active*.

(Am definit astfel în mod natural și un plan de testare original semi-automat pentru procesul de diagnoză).

**ddbt( $V_1, V_2, AC, RC$ );}**

else { ( $V_3 \neq \emptyset$ ):

Se revine și se deasignează ultima variabilă din  $V_3$  (adică ultima ipoteză făcută care e în conflict cu  $v$ , variabila pentru care nu se mai găsesc soluții).

$v' \leftarrow$ ultima variabilă  $\in V_3$  din  $V_1$ ;

$val' \leftarrow$ valoarea curentă a lui  $v'$ ;

$V_4 \leftarrow$ mulțimea variabilelor de după  $v'$  din  $V_1$ ;

deasignează( $v'$ );

**crează-explicație-eliminatorie( $v', val', V_3 - \{v'\}$ );**

**șterge-explicații-eliminatorii( $v', V_4 \cup V_2$ );** (\*)

**dbt-variabile ( $V_1 - \{v'\}, V_2 \cup \{v'\}$ )}**

## 8.4.Exemplu

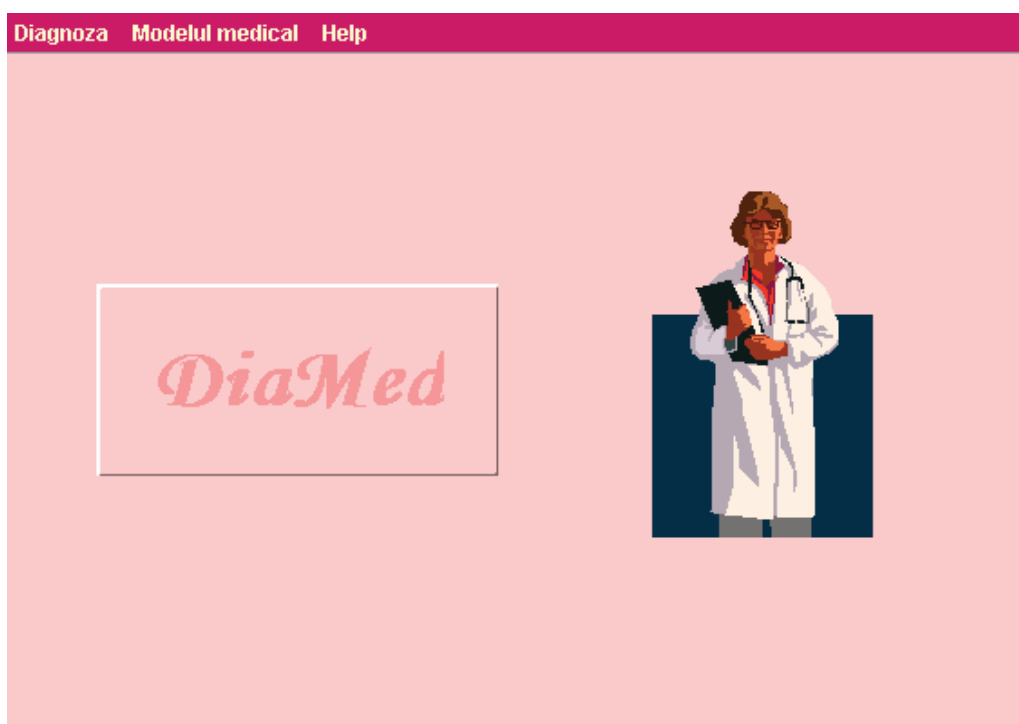


Figura 8.3. Programul DiaMed



Să presupunem că am observat inițial următoarele simptome (vezi planșele I și VI):

Manifestări\_confirmate={anorexie, aritmii, ascită, dispnee, edem, oboseală, slăbiciune musculară, anemie de boală cronică}. La o primă rulare, sistemul selectează prin decizie fuzzy următoarele ipoteze (boli), cu scor mai mare sau egal decât pragul ales (0.2):

- Angină pectorală 0.51 (BI1)
- Ciroză 0.22 (BH1)
- Hipotiroidie 0.25 (BE3)
- Infarct miocardic 0.26 (BI2)
- Insuficiență cardiacă 0.29 (BI3)
- Miocardită 0.70 (BI4)
- Pericardită 0.34 (BI5)

(Am trecut în paranteză codificarea prescurtată a bolii folosită în implementarea practică). În lista de ipoteze mai este selectat automat de către algoritm un nod cu statut special: “presiune/ volum cardiac normal” (SI32). Statutul special al nodului este dat de faptul că acesta apare în relațiile de atac în care sunt implicate ipotezele selectate (fără să fie simptom al vreuneia din boli). (Figura 8.4 prezintă graful de atac asociat contextului selectat).

Prin algoritmul CSP se obțin trei soluții admisibile minimal acoperitoare, și anume:

- Hipotiroidie, insuficiență cardiacă, miocardită(BE3, BI3, BI4)
- Hipotiroidie, insuficiență cardiacă, infarct miocardic(BE3, BI3, BI2)
- Hipotiroidie, insuficiență cardiacă, angină pectorală (BI1, BI3, BE3)

Presupunem că utilizatorul (medicul) nu este mulțumit de rezultat și vrea să completeze investigațiile cu noi teste. Aici el are posibilitatea de a completa în program simptome nou observate și poate infirma simptome necesare ale bolilor active la acest moment pentru a mai restrânge, eventual, contextul. În acest scop, o listă de simptome necesare posibile în contextul dat este construită automat de către program, și acesta este singurul indiciu automatizat care să ajute testarea. Simptomele necesare au acest statut preferențial față de cele suplimentare pentru că doar prin infirmarea lor se poate obține o restrângere a spațiului de lucru. (Figura 8.4)

În urma noilor observații, Manifestări\_infirmate={“dureri piept ce cedează la nitroglicerină”, “dureri piept ce nu cedează la nitroglicerină”, “ritm de galop”, “frecătură pericardică”}, ceea ce exclude din lista de ipoteze posibile nodurile {BI1, BI2, BI4, BI5}-adică boli pentru care anumite manifestări necesare lipsesc la pacientul observat. (A se vedea și Anexele 1-3). Manifestările infirmate susțin faptul “*presiune/volum cardiac normal*”, ce apără ipoteza „*ciroză*”. Se descoperă în plus, la testare, prezența de “anticorpi Mi2, SRP crescuți”. Acest simptom va adăuga în lista de ipoteze posibile

“Polimiozita” (BREUM3), ce a obținut un scor de 0.45. Graful de atac a devenit cel din Figura 8.6.

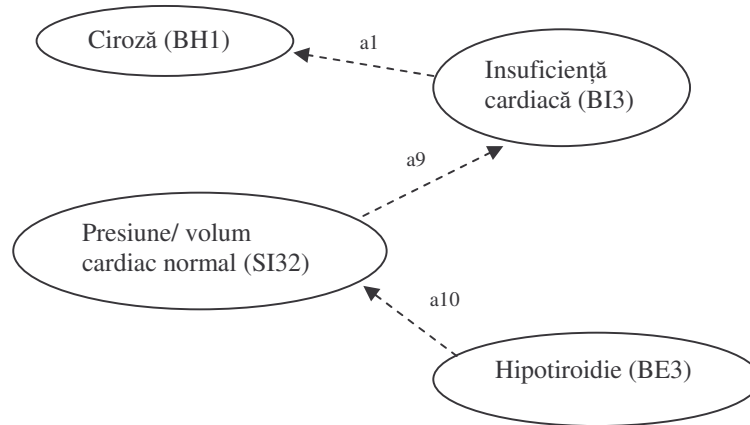


Figura 8.4. Graful de atac pentru primul context selectat

Diagnoza Modelul medical Help

**ALGORITM**

Simptome superficiale:

- POLIURIE
- RALURI\_PULMONARE
- RASH\_MALAR
- REDOARE\_MATINALA
- RITM\_DE\_GALOP
- SANGERARE\_RETROPERTONEALA
- SEMN\_TERRIER
- SLABICIUNE\_MUSCULARA
- SLABIRE

Prima rulare

Simptome de profunzime:

- ANEMIE\_DE\_BOALA\_CRONICA
- ANEMIE\_HEMOLITICA
- ANTICORPI\_ANTINUCLEARI(ANA)\_CRESCUT
- ANTICORPI\_Mi-2,SRP\_CRESCUTI
- ASLO\_CRESCUT
- BUN\_CRESCUT
- CELULE\_LE
- C3,C4\_SCAZUTE(COMPLEMENT\_SERIC)
- CONGESTIE\_VASCULARA\_IN\_PLAMAN

Reluare

Manifestari necesare:

- RALURI\_PULMONARE
- TURGESCENTA\_JUGULARA
- CONGESTIE\_VASCULARA\_IN\_PLAMA
- CRESTEREA\_VOLUMULUI\_IN\_VASEL
- PRESIUNE/VOLUM\_CARDIAC\_MARIT
- TRANSUDARE\_LICHID\_IN\_ALVEOLELE
- RITM\_DE\_GALOP
- DURERI\_IN\_PIEPT\_LA\_INSPIRATIE
- FRECATURA\_PERICARDICA

OK

Testeaza

**Solutii posibile:**

- HIPO TIROIDIE INSUFICIENTA\_CARDIACA\_CONGESTIVA N
- HIPO TIROIDIE INSUFICIENTA\_CARDIACA\_CONGESTIVA I
- ANGINA\_PECTORALA INSUFICIENTA\_CARDIACA\_CONGES

**Ipozeze infirmate:**

- ANGINA\_PECTORALA
- INFARCT\_MIOCARDIC
- MIOCARDITA
- PERICARDITA

**Solutii partiale admisibile:**

- ANGINA\_PECTORALA MIOCARDITA PERICARDITA HIPO TIROIDIE
- INSUFICIENTA\_CARDIACA\_CONGESTIVA
- INSUFICIENTA\_CARDIACA\_CONGESTIVA POLIMIOZITA
- CIROZA POLIMIOZITA
- CIROZA HIPO TIROIDIE
- CIROZA presiune/volum cardiac normal POLIMIOZITA

Figura 8.5. Exemplu (Anexa 1, planșele I, VI)

La reluarea algoritmului, se încearcă extinderea asignărilor inadmisibile de la pasul precedent cu apărări. Astfel, algoritmul preia, spre exemplu, asignarea inadmisibilă {"ciroza" "in", "presiune/ volum cardiac normal" "in"} și obține în noul context o asignare admisibilă dar neacoperitoare: {"ciroza" "in", "presiune/ volum cardiac normal" "in", "polimiozita" "in"}, adică nodul BREUM3 este o apărare a mulțimii {SI32, BH1}, față de posibilele {BI3, BE3} activate de evidențe.

Concluzia este că am reușit să simulăm dinamica spațiului de căutare în funcție de datele noi și infirmările ipotezelor anterioare foarte aproape de modul de raționament al unui expert uman (acesta are totuși ultimul cuvânt în decizia de diagnostic).

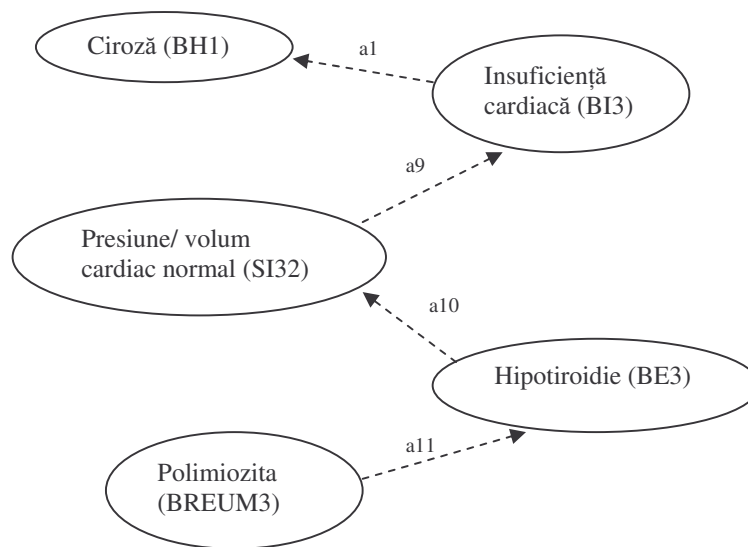


Figura 8.6.Graful de atac pentru al doilea context selectat

În secțiunea "Soluții posibile" apar combinații admisibile de boli complet acoperitoare ale simptomelor, iar în secțiunea "Soluții parțiale admisibile" sunt combinații admisibile neacoperitoare dar cu scor ridicat. Acest scor a fost folosit în cadrul algoritmului ca o euristică foarte utilă în eliminarea combinațiilor mai puțin probabile, ceea ce a redus timpul de calcul de câteva ori (euristica abandonează asignările de scor scăzut, scorul fiind proporțional cu ponderea simptomelor acoperite în cadrul bolilor asignate ca "in").

## 8.5.Concluzii și contribuții

Abordarea DCSP din algoritmul de mai sus reprezintă o traducere eficientă a mecanismului de remodelare dinamică a contextului de lucru pe baza evidențelor aduse de procesul de testare, permițând lucrul pe secțiuni limitate ale modelului. Adăugarea și ștergerea de ipoteze ca urmare a selecției reluate după re-completarea testelor stă la baza

constrângerilor de activitate, adăugând/ștergând din variabilele problemei, pe baza unor reguli dependente de domeniu. Constrângerile de activitate asociate problemei aDCSP de activare/inactivare a variabilelor sunt conținute implicit în funcțiile de decizie fuzzy și instanțele activate ale rețelelor cauzale (i.e argumentele).

Backtracking dinamic pentru DCSP este o metodă incrementală, ce pastrează subsoluția validă la tranziția spre alte porțiuni ale modelului. În plus, ni se oferă flexibilitate: ipotezele sunt generate chiar atunci când nu avem informații suficiente, dar avem posibilitatea să reconsiderăm aceste ipoteze dacă suntem confrunțați cu necesitatea păstrării coerenței în fața a noi evidențe;

Prin algoritmul de mai sus s-a arătat, deasemenea, cum poate fi folosit DCSP pentru calculul (aproximativ al) semanticii admisibile; mai precis, CSP este o tehnică validă de determinare a admisibilității unei mulțimi de argumente, iar versiunea dinamică permite determinarea contextuală acestei proprietăți ce este, în mod natural, dependentă de context; avem așadar o metodă constructivă și eficientă de calcul aproximativ a semanticii admisibile.

O altă contribuție originală este dată de definiția naturală și originală a diagnosticului multiplu folosind semantica admisibilă a argumentelor, și de indicele original de calcul a gradului de determinare al unui argument. S-a propus pentru argumente o definiție originală, adaptată domeniului studiat, care structurează informația, grupând bolile pe nuclee posibile de interacțiune.

În câteva cuvinte, mecanismul de ștergere și adăugare de constrângeri folosit surprinde cu fidelitate, într-o manieră sistematică și eficientă în același timp, mecanismul de retragere și adăugare de încrederi propriu raționamentului nemonoton. Avantajul principal față de sistemul CHECK al acestei abordări a nonmonotonicității la nivelul rafinării ipotezelor în DiaMed, stă în faptul că folosește o metodă tratabilă, eficientă, spre deosebire de abordarea logică a abducției indirecte ce determină sursa eventualelor inconsistente în CHECK.

Am prezentat, așadar, o abordare originală, pe bază de logica argumentării și algoritmi DCSP a raționamentului nemonoton în general (și care poate fi utilă în discriminarea și rafinarea mulțimii de ipoteze de diagnostic în special). Așa cum observau autorii în [BreDix97], “cercetările ulterioare în domeniul raționamentului nemonoton trebuie să pună mai mult accentul pe aspectele computaționale”, întrucât acest domeniu “va avea un impact de durată asupra domeniului Inteligenței Artificiale în general, numai dacă va pune la dispoziție instrumente utile oamenilor în rezolvarea problemelor lumii reale”. Acest citat subliniază importanța și semnificația algoritmului prezentat în Secțiunea 8.3. În plus, am făcut legătura în această lucrare între semantica admisibilă și diagnosticele multiple, justificând apropierea la nivel intuitiv a celor două noțiuni, și am arătat cum semantica admisibilă se poate calcula prin algoritmi CSP. Am arătat, mai mult, cum varianta dinamică a acestor algoritmi se poate adapta pentru a pune la dispoziție un instrument deopotrivă eficient și sistematic pentru raționamentul nemonoton. Prezentarea,

deși poate fi utilizată pentru diagnoză în general, s-a orientat spre specificul diagnozei medicale, pe care am avut-o în vedere în cadrul sistemului DiaMed.

## IX. Aplicații ale algoritmului DiaMed în diagnoza sistemelor dinamice

### 9.1. Introducere

Ne-am propus în capitolul curent să adaptăm abordarea DiaMed pentru diagnoza sistemelor dinamice și să o comparăm cu alte abordări înrudite ale acestei probleme [MunDum06c]. Termenii de referință ai acestei comparații sunt sistemele de inferență fuzzy (în forma propusă de Frank în [Fran96]), și algoritmul lui Koscielny [KoSedZac99] de ajustare dinamică a bazei de reguli fuzzy pentru diagnoză, folosit pentru eficientizarea calculului în cazul sistemelor complexe, de dimensiuni mari.

Am stabilit deja în Secțiunea 3.4.2 că diagnoza sistemelor dinamice presupune două etape principale, distincte: detectarea defectelor și diagnoza defectelor. Am exemplificat la momentul respectiv câteva abordări posibile ale etapei de detectare a defectelor (prin generarea de reziduuri). Ne vom concentra aici numai asupra etapei de diagnoză a defectelor, întrucât aceasta este etapa în care abordarea DiaMed își poate dovedi aplicabilitatea și utilitatea.

### 9.2. Decizie fuzzy sau sisteme de inferență fuzzy

#### a) Sisteme de inferență fuzzy în modelarea sistemelor și diagnoza defectelor

Subsecțiunea prezintă ilustrează cum se poate utiliza logica fuzzy în motorul de inferență decizional pentru diagnoza defectelor.

Un model analitic precis și fidel al unui sistem dinamic va conduce la inconveniența ca orice eroare de modelare să afecteze performanțele schemei de detectare și izolare a defectelor (FDI), în special în cazul sistemelor nelineare și incerte (adică majoritatea sistemelor reale) [Cal01]. Această problemă poate fi evitată prin aplicarea regulilor și logicii fuzzy, înlocuind astfel un model exact prin descrierea comportamentului sistemului sub forma unor relații de tipul *if-then*. Logica fuzzy are în plus avantajul reprezentării naturale a informațiilor simbolice, lucru de foarte mare ajutor în multe situații.

Frank [Fran96] propune o abordare bazată pe logica fuzzy pentru evaluarea reziduurilor, pentru a izola defectele. Fie  $R = \{r_1, r_2, \dots, r_m\}$  mulțimea de reziduuri. Fiecare reziduu  $r_i$ , ( $i=1, \dots, m$ ), este descris prin intermediul mulțimilor fuzzy  $\{r_{i1}, r_{i2}, \dots, r_{is}\}$ , ale căror funcții de apartenență se pot identifica fie prin cunoștințele unui expert, fie prin învățare cu rețele neurale. Relațiile cauzale între reziduuri și defecte se pot exprima prin reguli *dacă-atunci* de forma:

$$DACĂ (efect = r_{ip}) \text{ȘI} \dots \text{ȘI} (efect = r_{jq}) \text{ ATUNCI (cauza = defectul } k) \quad (9.1)$$

Ieșirea clasificatorului fuzzy este vectorul de defecte  $F$ . Procesul de inferență fuzzy asociază fiecărei componente  $F_l$ ,  $l=1, \dots, n$ , o valoare între 0 și 1 ce indică gradul în care sistemul monitorizat e normal (componenta corespunzătoare fiind  $F_0$ ) sau e afectat de către defectul  $l$ ,  $l=1, \dots, n$ . Dacă se presupune că sistemul poate fi afectat doar de un defect la un moment dat, vectorul de defecte va conține doar o componentă cu o valoare mai mare decât un prag dat, corespunzătoare defectului ce afectează sistemul. Dacă se lucrează cu ipoteza defectelor multiple, atunci toate componentele vectorului de clasificare ce depășesc pragul sunt indicatori ai defectelor apărute în sistem. Avantajul folosirii acestui clasificator fuzzy rezidă în faptul că regulile fuzzy oferă detalii asupra mapării reziduurilor într-o anumită stare de defect. Dezavantajul apare în cazul sistemelor complexe, întrucât atunci numărul de reguli devine foarte mare. O soluție a acestei probleme este propusă în [KoSedZac99]. Menționăm, deasemenea, că în abordarea lui Frank este necesară câte o regulă pentru fiecare valoare anormală a aceleiași variabile. Acest dezavantaj este îmbunătățit semnificativ de metoda din secțiunea următoare (practic o adaptare a etapei de selecție a ipotezelor din DiaMed).

#### b) Decizie fuzzy pentru selectarea simptomelor

Modelul de decizie fuzzy folosit în DiaMed poate fi adaptat în diagnoza sistemelor dinamice fără modificări notabile, după cum se observă în continuare.

Cheia reprezentării din DiaMed este să definim defectele  $F = \{f_1, \dots, f_N\}$  cu ajutorul unor funcții de decizie ponderate ( $F_1^{w_1}, \dots, F_N^{w_N}$ ) [Mun05]:

$$F_i^{w_i} = h_i(R_{i_1}(o), \dots, R_{i_{n_i}}(o)) \quad (9.2), \text{ unde:}$$

- $Simptome(f_i) = \{r_{i_1}, \dots, r_{i_{n_i}}\}$ , și  $i_1, \dots, i_{n_i} \in \{1, \dots, K\}$  sunt indicii reziduurilor relevante pentru defectul  $f_i$ ;
- $R_j : dom_j \rightarrow [0,1]$ , este funcția fuzzy ce definește reziduuul  $r_j$  ( $dom_j$  este domeniul funcției  $R_j$ ),
- $w_i$  este vectorul ponderilor simptomelor în definiția defectului  $f_i$ ;
- $h_i$  este o funcție de agregare bazată pe operatori fuzzy ce exprimă modul de raționare al unui expert uman; și
- $o = (R_1(o), \dots, R_K(o))$  este punctul  $K$ -dimensional al observațiilor pentru sistemul monitorizat.

Ideea ce stă la baza diagnozei este aceeași cu cea prezentată în Capitolul V: se calculează indicii  $F_i^{w_i}(o)$  care măsoară gradul de potrivire al observațiilor cu criteriul complex ce descrie defectul  $f_i$ , se compară cu un prag, și apoi se ierarhizează ipotezele selectate pe baza indicilor. Reluăm într-o notație modificată definiția unui astfel de indice din Capitolul V.

**Definiție.** Fie  $f_i \in F$ , și  $s$  sistemul monitorizat. Scorul defectului  $f_i$  la sistemul  $s$  este:

$$\text{Scor}(s, f_i) = S_g(M_{i_1}(o), \dots, M_{i_n}(o)) \quad (9.3)$$

(semnificația notațiilor a rămas aceeași). ■

Se moștenește astfel avantajul focalizării rapide a căutării pe direcțiile relevante, printr-o tehnică de calcul deopotrivă simplă și eficientă, dar care ignoră interacțiunile posibile între ipotezele de diagnostic și nu este foarte transparentă, dezavantaj depășit de metoda descrisă în Secțiunea 9.3.

### 9.3. Studiu comparativ a două abordări pentru sistemele complexe

a) Un algoritm dinamic pentru un sistem complex

Autorii lucrării [KoSedZac99] propun o metodă de a evita explozia exponențială a spațiului de reprezentare din abordarea Frank. Rezumăm în continuare ideile lor.

**Definiție [KoSedZac99].** Un sistem de izolare a defectelor (FIS: Fault Isolation System) este un cvadruplu  $\langle F, R, V, \varphi \rangle$ , unde:

- $F$  este mulțimea de stări  $F = \{f_0, f_1, \dots, f_k\}$ ,  $f_0$  este starea normală și restul sunt stările de defect;
- $R = \{r_1, \dots, r_j\}$  este mulțimea reziduurilor (simptomele);
- $V = \bigcup_{r_j \in R} V_j$ , unde  $V_j = \{v_{ji}\}$ , ( $i \in I_j$ ), este variabila lingvistică ce descrie reziduuul  $r_j$ , cu valorile sale fuzzy;
- $\varphi(f_k, r_j) = V_{kj}$  reprezintă mulțimea valorilor lingvistice ale reziduuului  $r_j$  în cadrul defectului  $f_k$  (pot exista mai multe reguli pentru același defect).

Dacă luăm ca valori fuzzy posibile ( $N+$ ,  $P$ ,  $N-$  negativ  $-$ , pozitiv = normal, negativ  $+$ ) regula corespunzătoare defectului  $f_k$  ar putea fi, spre exemplu, de forma:

$$\text{DACĂ } (v_I = N+) \text{ și } \dots \text{ și } (v_j = P) \text{ și } \dots \text{ și } (v_J = N-) \text{ ATUNCI defect } f_k \quad (9.4)$$

unde  $v_j$  sunt valorile fuzzy cu grad de realizare maxim pentru fiecare reziduu  $r_j$ .

Gradul de activare al fiecărei reguli este calculat ca un indice ce măsoară apropierea între un reziduu  $r_j$  și valorile sale obținute pentru un anumit defect  $f_k$ , diagnosticul final fiind format din defectele cu grad de activare maxim. Pentru diagnoza sistemelor complexe, abordarea este foarte greu de aplicat practic din cauza dimensiunii mulțimii defectelor și reziduurilor. [KoSedZac99] propune restrângerea dinamică a mulțimii de reziduuri cu care se lucrează efectiv la o submulțime  $R^*$ , în funcție de o mulțime de defecte posibile la un moment dat  $F^*$ .



1) *Testarea ciclică a simptomelor.*

Procedura de izolare a defectelor este lansată când un reziduu  $r_{j0}$  (posibil atașat la o alarmă) are o valoare anormală ce depășește un anumit prag  $T$ :

$$\exists r_j^0, (v_{ji} \neq P) \wedge (\mu_{ji} > T),$$

unde  $v_{ji}$  este valoarea fuzzy a reziduurului  $r_j$ , iar  $\mu_{ij}$  este gradul de realizare al valorii fuzzy  $v_{ji}$  pentru valoarea concretă a lui  $r_{j0}$ .

Inițializări:

- $R^* = R_N^*(m=0) = r_{j0}$  ( $R^*$  este mulțimea de testare, adică mulțimea reziduurilor interesante într-un context de defecte, iar  $R_N^*$  este mulțimea reziduurilor despre care se știe că au o valoare fuzzy anormală ce depășește  $T$  când e calculată pentru valoarea concretă a reziduurului respectiv;
- $F^* = \emptyset$ .

2) *Se crează FIS\*, ce include defectul curent.*

a)  $F^* = \{f_k \in F \mid \exists r_j \in R_N^*(m) \cap \varphi(f_k, r_j) \neq P\}$

( $f_k$ = defecte pentru care există un reziduu deja selectat, ce apare cu o valoare anormală în definiția lui  $f_k$ ,  $\varphi(f_k, r_j)$ = valoarea fuzzy cu care apare  $r_j$  în definiția  $f_k$ );

b)  $R^* = \{r_j \in R \mid \exists f_k \in F^*(m) \cap \varphi(f_k, r_j) \neq P\}$

(se extinde mulțimea de reziduuri cu reziduurile ce apar cu valori anormale în definiția defectelor selectate deja);

c)  $R_N^* = \{r_j \in R^* \mid (v_{ji} \neq P) \wedge (\mu_{ji} > T)\}$ .

Pașii 1 și 2 se repetă cât timp  $R_N^*$  se mai modifică. În final,  $FIS^* = \langle F^*, R^*, V, \varphi^* \rangle$  ( $\varphi^*$  este restricția lui  $\varphi$  la noile mulțimi).

*b) Rafinarea deciziei de diagnostic în DiaMed și diagnoza sistemelor complexe*

Al doilea nivel al sistemului hibrid DiaMed (folosit pentru discriminare și explicare) reprezintă o alternativă a abordării [KoSedZac99] în evitarea exploziei exponențiale a spațiului de reprezentare. Deși necesită un model mai detaliat și mai bine structurat al sistemului observat, are avantajul unor mai bune facilități de explicare a deciziei.

Abordarea DiaMed este mai potrivită pentru procesele tehnice pentru care se cunosc, măcar parțial, relații de bază între defecte și simptome, și aceste relații se pot reprezenta sub forma unor relații cauzale:

*defect → evenimente → simptome*

Este suficient să reprezentăm adecvat sistemul (după schema din Figura 8.1), pentru a putea implementa diagnoza cu ajutorul procedurii descrise de Secțiunea 8.3, și asupra căreia nu mai revenim întrucât adaptarea la noua problemă nu presupune practic nici o modificare aici.

Am subliniat la momentul potrivit faptul că algoritmul propus oferea o schemă dinamică și eficientă de abordare a raționamentului nemonoton, cu explicațiile deciziilor înglobate în structura argumentelor. Avantajul său principal față de abordarea lui Koscielny a fost subliniat deja: acesta constă în nivelul superior de transparență a deciziei de diagnostic, bazată pe un model mai detaliat al sistemului observat. În plus, structura modelului pe care lucrăm permite o schemă mai inteligentă de restricționare dinamică la un sub-model posibil din spațiul total de cautare, iar admisibilitatea este o alegere mai naturală pentru reprezentarea diagnosticelor în situații reale.

#### **9.4. Concluzii și contribuții**

Am confruntat în capitolul curent modelul hibrid DiaMed cu problema diagnozei sistemelor dinamice. Am folosit sistemele de inferență fuzzy ca termen de referință al comparației, întrucât ele reprezintă alternativa de diagnostic cea mai apropiată de decizia fuzzy. Dezavantajul DiaMed (necesitatea unui model mai complet al structurii și interacțiunilor din sistem) este echilibrat de avantajele obținute: atât precizie și explicații superioare, cât și o reprezentare mai naturală, mai nuanțată și mai ușor de interpretat. În plus, eficiența are de câștigat din faptul că modelăm efectiv mai puține variabile în sistemul de diagnoză (spre deosebire de sistemele de inferență fuzzy).

Contribuția capitolului stă în faptul că propune sistemul DiaMed ca pe o alternativă de modelare, care, atunci când dispunem de informațiile corespunzătoare asupra sistemului, poate fi o modalitate eficientă de abordare a sistemelor complexe, cu multe variabile. Am arătat, prin prezentarea algoritmului lui Koscielny, că ideea de a restructura dinamic un spațiu de căutare complex a mai fost folosită în automatică, și am argumentat teoretic faptul că DiaMed prezintă anumite avantaje (enunțate mai sus), față de algoritmul respectiv.

Atât avantajele cât și dezavantajele rămân deschise studiului practic prin implementarea pe sisteme cât mai variate și prin compararea cu alte modalități de lucru.

## X. Concluzii și direcții de dezvoltare

“-În ce direcție trebuie să merg acum?”  
„-Depinde unde vrei să ajungi.”

(Lewis Carroll: “Alice în Țara Minunilor”)

Lucrarea prezentă și-a propus o analiză a problemei diagnozei în general și a diagnozei medicale în special. Originalitatea sa stă în contribuții ce ating atât partea de modelare și raționament pentru diagnoză, cât și unele aspecte de sistematizare și comparare a abordărilor de până în prezent.

Capitolul II ne-a introdus în specificul diagnozei medicale, cu relevarea principalelor surse de dificultate și eroare și oferind o imagine detaliată a procesului de diagnoză în sine. Acest specific reprezintă justificarea teoretică a necesității abordărilor complexe din capitolele următoare. Capitolele III și IV au propus o sistematizare comparativă a tehnicilor de diagnoză de până în prezent, introducând sistemul original DiaMed în contextul general și prezentând, spre comparație, două sisteme clasice de diagnoză medicală înrudite cu el: CASNET și CHECK (DiaMed fiind o continuare posibilă a ideilor din aceste sisteme). O contribuție importantă a celor două capitole stă în faptul că acestea prezintă unele idei de tratare posibilă a diagnozei ce nu au fost încă exploatate și pot constitui punctul de plecare al unor studii viitoare. Capitolele justifică, deasemenea, utilitatea hibridizării combinate în DiaMed.

Am văzut, apoi, în Capitolul V, cum putem modela diagnosticele medicale prin intermediul unor funcții de decizie fuzzy (folosite drept funcții de discriminare pentru nivelul de selecție de ipoteze din DiaMed), și care sunt avantajele acestei modelări, comparativ cu sistemele de inferență fuzzy. Deși funcțiile de decizie în sine nu sunt o contribuție personală, felul în care le-am adaptat pentru descrierea bolilor (defectelor) este o idee originală.

Bazându-se pe nonmonotonicitatea raționamentului de diagnoză și pe necesitatea unor relații asimetrice de atac (necesitate exemplificată în Capitolul II), Capitolul VI introduce sistemele de argumentare directă ca formalism modern de reprezentare, și propune o definiție originală a diagnosticului multiplu, apelând la semantica admisibilă (specific argumentativă). Capitolul prezintă și bazele implementării eficiente a calculului acestei semantici folosind backtracking dinamic pentru algoritmi de satisfacere a constrângerilor dinamici (DCSP). O contribuție a acestui capitol este dată de traducerea mecanismului dinamic de testare din diagnoză într-o problemă de rezolvare a constrângerilor dinamică.

Capitolul VIII adaptează un algoritm eficient pentru problemele dinamice de satisfacere a constrângerilor (DCSP) la diagnoza medicală, definindu-i un model de ștergere/adăugare de constrângeri bazat pe rezultatele testelor medicale, obținute în cursul investigării unui anumit pacient, și implementează efectiv acest algoritm în sistemul DiaMed. În plus, am folosit un model original de reprezentare a cunoștințelor în medicină, model bazat tot pe argumente.

Capitolul IX arată că tehnologia de modelare din DiaMed nu este restricționată la probleme de tip medical și se poate adapta sistemelor dinamice, în măsura în care există un model adecvat pentru defectele acestora, aducând unele avantaje în cazul sistemelor complexe.

Ca o concluzie finală, credem că lucrarea noastră constituie o pledoarie pentru sistemele de argumentare directă și pentru aplicabilitatea lor la problemele dificile ale lumii reale.

Am subliniat deja realizările și avantajele sistemului original DiaMed propus de lucrarea noastră. Ca întotdeauna însă, se poate merge și mai departe. Încă nu am răspuns la o întrebare importantă: cum anume este corect să fie măsurată puterea de discriminare a unui test cu răspuns multiplu. Deasemenea, am lăsat o parte importantă a testării la decizia utilizatorului (nu am automatizat decât parțial acest proces), și ar mai fi cu siguranță multe de adăugat pe marginea testării, care poate constitui, singură, subiectul unui tratat. Deasemenea, modul de reprezentare poate fi îmbunătățit, iar modelul medical necesită completări serioase din partea unei echipe de specialiști, pentru a face posibilă o evaluare în funcție de un set semnificativ de date reale. Ar mai merita studiat în continuare impactul tehnicilor inteligente asupra căutării regulilor aplicabile în inferența propozițională în general.

Așa cum argumentam în Capitolul II, diagnoza medicală este una dintre cele mai dificile probleme de raționament uman. A automatiza diagnoza medicală înseamnă, practic, a automatiza gândirea umană. Ceea ce probabil că nu se va realiza niciodată pe deplin. Și poate că, de fapt, nici nu este de dorit.

## Bibliografie

[Ake78]S.B.Akers (1978): “Binary Decision Diagrams”, *IEEE Trans. On Computers*, vol. C-27, no.6, :509-516;

[And89]S.K.Andersen & al. (1989): “HUGIN – A shell for building Bayesian belief universes for expert systems”, *Proc. of IJCAI 89*, :1080-1085;

[BarGel94]Baral C., Gelfond M. (1994), "Logic Programming and Knowledge Representation", *Journal of Logic Programming* 19,20, :73-148;

[BDKT97]Bondarenko A., Dung P.M., Kowalski R.A.,Toni F. (1997), "An abstract , argumentation-theoretic approach to default reasoning", *Artificial Intelligence*, Vol.93, Issue 1-2, :63-101;

[BesDou04]Besnard P., Doutre S. (2004): “Checking the acceptability of a set of arguments”, *Proceedings of the 10<sup>th</sup> International Workshop on Non-Monotonic Reasoning*, Canada, :59-64;

[BreDix97]Brewka, Dix, Konolige (1997) “Nonmonotonic Reasoning: an overview”, *CLSI Lecture Notes 73*, Stanford, California;

[Bry86]R. Bryant (1986): “Graph-Based Algorithms for Boolean Function Manipulation”, *IEEE Transactions on Computers*, C-35, 8: 677-691;

[Byl91]Bylander, D.Allemang, M.Tanner, J.R.Josephson (1991): “The Computational Complexity of Abduction”,*Artificial Intelligence*, Vol.49, :25-60;

[Cal01] Calado J. & all (2001). “Soft Computing Approaches to Fault Diagnosis for Dynamic Systems”, *European Journal of Control* 7:248-286;

[Cart80]McCarthy, J.,(1980), "Circumscription - a Form of Non-Monotonic Reasoning", *Artificial Intelligence* 13, North-Holland, :27-39;

[CasFanMen03] Castellano G., Fanelli A., Mencar C. (2003): “A Fuzzy Clustering Approach for Mining Diagnostic Rules”, *Proceedings of 2003 IEEE International Conference on Systems, Man and Cybernetics*, vol1, :2007-2012, Washington D.C., USA;

[Cass93]C. Cassandras (1993): “Discrete Event Systems: Modeling and Performance Analysis”, Irwin Publ., Boston;

[CayDou02] Cayrol C., Doutre S., Lagasquie-Schiex M.C., Mengin J.: “Minimal defence: a refinement of the preferred semantics for argumentation frameworks”, *NMR* 2002, :408-415;

[CayDubPra94]D.Cayrac, D.Dubois, H.Prade (1994): "Possibility theory in fault mode effects analyses - a satellite fault diagnosis application", *Proc. of the 3<sup>rd</sup> IEEE International Conference on Fuzzy Systems*, Orlando, FL, 1176-1181;

[Cla90]Clark P. (1990), "Nonmonotonic Reasoning, Argumentation and Machine Learning", *Technical Report TIMLG-38*, Turing Institute, Glasgow, UK;

[ClaKui98]D. Clancy, B. Kuipers (1998): "Qualitative simulation as a temporally-extended constraint satisfaction problem", *AAAI/IAAI*, :240-247;

[ConTor92]L.Console, P.Torasso (1992): "A Spectrum of Logical Definitions of Model-based Diagnosis", in W.Hamscher et al.(eds.) *Readings in Model-based Diagnosis*, Morgan Kaufman Publ., San Mateo,CA;

[deKleer86]de Kleer J.(1986), "An assumption-based truth maintenance system", *Artificial Intelligence* 28, :127-162;

[deKleer86b]deKleer J.(1986), "Back to backtracking: Controlling the ATMS", *Proceedings of the 5<sup>th</sup> National Conference on Artificial Intelligence*, :910-917;

[deKleer89]deKleer J. (1989), "A comparison of ATMS and CSP techniques", *Proceedings of the 11<sup>th</sup> International Joint Conference on Artificial Intelligence*, Detroit, Mi;

[deKleer89b]deKleer J. (1989), "Propositional Inference in CSP and ATMS techniques", *SSL Paper P89-00023*;

[deKleer90]deKleer J. (1990), "Exploiting locality in a TMS", *Proceedings of AAAI-91*, :264-271, Anaheim, CA.

[deKleerMackRei92]J.de Kleer, A.Mackworth, R.Reiter (1992): "Characterizing Diagnoses and Systems", *Artificial Intelligence* 56: 197-222 ;

[DerDoy80]McDermott,D., Doyle,J.(1980), "Non-Monotonic Logic I", *Artificial Intelligence* 13, North-Holland, :41-72;

[Der82]McDermott,D.(1982), "Non-Monotonic Logic II: Nonmonotonic Modal Theories", *JACM* 29, :33-57;

[Dix55]Dix J. (1955), "A Classification Theory of Semantics of Normal Logic Programs: I.Strong Properties", *Fundamenta Informaticae* XXII(3), :227-255;

[DKT97] P.M.Dung, R.A.Kowalski, F.Toni: (1997) "Argumentation-theoretic proof procedures for default reasoning", *Technical Report*, Imperial College, London, UK;

[DixJ95] Dix J. (1995) “Semantics of Logic Programs: Their Intuitions and Formal Properties”, in A. Fuhrmann and Hans Rott, editors, *Logic, Action and Information-Essays on Logic in Artificial Intelligence*, DeGruyter :241-327;

[Doutre02]Doutre S.(2002), “Autour de la semantique preferee des systemes d’argumentation”, These en informatique, Universite Toulouse III-Paul Sabatier;

[Doy79]Doyle J.(1979), “A truth maintenance system”, *Artificial Intelligence* 12, :231-272;

[DubPra85]Dubois D., Prade H.(1985) : *"Theorie des possibilites: applications a la representation des connaissances en informatique"*, Barcelon NY Paris Masson;

[DudHarSto00]R.Duda , P.Hart , D.Stork (2000): “Pattern Classification”, John Wiley Interscience;

[DumiBuiu00] Dumitrache I., Buiu C., (2000): „*Algoritmi Genetici – Principii Fundamentale și Aplicații în Automatică*“, Ed Mediamira, Cluj-Napoca;

[DumMihRos98]I. Dumitrache, I.R.Mihu, K.Rosu(1998): “Hybrid Decision Making System for Medical Diagnosis”, *Proceedings of the Third International Conference on Neural Networks and Expert Systems in Medicine and Healthcare*, World Scientific Publishing;

[Dung91]Dung P.M. (1991), “Negation as hypothesis: an abductive foundation for logic programming”, *Proceedings 8<sup>th</sup> International Conference on Logic Programming*, MIT Press, Paris, :3-17;

[Dun95]Dung.P.M. (1995) “On the acceptability of arguments and its fundamental role in nonmonotonic reasoning, logic programming, and n-persons games”, *Artificial Intelligence* 77:321-357,

[Dup94]D.T.Dupre (1994): “Characterizing and Mechanizing Abductive Reasoning”, Ph.D. Thesis, Department of Computer Science, University of Torino;

[EshKo88]Eshghi K., Kowalski R.(1988), „Abduction through deduction“, *Technical Report Department of Computing*, Imperial College, London;

[EshKo89]Eshghi K., Kowalski R.(1989), „Abduction compared with negation by failure”, *Proceedings 6<sup>th</sup> International Conference on Logic Programming*, MIT Press, Lisbon, :234-255;

[Fran96]P.M.Frank (1996): “Analytical and Qualitative Model-based Fault Diagnosis ”, *European Journal of Control*, 2 (1), :6-28;

[Ful95] Fuller R., (1995). “*Neural Fuzzy Systems*”, Abo Akademi’s tryckeri, Abo, ESF Series A: 443;

[GebKru]J.Gebhardt, R.Kruse (1996): “POSSINFER: A software tool for possibilistic inference”, in D. Dubois, H. Prade, P. Yager (Eds.) , *Fuzzy Set Methods in Information Engineering: A Guided Tour of Applications*, Wiley, NY pp. 407-418;

[GelLi88]Gelfond M., Lifschitz V.(1988), „The Stable model semantics for logic programs“, *Proceedings 5<sup>th</sup> International Conference and Symposium on Logic Programming.*, Washington, Seattle, :1070-1080;

[Ger95]R. Germundsson (1995):“Symbolic Systems- Theory, Computation and Applications”, PhD. thesis, Linköping University, Sweden;

[GiaRil94]J.Giarratano, G. Riley (1994): “Expert Systems: Principles & Programming”, PWS Pub.Co, Boston;

[Gin96]Ginsberg M., Crawford J., Etherington D., “*Dynamic Backtracking*”, University of Oregon, *Technical Report 8/1/1996*;

[GinMcAl194]Ginsberg M., McAllester D.(1994), “GSAT and dynamic backtracking”, *Proceedings of the 4<sup>th</sup> International Conference on Principles of Knowledge Representation and Reasoning*, :226-237;

[GovMah00]Governatori G., Maher M.J., Antoniou G., Billington D. (2000), "Argumentation Semantics for Defeasible Logics", in Mizoguchi, R. and Slaney J., editors, *PRICAI 2000: Topics in Artificial Intelligence*, Vol. 1886 of LNAI, Berlin Springer Verlag, :27-37;

[Gui77]S.Guiaşu (1977): “*Information Theory with Applications*”, McGraw-Hill, New York;

[Hay98]S.Haykin (1998): “*Neural Networks: A Comprehensive Approach*”, Prentice Hall;

[Heck91]A. Heckermann (1991): “Probabilistic Similarity Networks: PATHFINDER”, MIT Press, Cambridge MA;

[HuaDar96]C. Huang, A.Darwiche (1996): “Inference in Belief Networks: A Procedural Guide”, *International Journal of Approximate Reasoning*, vol 15, nr 3; :225-263;

[HuaHen96]K. Huang, M.Henrion (1996): “Efficient Search-Based Inference for Noisy-OR Belief Networks: TopEpsilon”, *12<sup>th</sup> Conference on Uncertainty in Artificial Intelligence, Portland, OR*, 325-331;



- [Karr91] Karr C., (1991): "Design of an adaptive fuzzy logic controller using a genetic algorithm", in *Proceedings of the 4<sup>th</sup> International Conference on Genetic Algorithms*, Belew and Brooker eds.;
- [KunSte99] Kuncheva L., Steimann F. (1999): „Fuzzy Diagnosis“, *Artificial Intelligence in Medicine*, 16(2):121-128;
- [Ise97] Isermann R., (1997). "Supervision, Fault Detection and Fault Diagnosis Methods-an Introduction", *Control Engineering Practice*, vol. 5, no. 5 : 639-652;
- [JafLas87]Jaffar J., Lassez J-L.,(1987) "Constraint Logic Programming", Proc. 14<sup>th</sup> ACM Symposium on Principles of Programming Languages, Munich;
- [Jan92]R.Jang (1992): "Neuro-Fuzzy Modeling: Architecture, Analysis and Applications", PhD. thesis , University of California at Berkeley;
- [KaMan90]Kakas A., Mancarella P.(1990), „Generalized Stable Models: a Semantics for Abduction“, *Proceedings 9<sup>th</sup> European Conference on AI, Stockholm*, :385-391;
- [KaManDun94]Kakas A., Mancarella P., Dung P.M.(1994), „The acceptability semantics for logic programs“, *Proceedings 11<sup>th</sup> International Conference on Logic Programming*, MIT Press, Santa Margherita Ligure, Italy, :504-519;
- [KKoT98]Kakas A., Kowalski R., Toni F., (1998), "The role of abduction in logic programming", *Handbook of logic in Artificial Intelligence and Logic Programming 5*, Oxford University Press, :235-324;
- [Kon88]Konolige, K.,(1988), "Defeasible argumentation in reasoning about events" , in Z.W.Ras and L.Saitta, editors, *Methods for Intelligent Systems*,3, Elsevier NY, pp 380-390;
- [Kon92]K.Konolige (1992): "Abductive Theories in Artificial Intelligence" in Brewka, G. (ed) *Principles of Knowledge Representation*, CSLI Publications, Stanford University;
- [KoSedZac99] Koscielny, J. M., Sedziak, D., and Zackroczynsky, K. (1999). "Fuzzy-logic fault isolation in large-scale systems", *International Journal of Applied Mathematics and Computer Science* 9 (3): 637-652.
- [Kui86]B. Kuipers (1986): "Qualitative Simulation", *Artificial Intelligence* 29, pp. 289-338, Elsevier Science Publishers, North-Holland;
- [Lar99]M. Larsson (1999): "Behavioral and Structural Model-Based Approaches to Discrete Diagnosis", PhD. thesis, Linkoping University, Sweden;
- [LeeTam]Lee J., Tam V., (1995): "A framework for integrating artificial neural networks and logic programming", *International Journal of Artificial Intelligence Tools* 4, :3-32;

- [Lon01]W. Long (2001): "Medical Informatics: reasoning methods", *Artificial Intelligence in Medicine*, 2371-2387;
- [LonNai92]W. Long, S. Naimi (1992): "Development of a knowledge base for diagnostic reasoning in cardiology", *Computers in Biomedical Research* 25 (1992), 292-311;
- [LunSchro01]J.Lunze, J. Schroder (2001): "Fault Diagnosis of Stochastic Automata Networks", *Bridge Workshop '01*;
- [McAl180]McAllester D.(1980), "An outlook on truth maintenance", *Artificial Intelligence Laboratory*, AIM-551, MIT, Cambridge, MA;
- [McIlr98]S.McIlraith (1998): "Logic-based Abductive Inference", Knowledge Systems Laboratory, *Technical Report KSL-98-19*;
- [Mich96]Michalewicz Z. (1996), "Genetic Algorithms + Data Structures= Evolutionary Programs", Springer, Berlin;
- [MichFog04]Michalewicz Z., Fogel D.(2004), "How to solve it: modern heuristics", Springer, Berlin;
- [MigI01]Miguel I., "Dynamic Flexible Constraint Satisfaction and its Application to AI Planning", PhD Thesis, University of Edinburgh, 2001;
- [Mit00]S. Mitra (2000): "Neuro-Fuzzy Rule Generation: Survey in Soft Computing Framework", *IEEE Transactions on Neural Networks*, vol. 11-3;
- [Mun03]Munteanu, S.(2003), "Medical diagnosis modeled in terms of fuzzy decision", *Proc. Of 14<sup>th</sup> International Conference on Control Systems and Computer Science*, Bucharest;
- [Mun04]Munteanu S. (2004), "Argumentation-based Conflict Resolution for Discriminating Diagnostic Hypotheses", *The 12<sup>th</sup> International Symposium on Modeling, Simulation and System's Identification*, Galati, :218-225;
- [Mun05]Munteanu, S.(2005), "A Hybrid Model for Diagnosing Multiple Disorders", *International Journal of Hybrid Intelligent Systems*, Vol 2. No.1 IOSPress, :35-55;
- [MunDum06a]Munteanu S., Dumitrache I. (2006) "A DCSP-based nonmonotonic framework for medical diagnosis", trimisă la *Artificial Intelligence in Medicine*;
- [MunDum06b]Munteanu S., Dumitrache I. (2006) "The Intelligence of a Hybrid System: DiaMed", *Technical Report*, Polytechnica University, Bucharest- acceptată în *Control Engineering and Applied Informatics*;

[MunDum06c]Munteanu S., Dumitrache I. (2006) “Applying DiaMed Hybrid Algorithm to the Diagnosis of Dynamic Systems”, *Technical Report*, Polytechnica University, Bucharest –acceptată în *The Scientific Bulletin of Politehnica University, Bucharest*;

[Mun06] (2006) “The selection of diagnostic hypotheses through fuzzy decision in the DiaMed hybrid system”, trimisă la “Fuzzy Systems and Artificial Intelligence”;

[NeaPal01]D. Neagu, V. Palade (2001): “*Sisteme Inteligente Hibride*”, Ed. MatrixRom, București;

[Nyb99]M.Nyberg (1999): “Model Based Fault Diagnosis”, PhD. thesis, Linkoping University, Sweden;

[PalNea01]Palade V., Neagu C.(2001): “*Sisteme inteligente hibride*”, MatrixRom, București;

[Pan99]A.Panati (1999): “Non Binary CSP and Heuristics for Modeling and Diagnosing Dynamic Systems”, *Proc. 6<sup>th</sup> Congress of the Italian Association for Artificial Intelligence*;

[PanDup00]A.Panati, D.T. Dupre (2000)a: “State-based vs simulation based diagnosis of dynamic systems”, *Proc. ECAI*;

[PanDupFor00]A. Panati, D.T. Dupre, M.Formagnana (2000)b: “Causal Simulation and Diagnosis of Dynamic Systems”, *Proc. DX, 11<sup>th</sup> International Workshop on Principles of Diagnosis*;

[Par94]Paredis J.(1994), “Co-evolutionary constraint satisfaction”, *Proceedings of the 3<sup>rd</sup> Conference on Parallel Problem Solving from Nature*, : 46-55;

[Patt94]R.Patton (1994): “Robust Model Based Fault Diagnosis: the State of the Art”, *IFAC SAFEPROCESS '94*, Helsinki, Finland;

[Patt97]R.Patton (1997): “Fault Tolerant Control: the 1997 situation (survey)”, *Proc. of SAFEPROCESS '97*, pp 1033-1055, IFAC;

[PattChe97]R.J. Patton , Chen J. (1997) “Observer-based Fault Detection and Isolation: Robustness and Applications”, *Control Eng. Practice*, vol. 5, no.5, pp 671-682;

[Pea01a]J.Pearl (2001)a: “Causal Inference in the Health Sciences : A Conceptual Introduction”, *TR R-282*, Cognitive Systems Lab. UCLA;

[Pea01b]J. Pearl (2001)b: “Bayesianism and causality or why I am only a half bayesian”,in D. Corfield, J. Williamson (eds.), *Foundations of Bayesianism*, Kluwer Applied Logic Series;

[Ped04]W.Pedrycz (2004): "Logic-Oriented Fuzzy Neural Networks", *IJHIS* vol 1.(1):3-11;

[PerApAl93]Pereira, L.M., Aparicio, J.N., Alferes, J.J.(1993), "Non-monotonic Reasoning with Logic Programming", *Journal of Logic Programming*, Special Issue on Nonmonotonic Reasoning 17 (2,3&4);

[Po88]D.Poole (1988): "Representing Knowledge for Logic-based Diagnosis" *Proc. International Conference on Fifth Generation Computer Systems*, Tokyo, :1282-1290;

[Poll92]J.Pollock (1992) : "How to Reason Defeasibly", *Artificial Intelligence* 57, pp1-42;

[Poll02]Pollock, J. (2002), "Defeasible Reasoning with Variable Degrees of Justification", *Artificial Intelligence* 133, :233-282;

[PopIon99]Popescu E., Ionescu R., (1999) "Rheumatology", Technical Press, Bucharest;

[PraDag96]M.Pradhan, P. Dagum (1996): "Optimal Monte Carlo Estimation of Belief Network Inference", 12<sup>th</sup> Conference on Uncertainty in Artificial Intelligence, Portland, OR, :446-453;

[PraVre]H.Prakken,G.Vreeswijk:"Logics for Defeasible Argumentation" (2002), Gabbay D., Guenther F., eds. "*Handbook of philosophical logic*", vol. 4, Kluwer Academic Publishers, :218-319;

[Rei80]Reiter, R. (1980), "A Logic for Default Reasoning", *Artificial Intelligence* 13, North-Holland, :81-132;

[ReiKle87]Reiter R., de Kleer J. (1987): "Foundations of Assumption-based TMS", *National Conference on AI*, Seattle, WA, :183-189;

[Res88]Restian A.(1988), "Diagnosticul medical", Ed. Dacia, Cluj;

[Rim83]Rimniceanu R.(1983), "Aspecte si probleme ale medicinei contemporane", Ed. Medicala, Bucuresti;

[RusNor02]Russell S., Norvig P.(2002), "Artificial Intelligence: A Modern Approach", Prentice Hall;

[SamSen96]M. Sampath, R. Sengupta (1996): "Failure Diagnosis using Discrete Event Models", *IEEE Transactions on Control Systems Technology* 4 (2) :105-124;

[San99]Sanchez M.M. (1999), "A Neurosymbolic Approach to the Classification of Scarce and Complex Data", PhD Thesis, University of Sussex;

- [SatIwa91] Satoh K., Iwayama N. (1991), "Computing Abduction by using the TMS", *Proceedings of 8<sup>th</sup> International Conference on Logic Programming*, Paris, MIT Press.
- [Sha00] Shankar R.D & al.(2000), "Implementing Clinical Practice Guidelines while Taking Account of Evidence", *AMIA Annual Symposium*, Los Angeles, CA, :303-304;
- [ShaMus99] Shankar R.D, Musen M.(1999) ,"Justification of Automated Decision-Making: Medical Explanations as Medical Arguments", *Proc AMIA Symposium*, Washington DC, :395-399;
- [Sou83] G.Soula, B.Vialettes, J.L.San Marco (1983): "PROTIS, a Fuzzy Deduction-Rule System: Application to the Treatment of Diabetes", in *MEDINFO 83*, Eds. Van Bommel, M.G. Ball, NY, North Holland, :533-536;
- [SouKay02] Sousa, J., Kaymak, U. (2002) :"*Fuzzy Decision Making in Modeling and Control*", World Scientific Pub Co;
- [Sta87] State L.(1987): "Metode statistice de recunoaștere a formelor", Tipografia Universității București;
- [StaSus77] Stallman R., Sussman G., (1977) "Forward reasoning and dependency-directed backtracking in a system for computer-aided circuit analysis", *Artificial Intelligence*, 9(2):135-196;
- [TaSu85] Takagi T., Sugeno M. (1985) "Fuzzy Identification of Systems and Its Applications to Modeling and Control", *IEEE Transactions on Systems, Man and Cybernetics*, vol SMC-15, no.1, January-February 1985;
- [TeoCheGal89] H.N.Teodorescu, M.Chelaru, D.Galea & al.(1989) "*Fuzzy Systems and Applications*", I.P.Iași;
- [TeoCheKan01] H.N.Teodorescu, M.Chelaru, A. Kandel & al. (2001) „Fuzzy Methods in tremor assessment, prediction and rehabilitation”, *Artificial Intelligence in Medicine*, 21(1-3), :107-130;
- [TorCon89] P.Torasso, L.Console (1989): "A multilevel architecture for diagnostic problem-solving", *Computational Intelligence*, 1 :101-112.
- [Tou58] Toulmin, S.E. (1958), "*The Uses of Argument*", University Press, Cambridge, UK;
- [VerSchi] Verfaillie G., Schiex T. (1994), "Dynamic Backtracking for Dynamic Constraint Satisfaction Problems", *Proceedings of the ECAI '94 Workshop on Constraint Satisfaction Issues Raised by Practical Applications*, Amsterdam, the Netherlands;

[Vre92] Vreeswijk, G. (1992), "Reasoning with Defeasible Arguments: Examples and Applications", *Logics in Artificial Intelligence*, :189-211;

[Wal75] Waltz D. (1975), "Understanding line drawings of scenes with shadows", in "*The Psychology of Computer Vision*", :19-91. McGrawHill;

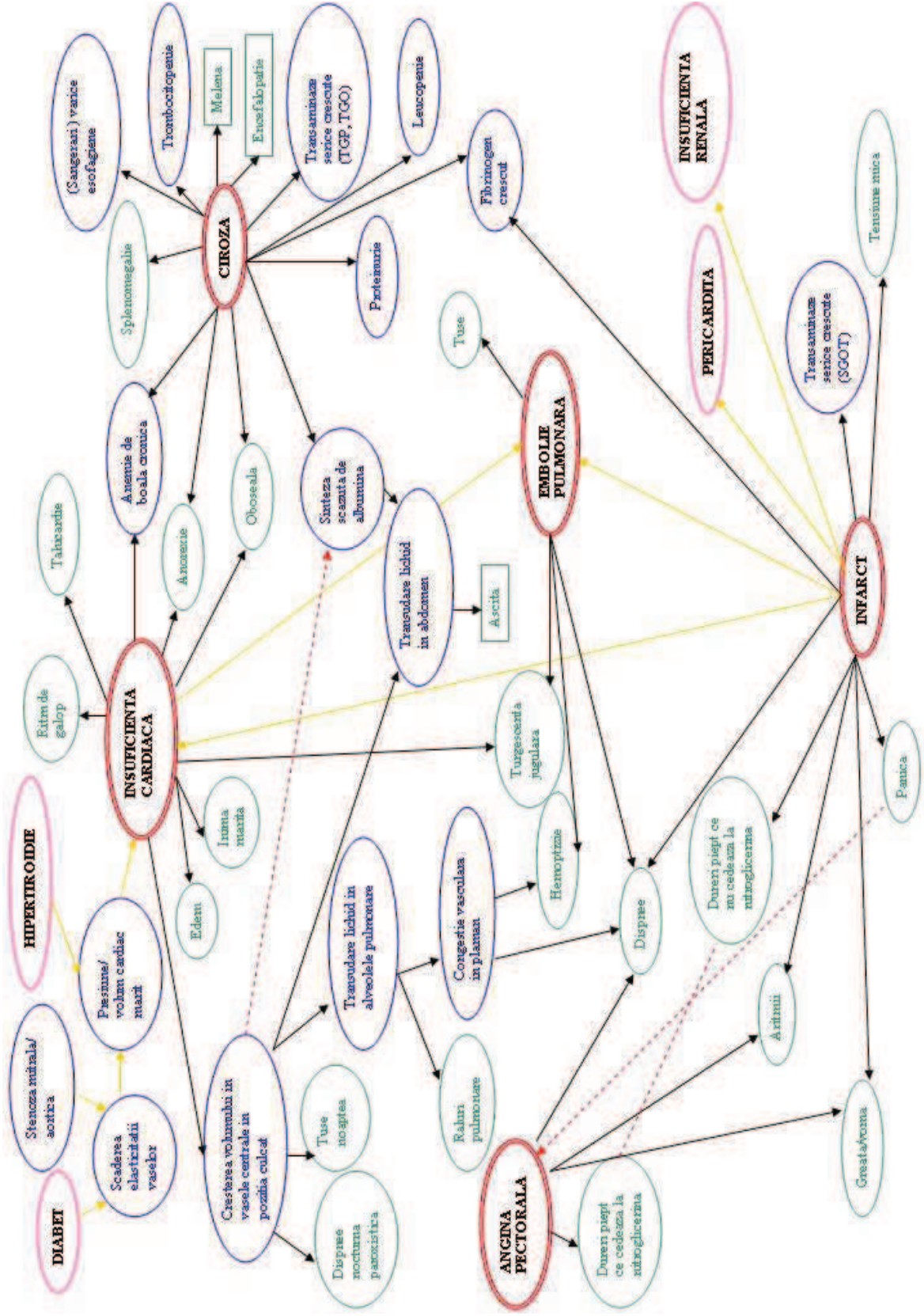
[Weis74] Weiss S. (1974), "*A System for Model-Based Computer Aided Diagnosis and Therapy*", PhD Thesis, Department of Computer Science, Rutgers University, CBM-TR-27;

[Zad73] Zadeh L., (1973) "Outline of a new approach to the analysis of complex systems and decision processes", *IEEE Transactions on Systems, Man and Cybernetics*, 3, :28-44.

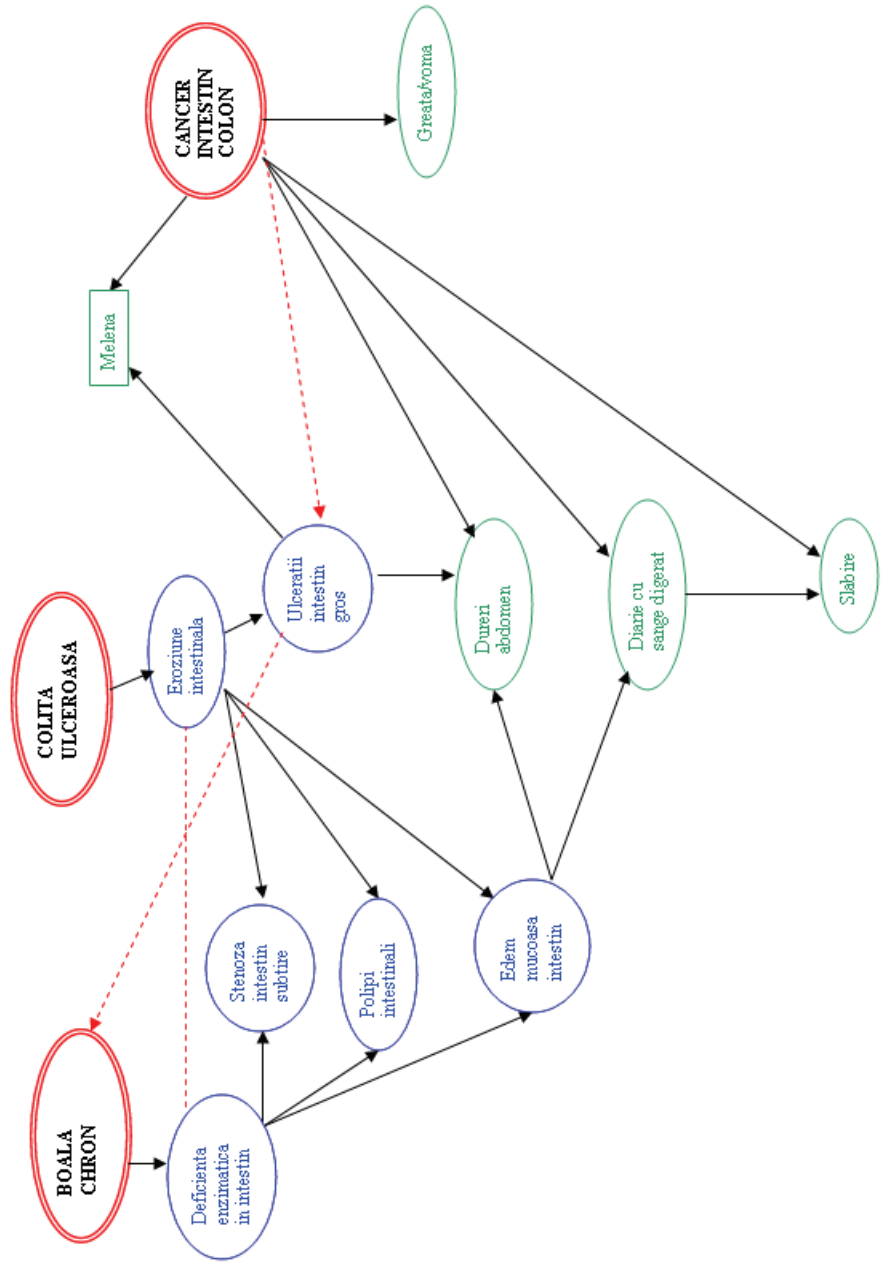
## **Anexa1. Modelul medical**



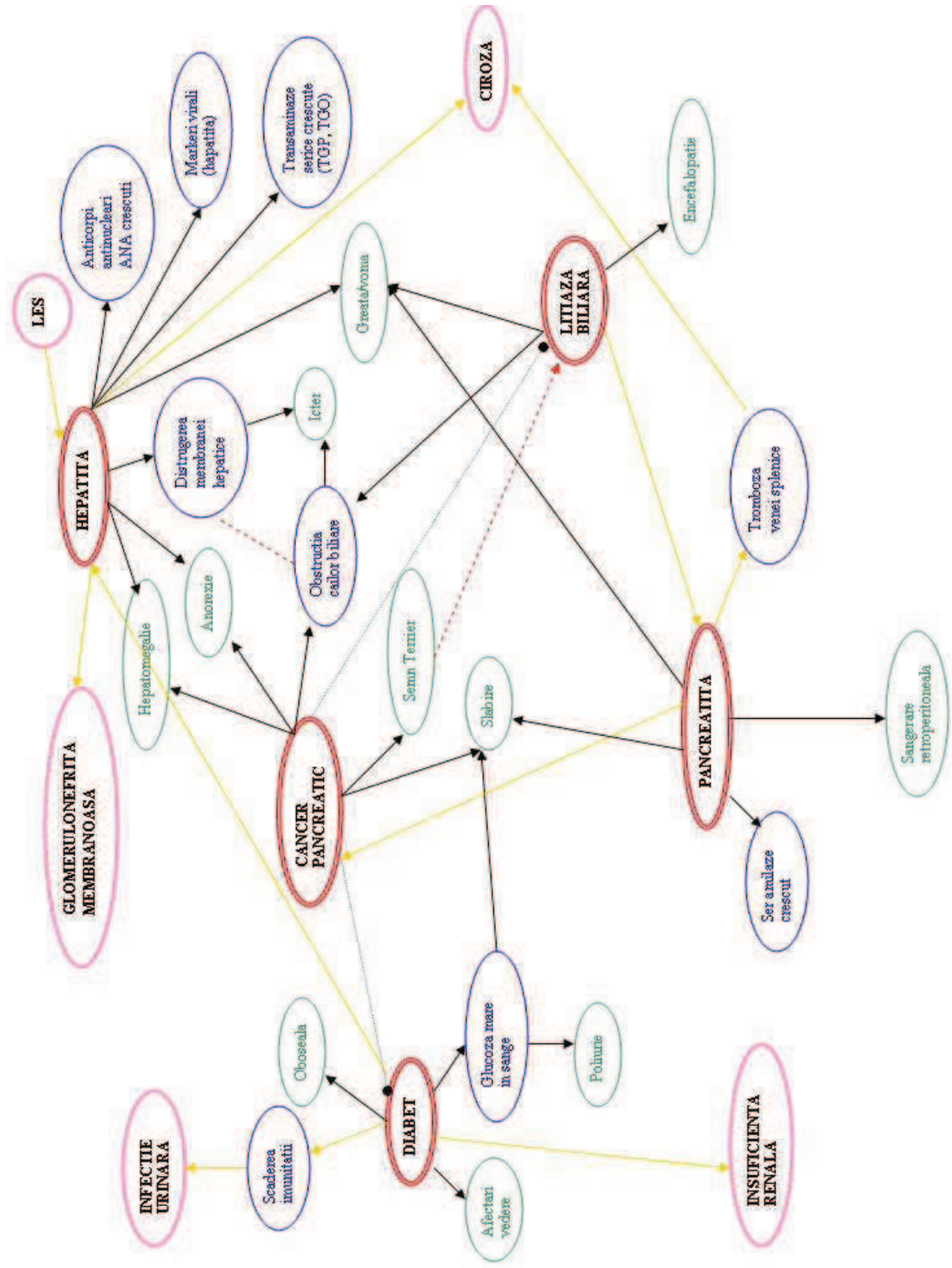




PLANȘA I

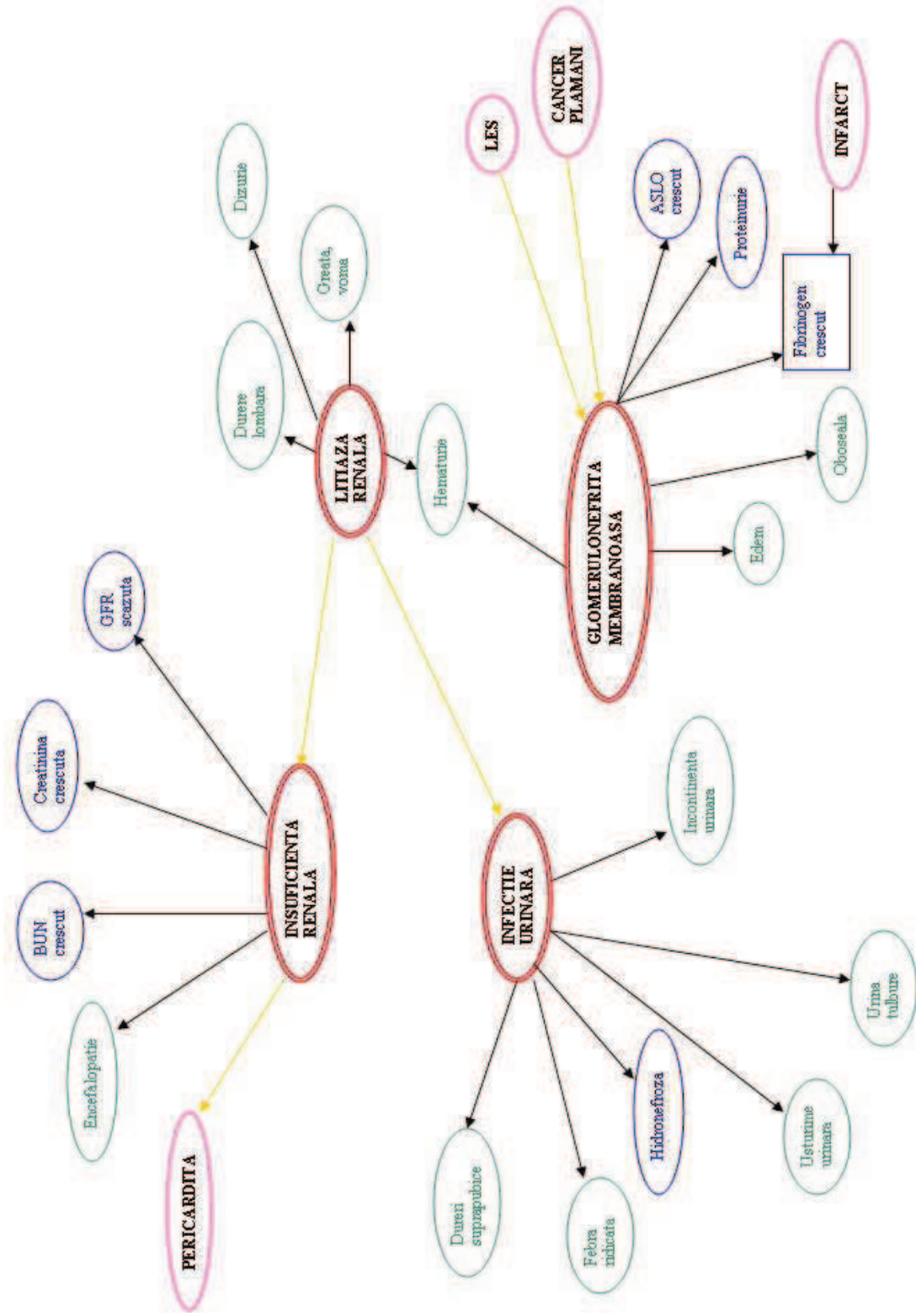


PLANȘA II

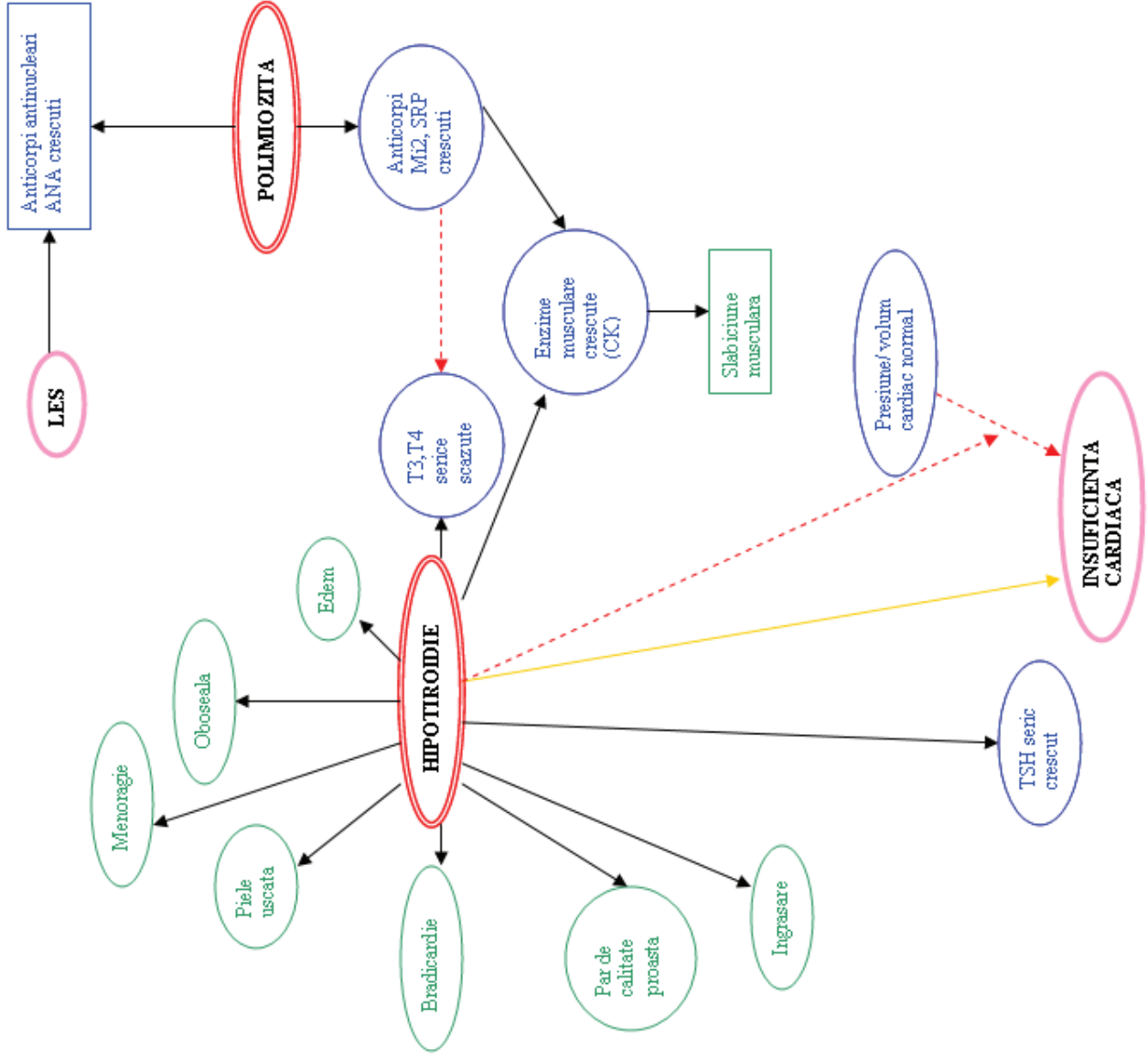


PLANȘA III

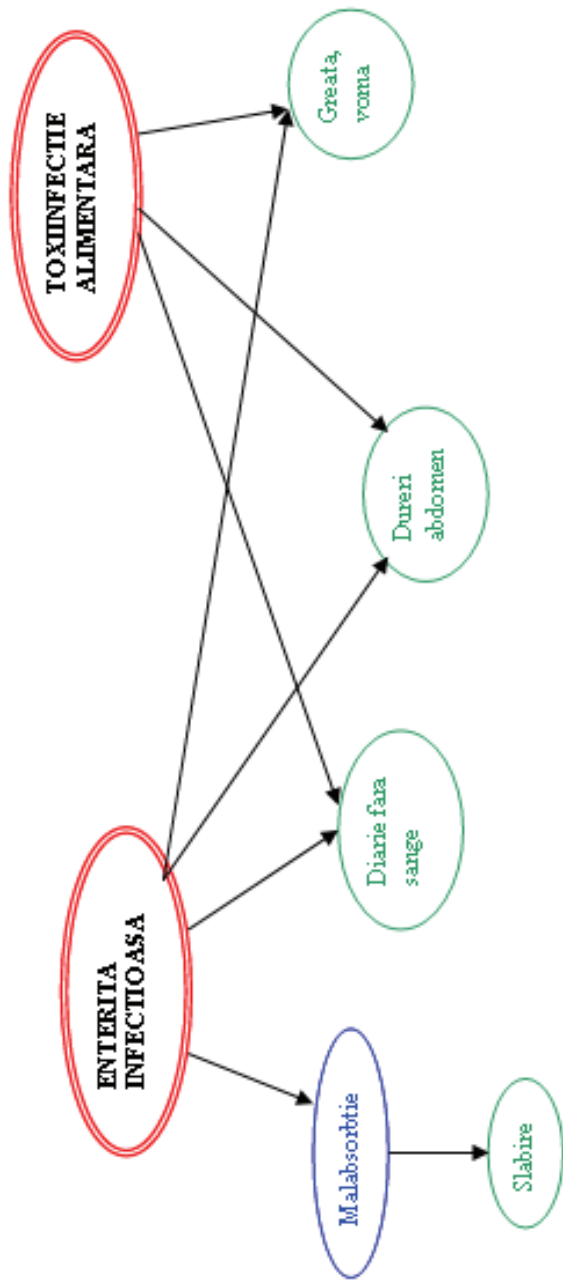


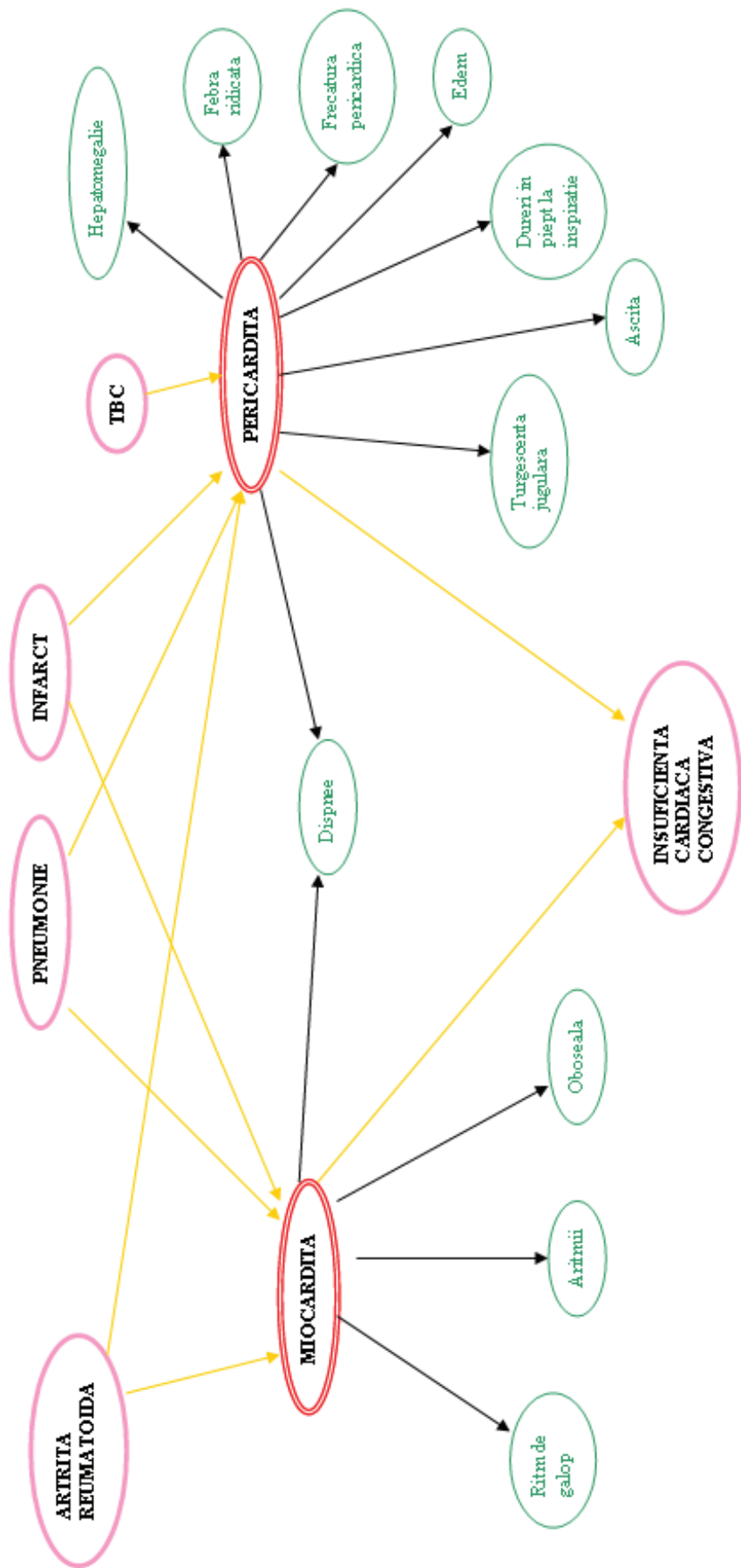


PLANȘA V



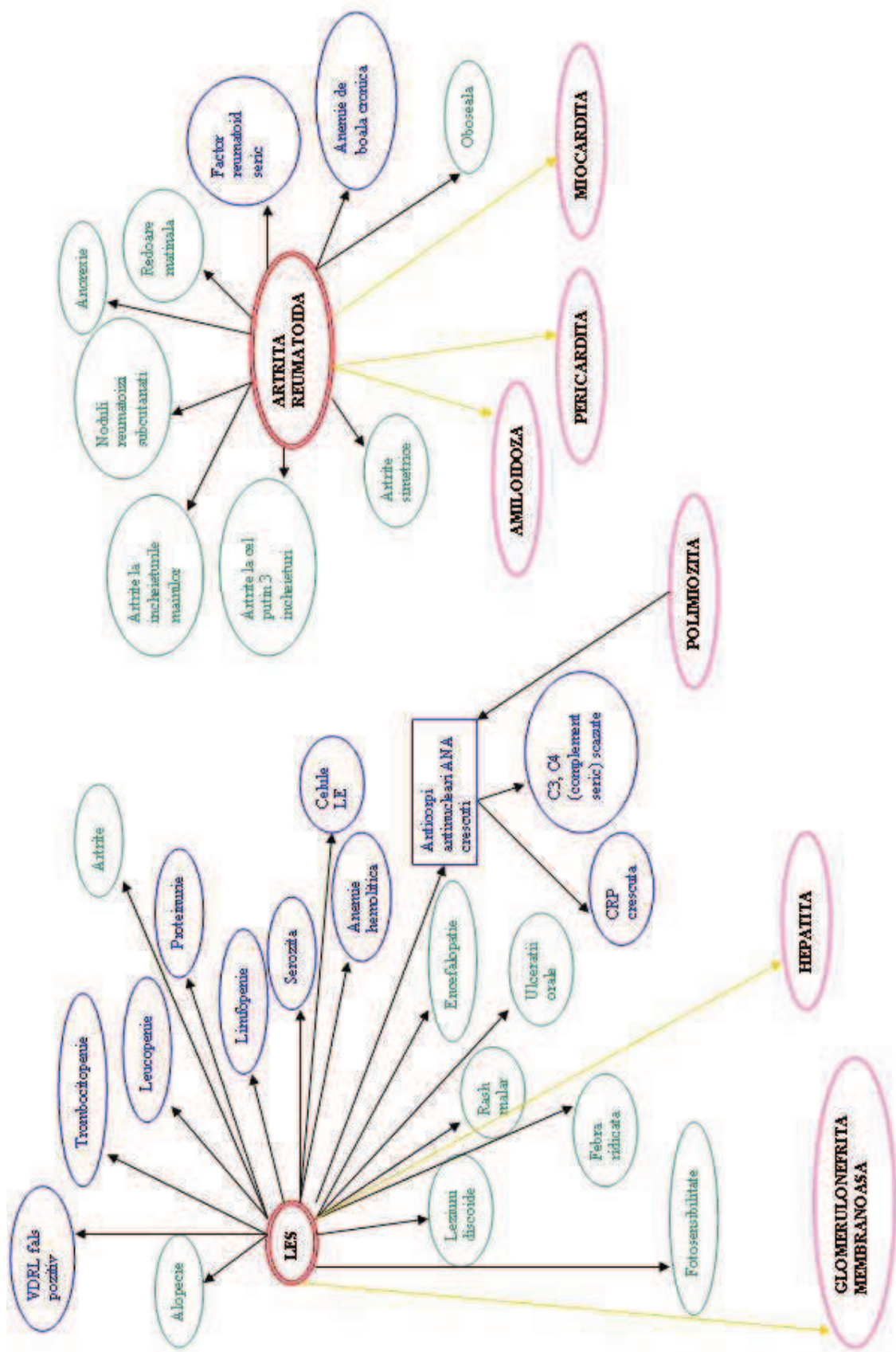
PLANȘA VI





PLANȘA VIII





PLANȘA IX

## Anexa 2. Lista completă de noduri și codificările lor în program

|    | <b>NUME_NOD</b> | <b>DEN_MED</b>                   |
|----|-----------------|----------------------------------|
|    | <b>boli</b>     |                                  |
| 1  | BI1             | ANGINA_PECTORALA                 |
| 2  | BREUM1          | ARTRITA_REUMATOIDA               |
| 3  | BGI1            | BOALA_CHRON                      |
| 4  | BGI2            | CANCER_COLON/INTESTIN            |
| 5  | BGI3            | CANCER_PANCREAS                  |
| 6  | BP1             | CANCER_PLAMANI                   |
| 7  | BH1             | CIROZA                           |
| 8  | BGI4            | COLITA_ULCEROASA                 |
| 9  | BE1             | DIABET                           |
| 10 | BP2             | EMBOLIE_PULMONARA                |
| 11 | BGI5            | ENTERITA_INFECTIOASA             |
| 12 | BREN1           | GLOMERULONEFRITA_MEMBRANOASA     |
| 13 | BH2             | HEPATITA                         |
| 14 | BE2             | HIPERTIROIDIE                    |
| 15 | BE3             | HIPOTIROIDIE                     |
| 16 | BI2             | INFARCT_MIOCARDIC                |
| 17 | BREN2           | INFECTIE_URINARA                 |
| 18 | BI3             | INSUFICIENTA_CARDIACA_CONGESTIVA |
| 19 | BREN3           | INSUFICIENTA_RENALA              |
| 20 | BREUM2          | LES                              |
| 21 | BGI6            | LITIAZA_BILIARA                  |
| 22 | BREN4           | LITIAZA_RENALA                   |
| 23 | BI4             | MIOCARDITA                       |
| 24 | BGI7            | PANCREATITA                      |
| 25 | BI5             | PERICARDITA                      |
| 26 | BP3             | PNEUMONIE                        |
| 27 | BREUM3          | POLIMIOZITA                      |
| 28 | BP4             | TBC                              |
| 29 | BGI8            | TOXIINFECTIE_ALIMENTARA          |
| 30 | BP5             | VIROZA_PULMONARA                 |

**simpt superficiale**

|    |      |                                    |
|----|------|------------------------------------|
| 1  | SS1  | AFECTARI_VEDERE                    |
| 2  | SS2  | ALOPECIE                           |
| 3  | SS3  | ANOREXIE                           |
| 4  | SS4  | ARITMII                            |
| 5  | SS5  | ARTRITE                            |
| 6  | SS6  | ARTRITE_LA_CEL_PUTIN_3_INCHEIETURI |
| 7  | SS7  | ARTRITE_LA_INCHEIETURILE_MAINILOR  |
| 8  | SS8  | ARTRITE_SIMETRICE                  |
| 9  | SS9  | ASCITA                             |
| 10 | SS10 | BRADICARDIE                        |
| 11 | SS11 | DIARIE_CU_SANGE_DIGERAT            |
| 12 | SS12 | DIARIE_FARA_SANGE                  |
| 13 | SS13 | DISPNEE                            |
| 14 | SS14 | DISPNEE_NOCTURNA_PAROXISTICA       |
| 15 | SS15 | DIZURIE                            |

|    |      |   |
|----|------|---|
| 16 | SS16 | DURERI_ABDOMEN                              |
| 17 | SS17 | DURERE_LOMBARA                              |
| 18 | SS18 | DURERI_IN_PIEPT_LA_INSPIRATIE               |
| 19 | SS19 | DURERI_PIEPT_CE_CEDAZA_LA_NITROGLICERINA    |
| 20 | SS20 | DURERI_PIEPT_CE_NU_CEDAZA_LA_NITROGLICERINA |
| 21 | SS21 | DURERI_SUPRAPUBICE                          |
| 22 | SS22 | EDEM  |
| 23 | SS23 | ENCEFALOPATIE                               |
| 24 | SS24 | EXPECTORATIE                                |
| 25 | SS25 | EXPECTORATIE_PURULENTA                      |
| 26 | SS26 | FEBRA_RIDICATA                              |
| 27 | SS27 | FOTOSENSIBILITATE                           |
| 28 | SS28 | FRECATURA_PERICARDICA                       |
| 29 | SS29 | GREATA/VOMA                                 |
| 30 | SS30 | HEMATURIE                                   |
| 31 | SS31 | HEMOPTIZIE                                  |
| 32 | SS32 | HEPATOMEGALIE                               |
| 33 | SS33 | HIPEREMOTIVITATE                            |
| 34 | SS34 | ICTER                                       |
| 35 | SS35 | INIMA_MARITA                                |
| 36 | SS36 | INCONTINENTA_URINARA                        |
| 37 | SS37 | INGRASARE                                   |
| 38 | SS38 | LEZIUNI_DISCOIDE                            |
| 39 | SS39 | MELENA                                      |
| 40 | SS40 | MENORAGIE                                   |
| 41 | SS41 | NODULI_REUMATOIZI_SUBCUTANATI               |
| 42 | SS42 | OBOSEALA                                    |
| 43 | SS43 | PANICA                                      |
| 44 | SS44 | PAR_DE_CALITATE_PROASTA                     |
| 45 | SS45 | PIELE_USCATA                                |
| 46 | SS46 | POLIURIE                                    |
| 47 | SS47 | RALURI_PULMONARE                            |
| 48 | SS48 | RASH_MALAR                                  |
| 49 | SS49 | REDOARE_MATINALA                            |
| 50 | SS50 | RITM_DE_GALOP                               |
| 51 | SS51 | SANGERARE_RETROPERITONEALA                  |
| 52 | SS52 | SEMN_TERRIER                                |
| 53 | SS53 | SLABICIUNE_MUSCULARA                        |
| 54 | SS54 | SLABIRE                                     |
| 55 | SS55 | SPLENOMEGALIE                               |
| 56 | SS56 | SUBFEBRILITATE                              |
| 57 | SS57 | TAHICARDIE                                  |
| 58 | SS58 | TENSIUNE_MICA                               |
| 59 | SS59 | TURGESCENTA_JUGULARA                        |
| 60 | SS60 | TUSE_NOAPTEA                                |
| 61 | SS61 | TUSE_PERMANENTA                             |
| 62 | SS62 | ULCERATII_ORALE                             |
| 63 | SS63 | USTURIME_URINARA                            |
| 64 | SS64 | URINA_TULBURE                               |

Simptome intermediare

- 1 SI1 ANEMIE\_DE\_BOALA\_CRONICA
- 2 SI2 ANEMIE\_HEMOLITICA
- 3 SI3 ANTICORPI\_ANTINUCLEARI(ANA)\_CRESCUTI
- 4 SI4 ANTICORPI\_Mi-2,SRP\_CRESCUTI
- 5 SI5 ASLO\_CRESCUT
- 6 SI6 BUN\_CRESCUT
- 7 SI7 CELULE\_LE
- 8 SI8 C3,C4\_SCAZUTE(COMPLEMENT\_SERIC)
- 9 SI9 CONGESTIE\_VASCULARA\_IN\_PLAMAN
- 10 SI10 CREATININA\_CRESCUTA
- 11 SI11
- CRESTEREA\_VOLUMULUI\_IN\_VASELE\_CENTRALE\_IN\_POZITIA\_CULCAT
- 12 SI12 CRP\_CRESCUTA
- 13 SI13 DEFICIENTA\_ENZIMATICA\_IN\_INTESTIN
- 14 SI14 DISTRUGEREA\_MEMBRANEI\_HEPATICE
- 15 SI15 EDEM\_MUCOASA\_INTESTIN
- 16 SI16
- ENZIME\_MUSCULARE\_CRESCUTE(CK,ALDOLAZA,MIOGLOBINA\_SERICA)
- 17 SI17 FACTOR\_REUMATOID\_SERIC
- 18 SI18 FIBRINOGEN\_CRESCUT
- 19 SI19 GFR\_SCAZUTA
- 20 SI20 GLUCOZA\_MARE\_IN\_SANGE
- 21 SI21 HIDRONEFROZA
- 22 SI22 HILURI\_PULMONARE\_MARITE
- 23 SI23 LEUCOPENIE
- 24 SI24 LIMFOPENIE
- 25 SI25 MALABSORBTIE
- 26 SI26 MARKERI\_VIRALI(HEPATITA)
- 27 SI27 NODULI\_PULMONARI
- 28 SI28 OBSTRUCTIA\_CAILOR\_BILIARE
- 29 SI29 PATA\_PE\_PLAMAN
- 30 SI30 POLIPI\_INTESTINALI
- 31 SI31 PRESIUNE/VOLUM\_CARDIAC\_MARIT
- 32 SI32 PRESIUNE/VOLUM\_CARDIAC\_NORMAL
- 33 SI33 PROTEINURIE
- 34 SI34 (SANGERARI)\_VARICE\_ESOFAGIENE
- 35 SI35 SCADEREA\_ELASTICITATII\_VASELOR
- 36 SI36 SCADEREA\_IMUNITATII
- 37 SI37 SER\_AMILAZE\_CRESCUT
- 38 SI38 SEROZITA
- 39 SI39 SINTEZA\_SCAZUTA\_DE\_ALBUMINA
- 40 SI40 STENOZA\_MITRALA/AORTICA
- 41 SI41 STENOZA\_INTESTIN\_SUBTIRE
- 42 SI42 T3,T4\_SERICE\_SCAZUTE

43 SI43 T3,T4\_SERICE\_CRESCUTE  
44 SI44 TRANSAMINAZE\_SERICE\_CRESCUTE(SGOT)  
45 SI45 TRANSAMINAZE\_SERICE\_CRESCUTE(TGP,TGO)  
46 SI46 TRANSUDARE\_LICHID\_IN\_ABDOMEN  
47 SI47 TRANSUDARE\_LICHID\_IN\_ALVEOLELE\_PULMONARE  
48 SI48 TROMBOCITOPENIE  
49 SI49 TROMBOZA\_VENEL\_SPLENICE  
50 SI50 TSH\_SERIC\_CRESCUT  
51 SI51 TSH\_SERIC\_SCAZUT  
52 SI52 ULCERATII\_INTESTIN\_GROS  
53 SI53 VDRL\_FALS\_POZITIV

### Anexa 3. Ponderile simptomelor în cadrul bolilor

|   |   |         |
|---|---|---------|
| 1 | <b>ANGINA_PECTORALA</b>                   |         |
|   | simptom                                   | pondere |
|   | ARITMII                                   | 0.7     |
|   | DISPNEE                                   | 0.8     |
|   | DURERI_PIEPT_CE_CEDEAZA_LA_NITROGLICERINA | 0.9     |
|   | GREATA/VOMA                               | 0.5     |
| 2 | <b>ARTRITA_REUMATOIDA</b>                 |         |
|   | ANEMIE_DE_BOALA_CRONICA                   | 0.5     |
|   | ANOREXIE                                  | 0.5     |
|   | ARTRITE_LA_CEL_PUTIN_3_INCHEIETURI        | 0.9     |
|   | ARTRITE_LA_INCHEIETURILE_MAINILOR         | 0.8     |
|   | ARTRITE_SIMETRICE                         | 0.8     |
|   | FACTOR_REUMATOID_SERIC                    | 0.8     |
|   | NODULI_REUMATOIZI_SUBCUTANATI             | 0.7     |
|   | OBOSEALA                                  | 0.5     |
|   | REDOARE_MATINALA                          | 0.7     |
| 3 | <b>BOALA_CHRON</b>                        |         |
|   | DEFICIENTA_ENZIMATICA_IN_INTESTIN         | 1       |
|   | DIARIE_CU_SANGE_DIGERAT                   | 0.6     |
|   | DURERI ABDOMEN                            | 0.6     |
|   | EDEM_MUCOASA_INTESTIN                     | 0.9     |
|   | POLIPI_INTESTINALI                        | 0.9     |
|   | SLABIRE                                   | 0.5     |
|   | STENOZA_INTESTIN_SUBTIRE                  | 0.9     |
| 4 | <b>CANCER_COLON/INTESTIN</b>              |         |
|   | DIARIE_CU_SANGE_DIGERAT                   | 0.7     |
|   | DURERI ABDOMEN                            | 0.6     |
|   | GREATA/VOMA                               | 0.6     |
|   | MELENA                                    | 0.7     |
|   | SLABIRE                                   | 0.7     |
| 5 | <b>CANCER_PANCREAS</b>                    |         |
|   | ANOREXIE                                  | 0.8     |
|   | HEPATOMEGALIE                             | 0.8     |
|   | ICTER                                     | 0.8     |
|   | OBSTRUCTIA_CAILOR_BILIARE                 | 0.7     |
|   | SEMN_TERRIER                              | 1       |
|   | SLABIRE                                   | 0.5     |



## 6 **CANCER\_PLAMANI**

|                 |     |
|-----------------|-----|
| DISPNEE         | 0.7 |
| SLABIRE         | 0.5 |
| SUBFEBRILITATE  | 0.7 |
| TUSE_PERMANENTA | 0.8 |

## 7 **CIROZA**

|                                       |     |
|---------------------------------------|-----|
| ANEMIE_DE_BOALA_CRONICA               | 0.6 |
| ANOREXIE                              | 0.6 |
| ASCITA                                | 1   |
| ENCEFALOPATIE                         | 0.7 |
| FIBRINOGEN_CRESCUT                    | 0.7 |
| LEUCOPENIE                            | 0.7 |
| MELENA                                | 0.7 |
| OBOSEALA                              | 0.5 |
| PROTEINURIE                           | 0.8 |
| SANGERARI_VARICEALE(ESOFAG)           | 1   |
| SINTEZA_SCAZUTA_DE_ALBUMINA           | 0.8 |
| SPLENOMEGALIE                         | 0.9 |
| TRANSAMINAZE_SERICE_CRESCUTE(TGP,TGO) | 1   |
| TRANSUDARE_LICHID_IN_ABDOMEN          | 1   |
| TROMBOCITOPENIE                       | 1   |

## 8 **COLITA\_ULCEROASA**

|                          |     |
|--------------------------|-----|
| DIARIE_CU_SANGE_DIGERAT  | 0.7 |
| DURERI_ABDOMEN           | 0.5 |
| EDEM_MUCOASA_INTESTIN    | 1   |
| POLIPI_INTESTINALI       | 1   |
| SLABIRE                  | 0.5 |
| STENOZA_INTESTIN_SUBTIRE | 1   |
| ULCERATII_INTESTIN_GROS  | 1   |

## 9 **DIABET**

|                       |     |
|-----------------------|-----|
| AFECTARI_VEDERE       | 0.6 |
| GLUCOZA_MARE_IN_SANGE | 1   |
| OBOSEALA              | 0.5 |
| POLIURIE              | 0.8 |
| SCADEREA_IMUNITATII   | 0.7 |
| SLABIRE               | 0.9 |

|    |                                       |     |
|----|---------------------------------------|-----|
| 10 | <b>EMBOLIE_PULMONARA</b>              |     |
|    | DISPNEE                               | 0.5 |
|    | HEMOPTIZIE                            | 0.7 |
|    | TURGESCENTA_JUGULARA                  | 0.7 |
|    | TUSE_PERMANENTA                       | 0.8 |
| 11 | <b>ENTERITA_INFECTIOASA</b>           |     |
|    | DIARIE_FARA_SANGE                     | 0.8 |
|    | DURERI_ABDOMEN                        | 0.5 |
|    | GREATA/VOMA                           | 0.5 |
|    | MALABSORBTIE                          | 0.7 |
|    | SLABIRE                               | 0.5 |
| 12 | <b>GLOMERULONEFRITA_MEMBRANOASA</b>   |     |
|    | ASLO_CRESCUT                          | 0.7 |
|    | EDEM                                  | 0.9 |
|    | FIBRINOGEN_CRESCUT                    | 0.8 |
|    | HEMATURIE                             | 1   |
|    | OBOSEALA                              | 0.7 |
|    | PROTEINURIE                           | 1   |
| 13 | <b>HEPATITA</b>                       |     |
|    | ANOREXIE                              | 0.8 |
|    | ANTICORPI_ANTINUCLEARI(ANA)_CRESCUTI  | 0.9 |
|    | DISTRUGEREA_MEMBRANEI_HEPATICE        | 1   |
|    | GREATA/VOMA                           | 0.9 |
|    | HEPATOMEGALIE                         | 1   |
|    | ICTER                                 | 1   |
|    | MARKERI_VIRALI(HEPATITA)              | 1   |
|    | TRANSAMINAZE_SERICE_CRESCUTE(TGP,TGO) | 1   |
| 14 | <b>HIPERTIROIDIE</b>                  |     |
|    | HIPEREMOTIVITATE                      | 0.8 |
|    | SLABICIUNE_MUSCULARA                  | 0.6 |
|    | SLABIRE                               | 0.6 |
|    | SUBFEBRILITATE                        | 0.7 |
|    | T3,T4_SERICE_CRESCUTE                 | 1   |
|    | TAHICARDIE                            | 0.7 |
|    | TSH_SERIC_SCAZUT                      | 1   |

|    |  |     |
|----|--|-----|
| 15 | <b>HIPOTIROIDIE</b>                                      |     |
|    | BRADICARDIE  | 0.6 |
|    | EDEM   | 0.7 |
|    | ENZIME_MUSCULARE_CRESCUTE(CK,ALDOLAZA,MIOGLOBINA_SERICA) | 0.8 |
|    | INGRASARE  | 0.8 |
|    | MENORAGIE  | 0.8 |
|    | OBOSEALA   | 0.8 |
|    | PAR_DE_CALITATE_PROASTA                                  | 0.6 |
|    | PIELE_USCATA   | 0.6 |
|    | SLABICIUNE_MUSCULARA                                     | 0.6 |
|    | TAHICARDIE   | 0.6 |
|    | T3,T4_SERICE_SCAZUTE                                     | 1   |
|    | TSH_SERIC_CRESCUT  | 1   |
| 16 | <b>INFARCT_MIOCARDIC</b>                                 |     |
|    | ARITMII  | 0.8 |
|    | DISPNEE  | 0.9 |
|    | DURERI_PIEPT_CE_NU_CEDEAZA_LA_NITROGLICERINA             | 1   |
|    | FIBRINOGEN_CRESCUT                                       | 0.6 |
|    | GREATA/VOMA  | 0.5 |
|    | PANICA   | 1   |
|    | TENSIUNE_MICA  | 0.7 |
|    | TRANSAMINAZE_SERICE_CRESCUTE(SGOT)                       | 0.8 |
| 17 | <b>INFECTIE_URINARA</b>                                  |     |
|    | DURERI_SUPRAPUBICE                                       | 0.8 |
|    | FEBRA_RIDICATA   | 0.8 |
|    | HIDRONEFROZA   | 0.9 |
|    | INCONTINENTA_URINARA                                     | 0.9 |
|    | PIELONEFRITA   | 0.8 |
|    | USTURIME_URINARA   | 1   |
|    | URINA_TULBURE  | 1   |
| 18 | <b>INSUFICIENTA_CARDIACA_CONGESTIVA</b>                  |     |
|    | ANEMIE_DE_BOALA_CRONICA                                  | 0.5 |
|    | ANOREXIE   | 0.5 |
|    | ASCITA   | 0.7 |
|    | CONGESTIE_VASCULARA_IN_PLAMAN                            | 0.7 |
|    | CRESTEREA_VOLUMULUI_IN_VASELE_CENTRALE_IN_POZITIA_CULCAT | 0.6 |
|    | DISPNEE  | 0.9 |
|    | DISPNEE_NOCTURNA_PAROXISTICA                             | 1   |
|    | EDEM   | 0.7 |

|    |  |     |
|----|--|-----|
|    | HEMOPTIZIE                               | 0.5 |
|    | INIMA_MARITA                             | 1   |
|    | OBOSEALA                                 | 0.5 |
|    | RALURI_PULMONARE                         | 1   |
|    | RITM_DE_GALOP                            | 1   |
|    | TAHICARDIE                               | 0.7 |
|    | TRANSUDARE_LICHID_IN_ALVEOLELE_PULMONARE | 0.7 |
|    | TURGESCENTA_JUGULARA                     | 0.9 |
|    | TUSE_NOAPTEA                             | 0.8 |
| 19 | <b>INSUFICIENTA_RENALA</b>               |     |
|    | BUN_CRESCUT                              | 1   |
|    | CREATININA_CRESCUTA                      | 1   |
|    | ENCEFALOPATIE                            | 0.6 |
|    | GFR_SCAZUTA                              | 1   |
| 20 | <b>LES</b>                               |     |
|    | ALOPECIE                                 | 0.5 |
|    | ANEMIE_HEMOLITICA                        | 0.7 |
|    | ANTICORPI_ANTINUCLEARI(ANA)_CRESCUTI     | 0.8 |
|    | ARTRITE                                  | 0.5 |
|    | CELULE_LE                                | 1   |
|    | C3,C4_SCAZUTE(COMPLEMENT_SERIC)          | 1   |
|    | CRP_CRESCUTA                             | 1   |
|    | ENCEFALOPATIE                            | 0.5 |
|    | FEBRA_RIDICATA                           | 0.5 |
|    | FOTOSENSIBILITATE                        | 0.6 |
|    | LEUCOPENIE                               | 0.6 |
|    | LEZIUNI_DISCOIDE                         | 1   |
|    | LIMFOPENIE                               | 0.6 |
|    | PROTEINURIE                              | 0.6 |
|    | RASH_MALAR                               | 0.9 |
|    | SEROZITA                                 | 0.7 |
|    | TROMBOCITOPENIE                          | 0.6 |
|    | ULCERATII_ORALE                          | 0.5 |
|    | VDRL_FALS_POZITIV                        | 0.8 |
| 21 | <b>LITIAZA_BILIARA</b>                   |     |
|    | ENCEFALOPATIE                            | 0.5 |
|    | GREATA/VOMA                              | 0.7 |
|    | ICTER                                    | 0.8 |
|    | OBSTRUCTIA_CAILOR_BILIARE                | 1   |

|    |  |     |
|----|--|-----|
| 22 | <b>LITIAZA_RENALA</b>                                    |     |
|    | DIZURIE  | 0.8 |
|    | DURERE_LOMBARA   | 0.9 |
|    | GREATA/VOMA  | 0.5 |
|    | HEMATURIE  | 0.9 |
| 23 | <b>MIOCARDITA</b>  |     |
|    | ARITMII  | 0.7 |
|    | DISPNEE  | 0.8 |
|    | OBOSEALA   | 0.7 |
|    | RITM_DE_GALOP  | 0.9 |
| 24 | <b>PANCREATITA</b>                                       |     |
|    | DURERI_ABDOMEN   | 0.5 |
|    | GREATA/VOMA  | 0.5 |
|    | SANGERARE_RETROPERITONEALA                               | 1   |
|    | SER_AMILAZE_CRESCUT                                      | 1   |
|    | SLABIRE  | 0.5 |
| 25 | <b>PERICARDITA</b>                                       |     |
|    | ASCITA   | 0.6 |
|    | DISPNEE  | 0.8 |
|    | DURERI_IN_PIEPT_LA_INSPIRATIE                            | 0.8 |
|    | EDEM   | 0.7 |
|    | FEBRA_RIDICATA   | 0.7 |
|    | FRECATURA_PERICARDICA                                    | 1   |
|    | HEPATOMEGALIE  | 0.6 |
|    | TURGESCENTA_JUGULARA                                     | 0.9 |
| 26 | <b>PNEUMONIE</b>   |     |
|    | EXPECTORATIE_PURULENTA                                   | 1   |
|    | FEBRA_RIDICATA   | 0.8 |
|    | PATA_PE_PLAMAN   | 1   |
|    | TUSE_PERMANENTA  | 0.5 |
| 27 | <b>POLIMIOZITA</b>                                       |     |
|    | ANTICORPI_ANTINUCLEARI(ANA)_CRESCUTI                     | 0.8 |
|    | ANTICORPI_Mi-2,SRP_CRESCUTI                              | 1   |
|    | ENZIME_MUSCULARE_CRESCUTE(CK,ALDOLAZA,MIOGLOBINA_SERICA) | 1   |

|    |                                |     |
|----|--------------------------------|-----|
|    | SLABICIUNE_MUSCULARA           | 0.5 |
| 28 | <b>TBC</b>                     |     |
|    | BACIL KOCH                     | 1   |
|    | HEMOPTIZIE                     | 0.7 |
|    | LEZIUNI_DISCOIDE               | 0.6 |
|    | NODULI_PULMONARI               | 1   |
|    | SLABIRE                        | 0.5 |
|    | SUBFEBRILITATE                 | 0.7 |
|    | TUSE_PERMANENTA                | 0.5 |
| 29 | <b>TOXIINFECTIE_ALIMENTARA</b> |     |
|    | DIARIE_FARA_SANGE              | 0.5 |
|    | DURERI ABDOMEN                 | 0.5 |
|    | GREATA/VOMA                    | 0.5 |
| 30 | <b>VIROZA_PULMONARA</b>        |     |
|    | DISPNEE                        | 0.5 |
|    | EXPECTORATIE                   | 0.5 |
|    | FEBRA RIDICATA                 | 0.5 |
|    | HILURI_PULMONARE_MARITE        | 1   |
|    | TUSE_PERMANENTA                | 0.5 |

## Anexa 4. Constrângerile de tip atac

| ID | NUMEC | NOD1   | NOD2 | CONTEXT | TIP |
|----|-------|--------|------|---------|-----|
| 1  | a1    | BI3    | BH1  | BH1     | a   |
| 2  | a1    | BI3    | BH1  | BI3     | a   |
| 3  | a2    | BI1    | BI2  | BI1     | a   |
| 4  | a2    | BI1    | BI2  | BI2     | a   |
| 5  | a3    | BI2    | BI1  | BI1     | a   |
| 6  | a3    | BI2    | BI1  | BI2     | a   |
| 7  | a4    | BGI1   | BGI4 | BGI1    | a   |
| 8  | a4    | BGI1   | BGI4 | BGI4    | a   |
| 9  | a5    | BGI2   | BGI4 | BGI2    | a   |
| 10 | a5    | BGI2   | BGI4 | BGI4    | a   |
| 11 | a6    | BGI3   | BH2  | BGI3    | a   |
| 12 | a6    | BGI3   | BH2  | BH2     | a   |
| 13 | a7    | BGI6   | BH2  | BGI6    | a   |
| 14 | a7    | BGI6   | BH2  | BH2     | a   |
| 15 | a8    | BGI3   | BGI6 | BGI6    | a   |
| 16 | a8    | BGI3   | BGI6 | BGI3    | a   |
| 17 | a9    | SI32   | BI3  | BI3     | a   |
| 18 | a10   | BE3    | SI32 | BE3     | a   |
| 19 | a11   | BREUM3 | BE3  | BREUM3  | a   |
| 20 | a11   | BREUM3 | BE3  | BE3     | a   |



## Anexa 5. Lista nodurilor și calitatea lor față de fiecare context

| ID_NOD | NUME_NOD | CONTEXT | TIP | PONDERE |
|--------|----------|---------|-----|---------|
| 1      | SS1      | BE1     | s   | 1       |
| 2      | SS2      | BREUM2  | s   | 0.5     |
| 3      | SS3      | BREUM1  | s   | 0.5     |
| 4      | SS3      | BH2     | s   | 0.8     |
| 5      | SS3      | BGI3    | s   | 0.8     |
| 6      | SS3      | BH1     | s   | 0.6     |
| 7      | SS3      | BI3     | s   | 0.5     |
| 8      | SS4      | BI1     | s   | 0.7     |
| 9      | SS4      | BI2     | n   | 0.8     |
| 10     | SS4      | BI4     | s   | 0.7     |
| 11     | SS5      | BREUM2  | n   | 0.5     |
| 12     | SS6      | BREUM1  | s   | 0.9     |
| 13     | SS7      | BREUM1  | s   | 0.8     |
| 14     | SS8      | BREUM1  | s   | 0.8     |
| 15     | SS9      | BI5     | s   | 0.6     |
| 16     | SS9      | BI3     | s   | 0.7     |
| 17     | SS9      | BH1     | n   | 1       |
| 18     | SS10     | BE3     | s   | 0.6     |
| 19     | SS11     | BGI1    | s   | 0.6     |
| 20     | SS11     | BGI2    | s   | 0.7     |
| 21     | SS11     | BGI4    | s   | 0.7     |
| 22     | SS12     | BGI5    | n   | 0.8     |
| 23     | SS12     | BGI8    | n   | 0.5     |
| 24     | SS13     | BI1     | s   | 0.8     |
| 25     | SS13     | BI2     | n   | 0.9     |
| 26     | SS13     | BI3     | n   | 0.9     |
| 27     | SS13     | BI4     | s   | 0.8     |
| 28     | SS13     | BI5     | s   | 0.8     |
| 29     | SS13     | BP1     | s   | 0.7     |
| 30     | SS13     | BP2     | n   | 0.5     |
| 31     | SS13     | BP5     | s   | 0.5     |
| 32     | SS14     | BI3     | n   | 1       |
| 33     | SS15     | BREN4   | s   | 0.8     |
| 34     | SS16     | BGI7    | s   | 0.5     |
| 35     | SS16     | BGI1    | s   | 0.6     |
| 36     | SS16     | BGI4    | s   | 0.5     |
| 37     | SS16     | BGI2    | s   | 0.6     |
| 38     | SS16     | BGI8    | n   | 0.5     |
| 39     | SS16     | BGI5    | n   | 0.5     |
| 40     | SS17     | BREN4   | n   | 0.9     |
| 41     | SS18     | BI5     | n   | 0.8     |
| 42     | SS19     | BI1     | n   | 0.9     |
| 43     | SS20     | BI2     | n   | 1       |
| 44     | SS21     | BREN2   | s   | 0.8     |
| 45     | SS22     | BREN1   | s   | 0.9     |
| 46     | SS22     | BE3     | s   | 0.7     |
| 47     | SS22     | BI5     | s   | 0.7     |
| 48     | SS22     | BI3     | s   | 0.7     |

|    |      |        |   |     |
|----|------|--------|---|-----|
| 49 | SS23 | BGI6   | s | 0.5 |
| 50 | SS23 | BREN3  | s | 0.6 |
| 51 | SS23 | BREUM2 | s | 0.5 |
| 52 | SS23 | BH1    | s | 0.7 |
| 53 | SS24 | BP5    | s | 0.5 |
| 54 | SS25 | BP3    | s | 1   |
| 55 | SS26 | BP3    | n | 0.8 |
| 56 | SS26 | BP5    | n | 0.5 |
| 57 | SS26 | BREN2  | n | 0.8 |
| 58 | SS26 | BREUM2 | s | 0.5 |
| 59 | SS26 | BI5    | s | 0.7 |
| 60 | SS27 | BREUM2 | s | 0.6 |
| 61 | SS28 | BI5    | n | 1   |
| 62 | SS29 | BI1    | s | 0.5 |
| 63 | SS29 | BH2    | s | 0.9 |
| 64 | SS29 | BGI6   | s | 0.7 |
| 65 | SS29 | BGI7   | s | 0.5 |
| 66 | SS29 | BI2    | s | 0.5 |
| 67 | SS29 | BGI2   | s | 0.6 |
| 68 | SS29 | BGI5   | n | 0.5 |
| 69 | SS29 | BGI8   | n | 0.5 |
| 70 | SS29 | BREN4  | s | 0.5 |
| 71 | SS30 | BREN4  | s | 0.9 |
| 72 | SS30 | BREN1  | s | 1   |
| 73 | SS31 | BP4    | s | 0.7 |
| 74 | SS31 | BI3    | s | 0.5 |
| 75 | SS31 | BP2    | n | 0.7 |
| 76 | SS32 | BH2    | n | 1   |
| 77 | SS32 | BGI3   | s | 0.8 |
| 78 | SS32 | BI5    | s | 0.6 |
| 79 | SS33 | BE2    | s | 0.8 |
| 80 | SS34 | BH2    | n | 1   |
| 81 | SS34 | BGI3   | s | 0.8 |
| 82 | SS34 | BGI6   | n | 0.8 |
| 83 | SS35 | BI3    | n | 1   |
| 84 | SS36 | BREN2  | s | 0.9 |
| 85 | SS37 | BE3    | s | 0.8 |
| 86 | SS38 | BP4    | s | 0.6 |
| 87 | SS38 | BREUM2 | n | 1   |
| 88 | SS39 | BGI2   | s | 0.7 |
| 89 | SS39 | BH1    | s | 0.7 |
| 90 | SS40 | BE3    | s | 0.8 |
| 91 | SS41 | BREUM1 | s | 0.7 |
| 92 | SS42 | BE1    | s | 0.8 |
| 93 | SS42 | BREUM1 | s | 0.5 |
| 94 | SS42 | BREN1  | s | 0.7 |
| 95 | SS42 | BE3    | s | 0.8 |
| 96 | SS42 | BI4    | s | 0.7 |
| 97 | SS42 | BH1    | s | 0.5 |
| 98 | SS42 | BI3    | s | 0.5 |

|     |      |        |   |     |
|-----|------|--------|---|-----|
| 99  | SS43 | BI2    | n | 1   |
| 100 | SS44 | BE3    | s | 0.6 |
| 101 | SS45 | BE3    | s | 0.6 |
| 102 | SS46 | BE1    | n | 0.7 |
| 103 | SS47 | BI3    | n | 1   |
| 104 | SS48 | BREUM2 | n | 0.9 |
| 105 | SS49 | BREUM1 | s | 0.7 |
| 106 | SS50 | BI4    | n | 0.9 |
| 107 | SS50 | BI3    | n | 1   |
| 108 | SS51 | BGI7   | s | 1   |
| 109 | SS52 | BGI3   | n | 1   |
| 110 | SS53 | BE3    | s | 0.6 |
| 111 | SS53 | BREUM3 | n | 0.5 |
| 112 | SS54 | BG1    | s | 0.5 |
| 113 | SS54 | BGI2   | s | 0.7 |
| 114 | SS54 | BGI4   | s | 0.5 |
| 115 | SS54 | BGI7   | s | 0.5 |
| 116 | SS54 | BGI3   | s | 0.5 |
| 117 | SS54 | BE1    | n | 0.9 |
| 118 | SS54 | BE2    | s | 0.6 |
| 119 | SS54 | BP4    | n | 0.5 |
| 120 | SS54 | BP1    | s | 0.5 |
| 121 | SS54 | BGI5   | s | 0.5 |
| 122 | SS55 | BH1    | n | 0.9 |
| 123 | SS56 | BE2    | s | 0.7 |
| 124 | SS56 | BP1    | s | 0.7 |
| 125 | SS56 | BP4    | n | 0.7 |
| 126 | SS57 | BE2    | s | 0.7 |
| 127 | SS57 | BI3    | s | 0.7 |
| 128 | SS58 | BI2    | s | 0.7 |
| 129 | SS59 | BI5    | s | 0.9 |
| 130 | SS59 | BI3    | n | 0.9 |
| 131 | SS59 | BP2    | s | 0.7 |
| 132 | SS60 | BI3    | s | 0.8 |
| 133 | SS61 | BP4    | n | 0.5 |
| 134 | SS61 | BP5    | n | 0.5 |
| 135 | SS61 | BP1    | n | 0.8 |
| 136 | SS61 | BP3    | n | 0.5 |
| 137 | SS61 | BP2    | n | 0.8 |
| 138 | SS62 | BREUM2 | s | 0.5 |
| 139 | SS63 | BREN2  | n | 1   |
| 140 | SS64 | BREN2  | n | 1   |
| 141 | SI1  | BI3    | s | 0.5 |
| 142 | SI1  | BH1    | s | 0.6 |
| 143 | SI1  | BREUM1 | s | 0.5 |
| 144 | SI2  | BREUM2 | s | 0.7 |
| 145 | SI3  | BH2    | n | 0.9 |
| 146 | SI3  | BREUM2 | n | 0.8 |
| 147 | SI4  | BREUM3 | n | 1   |
| 148 | SI5  | BREN1  | n | 0.7 |

|     |      |        |   |     |
|-----|------|--------|---|-----|
| 149 | SI6  | BREN3  | n | 1   |
| 150 | SI7  | BREUM2 | n | 1   |
| 151 | SI8  | BREUM2 | n | 1   |
| 152 | SI9  | BI3    | n | 0.7 |
| 153 | SI10 | BREN3  | n | 1   |
| 154 | SI11 | BI3    | n | 0.6 |
| 155 | SI12 | BREUM2 | n | 1   |
| 156 | SI13 | BGI1   | n | 1   |
| 157 | SI14 | BH2    | n | 1   |
| 158 | SI15 | BGI1   | n | 0.9 |
| 159 | SI15 | BGI4   | n | 1   |
| 160 | SI16 | BREUM3 | n | 1   |
| 161 | SI16 | BE3    | n | 0.8 |
| 162 | SI17 | BREUM1 | s | 0.8 |
| 163 | SI18 | BH1    | n | 0.7 |
| 164 | SI18 | BI2    | n | 0.6 |
| 165 | SI18 | BREN1  | n | 0.8 |
| 166 | SI19 | BREN3  | n | 1   |
| 167 | SI20 | BE1    | n | 0.5 |
| 168 | SI21 | BREN2  | s | 0.9 |
| 169 | SI22 | BP5    | n | 1   |
| 170 | SI23 | BH1    | s | 0.7 |
| 171 | SI23 | BREUM2 | s | 0.6 |
| 172 | SI24 | BREUM2 | s | 0.6 |
| 173 | SI25 | BGI5   | s | 0.7 |
| 174 | SI26 | BH2    | s | 1   |
| 175 | SI27 | BP4    | n | 1   |
| 176 | SI28 | BGI3   | s | 0.7 |
| 177 | SI28 | BGI6   | n | 1   |
| 178 | SI29 | BP3    | n | 1   |
| 179 | SI30 | BGI1   | s | 0.9 |
| 180 | SI30 | BGI4   | s | 1   |
| 181 | SI31 | BE2    | n | 1   |
| 182 | SI31 | BI3    | n | 1   |
| 183 | SI31 | SI40   | n | 1   |
| 184 | SI33 | BH1    | s | 0.8 |
| 185 | SI33 | BREN1  | n | 1   |
| 186 | SI33 | BREUM2 | s | 0.6 |
| 187 | SI34 | BH1    | s | 1   |
| 188 | SI35 | BE1    | n | 1   |
| 189 | SI35 | SI40   | n | 1   |
| 190 | SI36 | BE1    | s | 0.7 |
| 191 | SI37 | BGI7   | n | 1   |
| 192 | SI38 | BREUM2 | s | 0.7 |
| 193 | SI39 | BH1    | n | 0.8 |
| 194 | SI41 | BGI1   | n | 0.9 |
| 195 | SI41 | BGI4   | n | 1   |
| 196 | SI42 | BE3    | n | 1   |
| 197 | SI43 | BE2    | n | 1   |
| 198 | SI44 | BI2    | n | 0.8 |

|     |      |        |   |     |
|-----|------|--------|---|-----|
| 199 | SI45 | BH1    | n | 1   |
| 200 | SI45 | BH2    | n | 1   |
| 201 | SI46 | BH1    | n | 1   |
| 202 | SI46 | BI3    | n | 0.7 |
| 203 | SI47 | BI3    | n | 0.7 |
| 204 | SI48 | BH1    | n | 1   |
| 205 | SI48 | BREUM2 | n | 0.6 |
| 206 | SI49 | BGI7   | n | 1   |
| 207 | SI50 | BE3    | n | 1   |
| 208 | SI51 | BE2    | n | 1   |
| 209 | SI52 | BGI4   | n | 1   |
| 210 | SI53 | BREUM2 | s | 0.8 |

## Anexa 6. Codul sursă (selecții)

```
//PanouAlgoritm.java
```

```
package gui;
```

```
import algoritm.*;
import java.awt.*;
import java.awt.event.*;
import javax.swing.*;
import java.io.*;
import java.util.*;
import javax.swing.event.*;
```

```
public class PanouAlgoritm extends javax.swing.JPanel {
    Monitor m; dbt b;
    public java.util.List necesare;
    ListaMea lista1, lista2, lista3;
    JListData dat1,dat2;
    JListData dat3;
    java.util.List li1,li2;
    public java.util.List date_confirmate, date_infirimate;
```

```
    public PanouAlgoritm(ListaMea l1, ListaMea l2, ListaMea l3, JListData d1, JListData
d2, JListData d3)
```

```
        throws IOException {
        lista1=l1; lista2=l2; lista3=l3;
        dat1=d1;dat2=d2;dat3=d3;
        date_confirmate=new ArrayList(); date_infirimate=new ArrayList();
        m=new Monitor(this);b=new dbt(this);
```

```
        initComponents();
```

```
    }
```

```
private void initComponents() {
    jPanel1 = new javax.swing.JPanel();
    jPanel2 = new javax.swing.JPanel();
```

```
    jScrollPane1 = new javax.swing.JScrollPane();
    jScrollPane2 = new javax.swing.JScrollPane();
    jScrollPane3 = new javax.swing.JScrollPane();
    jButtonOK = new javax.swing.JButton();
    jButtonPrima = new javax.swing.JButton();
    jButtonReluare = new javax.swing.JButton();
    jButtonTesteaza = new javax.swing.JButton();
    jPanel3 = new javax.swing.JPanel();
    jScrollPane4 = new javax.swing.JScrollPane();
    jTextArea1 = new javax.swing.JTextArea();
    jScrollPane5 = new javax.swing.JScrollPane();
```



```

jTextArea2 = new javax.swing.JTextArea();
jScrollPane6 = new javax.swing.JScrollPane();
jTextArea3 = new javax.swing.JTextArea();
jLabel1 = new javax.swing.JLabel();
jLabel2 = new javax.swing.JLabel();
jLabel3 = new javax.swing.JLabel();

jPanel1.setBackground(new java.awt.Color(204, 255, 102));
jPanel1.setBorder(javax.swing.BorderFactory.createTitledBorder(null,
"ALGORITM", javax.swing.border.TitledBorder.DEFAULT_JUSTIFICATION,
javax.swing.border.TitledBorder.DEFAULT_POSITION, new java.awt.Font("Bookman
Old Style", 1, 12)));
jPanel2.setBackground(new java.awt.Color(153, 255, 153));
jPanel2.setBorder(new javax.swing.border.MatteBorder(null));
jScrollPane1.setBackground(new java.awt.Color(255, 255, 204));
jScrollPane1.setBorder(javax.swing.BorderFactory.createTitledBorder(null,
"Simptome", javax.swing.border.TitledBorder.DEFAULT_JUSTIFICATION,
javax.swing.border.TitledBorder.DEFAULT_POSITION, new java.awt.Font("Bookman
Old Style", 0, 11)));
jScrollPane1.getViewport().add(lista1);

jScrollPane2.setBackground(new java.awt.Color(255, 255, 204));
jScrollPane2.setBorder(javax.swing.BorderFactory.createTitledBorder(null,
"Simptome de profunzime:",
javax.swing.border.TitledBorder.DEFAULT_JUSTIFICATION,
javax.swing.border.TitledBorder.DEFAULT_POSITION, new java.awt.Font("Bookman
Old Style", 0, 11)));
jScrollPane2.getViewport().add(lista2);

jScrollPane3.setBackground(new java.awt.Color(255, 255, 204));
jScrollPane3.setBorder(javax.swing.BorderFactory.createTitledBorder(null,
"Manifestari necesare:", javax.swing.border.TitledBorder.DEFAULT_JUSTIFICATION,
javax.swing.border.TitledBorder.DEFAULT_POSITION, new java.awt.Font("Bookman
Old Style", 0, 11)));
jScrollPane3.getViewport().add(lista3);

jButtonOK.setFont(new java.awt.Font("Bookman Old Style", 1, 11));
jButtonOK.setText("OK");
jButtonOK.addActionListener(new java.awt.event.ActionListener() {
    public void actionPerformed(java.awt.event.ActionEvent evt) {
        jButtonOKActionPerformed(evt);
    }
});

jButtonPrima.setFont(new java.awt.Font("Bookman Old Style", 1, 11));

```

```

jButtonPrima.setText("Prima rulare");
jButtonPrima.addActionListener(new java.awt.event.ActionListener() {
    public void actionPerformed(java.awt.event.ActionEvent evt) {
        jButtonPrimaActionPerformed(evt);
    }
});

jButtonReluare.setFont(new java.awt.Font("Bookman Old Style", 1, 11));
jButtonReluare.setText("Reluare");
jButtonReluare.addActionListener(new java.awt.event.ActionListener() {
    public void actionPerformed(java.awt.event.ActionEvent evt) {
        jButtonReluareActionPerformed(evt);
    }
});

jButtonTesteaza.setFont(new java.awt.Font("Bookman Old Style", 1, 11));
jButtonTesteaza.setText("Testeaza");
jButtonTesteaza.addActionListener(new java.awt.event.ActionListener() {
    public void actionPerformed(java.awt.event.ActionEvent evt) {
        jButtonTesteazaActionPerformed(evt);
    }
});

org.jdesktop.layout.GroupLayout jPanel2Layout = new
org.jdesktop.layout.GroupLayout(jPanel2);
jPanel2.setLayout(jPanel2Layout);
jPanel2Layout.setHorizontalGroup(
    jPanel2Layout.createParallelGroup(org.jdesktop.layout.GroupLayout.LEADING)
        .add(jPanel2Layout.createSequentialGroup()
            .add(jPanel2Layout.createParallelGroup(org.jdesktop.layout.GroupLayout.LEADING)
                .add(jPanel2Layout.createSequentialGroup()
                    .add(19, 19, 19)
                    .add(jScrollPane1, org.jdesktop.layout.GroupLayout.PREFERRED_SIZE,
288, org.jdesktop.layout.GroupLayout.PREFERRED_SIZE)
                    .addPreferredGap(org.jdesktop.layout.LayoutStyle.RELATED))
                .add(org.jdesktop.layout.GroupLayout.TRAILING,
jPanel2Layout.createSequentialGroup()
                    .addContainerGap(158, Short.MAX_VALUE)
                    .add(jButtonPrima)
                    .add(48, 48, 48)))
            .addContainerGap())
        .add(jPanel2Layout.createParallelGroup(org.jdesktop.layout.GroupLayout.LEADING)
            .add(jPanel2Layout.createSequentialGroup()
                .add(8, 8, 8)

```

```

        .add(jScrollPane2, org.jdesktop.layout.GroupLayout.PREFERRED_SIZE,
275, org.jdesktop.layout.GroupLayout.PREFERRED_SIZE)
        .addPreferredGap(org.jdesktop.layout.LayoutStyle.RELATED,      17,
Short.MAX_VALUE)

jPanel2Layout.createParallelGroup(org.jdesktop.layout.GroupLayout.LEADING)
    .add(org.jdesktop.layout.GroupLayout.TRAILING,
jPanel2Layout.createSequentialGroup()
    .add(jButtonTesteaza)
    .addPreferredGap(org.jdesktop.layout.LayoutStyle.RELATED))
    .add(org.jdesktop.layout.GroupLayout.TRAILING,
jPanel2Layout.createSequentialGroup()
    .add(jButtonOK)
    .add(22, 22, 22)))
    .add(jScrollPane3, org.jdesktop.layout.GroupLayout.PREFERRED_SIZE,
233, org.jdesktop.layout.GroupLayout.PREFERRED_SIZE))
    .add(jPanel2Layout.createSequentialGroup()
    .add(31, 31, 31)
    .add(jButtonReluare)))
    .addContainerGap()
);
jPanel2Layout.setVerticalGroup(
jPanel2Layout.createParallelGroup(org.jdesktop.layout.GroupLayout.LEADING)
    .add(jPanel2Layout.createSequentialGroup()
    .add(36, 36, 36)

.add(jPanel2Layout.createParallelGroup(org.jdesktop.layout.GroupLayout.LEADING)
    .add(org.jdesktop.layout.GroupLayout.TRAILING,      jScrollPane3,
org.jdesktop.layout.GroupLayout.DEFAULT_SIZE, 200, Short.MAX_VALUE)
    .add(jScrollPane2, org.jdesktop.layout.GroupLayout.DEFAULT_SIZE, 200,
Short.MAX_VALUE)
    .add(jScrollPane1, org.jdesktop.layout.GroupLayout.DEFAULT_SIZE, 200,
Short.MAX_VALUE))
    .addPreferredGap(org.jdesktop.layout.LayoutStyle.RELATED)

.add(jPanel2Layout.createParallelGroup(org.jdesktop.layout.GroupLayout.BASELINE)
    .add(jButtonPrima)
    .add(jButtonReluare))
    .addContainerGap()
    .add(org.jdesktop.layout.GroupLayout.TRAILING,
jPanel2Layout.createSequentialGroup()
    .addContainerGap(108, Short.MAX_VALUE)
    .add(jButtonOK)
    .add(37, 37, 37)
    .add(jButtonTesteaza)
    .add(87, 87, 87))

```

```

);

jPanel3.setBackground(new java.awt.Color(153, 255, 153));
jPanel3.setBorder(javax.swing.BorderFactory.createLineBorder(new
java.awt.Color(0, 0, 0)));
jTextArea1.setBackground(new java.awt.Color(255, 255, 204));
jTextArea1.setColumns(20);
jTextArea1.setFont(new java.awt.Font("Bookman Old Style", 1, 10));
jTextArea1.setRows(5);
jScrollPane4.setViewportView(jTextArea1);

jTextArea2.setBackground(new java.awt.Color(255, 255, 204));
jTextArea2.setColumns(20);
jTextArea2.setFont(new java.awt.Font("Bookman Old Style", 1, 10));
jTextArea2.setRows(5);
jScrollPane5.setViewportView(jTextArea2);

jTextArea3.setBackground(new java.awt.Color(255, 255, 204));
jTextArea3.setColumns(20);
jTextArea3.setFont(new java.awt.Font("Bookman Old Style", 1, 10));
jTextArea3.setRows(5);
jScrollPane6.setViewportView(jTextArea3);

jLabel1.setFont(new java.awt.Font("Bookman Old Style", 1, 11));
jLabel1.setText("Solutii posibile:");

jLabel2.setFont(new java.awt.Font("Bookman Old Style", 1, 11));
jLabel2.setText("Ipoteze infirmate:");

jLabel3.setFont(new java.awt.Font("Bookman Old Style", 1, 11));
jLabel3.setText("Solutii pariale admisibile:");

    org.jdesktop.layout.GroupLayout      jPanel3Layout      =      new
org.jdesktop.layout.GroupLayout(jPanel3);
    jPanel3.setLayout(jPanel3Layout);
    jPanel3Layout.setHorizontalGroup(
        jPanel3Layout.createParallelGroup(org.jdesktop.layout.GroupLayout.LEADING)
            .add(jPanel3Layout.createSequentialGroup()
                .add(jPanel3Layout.createParallelGroup(org.jdesktop.layout.GroupLayout.LEADING)
                    .add(jScrollPane4, org.jdesktop.layout.GroupLayout.PREFERRED_SIZE,
315, org.jdesktop.layout.GroupLayout.PREFERRED_SIZE))
                    .add(20, 20, 20)
            )
    );

```

```

.add(jPanel3Layout.createParallelGroup(org.jdesktop.layout.GroupLayout.LEADING)
    .add(jScrollPane5, org.jdesktop.layout.GroupLayout.PREFERRED_SIZE,
174, org.jdesktop.layout.GroupLayout.PREFERRED_SIZE)
    .add(jLabel2))
    .add(17, 17, 17)

.add(jPanel3Layout.createParallelGroup(org.jdesktop.layout.GroupLayout.LEADING)
    .add(jScrollPane6, org.jdesktop.layout.GroupLayout.DEFAULT_SIZE, 397,
Short.MAX_VALUE)
    .add(jLabel3))
    .addContainerGap()
);
jPanel3Layout.setVerticalGroup(
    jPanel3Layout.createParallelGroup(org.jdesktop.layout.GroupLayout.LEADING)
    .add(jPanel3Layout.createSequentialGroup()
        .add(28, 28, 28)

.add(jPanel3Layout.createParallelGroup(org.jdesktop.layout.GroupLayout.BASELINE)
    .add(jLabel1)
    .add(jLabel3)
    .add(jLabel2))
    .addPreferredGap(org.jdesktop.layout.LayoutStyle.RELATED)

.add(jPanel3Layout.createParallelGroup(org.jdesktop.layout.GroupLayout.LEADING)
    .add(jScrollPane4, org.jdesktop.layout.GroupLayout.DEFAULT_SIZE, 108,
Short.MAX_VALUE)
    .add(jScrollPane5, org.jdesktop.layout.GroupLayout.DEFAULT_SIZE, 108,
Short.MAX_VALUE)
    .add(jScrollPane6, org.jdesktop.layout.GroupLayout.DEFAULT_SIZE, 108,
Short.MAX_VALUE))
    .addContainerGap()
);

org.jdesktop.layout.GroupLayout jPanel1Layout = new
org.jdesktop.layout.GroupLayout(jPanel1);
jPanel1.setLayout(jPanel1Layout);
jPanel1Layout.setHorizontalGroup(
    jPanel1Layout.createParallelGroup(org.jdesktop.layout.GroupLayout.LEADING)
    .add(org.jdesktop.layout.GroupLayout.TRAILING,
jPanel1Layout.createSequentialGroup()
        .addContainerGap()

.add(jPanel1Layout.createParallelGroup(org.jdesktop.layout.GroupLayout.TRAILING)

```

```

        .add(org.jdesktop.layout.GroupLayout.LEADING,                jPanel3,
org.jdesktop.layout.GroupLayout.DEFAULT_SIZE,
org.jdesktop.layout.GroupLayout.DEFAULT_SIZE, Short.MAX_VALUE)
        .add(org.jdesktop.layout.GroupLayout.LEADING,                jPanel2,
org.jdesktop.layout.GroupLayout.DEFAULT_SIZE,
org.jdesktop.layout.GroupLayout.DEFAULT_SIZE, Short.MAX_VALUE))
        .addContainerGap()
    );
    jPanel1Layout.setVerticalGroup(
        jPanel1Layout.createParallelGroup(org.jdesktop.layout.GroupLayout.LEADING)
        .add(jPanel1Layout.createSequentialGroup()
            .addContainerGap()
            .add(jPanel2,                org.jdesktop.layout.GroupLayout.PREFERRED_SIZE,
org.jdesktop.layout.GroupLayout.DEFAULT_SIZE,
org.jdesktop.layout.GroupLayout.PREFERRED_SIZE)
            .addPreferredGap(org.jdesktop.layout.LayoutStyle.RELATED,
org.jdesktop.layout.GroupLayout.DEFAULT_SIZE, Short.MAX_VALUE)
            .add(jPanel3,                org.jdesktop.layout.GroupLayout.PREFERRED_SIZE,
org.jdesktop.layout.GroupLayout.DEFAULT_SIZE,
org.jdesktop.layout.GroupLayout.PREFERRED_SIZE)
            .addContainerGap())
        );

    org.jdesktop.layout.GroupLayout                layout                =                new
org.jdesktop.layout.GroupLayout(this);
    this.setLayout(layout);
    layout.setHorizontalGroup(
        layout.createParallelGroup(org.jdesktop.layout.GroupLayout.LEADING)
        .add(jPanel1,                org.jdesktop.layout.GroupLayout.DEFAULT_SIZE,
org.jdesktop.layout.GroupLayout.DEFAULT_SIZE, Short.MAX_VALUE)
    );
    layout.setVerticalGroup(
        layout.createParallelGroup(org.jdesktop.layout.GroupLayout.LEADING)
        .add(jPanel1,                org.jdesktop.layout.GroupLayout.DEFAULT_SIZE,
org.jdesktop.layout.GroupLayout.DEFAULT_SIZE, Short.MAX_VALUE)
    );
} // </editor-fold>

```

```

private void jButtonReluareActionPerformed(java.awt.event.ActionEvent evt) {
try{
m.preiaDate();Iterator it;
java.util.List AC=new ArrayList(), RC=new ArrayList();
java.util.List ConsActnou=new ArrayList();
java.util.List V2nou=new ArrayList();

        b.Ipoteze_noi=b.disp.creaza_Context(date_confirmare, b.Ipoteze_infirimate);

```

```

AC=b.disp.creaza_ConstrActive(b.Ipoteze_noi);
b.Ipoteze_noi.removeAll(b.Ipoteze_considerate);
b.Ipoteze_considerate.addAll(b.Ipoteze_noi);

ConsActnou.addAll(AC);
ConsActnou.addAll((ArrayList)((b.SolutiiConsAct).get(0)));

    if(!b.Ipoteze_infirmate.isEmpty())
    {it=b.Ipoteze_infirmate.iterator();
    while(it.hasNext())
    {String context=it.next().toString();
    RC.addAll(b.disp.creazaRC(context, ConsActnou));}}

V2nou.addAll(b.Ipoteze_noi);
java.util.List Dom_Curente=new
ArrayList();Dom_Curente=b.disp.creaza_VarActive();
ConsActnou.removeAll(RC); ConsActnou=removeDuplicates2(ConsActnou);

for(int i=0; i<b.SolutiiAsignare.size();i++)// in solutii: asignari
{java.util.List aux=new ArrayList();
aux.addAll((ArrayList)((b.SolutiiAsignare).get(i)));
    boolean c=true;
    it=aux.iterator();
    while(it.hasNext())
    {VarVal vv=(VarVal)it.next();
    if((vv.val.equals("in"))&&(b.Ipoteze_infirmate.contains(vv.var))) c=false;}

    if(c==true)
    b.rezolva(new
ArrayList(),V2nou,Dom_Curente,(ArrayList)((b.SolutiiAsignare).get(i)),
    new ArrayList(), ConsActnou);}
    ((ArrayList)(b.SolutiiAsignare)).clear();
}
catch(IOException e){};
}

private void jButtonPrimaActionPerformed(java.awt.event.ActionEvent evt) {
try{
java.util.List VarActive=new ArrayList(), ConsAct=new ArrayList();m.preiaDate();
    VarActive.addAll(b.disp.creaza_Context(date_confirmate,b.Ipoteze_infirmate));
    ConsAct=b.disp.creaza_ConstrActive(VarActive);
    b.Ipoteze_considerate.addAll(VarActive);
    b.rezolva(new ArrayList(),VarActive, b.disp.creaza_VarActive(),new ArrayList(),new
ArrayList(),ConsAct);
}
}

```

```

catch(IOException e){};

}

private void jButtonTesteazaActionPerformed(java.awt.event.ActionEvent evt) {
    dat3.removeAll();
    Iterator it=necesare.iterator();
    while (it.hasNext()){
        String s=it.next().toString().trim();
        if (!date_confirmate.contains(b.tradu(s)))
            dat3.addElement(b.tradu(s);}
    }

    private void jButtonOKActionPerformed(java.awt.event.ActionEvent evt) {
int i;

        Vector vect=new Vector(100);
//trb sa dea valori listei de date confirmate - cu denumirea medicala simptome
        String[] s1=lista1.getSelectedItems();
        String[] s2=lista2.getSelectedItems();

        for(i=0;i<s1.length;i++)
            { vect.addElement(s1[i].trim());
              date_confirmate.add(s1[i].trim());}
            for(i=0;i<s2.length;i++)
            { vect.addElement(s2[i].trim());
              date_confirmate.add(s2[i].trim());}
            date_confirmate=removeDuplicates(date_confirmate);

        li1=new ArrayList();li2=new ArrayList();
        String[] s3=lista3.getSelectedItems();
        for(i=0;i<s3.length ;i++)
            {li1.add(b.traduinvs3[i]);
             li2.add(s3[i]);}

        date_infirimate.addAll(li1);
        date_infirimate=removeDuplicates(date_infirimate);
        b.elimina_infirimate(li2);
        m.puneDate(date_confirmate,date_infirimate);
    }

public java.util.List removeDuplicates2(java.util.List L)
{java.util.List rez=new ArrayList();
  Iterator it=L.iterator();

```



```

while (it.hasNext())
{Constraint o=(Constraint)it.next();
  if (!o.isContained(rez)) rez.add(o);}
return rez;}//end removeDuplicates2

```

```

public java.util.List removeDuplicates(java.util.List L)
{java.util.List rez=new ArrayList();
  Iterator it=L.iterator();
  while (it.hasNext())
  {Object o=(Object)it.next();
    if (!rez.contains(o)) rez.add(o);}
return rez;}//end removeDuplicates

```

```

// Variables declaration - do not modify
private javax.swing.JButton jButtonOK;
private javax.swing.JButton jButtonPrima;
private javax.swing.JButton jButtonReluare;
private javax.swing.JButton jButtonTesteaza;
private javax.swing.JLabel jLabel1;
private javax.swing.JLabel jLabel2;
private javax.swing.JLabel jLabel3;
private javax.swing.JPanel jPanel1;
private javax.swing.JPanel jPanel2;
private javax.swing.JPanel jPanel3;
public javax.swing.JScrollPane jScrollPane1;
private javax.swing.JScrollPane jScrollPane2;
private javax.swing.JScrollPane jScrollPane3;
private javax.swing.JScrollPane jScrollPane4;
private javax.swing.JScrollPane jScrollPane5;
private javax.swing.JScrollPane jScrollPane6;
public javax.swing.JTextArea jTextArea1;
public javax.swing.JTextArea jTextArea2;
public javax.swing.JTextArea jTextArea3;
// End of variables declaration
}

```

## //dbt.java

```
package algoritm;
```

```
import bd.*;
import gui.*;
import java.util.*;
import java.io.*;
import javax.swing.*;
```

```
//CONTEXT= O LISTA CU IPOTEZELE CURENTE DE LA SELECTIE.- DIRIJEAZA
SELECTIA DE
//VARIABLE CURENTE SI CONSTRANGERILE
```

```
class Explicatie
```

```
{public VarVal vv; public List asignare;
 //public Explicatie (VarVal v, List a) {vv=v; asignare=a;}
public Explicatie (String Var, String Val, List a,List Asignare)
{vv=new VarVal(Var,Val);
asignare=new ArrayList();
Iterator it=Asignare.iterator();
```

```
while (it.hasNext())
{VarVal vv=(VarVal)it.next();
if (a.contains(vv.var)) asignare.add(vv);} }
} //end Explicatie
```

```
public class dbt {
public boolean sol;
```

```
public dispecer disp;
public List Ipoteze_considerate, Ipoteze_noi, Ipoteze_infirimate;
List fisiere;String numefis;
Factory fact;
BufferedReader in;
PanouAlgoritm med;
public List SolutiiV1, SolutiiV2, SolutiiDC, SolutiiAsignare, SolutiiExplicElim,
SolutiiConsAct;
```

```
public boolean acoperire_fara_x(List asign, String x)
{Iterator t=asign.iterator();String v, val;
List Simptome=new ArrayList();
while (t.hasNext())
{VarVal vvv=(VarVal)t.next();
v=vvv.var; val=vvv.val;
if((val.equals("in"))&&(!v.equals(x)))Simptome.addAll(disp.simpt(v));}
```

```

if (Simptome.containsAll(med.date_confirmate)) return true;
return false;}

public boolean acoperire_minimala(List asign)
{Iterator t=asign.iterator();String v, val;
boolean r=true;
if(!acoperire_fara_x(asign,"")) r=false;

while (t.hasNext())
{VarVal vvv=(VarVal)t.next();
v=vvv.var; val=vvv.val;
if((val.equals("in"))&&(acoperire_fara_x(asign,v))==true)
    r= false;}

return r;}

//V=lista de variabile asignate; Asignarec= lista de VarVal= var asignate cu valorile lor
public boolean admisibil(List V, List Asignarec,List ConsAct)
{List Asignare=new ArrayList();Asignare.addAll(Asignarec);
Iterator t,ai;
int i1=-1,i2=-1;
String attack=null,v,val;

Iterator t1=Asignare.iterator();
while (t1.hasNext())
{attack=null;
VarVal vvv=(VarVal)t1.next();
v=vvv.var; val=vvv.val;

    if(val.equals("out"))
if(!V.isEmpty())
{t=ConsAct.iterator();
while(t.hasNext())
{ Constraint c=(Constraint)t.next();
String var1=c.var1,var2=c.var2,val2="";

if ((var1.equals(v))&&V.contains(var2)&&(c.type=='a'))
    {//valoarea lui var2 in Asignare->val2

        ai=Asignare.iterator();
while(ai.hasNext())
{VarVal vv=(VarVal)ai.next();
String s=vv.var; String valoare=vv.val;
if (s.equals(var2)) val2=valoare;}

```

```

        if((val2.equals("in")))
        //nodul v ataca nodul "in" var2
        attack=v;
    }}

    if(attack!=null) //trb gasit ceva "in" ce sa atace attack=v
    {boolean gasit=false;
    t=ConsAct.iterator();
    while(t.hasNext())
    {Constraint c=(Constraint)t.next();
    String var1=c.var1,var2=c.var2,val1="";

    if ((var2.equals(v))&&V.contains(var1)&&(c.type=='a'))
    {//valoarea lui var2 in Asignare->val2

        ai=Asignare.iterator();
        while(ai.hasNext())
        {VarVal vv=(VarVal)ai.next();
        String s=vv.var; String valoare=vv.val;
        if (s.equals(var1)) val1=valoare;}

        //a doua conditie: sa nu se atace pe sine
        if((val1.equals("in"))&&(!var1.equals(attack))) gasit=true;}}

    if (!gasit) return false;}
    }}
return true;}//end admisibil

public List removeDuplicates(List L)
{List rez=new ArrayList();
Iterator it=L.iterator();
while (it.hasNext())
{Object o=it.next();
if (!rez.contains(o)) rez.add(o);}
return rez;}//end removeDuplicates

public String traduinv(String sir)
{if (disp.traduinv1(sir)!=null) sir=disp.traduinv1(sir);
else sir=disp.traduinv2(sir);
return sir;}

//initializare structuri in fnct de var curente
public dbt(PanouAlgoritm me) throws IOException
{ med=me;sol=false;
SolutiiV1=new ArrayList();SolutiiV2=new ArrayList();
SolutiiDC=new ArrayList(); SolutiiAsignare=new ArrayList();

```

```

SolutiiExplicElim=new ArrayList(); SolutiiConsAct=new ArrayList();

Ipoteze_considerate=new ArrayList();
Ipoteze_infirmate=new ArrayList();
disp=new dispecer();
disp.curatenie();disp.creaza_Tabele();} //end dbt

public String tradu(String sir)
{String s=disp.tradu(sir);
return s;}

public void elimina_infirmate(List nec_inf)
{List infirmate =disp.elimina_infirmate(nec_inf);
Iterator it=infirmate.iterator();
while (it.hasNext())
med.jTextArea2.append(disp.tradu_boli((it.next()).toString())+"\n");
Ipoteze_infirmate.addAll(infirmate);}

public void rezolva(List V1, List V2, List Dom_Curente, List Asignare, List
ExplicElim, List ConsAct)
throws IOException
{Iterator it; List VA=new ArrayList();
VA.addAll(V1); VA.addAll(V2);

List necesare=disp.necesare(VA);
dbt_variabile(V1, V2, Dom_Curente,Asignare, ExplicElim,ConsAct, necesare);}

//verifica val curenta a lui v fata de valorile var din V si intoarce prima
//constrangere incalcata sau succes=null
//V= lista de stringuri
public Constraint backward_checking(List V, String v, String val,List Asignare, List
ConsAct)
throws IOException
{Iterator t,ai;
List X=new ArrayList();
//tr sa faca backward checking pt V=V1+ cele asignate deja(din Asignare)
t=Asignare.iterator();

while(t.hasNext())
{VarVal vv1=(VarVal)t.next();
X.add(vv1.var);}
X.addAll(V); X=removeDuplicates(X);

t=ConsAct.iterator();
int i1=-1,i2=-1;

```

```

if(!X.isEmpty())
while(t.hasNext())
{ Constraint c=(Constraint)t.next();
String var1=c.var1,var2=c.var2,val2="";

if ((var1.equals(v))&&X.contains(var2))
{//valoarea lui var2 in Asignare->val2
ai=Asignare.iterator();
while(ai.hasNext())
{ VarVal vv=(VarVal)ai.next();
String s=vv.var; String valoare=vv.val;
if (s.equals(var2)) val2=valoare;}
if (c.isFalse(val, val2)) return c;}

if ((var2.equals(v))&&X.contains(var1))
{ //valoarea lui var1 in Asignare->val2
ai=Asignare.iterator();
while(ai.hasNext())
{ VarVal vv=(VarVal)ai.next();
String s=vv.var; String valoare=vv.val;
if (s.equals(var1)) val2=valoare;}
if (c.isFalse(val2, val)) return c;}
}

return null;}

public List sterge_explic_elimina(String v, List V, List DC,List ExplicElim)throws
IOException
{//pt toate var din V sterge explicatiile eliminatorii care contin v si intoarce
// valorile corespunzatoare din domeniile lor
//V e o lista de stringuri=nume de variabile
List ExplicElim=new ArrayList();ExplicElim.addAll(ExplicElim);

List l1=new ArrayList(); Set Var=new HashSet();

for(int i=0; i<V.size(); i++) Var.add(V.get(i));
boolean c1,c2;String nume_var;

List ExElim=new ArrayList();Iterator it=ExplicElim.iterator();
while(it.hasNext())
{Explicatie e=(Explicatie)it.next();
nume_var=e.vv.var;
List l=e.asignare;

Iterator it2=l.iterator();
c1=Var.contains(nume_var); // numevar sa fie din m V

```

```

        c2=false;//sa aiba in explic elim pe v
            while(it2.hasNext())
                { VarVal v1=(VarVal)it2.next();
                  if(v1.var==v){c2=true;l1.add(v1.val);} }

        if (!c1||c2) ExElim.add(e);} //end while

ExplicElim=ExElim;
return ExplicElim;
} //end sterge explic elimin

//verifica daca val pt v e admisibila si o asigneaza
//V1-VAR ASIGNATE, V2-NEASIGNATE
public boolean dbt_valoare(List V1,String v, String val,List Dom_Curente,List
Asignare,List ExplicElim, List ConsAct)
throws IOException
{ Constraint c=backward_checking(V1,v,val,Asignare, ConsAct);

if(c==null){ return true;} //succes
else { //System.out.println("exista constr incalcate!");
    // System.in.read();
    List V3=c.variabale();//m de var din c;
    //V3-v
    V3.remove(v);

    //tr val var din V3 din Asignare
    //V3= m. de var din strangerea c incalcata de valoarea val pentru var

    ExplicElim.add(new Explicatie(v,val,V3,Asignare));
    return false;} //failure

} //end dbtvaloare

//V1=var asignate, V2= var neasignate-liste de stringuri
//liste de VarSet
public void dbt_variabale(List V1, List V2, List Dom_Curente, List Asignarec, List
ExplicElim, List ConsActc, List necesare)
throws IOException
{String v; Set d;
List ConsAct, Asignare;
Iterator it; selectie sel=new selectie(med.date_confirmare);

if (V2.isEmpty())
    {if(!admisibil(V1,Asignarec, ConsActc))
        {float nr=0;

```

```

System.out.print("Inadmisibil: ");

//dc esueaza aici trebuie sa reia alg de la 0
//: mesaj : mai testati: acoperiri incomplete
it=Asignarec.iterator();
while(it.hasNext())
{ VarVal vv=(VarVal)it.next();
  if(vv.val.equals("in")) { System.out.print(vv.var+" ");
    if(!vv.var.equals("SI32")) nr+=sel.suma_ponderi_simptome(vv.var);}
  }//System.out.println();

  Asignare=new ArrayList(); Asignare.addAll(Asignarec);
  ConsAct=new ArrayList(); ConsAct.addAll(ConsActc);

  if (nr>2.5)
  { System.out.print("nr"+nr);System.out.println();
    SolutiiAsignare.add(Asignare);
    SolutiiConsAct.add(ConsAct);}
  med.necesare=necesare;
}

  if((admisibil(V1,Asignarec,
ConsActc))&&(acoperire_fara_x(Asignarec,"")==false))
  { System.out.print("Admisibil neacoperitor: ");
    StringBuffer sb=new StringBuffer();
    float nr=0;
    it=Asignarec.iterator();
    while(it.hasNext())
    { VarVal vv=(VarVal)it.next();//System.out.print(vv.var+vv.val+" ");}
    if(vv.val.equals("in"))
    { System.out.print(vv.var+" ");
      sb.append(displ.tradu_boli(vv.var)+" ");
      if(!vv.var.equals("SI32")) nr+=sel.suma_ponderi_simptome(vv.var);
    }

    }//
    sb.append("\n");
    System.out.print("nr"+nr);System.out.println();
    if (nr>3) med.jTextArea3.append(sb.toString());
  }//end if

  if((admisibil(V1,Asignarec, ConsActc))&&(acoperire_minimala(Asignarec)==true))
  { System.out.print("Solutie: "); sol=true;
    StringBuffer sb=new StringBuffer();
    //dc esueaza aici trebuie sa reia alg de la 0
    //: mesaj : mai testati: acoperiri incomplete

```



```

        it=Asignarec.iterator();
        while(it.hasNext())
        {VarVal vv=(VarVal)it.next();//System.out.print(vv.var+vv.val+" ");}
        System.out.print(vv.var+" ");
        if(vv.val.equals("in")) sb.append(displ.tradu_boli(vv.var)+" ");

        } sb.append("\n");//System.out.println();
        med.jTextArea1.append(sb.toString());
    } //end if

    else {v=(String)V2.get(0);//v= o variabila din V2
        d=new HashSet();//domeniul curent al lui v
        it=Dom_Curente.iterator();
        while (it.hasNext())
        {VarSet vs=(VarSet)it.next();
        if (vs.var.equals(v)) d=vs.multime;}

    Object tab []=d.toArray(); boolean gasit=false;

    for(int i=0;i<tab.length;i++)
    {String val=(String)tab[i];VarVal vv=new VarVal(v,val);
        if (dbt_valoare(V1,v,val,Dom_Curente,Asignarec,ExplicElim, ConsActc)) {

                gasit=true; Asignarec.add(vv);
                V1.add(v);V2.remove(v);
                dbt_variabila(V1, V2, Dom_Curente, Asignarec,
ExplicElim,ConsActc,necesare);

                it=ExplicElim.iterator();List Ee=new ArrayList();
                while (it.hasNext())
                {Explicatie e= (Explicatie)it.next();
                if(!e.vv.equals(vv))Ee.add(e);}

                ExplicElim=Ee;
                V1.remove(v);V2.add(v); Asignarec.remove(vv);} //end for

        if (gasit==false) dbt_bt_variabila(V1, V2, Dom_Curente,v,Asignarec,ExplicElim,
ConsActc, necesare);} //end else
    } //end dbt_variabile

    public void dbt_bt_variabila(List V1, List V2, List Dom_Curente,String v,List
Asignare, List ExplicElim, List ConsAct, List necesare)
    throws IOException
    {List V3=new ArrayList(); Iterator it;

    //V3=m conflicte ale lui v= uniunea explicatiilor eliminatorii a valorilor

```

```

//eliminate ale lui v
it=ExplicElim.iterator();
while(it.hasNext())
{Explicatie ex=(Explicatie)it.next();
if(ex.vv.var==v)
{Iterator i=ex.asignare.iterator();
while(i.hasNext())
{VarVal vv=(VarVal)i.next();
V3.add(vv.var);}}//end while

if (V3.isEmpty()) {JOptionPane.showMessageDialog(null,"N-am solutie, V3
empty","",
JOptionPane.PLAIN_MESSAGE);}

else{String v2="";//ultima var ce apartine V3 din V1
it=V1.iterator();
while (it.hasNext())
{String sir=(String)it.next();
if (V3.contains(sir)) v2=sir;}
//val2=valoarea curenta a lui v2
VarVal vv2=null;String val2="";
it=Asignare.iterator();
while (it.hasNext())
{vv2=(VarVal)it.next();
if (vv2.var==v2) val2=vv2.val;}

//V4=multimea de variabile de dupa v2 din V1 (lista de VarVal)
List V4=new ArrayList();boolean gasit=false;
it=V1.iterator();
while (it.hasNext())
{String sir=(String)it.next();
if(gasit)V4.add(sir);
if (sir==v2) gasit=true;}

//deasigneaza v2
Asignare.remove(vv2);

V3.remove(v2);
ExplicElim.add(new Explicatie(v2, val2,V3,Asignare));
//aici se modifica Dom _Curente:
V4.addAll(V2);
ExplicElim=sterge_explic_elimina(v2, V4, Dom_Curente,ExplicElim);
//deasignare V2
V2.add(v2);V1.remove(v2);}

```

```
}//end dbt_bt_variabila  
}//end class dbt1
```

## //selectie.java

```
package algoritm;

import java.util.*;
import java.io.*;

class Simptom {
public String nume; float pondere;float grad_de_realizare;
public Simptom(String n, float p){nume=n;pondere=p;grad_de_realizare=0;}
}

public class selectie {
    List Manifestari;
    List Context, Infirimate;
//aici trebuie creat Contextul

    public selectie(List date)
    {Manifestari=date;}

    public selectie (List date, List infirimate) {
    Manifestari=date;Infirimate=infirimate;
    try{creaza_Context();}
    catch (IOException e) {}
}

    public void creaza_Context()throws IOException{
        Context=new ArrayList();

        double prag=0.2;
        if((angina_pectoralala(>prag)&&(!Infirimate.contains("BI1"))))
        {Context.add("BI1");
        System.out.println("angina pectorala "+angina_pectoralala());
        }

        if((artrita_reumatoida(>prag)&&(!Infirimate.contains("BREUM1"))))
        {Context.add("BREUM1");
        System.out.println("artrita reumatoida "+artrita_reumatoida());
        }

        if((boala_Chron(>prag)&&(!Infirimate.contains("BGI1"))))
        {Context.add("BGI1");
        System.out.println("boala Chron "+boala_Chron());
        }

        if((cancer_colon_intestin(>prag)&&(!Infirimate.contains("BGI2"))))
        {Context.add("BGI2");
```

```

System.out.println("cancer colon "+cancer_colon_intestin());
}

if((cancer_pancreas(>prag)&&(!Infirmate.contains("BGI3")))
{Context.add("BGI3");
System.out.println("cancer pancreas "+cancer_pancreas());
}

if((cancer_plamani(>prag)&&(!Infirmate.contains("BP1")))
{Context.add("BP1");
System.out.println("cancer plamani "+cancer_plamani());
}

if((ciroza(>prag) &&(!Infirmate.contains("BH1")))
{Context.add("BH1");
System.out.println("ciroza "+ciroza());
}

if((colita_ulceroasa(>prag) &&(!Infirmate.contains("BGI4")))
{Context.add("BGI4");
System.out.println("colita ulceroasa "+colita_ulceroasa());
}

if((diabet(>prag) &&(!Infirmate.contains("BE1")))
{Context.add("BE1");
System.out.println("diabet "+diabet());
}

if((embolie_pulmonara(>prag)&&(!Infirmate.contains("BP2")))
{Context.add("BP2");
System.out.println("embolie pulmonara "+embolie_pulmonara());
}

if((enterita_infectioasa(>prag) &&(!Infirmate.contains("BGI5")))
{Context.add("BGI5");
System.out.println("enterita infectioasa "+enterita_infectioasa());
}

if((glomerulonefrita_membranoasa(>prag)&&(!Infirmate.contains("BREN1")))
{Context.add("BREN1");
System.out.println("glomerulonefrita membranoasa
"+glomerulonefrita_membranoasa());
}

if((hepatita(>prag)&&(!Infirmate.contains("BH2")))
{Context.add("BH2");

```

```

System.out.println("hepatita "+hepatita());
}

if((hipertiroidie()>prag)&&(!Infirmate.contains("BE2")))
{Context.add("BE2");
System.out.println("hipertiroidie "+hipertiroidie());
}

if((hipotiroidie()>prag) &&(!Infirmate.contains("BE3")))
{Context.add("BE3");
System.out.println("hipotiroidie "+hipotiroidie());
}

if((infarct_miocardic()>prag) &&(!Infirmate.contains("BI2")))
{Context.add("BI2");
System.out.println("infarct miocardic "+infarct_miocardic());
}

if((infectie_urinara()>prag)&&(!Infirmate.contains("BREN2")))
{Context.add("BREN2");
System.out.println("infectie urinara "+infectie_urinara());
}

if((insuficienta_cardiaca_congestiva()>prag)&&(!Infirmate.contains("BI3")))
{Context.add("BI3");
System.out.println("insuficienta cardiaca "+insuficienta_cardiaca_congestiva());
}

if((insuficienta_renala()>prag)&&(!Infirmate.contains("BREN3")))
{Context.add("BREN3");
System.out.println("insuficienta renala "+insuficienta_renala());
}

if((les()>prag)&&(!Infirmate.contains("BREUM2")))
{Context.add("BREUM2");
System.out.println("LES "+les());
}

if((litiaza_biliara()>prag)&&(!Infirmate.contains("BGI6")))
{Context.add("BGI6");
System.out.println("litiaza biliara "+litiaza_biliara());
}

if((litiaza_renala()>prag)&&(!Infirmate.contains("BREN4")))
{Context.add("BREN4");
System.out.println("litiaza renala "+litiaza_renala());
}

```

```

}

if((miocardita(>prag)&&!Infirmate.contains("BI4")))
{Context.add("BI4");
System.out.println("miocardita "+miocardita());
}

if((pancreatita(>prag)&&!Infirmate.contains("BGI7")))
{Context.add("BGI7");
System.out.println("pancreatita "+pancreatita());
}

if((pericardita(>prag)&&!Infirmate.contains("BI5")))
{Context.add("BI5");
System.out.println("pericardita "+pericardita());
}

if((pneumonie(>prag) &&!Infirmate.contains("BP3")))
{Context.add("BP3");
System.out.println("pneumonie "+pneumonie());
}

if((polimiozita(>prag) &&!Infirmate.contains("BREUM3")))
{Context.add("BREUM3");
System.out.println("polimiozita "+polimiozita());
}

if((tbc(>prag)&&!Infirmate.contains("BP4")))
{Context.add("BP4");
System.out.println("tbc "+tbc());
}

if((toxiinfectie_alimentara(>prag)&&!Infirmate.contains("BGI8")))
{Context.add("BGI8");
System.out.println("toxiinfectie alimentara "+toxiinfectie_alimentara());
}

if((viroza_pulmonara(>prag)&&!Infirmate.contains("BP5")))
{Context.add("BP5");
System.out.println("viroza "+viroza_pulmonara());
}

//IN Context AM CE S-A SELECTAT PE BAZA Manifestari=date

//adauga aici la context si cele externe!

```

```

        BufferedReader in =new BufferedReader(new
FileReader("e://programe/java/DiaMed/src/modelmedical/externe.txt"));
        String s,s2=new String(),s1=new String();

        while((s=in.readLine())!=null)
        {int n=s.lastIndexOf(" ");
        s1=s.substring(0,n).trim(); s2=s.substring(n,s.length()).trim();
        if(Context.contains(s2)) Context.add(s1);}
};

//ipoteze selectate pe baza datelor-> AC
public List returneaza_Context() {return Context;}

//max
public float S_norma(float a, float b)
{if (a>=b) return a;
else return b;}

//min
public float T_norma(float a, float b)
{if (a<=b) return a;
else return b;}

public float S_norma1(float a, float b)
{return a+b-a*b;}

public float T_norma1(float a, float b)
{return a*b;}

public float S_norma2(float a, float b)
{if ((a+b)<1) return (a+b);
else return 1;}

public float T_norma2(float a, float b)
{if ((a+b-1)>0) return (a+b-1);
else return 0;}

public List selectie_fisier (String nume)throws IOException
{List Rez=new ArrayList();
String numefis=nume;

BufferedReader in =new BufferedReader(new FileReader(numefis));
String s,s2=new String(),s1=new String();

while((s=in.readLine())!=null)

```



```

    {int n=s.lastIndexOf(" ");
    s1=s.substring(0,n); s2=s.substring(n,s.length());
    Rez.add(new Simptom(s1,Float.parseFloat(s2)));}

return Rez;}

public float integrala_fuzzy(List l)
{//l=lista de Simptome
    float S=0;float pondere_totala=0,gAi;
    int i,j;
    Iterator it=l.iterator();

    while(it.hasNext())
    { Simptom s=(Simptom)it.next();
    if(Manifestari.contains(s.numere)) s.grad_de_realizare=1;
    pondere_totala+=s.pondere;}

    //sortare l crescator dupa grad de realizare...

    for(i=0;i<l.size()-1;i++)
    for(j=i+1;j<l.size();j++)
        { float n1=((Simptom)l.get(i)).grad_de_realizare;
        float n2=((Simptom)l.get(j)).grad_de_realizare;
        if (n1>n2) Collections.swap(l, i, j);}

    gAi=pondere_totala;
    for(i=0;i<l.size();i++)
    {
    S=S_norma(S,T_norma(((Simptom)l.get(i)).grad_de_realizare,gAi/pondere_totala));
    gAi-(((Simptom)l.get(i)).pondere;
    }

return S;}

public float angina_pectoral()throws IOException{
    //Manifestari
    List
    simptome_boala=selectie_fisier("e://programe/java/DiaMed/src/modelmedical/boli/angina_pectoral.txt");
    return integrala_fuzzy(simptome_boala);}

public float artrita_reumatoida()throws IOException{
    List
    simptome_boala=selectie_fisier("e://programe/java/DiaMed/src/modelmedical/boli/artrita_reumatoida.txt");
    return integrala_fuzzy(simptome_boala);}

```

```

    public float boala_Chron()throws IOException{
        List
    simptome_boala=selectie_fisier("e://programe/java/DiaMed/src/modelmedical/boli/boala
    _Chron.txt");
        return integrala_fuzzy(simptome_boala);}

    public float cancer_colon_intestin()throws IOException{
        List
    simptome_boala=selectie_fisier("e://programe/java/DiaMed/src/modelmedical/boli/cance
    r_colon_intestin.txt");
        return integrala_fuzzy(simptome_boala);}

    public float cancer_pancreas()throws IOException{
        List
    simptome_boala=selectie_fisier("e://programe/java/DiaMed/src/modelmedical/boli/cance
    r_pancreas.txt");
        return integrala_fuzzy(simptome_boala);}

    public float cancer_plamani()throws IOException{
        List
    simptome_boala=selectie_fisier("e://programe/java/DiaMed/src/modelmedical/boli/cance
    r_plamani.txt");
        return integrala_fuzzy(simptome_boala);}

    public float ciroza()throws IOException{
        List
    simptome_boala=selectie_fisier("e://programe/java/DiaMed/src/modelmedical/boli/ciroz
    a.txt");
        return integrala_fuzzy(simptome_boala);}

    public float colita_ulceroasa()throws IOException{
        List
    simptome_boala=selectie_fisier("e://programe/java/DiaMed/src/modelmedical/boli/colita
    _ulceroasa.txt");
        return integrala_fuzzy(simptome_boala);}

    public float diabet()throws IOException{
        List
    simptome_boala=selectie_fisier("e://programe/java/DiaMed/src/modelmedical/boli/diabe
    t.txt");
        return integrala_fuzzy(simptome_boala);}

    public float embolie_pulmonara()throws IOException{

```

```

    List
    simptome_boala=selectie_fisier("e://programe/java/DiaMed/src/modelmedical/boli/embo
    lie_pulmonara.txt");
    return integrala_fuzzy(simptome_boala);}

    public float enterita_infectioasa()throws IOException{
    List
    simptome_boala=selectie_fisier("e://programe/java/DiaMed/src/modelmedical/boli/enteri
    ta_infectioasa.txt");
    return integrala_fuzzy(simptome_boala);}

    public float glomerulonefrita_membranoasa()throws IOException{
    List
    simptome_boala=selectie_fisier("e://programe/java/DiaMed/src/modelmedical/boli/glom
    erulonefrita_membranoasa.txt");
    return integrala_fuzzy(simptome_boala);}

    public float hepatita()throws IOException{
    List
    simptome_boala=selectie_fisier("e://programe/java/DiaMed/src/modelmedical/boli/hepat
    ita.txt");
    return integrala_fuzzy(simptome_boala);}

    public float hipertiroidie()throws IOException{
    List
    simptome_boala=selectie_fisier("e://programe/java/DiaMed/src/modelmedical/boli/hipert
    iroidie.txt");
    return integrala_fuzzy(simptome_boala);}

    public float hipotiroidie()throws IOException{
    List
    simptome_boala=selectie_fisier("e://programe/java/DiaMed/src/modelmedical/boli/hipoti
    roidie.txt");
    return integrala_fuzzy(simptome_boala);}

    public float infarct_miocardic()throws IOException{
    List
    simptome_boala=selectie_fisier("e://programe/java/DiaMed/src/modelmedical/boli/infarct
    t_miocardic.txt");
    return integrala_fuzzy(simptome_boala);}

    public float infectie_urinara()throws IOException{
    List
    simptome_boala=selectie_fisier("e://programe/java/DiaMed/src/modelmedical/boli/infect
    ie_urinara.txt");
    return integrala_fuzzy(simptome_boala);}

```

```

    public float insuficienta_cardiaca_congestiva()throws IOException{
        List
    simptome_boala=selectie_fisier("e://programe/java/DiaMed/src/modelmedical/boli/insufi
    ciente_cardiaca_congestiva.txt");
        return integrala_fuzzy(simptome_boala);}

    public float insuficienta_renala()throws IOException{
        List
    simptome_boala=selectie_fisier("e://programe/java/DiaMed/src/modelmedical/boli/insufi
    ciente_renala.txt");
        return integrala_fuzzy(simptome_boala);}

    public float les()throws IOException{
        List
    simptome_boala=selectie_fisier("e://programe/java/DiaMed/src/modelmedical/boli/les.txt
    ");
        return integrala_fuzzy(simptome_boala);}

    public float litiaza_biliara()throws IOException{
        List
    simptome_boala=selectie_fisier("e://programe/java/DiaMed/src/modelmedical/boli/litiaz
    a_biliara.txt");
        return integrala_fuzzy(simptome_boala);}

    public float litiaza_renala()throws IOException{
        List
    simptome_boala=selectie_fisier("e://programe/java/DiaMed/src/modelmedical/boli/litiaz
    a_renala.txt");
        return integrala_fuzzy(simptome_boala);}

    public float miocardita()throws IOException{
        List
    simptome_boala=selectie_fisier("e://programe/java/DiaMed/src/modelmedical/boli/mioc
    ardita.txt");
        return integrala_fuzzy(simptome_boala);}

    public float pancreatita()throws IOException{
        List
    simptome_boala=selectie_fisier("e://programe/java/DiaMed/src/modelmedical/boli/pancr
    eatita.txt");
        return integrala_fuzzy(simptome_boala);}

    public float pericardita()throws IOException{

```

```

    List
    simptome_boala=selectie_fisier("e://programe/java/DiaMed/src/modelmedical/boli/pericardita.txt");
    return integrala_fuzzy(simptome_boala);}

    public float pneumonie()throws IOException{
        List
    simptome_boala=selectie_fisier("e://programe/java/DiaMed/src/modelmedical/boli/pneumonie.txt");
    return integrala_fuzzy(simptome_boala);}

    public float polimiozita()throws IOException{
        List
    simptome_boala=selectie_fisier("e://programe/java/DiaMed/src/modelmedical/boli/polimiozita.txt");
    return integrala_fuzzy(simptome_boala);}

    public float tbc()throws IOException{
        List
    simptome_boala=selectie_fisier("e://programe/java/DiaMed/src/modelmedical/boli/tbc.txt");
    return integrala_fuzzy(simptome_boala);}

    public float toxiinfectie_alimentara()throws IOException{
        List
    simptome_boala=selectie_fisier("e://programe/java/DiaMed/src/modelmedical/boli/toxiinfectie_alimentara.txt");
    return integrala_fuzzy(simptome_boala);}

    public float viroza_pulmonara()throws IOException{
        List
    simptome_boala=selectie_fisier("e://programe/java/DiaMed/src/modelmedical/boli/viroza_pulmonara.txt");
    return integrala_fuzzy(simptome_boala);}

    public float suma_ponderi_simptome(String nume_boala)throws IOException
    { //l=lista de Simptome
        float S=0; float total=0;
        int i,j; List l=null;

        if(nume_boala.equals("BI1"))

l=selectie_fisier("e://programe/java/DiaMed/src/modelmedical/boli/angina_pectoral.txt");
    );
        if(nume_boala.equals("BREUM1"))

```

```

l=selectie_fisier("e://programe/java/DiaMed/src/modelmedical/boli/artrita_reumatoida.txt");
    if(ume_boala.equals("BGI1"))

l=selectie_fisier("e://programe/java/DiaMed/src/modelmedical/boli/boala_Chron.txt");
    if(ume_boala.equals("BGI2"))

l=selectie_fisier("e://programe/java/DiaMed/src/modelmedical/boli/cancer_colon_intestin.txt");
    if(ume_boala.equals("BGI3"))

l=selectie_fisier("e://programe/java/DiaMed/src/modelmedical/boli/cancer_pancreas.txt");
;
    if(ume_boala.equals("BP1"))

l=selectie_fisier("e://programe/java/DiaMed/src/modelmedical/boli/cancer_plamani.txt");
    if(ume_boala.equals("BH1"))
    l=selectie_fisier("e://programe/java/DiaMed/src/modelmedical/boli/ciroza.txt");
    if(ume_boala.equals("BGI4"))

l=selectie_fisier("e://programe/java/DiaMed/src/modelmedical/boli/colita_ulceroasa.txt");
;
    if(ume_boala.equals("BE1"))
    l=selectie_fisier("e://programe/java/DiaMed/src/modelmedical/boli/diabet.txt");
    if(ume_boala.equals("BP2"))

l=selectie_fisier("e://programe/java/DiaMed/src/modelmedical/boli/embolie_pulmonara.txt");
    if(ume_boala.equals("BGI5"))

l=selectie_fisier("e://programe/java/DiaMed/src/modelmedical/boli/enterita_infectioasa.txt");
    if(ume_boala.equals("BREN1"))

l=selectie_fisier("e://programe/java/DiaMed/src/modelmedical/boli/glomerulonefrita_membranoasa.txt");
    if(ume_boala.equals("BH2"))
    l=selectie_fisier("e://programe/java/DiaMed/src/modelmedical/boli/hepatita.txt");
    if(ume_boala.equals("BE2"))

l=selectie_fisier("e://programe/java/DiaMed/src/modelmedical/boli/hipertiroidie.txt");
    if(ume_boala.equals("BE3"))

l=selectie_fisier("e://programe/java/DiaMed/src/modelmedical/boli/hipotiroidie.txt");
    if(ume_boala.equals("BI2"))

```

```

l=selectie_fisier("e://programe/java/DiaMed/src/modelmedical/boli/infarct_miocardic.txt");
    if(ume_boala.equals("BREN2"))

l=selectie_fisier("e://programe/java/DiaMed/src/modelmedical/boli/infectie_urinara.txt");
    if(ume_boala.equals("BI3"))

l=selectie_fisier("e://programe/java/DiaMed/src/modelmedical/boli/insuficienta_cardiaca_congestiva.txt");
    if(ume_boala.equals("BREN3"))

l=selectie_fisier("e://programe/java/DiaMed/src/modelmedical/boli/insuficienta_renala.txt");
    if(ume_boala.equals("BREUM2"))
    l=selectie_fisier("e://programe/java/DiaMed/src/modelmedical/boli/les.txt");
    if(ume_boala.equals("BGI6"))

l=selectie_fisier("e://programe/java/DiaMed/src/modelmedical/boli/litiaz_a_biliara.txt");
    if(ume_boala.equals("BREN4"))

l=selectie_fisier("e://programe/java/DiaMed/src/modelmedical/boli/litiaz_a_renala.txt");
    if(ume_boala.equals("BI4"))

l=selectie_fisier("e://programe/java/DiaMed/src/modelmedical/boli/miocardita.txt");
    if(ume_boala.equals("BGI7"))

l=selectie_fisier("e://programe/java/DiaMed/src/modelmedical/boli/pancreatita.txt");
    if(ume_boala.equals("BI5"))

l=selectie_fisier("e://programe/java/DiaMed/src/modelmedical/boli/pericardita.txt");
    if(ume_boala.equals("BP3"))

l=selectie_fisier("e://programe/java/DiaMed/src/modelmedical/boli/pneumonie.txt");
    if(ume_boala.equals("BREUM3"))

l=selectie_fisier("e://programe/java/DiaMed/src/modelmedical/boli/polimiozita.txt");
    if(ume_boala.equals("BP4"))
    l=selectie_fisier("e://programe/java/DiaMed/src/modelmedical/boli/tbc.txt");
    if(ume_boala.equals("BGI8"))

l=selectie_fisier("e://programe/java/DiaMed/src/modelmedical/boli/toxiinfectie_alimentara.txt");
    if(ume_boala.equals("BP5"))

```

```
l=selectie_fisier("e://programe/java/DiaMed/src/modelmedical/boli/viroza_pulmonara.txt");

    Iterator it=l.iterator();
    while(it.hasNext())
    { Simptom s=(Simptom)it.next();
      if(Manifestari.contains(s.numere)) total+=s.pondere;}
    return total;}

}
```



## //dispecer.java

```
package bd;

import algoritm.*;
import java.sql.*;
import java.util.*;
import java.io.*;

public class dispecer {
    Statement cmdSQL=null;Connection conn=null;
    String mesaj=null;List Context;

    public dispecer() {conectareBD();}

    public List removeDuplicates(List L)
    {List rez=new ArrayList();
    Iterator it=L.iterator();
    while (it.hasNext())
    {Object o=it.next();
    if (!rez.contains(o)) rez.add(o);}
    return rez;}

    public void curatenie()
    {try{
    cmdSQL.execute("drop table NODURI");cmdSQL.execute("drop table
CONSTRANGERI");
    cmdSQL.execute("drop table DICTIONARS");cmdSQL.execute("drop table
DICTIONARI");
    cmdSQL.execute("drop table DICTIONARBOLI");}
    catch(SQLException e) {System.out.println("Exceptie la stergere tabele."+e);}
    }

    public String getMesaj()
    {return mesaj;}

    void conectareBD()
    {try {Class.forName("com.mysql.jdbc.Driver").newInstance();
    conn=DriverManager.getConnection("jdbc:mysql:///diagnoza","","");
    cmdSQL=conn.createStatement();
    }
    catch(Exception e) {System.out.println("Eroare la conectarea la BD diagnoza:"+e);
    System.exit(1);}
    }//end conectare BD
```

```

//creaza tabele din fisiere NODURI, RELATII, DICTIONAR
public void creaza_Tabele(){

    try{
        cmdSQL.execute("create table NODURI(ID int, NUME_NOD varchar(20),
CONTEXT varchar(40), TIP char, PONDERE float)");
        cmdSQL.execute("create table CONSTRANGERI(ID int, NUMEC varchar(10),
NOD1 varchar(20), NOD2 varchar(20),"+
        "CONTEXT varchar(30), TIP char)");//numec -> determina unic si contextul

        cmdSQL.execute("create table DICTIONARS(ID int, NUME_NOD
varchar(20),DEN_MED varchar(80))");
        cmdSQL.execute("create table DICTIONARBOLI(ID int, NUME_NOD
varchar(20),DEN_MED varchar(80))");
        cmdSQL.execute("create table DICTIONARI(ID int, NUME_NOD
varchar(20),DEN_MED varchar(80))");
        BufferedReader in;
        String numefis="e://programe/java/DiaMed/src/modelmedical/noduri.txt";
        in=new BufferedReader(new FileReader(numefis)) ;
        String s=new String();int id; String nume_nod,context;char tip;double pondere;
        StringTokenizer st;
        while((s=in.readLine())!=null)
        {st=new StringTokenizer(s, " ");
        id=Integer.parseInt(st.nextToken());
        nume_nod=st.nextToken();context=st.nextToken();
        tip=st.nextToken().charAt(0);
        pondere=Double.parseDouble(st.nextToken());

        try{
            cmdSQL.executeUpdate("insert into NODURI
values("+id+", "+nume_nod+", "+context
        +", "+tip+", "+pondere+"");}
        catch (SQLException e){System.out.println("eroare la inserare"+e);}
        }//end while

        numefis="e://programe/java/DiaMed/src/modelmedical/constrangeri.txt";
        in=new BufferedReader(new FileReader(numefis)) ;
        s=new String(); String nod1,nod2,numec;
        while((s=in.readLine())!=null)
        {st=new StringTokenizer(s, " ");
        id=Integer.parseInt(st.nextToken());
        numec=st.nextToken();
        nod1=st.nextToken();nod2=st.nextToken();context=st.nextToken();
        tip=st.nextToken().charAt(0);
    }
}

```

```

        cmdSQL.executeUpdate("insert into CONSTRANGERI
values("+id+", "+numec+", "+nod1+", "+nod2+", "
        +context+", "+tip+"");
    }//end while

```

```

numefis="e://programe/java/DiaMed/src/modelmedical/dictionars.txt";
in=new BufferedReader(new FileReader(numefis)) ;
s=new String(); String den_med;
while((s=in.readLine())!=null)
{st=new StringTokenizer(s, " ");
 id=Integer.parseInt(st.nextToken());
 nume_nod=st.nextToken();den_med=st.nextToken();

```

```

        cmdSQL.executeUpdate("insert into DICTIONARS
values("+id+", "+nume_nod+", "+den_med+"");
    }//end while

```

```

numefis="e://programe/java/DiaMed/src/modelmedical/dictionari.txt";
in=new BufferedReader(new FileReader(numefis)) ;
s=new String();
while((s=in.readLine())!=null)
{ //System.out.println(s);
 st=new StringTokenizer(s, " ");
 id=Integer.parseInt(st.nextToken());
 nume_nod=st.nextToken();den_med=st.nextToken();

```

```

        cmdSQL.executeUpdate("insert into DICTIONARI
values("+id+", "+nume_nod+", "+den_med+"");
    }//end while

```

```

numefis="e://programe/java/DiaMed/src/modelmedical/dictionarboli.txt";
in=new BufferedReader(new FileReader(numefis)) ;
s=new String();
while((s=in.readLine())!=null)
{st=new StringTokenizer(s, " ");
 id=Integer.parseInt(st.nextToken());
 nume_nod=st.nextToken();den_med=st.nextToken();

```

```

        cmdSQL.executeUpdate("insert into DICTIONARBOLI
values("+id+", "+nume_nod+", "+den_med+"");
    }//end while

```

```

} //end try
catch(Exception ex){System.out.println("Exceptie la crearea tabelor: "+ex);}
} //end creaza_tabele

```

```

public List creaza_Context(List date, List infirmate){
    //infirmate= ipoteze infirmate
    System.out.println("Context");
    List l=new ArrayList();
    selectie sel=new selectie(date, infirmate);
    Context=sel.returneaza_Context();
    //Context=ipotezele curente;
    //selectia tine cont de ponderea absoluta a simptomului
    Iterator it=Context.iterator();
    while(it.hasNext())
    {String s=it.next().toString();
    System.out.println(s);
    if (!infirmate.contains(s))l.add(s);}
// return ipoteze noi= selectate-infirmate; (selectate=Context)
    l=removeDuplicates(l);
    return l;}

```

```

///  

public List creaza_VarActive(){
//aici creaza DC
    //algoritm de selectie Var_Active pe baza Contextului+ initializare dom_curente
    //=toate simptomele care apar cu campul context= o boala din Contextul actual

    List VA=new ArrayList(); Iterator it=Context.iterator();
    Set d=new HashSet(); d.add("in"); d.add("out");

    while(it.hasNext())
    {String s=it.next().toString();
    VA.add(new VarSet(s,d));}

    List rez=new ArrayList();

    for(int i=0; i<VA.size(); i++)
    {VarSet o=(VarSet)VA.get(i);
    if (!o.isContained(rez)) rez.add(o);}
    VA= rez;

return VA;}

```

```

public List creaza_ConstrActive(List VA){
//algoritm de selectie Constr_Active pe baza Contextului
//=toate constrangerile in care apar Var_active
Factory fact=new Factory();
Constraint c;
String numec, var1, var2; char tip;
List CA=new ArrayList(); Iterator it=VA.iterator();

try
{while(it.hasNext())
{String s=(String)it.next();
ResultSet rs=null;
if(!s.equals(""))
{rs=cmdSQL.executeQuery("select * from CONSTRANGERI where
(CONTEXT='"+s+"'");}
while(rs.next())
{numec=rs.getString(2);var1=rs.getString(3);var2=rs.getString(4);
tip=rs.getString(6).charAt(0);
c=fact.getCons(numec,tip,var1,var2);
if(!CA.contains(c)) CA.add(c);}
} //end while
} //end try
catch(SQLException e){System.out.println("Exceptie la crearea Constr
Active:"+e);}

List rez=new ArrayList();

for(int i=0; i<CA.size(); i++)
{Constraint o=(Constraint)CA.get(i);
if (!o.isContained(rez)) rez.add(o);}
CA=rez;

return CA;
} //end creaza_ConstrActive

//trebuie sterse Constr_active cu constr din Context si adaugate la RC
public List creazaRC(String contex, List Constr_Active)
{List consRC=new ArrayList();
Iterator it=Constr_Active.iterator();
try{
while(it.hasNext())
{Constraint c= (Constraint)it.next();
ResultSet rs=cmdSQL.executeQuery("select CONTEXT from CONSTRANGERI
where '"+ c.name+"'=NUMEC");

```

```

        while(rs.next()){if(contex.equals(rs.getString(1)))
            consRC.add(c);}
    }}
    catch (SQLException e) {System.out.println("Eroare la stergerea de constrangeri");}
    consRC=removeDuplicates(consRC);
    return consRC;
} //end creazaRC

//sterge Constr_Active // contex=context infirmat
public List stergeCA(String contex, List Constr_Active)
{List L=Constr_Active;
    Iterator it=Constr_Active.iterator();
    try{
        while(it.hasNext())
            {Constraint c= (Constraint)it.next();
                ResultSet rs=cmdSQL.executeQuery("select CONTEXT from CONSTRANGERI
                where"+ c.name+"=NUMEC");
                while(rs.next()){if(contex.equals(rs.getString(1)))
                    L.remove(c);}
            }}
    catch (SQLException e) {System.out.println("Eroare la stergerea de constrangeri
    active");}
    return L;}

public List necesare(List varact)
{List nec=new ArrayList();
    Iterator it=varact.iterator();
    try{
        while(it.hasNext())
            {String numevar= (String)it.next();
                ResultSet rs=cmdSQL.executeQuery("select NUME_NOD from NODURI where ("+
                numevar+"= CONTEXT) and (TIP='n')");
                while(rs.next()){nec.add(rs.getString(1));}
            }}
    catch (SQLException e) {System.out.println("Eroare la necesare");}
    nec=removeDuplicates(nec);
    return nec;}

public String tradu_boli(String sir)
{String s=null;ResultSet rs=null;
    if(!sir.equals("SI32"))
        try
            {rs=cmdSQL.executeQuery("select DEN_MED from DICTIIONARBOLI where "+
            sir+"= NUME_NOD");
                rs.next(); s=rs.getString(1);}
    }
}

```

```

        catch (SQLException e) {System.out.println("Eroare la traducere"+e);}
        else s="presiune/volum cardiac normal";
return s.trim();
}

public String tradu(String sir)
{String s=null;ResultSet rs=null;
try{
    if(sir.charAt(1)=='S')
        {rs=cmdSQL.executeQuery("select DEN_MED from DICTIONARS where '"+
sir+"'= NUME_NOD");
        rs.next(); s=rs.getString(1);}
    else {rs=cmdSQL.executeQuery("select DEN_MED from DICTIONARI where '"+
sir+"'= NUME_NOD");
        rs.next(); s=rs.getString(1);}
    }
catch (SQLException e) {System.out.println("Eroare la traducere"+e);}
return s.trim();}

public String traduinv1(String sir)
{String s=null;
try{
    ResultSet rs=cmdSQL.executeQuery("select NUME_NOD from DICTIONARS
where '" + sir+"'= DEN_MED");
    while (rs.next()){ s=rs.getString(1);s.trim();}
    }
catch (SQLException e) {System.out.println("Eroare la traducereinv1"+e);}
return s;}

public String traduinv2(String sir)
{String s=null;
try{
    ResultSet rs=cmdSQL.executeQuery("select NUME_NOD from DICTIONARI where
'" + sir+"'= DEN_MED");
    while (rs.next()){ s=rs.getString(1);s.trim();}
    }
catch (SQLException e) {System.out.println("Eroare la traducereinv2"+e);}
return s;}

public List elimina_infirmate(List n_inf)
{//intoarce lista de boli in care apar simptome din n_inf ca necesare
    System.out.println("elimina infirmate");
    List elim=new ArrayList();
    Iterator it=n_inf.iterator();
try{

```

```

while(it.hasNext())
{String numevar= (String)it.next();
//tradu in nume nod din den med
System.out.println("contexte: infrmate");
if (traduinv1(numevar)!=null) numevar=traduinv1(numevar);
else numevar=traduinv2(numevar);
ResultSet rs=cmdSQL.executeQuery("select CONTEXT from NODURI where ("+
numevar+"= NUME_NOD) and (TIP='n')");
while(rs.next())elim.add(rs.getString(1));
}}
catch (SQLException e) {System.out.println("Eroare la necesare");}

elim=removeDuplicates(elim);
return elim;}

public List simpt(String boala)
{List lista=new ArrayList(),lista2=new ArrayList();
String s;

try{
ResultSet rs=cmdSQL.executeQuery("select NUME_NOD from NODURI where
(""+boala+"= CONTEXT)");
while(rs.next()) lista.add(rs.getString(1)); }
catch (SQLException e) {System.out.println("Eroare la simpt"+e);}

Iterator it=lista.iterator();
while(it.hasNext())
{s=it.next().toString();
s=tradu(s);lista2.add(s);}

lista=removeDuplicates(lista2);
return lista;}
}

```